

ДАЛЬНЕВОСТОЧНЫЙ НАУЧНЫЙ ЦЕНТР АН СССР
ТИХООКЕАНСКИЙ ОКЕАНОЛОГИЧЕСКИЙ ИНСТИТУТ

экз. 3

О Т Ч Е Т

О НАУЧНЫХ ИССЛЕДОВАНИЯХ ВО 2 (4) ГЕОЛОГО-
ГЕОФИЗИЧЕСКОМ РЕЙСЕ НИС "КАЛИСТО"

(ОКТАБРЬ 1975 г. - ФЕВРАЛЬ 1976 г.)

Отдел ЦНБ
при ТОИ ДВО РАН

Владивосток
1976

ДАЛЬНЕВОСТОЧНЫЙ НАУЧНЫЙ ЦЕНТР АН СССР
ТИХООКЕАНСКИЙ ОКЕАНОЛОГИЧЕСКИЙ ИНСТИТУТ

"УТВЕРЖДАЮ"

Директор ТОН ДВНЦ АН СССР
доктор физ.-мат. наук

В.И. Ильичев
- В.И. Ильичев

" " _____ 1976 г.

О Т Ч Е Т

О НАУЧНЫХ ИССЛЕДОВАНИЯХ ВО 2/4 РЕЙСЕ ПМС "КАЛИСТО"
(октябрь 1975 - февраль 1976)

Зав. отделом геологии
ТОН ДВНЦ АН СССР,
профессор

И.А. Васильковский

- И.А. Васильковский

Нач. экспедиции,
канд. геол.-мин. наук

Ю.С. Мещеряков

- Ю.С. Мещеряков

Владивосток-1976

О г л а в л е н и е

I. Отчет начальника экспедиции об организации исследований и последовательности выполнения программы (Ю.С. Липкин).....	2
1. Выполнение программы исследований.....	2
2. Последовательность выполнения работ, Схема маршрута.....	8
3. Гидрометеорологические условия в рейсе	11
4. Характеристика работы научных отрядов и экипажа по обеспечению выполнения программы	12
5. Предложения по улучшению организации экспедиций ДВНЦ.....	15
II. Геоморфологические исследования (И.В. Уткин).....	17
1. Состав геоморфологического отряда	17
2. Приборы и оборудование.....	18
3. Точность определения места судна	25
4. Предварительные результаты	28
5. Предложения по организации экологического промера.....	49
III. Непрерывное сейсмическое профилирование (О.А. Кутырев, В.А. Новикова, С.В. Азъмук).....	50
1. Аппаратура	50
2. Методика работ.....	52
3. Результаты исследований	53
4. Предварительные выводы	57
IV. Геологические исследования	59
А. Изучение дочетвертичных пород (Ю.Б. Евланов, Ю.И. Коновалов, В.В. Забелин, А.И. Свищениников).....	59
1. Организация работ	60
2. Методика драгирования и оборудование.....	61
3. Краткая характеристика драгирования на полигонах.....	63

4. Научные результаты изучения дочетвертичных пород.....	67
Б. Литологические исследования (Ю.Д.Марков)	84
1. Программа и задачи литологических исследований.....	84
2. Объемы и методика	84
3. Основные научные результаты	85
4. Краткие выводы	105
У. Микроналеонтологические исследования (М.Г.Вирюлина).....	106
VI. Геохимические и гидрохимические исследования (Л.М.Грамм- Осипов, Т.И.Волкова, Л.И.Михневич, Ю.М.Шульга)	113
1. Программа работ и задачи геохимического отряда.....	114
2. Характеристика выполненных работ	115
3. Методика аналитических работ	115
4. Основные результаты работ	116
5. Гидрохимические исследования	120
VII. Магнитометрические исследования	122
(А.А.Головань, С.А.Кудинов)	
1. Программа работ	122
2. Аппаратура и методика работ	124
3. Результаты работ	126
VIII. Предварительные научные результаты экспедиции (Ю.Б.Евля- нов, Ю.С.Липкин)	134
Литература	137
Приложение	

Отчет начальника экспедиции

I. Выполнение программы исследований

Геолого-геофизическая экспедиция в Филиппинском и Японском морях во 2/4 рейсе нис "Каллисто" проводилась в соответствии с Государственным планом экспедиций по изучению Мирового океана, утвержденным Постановлением Совета Министров СССР 27.01.1975 г. План-программа рейса была утверждена Вице-президентом АН СССР академиком А.П.Виноградовым 3.04.1975 г.

Экспедиция имела цель: изучить геологическое строение отдельных полигонов, расположенных в пределах геосинклинальных морфо-структур Японского и, особенно, Филиппинского морей, а также в пределах рифтовой зоны Тайваньского разлома. Предполагалось, что в этом рейсе будет получен необходимый опыт работ в сложных условиях Филиппинского моря, где намечены многолетние комплексные геолого-геофизические исследования.

В ходе рейса предполагалось направить усилия на решение двух главных задач:

1) На комплексное геолого-геофизическое изучение важнейших структурных звеньев переходной зоны в Японском и Филиппинском морях;

2) На геохимическое изучение результатов воздействия подводных гидротерм на осадки и горные породы в зоне рифтовых разломов Филиппинского моря.

Основные работы планировалось провести на пяти полигонах, а именно в Филиппинском море на полигоне № 1 в зоне подводных хребтов на севере моря, на полигоне № 2 в районе возвышенности Бородино, на полигоне № 3 - в рифтовой впадине Тайваньского разлома, на полигоне № 4 - в южной части хребта Кусв-Палау и

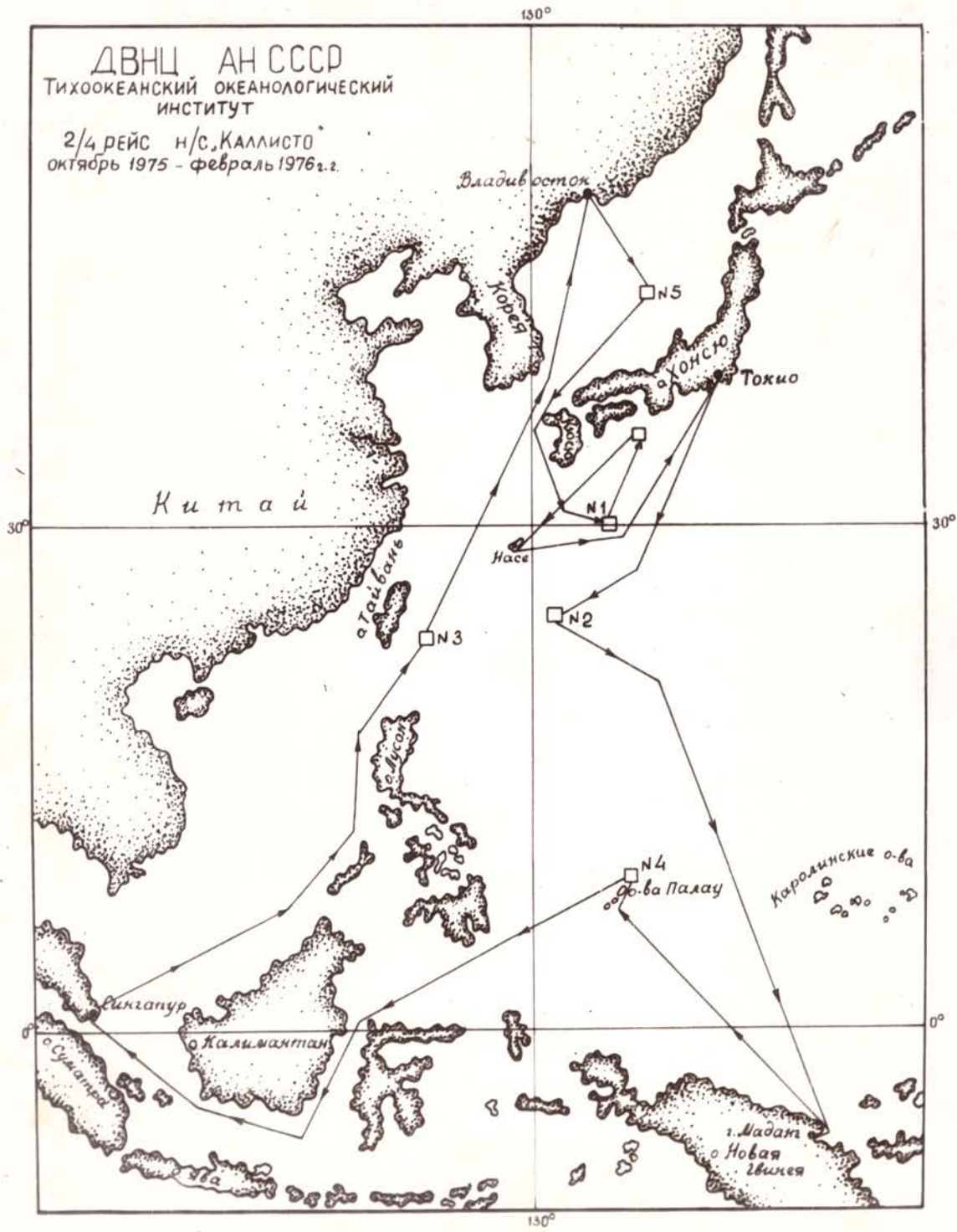


Рис. I Обзорная карта 2(4) рейса н/с "Каллисто"

в Японском море — на полигоне № 5, в южной части возвышенности Ямато.

На переходах между полигонами должны были проводиться измерения магнитного поля, сейсмоакустическое профилирование, эхолотный промер и отбор литологических проб прямоочными трубками и черпаками.

В комплекс исследований первоначально были включены:

1. Эхолотирование
2. Сеймопрофилирование
3. Глубинное сейсмическое зондирование
4. Магнитометрическая съемка
5. Гравиметрические измерения
6. Драгирование коренных пород
7. Отбор донных проб прямоочными трубками и черпаками
8. Литолого-геохимическое изучение осадков и геотермометрии
9. Гидрогеохимические исследования.

Во время рейса проводились почти все эти виды исследований кроме глубинного сейсмического зондирования, гравиметрии и геотермометрии из-за отказа сотрудников других организаций участвовать в рейсе...

Указанные виды работ выполнялись шестью отрядами.

Геоморфологический отряд проводил промерные работы, занимался обработкой эхолот, составлением батиметрических карт и профилей, прокладкой курса судна, обеспечением работ других отрядов. Отрядом руководил инженер Уткин И.В. Кроме него в отряде было два сотрудника. Эхолотные вахты несли помимо указанных сотрудников члены других отрядов.

Отряд сеймопрофилирования состоял из четырех человек — двух инженеров радиоэлектронщиков и

двух геофизиков. В их задачу входило проведение сейсмоакустических работ при помощи системы ЗП, обработка полученных сейсмопрофилей, составление разрезов осадочного слоя. Один из сотрудников отряда был частично привлечен к работам геоморфологического отряда. Все члены отряда молодые специалисты, стажер-исследователи не имевшие до рейса опыта морских экспедиционных работ. Начальник отряда Азымук С.В.

Отряд магнитометрической съемки возглавлял старший инженер Головань А.А. Вначале отряд состоял из четырех человек, через месяц после начала рейса с судна по болезни была списана Шевалдина С.В. и до конца рейса в отряде работало три человека, все старшие инженеры. Отряд занимался магнитометрической съемкой на протяжении всего маршрута судна и текущей обработкой получаемого материала.

Литологический отряд (начальник отряда мл. научный сотр. Марнов Ю.Д.) занимался сбором и обработкой литологических проб, поднимаемых со дна прямоточными трубками, черпаками и драгами. В составе отряда были кроме того кандидат г.м.н. Марневич П.В., кандидат б.н. Бирюлина М.Г., один инженер и ст. лаборант. Бирюлина М.Г. занималась обработкой проб с целью извлечения кокколитов и экспресс анализом этих материалов. Благодаря этому уже в рейсе производилось предварительное биостратиграфическое расчленение разрезов по колонкам из прямоточных трубок.

Отряд драгирования во главе со старшим инженером Крайниковым Г.А. вначале состоял из четырех человек, включая Курносова В.Б. кандидата г.м.н. и двух младших научных сотрудников. Спустя месяц после рейса Курносов В.Б. списался с судна по семейным обстоятельствам. В задачу этого отряда входило драгирование морского дна, а также подъем донных проб

трубками и черпаками совместно с литологическим отрядом. Кроме того сотрудники отряда проводили предварительную обработку и описание каменного материала. В этой работе большое участие принимал зам. начальника экспедиции кандидат геол.-мин. наук Евланов Ю.Б.

Геохимический отряд под руководством кандидата геол.-минерал. наук Грамм-Осипова Л.М. занимался совместно с литологическим отрядом и отрядом драгирования обработкой литологических проб и образцов горных пород. Главной задачей отряда являлось проведение химических экспресс-анализов литологических проб и изучения геохимии водных проб отобранных в Флиппинском море выше и ниже слоя скачка. Гидрохимией занимался мл. научн. сотрудник Института химии ДВНЦ АН СССР Шульга Ю.М.

Руководство экспедицией осуществлялось Липкиным Ю.С. - начальником рейса, Евлановым Ю.Б. - зам. начальника рейса и Волковой Т.И. - ученим секретарем рейса. Волкова Т.И. кроме этой своей обязанности принимала участие в научных работах геохимического отряда.

Во время работ на полигонах и переходах создавались условия, обеспечивающие наиболее рациональную последовательность и взаимосвязку работ отрядов. На полигонах был принят следующий порядок работ:

- 1) Выбор места полигона; в это время работали эхолотный, магнитометрический и в первой половине рейса сейсмоакустический отряды;
- 2) Постановка буйа, если это требовалось по условиям работ;
- 3) Детальная съемка полигона (эхолотирование, магнитометрия и сеймопрофилирование);
- 4) Составление батиметрической карты полигона, выбор мест для последующего драгирования и отбора проб осадков; батимет-

рическая карта обычно составлялась в процессе промерных работ, к концу промера батиметрическая схема уже была готова;

5) Драгирование склонов в наиболее подходящих интервалах;

6) Отбор литологических проб дночерпателями и прямоточными трубками;

7) Проведение других видов работ (отбор гидрохимических проб, подводное фотографирование и пр.).

На переходах между полигонами постоянно велось эхолотирование (если это позволяли природные условия — глубина менее 3,5—4 км и волнение менее 5 баллов), а также магнитометрия и эпизодически сейсμοпрофилирование. Через 100—200 миль производились работы на станциях с отбором проб осадков прямоточными трубками и дночерпателями. Иногда на станциях отбирались гидрохимические пробы.

В рейсе были выполнены работы на всех запланированных полигонах. Кроме того детальные эхолотные промеры, магнитометрия и сейсμοпрофилирование были проведены еще на трех участках в пределах островных склонов дуги Нансей и Японских островов, которым присвоены номера полигонов № 6, 7, 8. Общие объемы выполненных работ приведены в таблице № I. В результате получены материалы по геоморфологии, тектонике дна, магнитному полю, литологии поверхностного слоя осадков и осадочных пород с подводных возвышенностей, а также, большое количество обломков и глыб метаморфических, интрузивных и эффузивных пород, железомарганцевых конкреций и корок. Многие пробы осадков горных пород получили геохимическую и палеонтологическую характеристику.

Получены также гидрохимические характеристики водной толщи выше и ниже слоя скачка (точнее интервалы 200 и 300 м). Во время стоянок в Новой Гвинее и Сингапуре отдельными группами

Таблица № I

№	Вид работ	Ед. изм.	Работа на погонках						Работа на переходах рейс	Примечание
			пол. I	пол. 2	пол. 4	пол. 5	пол. 6	всего на погонках и другие дни		
1.	Эксплуатирование на погонках	мель	-	-	-	-	-	5220	-	5220
2.	Эксплуатирование	мель	-	-	-	-	-	1294	6263	7557
3.	Средственные места стояния судна	обр.	-	-	-	-	-	844	1555	2399
4.	Сейсмографиров.	мель	1178	-	-	182	146	520	708	1228
5.	Магнитометрия	мель	-	-	-	-	-	-	-	4450
6.	Отбор трубок	шт.	4	1	-	4	-	9	43	52
7.	Отбор черняков	шт.	4	5	6	6	-	21	-	21
8.	Дражирование	шт.	17	7	17	14	-	55	-	55
9.	Всего станций	шт.	-	-	-	-	-	-	-	128
10.	Анализ на железо, марганец, титан	шт.	-	-	-	-	-	-	-	591
11.	Анализ на Ca CO ₃	шт.	-	-	-	-	-	-	-	519

47 с материями

25 с материями

геологов были проверены несистематические наблюдения в береговой зоне моря и отобраны образцы доголоценовых рифовых известняков и изверженных пород.

В рейсе фотографировались острова, имеющие разные морфологические особенности (вулканические, плато, атолы, складчатогимбовые горы и пр.).

К сожалению техническая необеспеченность (отсутствие глубоководного эхолота и нормально работающего сейсмопрофилографа) не позволила провести в полном объеме опытные работы в районе рифтовой долины на полигоне № 3. Здесь пришлось ограничиться спуском нескольких прямоочных трубок, принесших образцы обычного, неизмененного осадка. Уже в рейсе выяснилось, что эта часть программы, выдвинутая в качестве "опытной пробы", не была подготовлена технически.

В целом же, с учетом внесенных в программу изменений, можно считать программу рейса выполненной. Конкретные результаты исследований будут приведены ниже.

2. Последовательность выполнения работ.

Схема маршрута.

По первоначальному плану предполагалась следующая последовательность выполнения работ:

I период. Владивосток - Полигон I - Нагасаки;

II период. Нагасаки - Полигон 2 - Наха;

III период. Наха - Полигон 3 - Сингапур;

IV. Сингапур - Полигон 4 - О.Манус - Полигон 4 - Токио;

V. Токио - Полигон 5 - Владивосток.

Продолжительность периодов 20-25 суток. Общая продолжительность рейса 120 суток.

Поскольку рейс начался не весной, а поздней осенью, на заседании Океанографической комиссии ДВНЦ АН СССР и в СМЭР'е АН СССР было решено начать рейс с работ на полигоне № 5 (в Японском море) и затем выходить в Филиппинское море.

Лизинг внесла коррективы и в этот план.

Рейс начался 19 сентября 1975 г. Но во время перехода к полигону № 5 произошла авария в машине и судно на буксире было приведено в Находку. После ремонта, 15 октября 1975 г., судно вновь вышло в рейс. 17 октября были начаты работы в южной части возвышенности Ямато (полигон 5), откуда лис "Каллисто" вышло 22 октября 1975 г. в условиях начинающегося шторма. Филиппинское море встретило сильным штормом. Из-за этого двое суток пришлось работать на восточном склоне дуги Хансей.

27 октября 1975 г. экспедиция приступила к работам на полигоне № 1, в районе подводной горы Камахаши Дайни. Работы длились до 31 октября 1975 г. После этого во время шторма был осуществлен переход к о. Кюсю. Ожидался заход в г. Осаку. До 10 ноября 1975 г. вопрос о заходе не был решен, после чего стало ясно, что заход не состоится. Во время ожидания захода в моменты относительного улучшения погоды (в центре Филиппинского моря в этот период сохранялись штормовые условия) были проведены детализационные работы на склоне о. Кюсю, в районе возвышенности Тосабаё. 10 ноября 1975 г. было принято решение о переходе в Синганур, т.к. на судне создалось критическое положение с водой. 12 ноября 1975 г. судно вынуждено было войти в Японский порт Насе, для высадки большой экспедицией. По распоряжению СМЭР'а спустя два дня лис "Каллисто" направился к Токио, по ходу производя некоторые работы. В Токио стоянка продолжалась с 23 по 26 ноября 1975 г., после чего судно периодически

остановками направлялось на полигон № 2 в районе о. Сагари, на юге возвышенности Бородино. Работы на полигоне 2 продолжались со 2-го до 6-го декабря 1975 г. Затем в течение 11 суток — переход в г. Маданг, на Новой Гвинее. В Маданге в ожидании воды простояли с 18 по 23 декабря 1975 г. С 23 по 31 декабря 1975 г. — переход к полигону № 4. В конце перехода были сделаны вынужденные заходы на о. Короро для высадки и приема на борт больного Шульги Ю.М., нуждавшегося в хирургическом осмотре.

С 1-го по 6-е января 1976 г. продолжались работы на полигоне № 4, после чего, имея на борту ограниченный запас воды и топлива, судно двинулось в г. Сингапур с работами в южной части Филиппинского моря. Во внутренних морях Индонезии во время перехода велось только эхолотирование. В г. Сингапуре стоянка продолжалась с 19 по 27 января 1976 г. 27 января 1976 г. начали переход Южно-Китайским морем к полигону № 3, выбранному восточнее о. Тайвань в районе пересечения желоба Нансей с Тайваньским разломом. На полигон пришли 8 февраля 1976 г. и работали 2 дня. 10 февраля 1976 г. начали движение во Владивосток, куда прибыли 17 февраля 1976 года.

Таким образом схему маршрута можно изобразить следующим образом:

Владивосток — полигон № 5 — полигон № 1 — возвышенность Тосебаё — Насе — Токио — полигон № 2 — Маданг — о. Корор — полигон № 4 — Сингапур — полигон № 3 — Владивосток.

Учитывая время первого выхода в рейс (с 19 по 24 сентября 1975 г.), общая продолжительность рейса составила 130 дней. Увеличение срока экспедиции было вызвано обстоятельствами, осложнившими нормальную работу в рейсе (длительный шторм в начале рейса, ожидание запланированных заходов, вынужденные заходы для

визажи и приема больных, затянувшиеся стоянки в портах в ожидании bunkеровки водой и топливом. Общий баланс времени в рейсе выглядит так:

	план	фактически
Время переходов -	66	72
работа на полигонах -	35	23
стоянки в портах -	16	22
штормовые условия -	3	8 ^м
(резерв нач-ка экспедиции) -	-	-
аварийные ситуации -	-	5
	<hr/> 120	<hr/> 130

Следует учесть, что во время переходов производился комплекс исследований, т.е. это время включает полезную работу.

3. Гидрометеорологические условия в рейсе.

Специальных гидрометеорологических наблюдений в рейсе не велось. Ежедневно производились измерения температуры воды, воздуха, направления ветра, принимались синоптические карты из Японии и Гуама, по которым производилась оценка метеоусловий на ближайший период.

В общем, по гидрометеорологическим условиям весь рейс можно разбить на два периода. На первом периоде с выхода из Владивостока и до работ на полигоне № 2 (с 15.10.75 г. по 1.12.75 г.) погодные условия были неблагоприятными для работы. В это время в центральной части Филиппинского моря непрерывно возникали центры резко пониженного давления, несколько раз превращавшихся в крупные тайфуны. Именно на этот этап приходится основное число

ж) Примечание. Общее число штормовых дней составило 16 дней.

Штормовое время было использовано для переходов или работ на более спокойных прибрежных участках.

штормовых дней (16) дней, когда все работы практически прекращались.

На втором этапе (с 1.12.75 г. и до конца рейса) работы проводились, преимущественно, в тропической зоне. Крупных штормов в это время не было. Небольшое волнение не слишком затрудняло работы. Лишь на переходе к Владивостоку в Восточно-Китайском и Японском морях состояние погоды было неустойчивым, когда усиливающийся ветер вызывал волнение до 4-5 баллов.

4. Характеристика работы научных отрядов и экипажа по обеспечению выполнения программы.

На протяжении всего рейса научные отряды экспедиции стремились выполнить программу и работали с полной отдачей сил. Однако нельзя сказать, что во всех отрядах дела обстояли одинаково хорошо. Сказывались различия в составе отрядов, одни из которых были укомплектованы опытными специалистами (отряды литологический, драгирования, геохимии, магнитометрии), а в составе других преобладали молодые специалисты (отряды геоморфологический и, особенно, сейсмопрофилирования).

Первая группа отрядов с первых же дней рейса включилась в работу. Серьезных срывов текущих планов в этих отрядах не отмечалось. Малкие недоразумения, касающиеся, главным образом, взаимоотношений между сотрудниками, имевшими различный научный интерес, сразу же разрешались. Иногда для этого требовалось вмешательство руководства экспедиции.

На первом этапе исследований (до полигона № I) недостатки в организации работ отмечались в геоморфологическом отряде. Но после неоднократных бесед с начальником отряда, оказания ему практической помощи в обработке материалов, организации работ,

отряд стал работать ритмично, в полном взаимодействии с другими отрядами и штурманской группой экипажа. Все материалы обрабатывались во-время и на достаточно высоком научном уровне. Срывов в эхолотных вахтах до конца рейса не было.

Наиболее серьезная обстановка сложилась в отряде сейсмопрофилирования. Все сотрудники этого отряда, включая начальника отряда, стажеры-исследователи с высшим образованием, впервые вышедшие в длительный рейс. В течение всего рейса с сотрудниками этого отряда пришлось проводить работу по улучшению организации работ, оказывать помощь в обработке материалов и т.д. Но до конца рейса полного взаимопонимания между руководством экспедиции и этим отрядом достигнуто не было. Члены отряда сейсмопрофилирования стремились поставить себя в исключительное положение по отношению к другим отрядам. По-видимому, здесь сказывался недостаток опыта в организации взаимодействия с другими научными направлениями. К тому же надо заметить, что отряд располагал сложной техникой, которая весьма устарела. Очень часто эта техника выходила из строя. Много времени уходило на ремонт сейсмопрофилографа. Положение усугубилось, когда в середине рейса была утеряна приемная касса. Вся вторая половина рейса по этой причине прошла без сейсмопрофилирования. Сотрудники отряда занимались ремонтом новой приемной кассы и обработкой ранее полученного материала. Хотя в первой половине рейса были получены интересные материалы о структуре осадочного слоя юга Японского моря и севера Филиппинского моря, в общем эффективность работ этого отряда могла бы быть значительно выше, если бы ЗГИ не вышел из строя. Тем не менее сотрудников отряда нельзя обвинить в нерадивости. Если в этом отряде случались многочисленные неприятности, то они являлись результатом малого опыта сотрудников отряда. По-видимому,

главное, что они приобрели в этом рейсе — это необходимый опыт работ в сложных океанологических условиях.

Весь экипаж судна на протяжении рейса обеспечивал нормальное выполнение программы рейса.

С первых же дней рейса между руководством рейса установились отношения взаимопонимания. Конфликтных ситуаций в течение всего рейса среди руководящего состава экспедиции не возникало. В первые дни на совещании командного состава, в присутствии начальника экспедиции и капитана, были оговорены основные принципы взаимоотношений между научной группой и экипажем судна. Затем на совещаниях штурманской группы, машинной и палубной команд, на собрании обслуживающего персонала, а также на общем собрании членов экспедиции были подробно разъяснены задачи и цели экспедиции и основные требования ко всем подразделениям экипажа судна всей экспедиции. Один-два раза в месяц на профсоюзных, партийных, общесудовых собраниях экипажа и научной группы подводились итоги прошедших этапов рейса и намечались задачи на следующий этап.

На производственных совещаниях и заседаниях Научно-технического Совета экспедиции рассматривались конкретные задачи по работам на полигонах и переходах, отработывалась последовательность операций, системы команд и пр.

Нужно заметить, что в течение всего рейса увязка между работами научной группы и экипажа была самой тесной. Члены экипажа оказывали посильную помощь научной группе. Технические неисправности устранялись немедленно членами машинной команды, старший механик с пониманием и оперативностью относился к нуждам научных отрядов. Необходимую помощь оказывали члены палубной команды. Полное взаимопонимание было между штурманской группой и научными подразделениями.

Предложения по включению организации
экспедиции ДВНЦ

Говоря о будущем лис "Калисто", следует решить главный вопрос: каким быть этому судну? Сделать его специализированным судном или нацеливать на проведение комплексных исследований.

По нашему глубокому убеждению лис "Калисто" должно быть универсальным судном, способным вести и комплексные, и специализированные рейсы. Но независимо от типа рейса в каждой точке наблюдений, на каждом галсе, в каждом рейсе должно быть добыто максимально возможное количество разной информации. В минимально необходимом комплексе исследований должны быть включены гидрологические, геологические, биологические работы. Однако, в зависимости от специализации рейса объемы различных работ должны быть разные. Основная доля исследований должна быть подчинена главной цели рейса, дополнительную информацию должны получать подчиненные направления. Например, при проведении геологических работ, помимо геологических и геофизических исследований, обязательно должны быть проведены минимально необходимые сборы биологического материала (обработка образцов и илов, подъем материала сетками и пр.). При биологических исследованиях до сих пор безвозвратно теряется большое количество каменного материала, представляющего исключительный интерес для геологов. Во всех рейсах, независимо от его специализации необходимы экзотный промер и стандартный комплекс гидрологических наблюдений. Возможные варианты комплексирования можно умножить.

Организационное комплексирование оформлено следующим образом: в состав экспедиции помимо основных отрядов должны включаться специалисты смежных направлений. Это может быть дополнительный отряд или один - два специалиста разных специальностей.

В прошедшем рейсе всему составу экспедиции с самого начала была поставлена задача - дать свои предложения по усовершенствованию судна и научного оборудования. Эти предложения были приведены в информационном отчете начальника экспедиции и капитана и рассмотрены после рейса на океанографической комиссии Президиума ДВНЦ. Характеристика научных приборов кратко приведена в соответствующих разделах отчета ниже.

Начальник экспедиции,
кандидат геолого-минералогиче-
ских наук

- В.С. Липкин

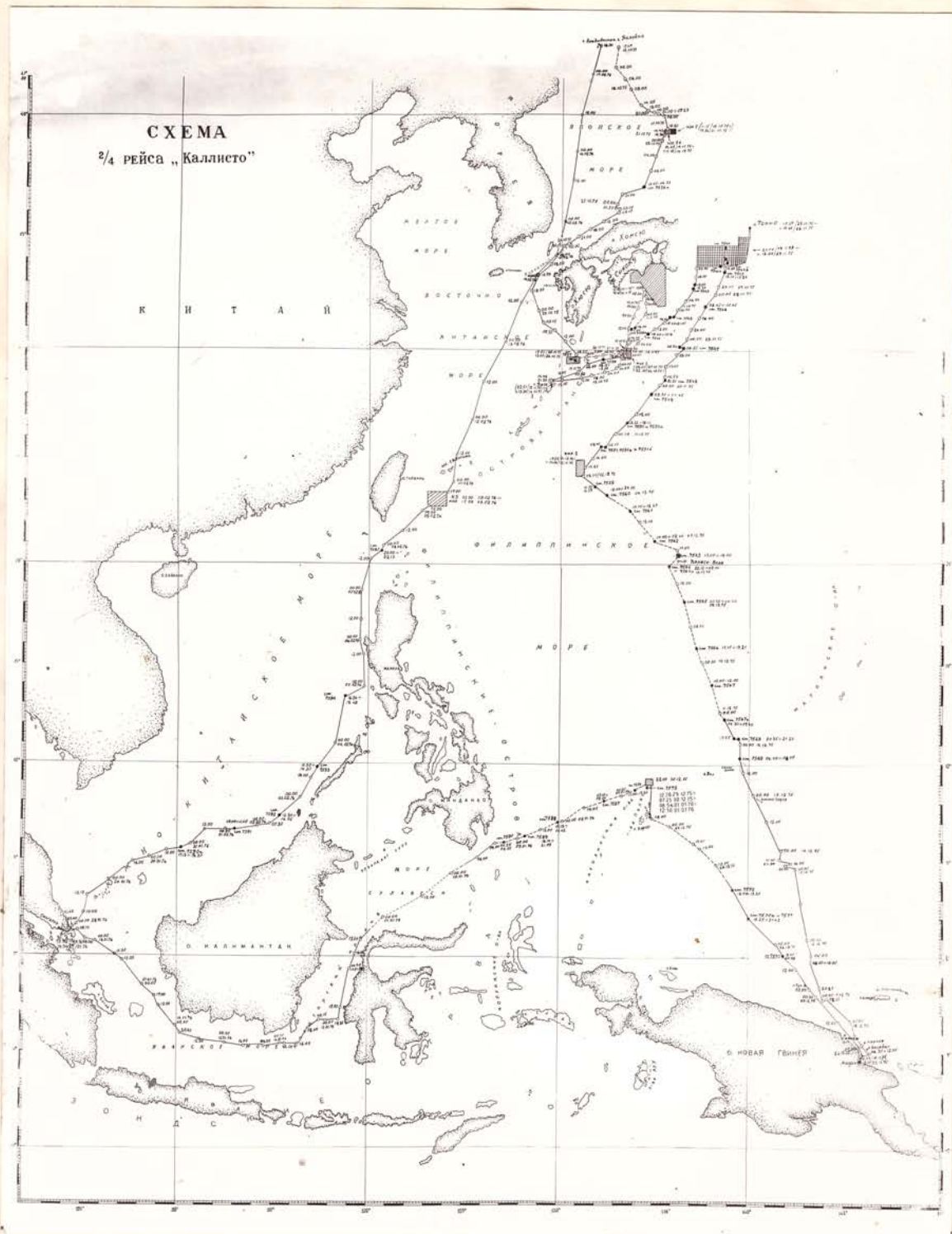
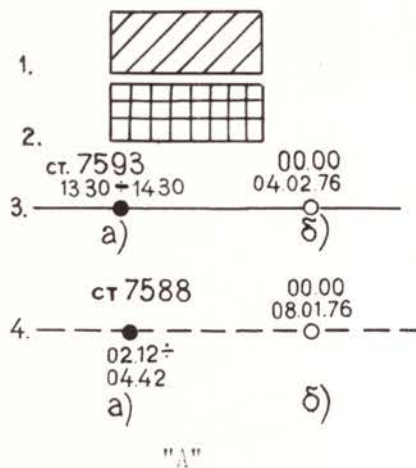


Рис. 2 Схема 2/4 рейса "Каллисто" (расположение галсов и объектов исследования)

Рис. 3. Условные обозначения к разделу „Геоморфологические исследования“

А. К схеме $\frac{2}{4}$ рейса „Каллисто“

Б. К батиметрическим профилям



5.

6.

"Б"

- 1 - площади полигонов;
- 2 - площадь участка с большим количеством галсов, пройденных без эхолота;
- 3 - участки маршрута с эхолотными промерами:
 - а) - станции с временными отметками;
 - б) - временные отметки вне станции;
- 4 - участки маршрута, пройденные без эхолота:
 - а) - станции с временными отметками;
 - б) - временные отметки вне станций;

- 5 - рельеф дна, построенный по данным эхолотирования;
- 6 - рельеф дна построенный по батиметрическим картам.

ГЕОМОРФОЛОГИЧЕСКИЕ ИССЛЕДОВАНИЯ

Перед геоморфологическим отрядом в 4-м рейсе нис "Калисто" стояли следующие задачи:

- 1) при работе на полигонах - составление батиметрической основы геологической карты полигона, а также измерение глубин с целью правильного выбора мест драгирования и определения интервала геологического опробования;
- 2) при геологических исследованиях вне полигонов - составление батиметрической основы геолого-геофизического профиля, а также измерение глубин с целью правильного выбора места литологического и геохимического опробования;
- 3) при магнитометрических исследованиях - составление батиметрической основы профилей и полигонов.
- 4) выполнение эхолотного промера по всему маршруту рейса с целью уточнения существующих карт.

Расположение галсов и участков площадной батиметрической съемки определялось задачами, поставленными перед геологической и геофизической группами экспедиции (рис. 2). Между тем результаты эхолотирования могут использоваться для морфоструктурной и морфогенетической интерпретации форм рельефа дна. Особенно это касается работ на полигонах, но определенные выводы (с использованием дополнительной информации) могут быть сделаны и по результатам переходных галсов.

1. Состав геоморфологического отряда:

В состав отряда в рейсе входило трое сотрудников.

1. Уткин И.В., инженер - начальник отряда;
2. Бакунова М.Ф., старший лаборант;
3. Яригин А.С., старший инженер.

В связи с недоукомплектованностью отряда для несения одной четырехчасовой вахты отряду было передано ещё два сотрудника из других отрядов:

1. Миндлина Т.И., лаборант, сотрудник геохимического отряда

2. Кутырев О.А., стажер-исследователь, сотрудник отряда НСН

Сотрудники отряда выполняли свои обязанности добросовестно. Однако по составу отряда можно сделать следующие замечания:

1) указанного количества сотрудников хватало в основном, лишь для несения постоянных эхолотных вахт, а обработка наблюдений, требующая значительного количества рабочего времени, отступала на второй план;

2) состав отряда носил случайный характер в связи с отсутствием специальной группы сотрудников по геоморфологии океанического дна и эхолотным приборам.

Чертежные работы в рейсе выполнялись лаборантом Кондратенко В.А. (литологический отряд).

Частично материал, необходимый для отряда магнитометрии, был обработан его сотрудниками (в основном, старшим инженером Кудиновым С.А.).

Большую помощь оказал штурманский состав нис "Кальисто" и судовой радист Н.Г.Дудко, много сделавший для нормальной работы эхолотов.

2. Приборы и оборудование

Для работы использовались судовые рыбопоисковые эхолоты ХАГ-40Г и "Кальмар". Характеристика их работы наглядно отражена в табл. 2

а). Глубина измерения

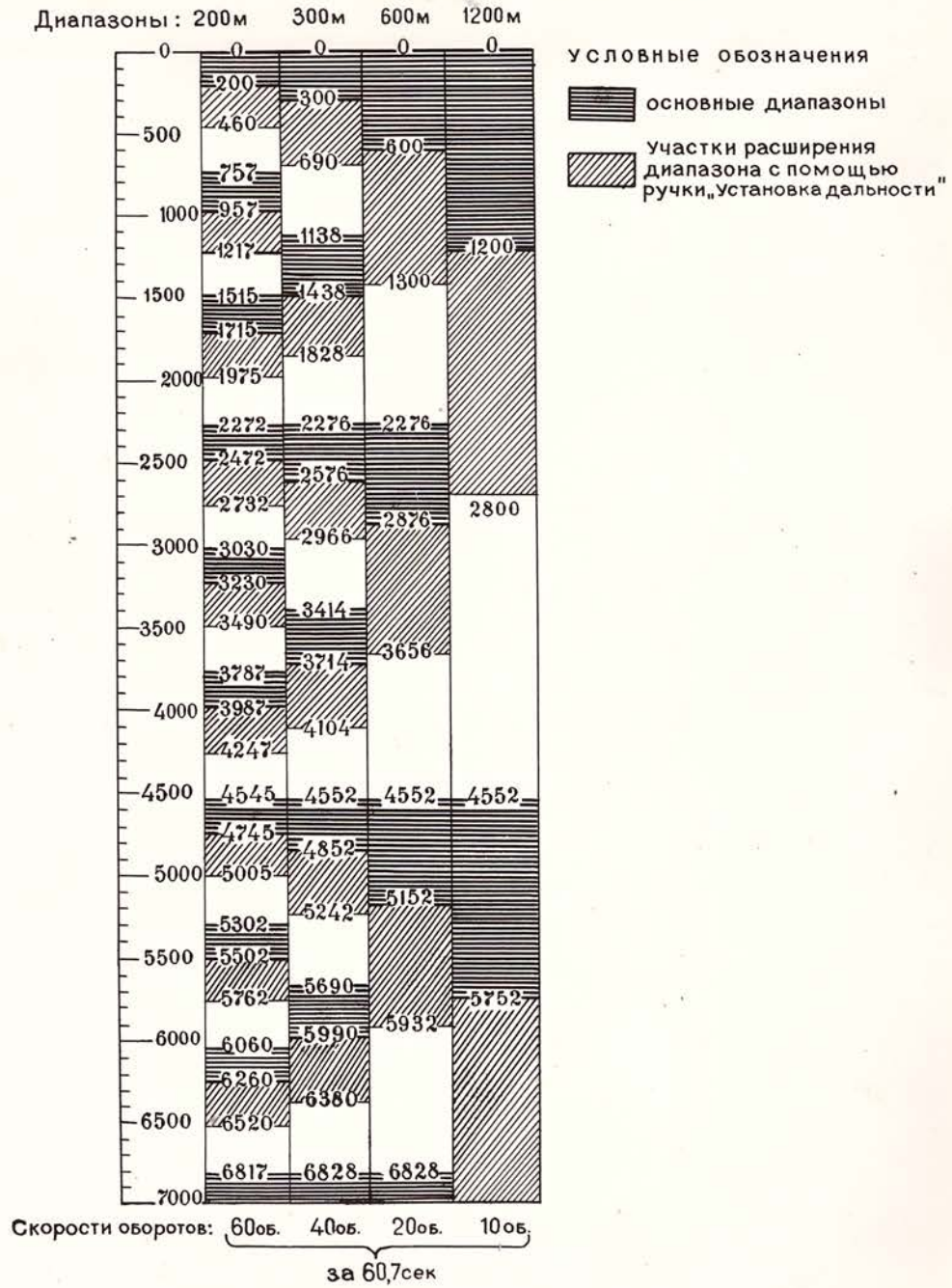
Эхолот "Кальмар" рассчитан на измерение глубин до 2800 метров

Таблица 2

Некоторые данные об эхолотах

Эхолоты	ХЛГ-401				"Кальмар"
	Диапазоны				
	300 м	600 м	1200 м	2400 м	
Фазы:					Смотрите прилагаемую таблицу кратных фазировок для эхолота "Кальмар"
а) с заводской установкой контактов:	0 м и 200м	0м и 400м	0м и 800м	0м и 1600м	
б) с измененной установкой контактов (без поправок):	250 и 450м	500 и 900м	1000м 1800м	2000м 3600м	
Стандартное число оборотов за номинальное время	40 об.	20 об.	10 об.	5 об.	
Номинальное время стандартного числа оборотов	62,7сек.	62,7сек.	62,7сек.	62,7сек.	60,7сек.
Реально наблюдаемое время стандартного числа оборотов:					
а) крайние значения	55-58сек.	55-59сек.	58-71сек.	67-70сек.	58-61сек.
б) средние значения, принятые за основу построения приближительных шкал	57 сек.	57 сек.	70 сек.	68 сек.	59 сек.

Рис 4 СХЕМА
КРАТНЫХ ФАЗИРОВОК ДЛЯ ЭХОЛОТА «КАЛЬМАР»



(при волнении до 5 баллов), а ХАГ-401 - до 4000 метров. Используя кратные фазировки у эхолота "Кальмар" (рис. 4) и сдвигая послышный контакт у эхолота ХАГ-401, можно существенно расширить шкалу. По результатам I-го рейса нис "Каллисто" был сделан вывод, что эхолот "Кальмар" может удовлетворительно работать до глубин по крайней мере 4000 метров, а ХАГ-401 - до 6000 метров.

Данные по работе эхолотов, приведенные в табл. 3, свидетельствуют о том, что ожидания оправдались не полностью. Предполагаемые причины этого следующие:

1) когда давались данным эхолотам положительные рекомендации, то подразумевалось, что в случае неустойчивой работы эхолотов, помимо применения фототелеграфного аппарата ФТАК-2п "Ладoga", возможно, окажется необходимой переделка их схем с целью понижения уровня шумов.

Однако, в связи с отсутствием в составе экспедиции специалиста по теории и практике эхолотных приборов данный эксперимент произведен не был. Применение "Ладог", таким образом, стало бессмысленным. Кроме того, имелся лишь судовой фототелеграфный аппарат, установленный в радиорубке, где его постоянная эксплуатация невозможна (помехи со стороны действующей аппаратуры и т.п.).

2) "Каллисто" вышло в рейс, уже имея довольно сильное обрастание своего корпуса. Обрастание затронуло, видимо, и вибраторы эхолотов, что сильно сказалось на качестве записи. Благодаря этому уровень шумов оказался повышенным с самого начала рейса, и достиг своей максимальной величины в декабре-январе, когда и обрастание было максимальным. В феврале, когда в связи со вступлением в более

ДАННЫЕ О РАБОТЕ ЭХОЛОТОВ

	ПОДЛЮДИ		ПЕРЕХОДИ		ИТОГО		
	"Кальмар" ХЛГ-401	Без эхолота	Итого "Кальмар" ХЛГ-401	Без эхолота	Итого С эхолотом	Б/эхолот.	Итого
Длина маршрута (в милях)	314	1080	1532	4580	14352	4372	15824
	20,4%	69,0%	100%	31,9%	100,0%	30,0%	100%
Время ливне- нии судна	148 ⁴ 31 ^м	203 ⁴ 26 ^м	401 ⁴ 45 ^м	395 ⁴ 04 ^м	1950 ⁴ 20 ^м	1906 ⁴ 13 ^м	2352 ⁴ 40 ^м
	37,0%	50,5%	100%	(20,3%)	100%	80,8%	(19,2%)
	из них по	из них по		из них по		из них по	
	вине эхоло- та: 10 ⁴ 30 ^м	49 ⁴ 48 ^м	578 ⁴ 57 ^м	вине эхоло- та: 364 ⁴ 46 ^м		вине эхоло- та: 375 ⁴ 16 ^м	
	(2,6%)	(12,5%)	29,7%	(18,7%)		(16,0%)	
Время стол- ки судна	35 ⁴ 47 ^м	70 ⁴ 39 ^м	243 ⁴ 49 ^м	116 ⁴ 42 ^м	208 ⁴ 30 ^м	197 ⁴ 49 ^м	452 ⁴ 19 ^м
	14,6%	28,8%	100%	(44,2%)	100%	78,7%	(21,3%)
	из	из		из		из	
	них по вине	них по вине		них по вине		них по вине	
	эхолота: 5 ⁴ 50 ^м	137 ⁴ 23 ^м	16 ⁴ 40 ^м	эхолота: 5 ⁴ 39 ^м		эхолота: 11 ⁴ 28 ^м	(2,5%)
	(2,4%)	(56,6%)	7,9%	(2,6%)			
Суммарное время	184 ⁴ 18 ^м	274 ⁴ 05 ^м	645 ⁴ 34 ^м	511 ⁴ 43 ^м	2158 ⁴ 50 ^м	2104 ⁴ 02 ^м	2804 ⁴
	29,2%	44,2%	100%	(23,8%)	100%	75,0%	(25,0%)
	из	из		из		из	
	них по вине	них по вине		них по вине		них по вине	
	не эхолота: 16 ⁴ 20 ^м	187 ⁴ 11 ^м	595 ⁴ 37 ^м	не эхолота: 370 ⁴ 16 ^м		не эхолота: 376 ⁴ 36 ^м	(13,4%)
	(2,5%)	(26,6%)	27,6%	(17,2%)			
Количество оп- ределений:	НА ПОДЛЮДИ		НА ПЕРЕХОДАХ		ИТОГО		
1) по РИС "Юрган-А"	285		075		960		
2) по РИС "Дон"	594		1186		1770		
3) астрономических	3		34		37		

Количество
испытаний и
их площадь
6 ПОЛУЧЕНОВ (8220 КВ.МИЛЬ)

холодные воды, корпус судна несколько избавился от обрастателей, было отмечено улучшение работы эхолотов, что позволило записать на "малом ходу" с помощью эхолота ХАГ-401 глубины до 6600 (а на слух - до 6800) метров на полигоне В 3 это оказалось кстати, так как вершина с отметкой 2140 метров, намеченная по карте для возможной привязки галсов обнаружена не была, и на намеченном участке не было глубин менее 5800 метров (см. рис. 13). Повышенная гидродинамическая активность под корпусом судна, усиленная благодаря интенсивному обрастанию, естественно сильнее сказывается при увеличении скорости судна. На полном ходу (8-9 узлов) редко отмечалась сколько-нибудь удовлетворительная запись. Скорость 5-6 узлов приводила к несколько лучшим результатам. Особенно обрастание сказалось на работе эхолота "Кальмар", который имеет не вицвижной, как у ХАГа-401, а встроенный вибратор, а также меньшую мощность импульса. Эхолот "Кальмар" после выхода из Японского моря практически не работал на глубинах более 2000 метров. В связи с указанной причиной влияние штормовой погоды также более всего сказывалось на эхолоте "Кальмар", который в этом случае иногда не давал записи и на глубинах менее 200¹⁰ метров, например, в Яванском море.

3) Согласно инструкции по эксплуатации эхолота ХАГ-401, после ремонта положено производить испытания с целью выявления возможных помех от судовых электро- и радиоприборов. Это не было сделано в связи с отсутствием специалистов по ремонту и наладке эхолотов. Поэтому нельзя исключить полностью возможность отрицательного влияния работы других приборов и механизмов. Косвенным свидетель-

ством этого является отмечавшееся неоднократно замыкание через корпус судна, проявлявшееся в самопроизвольном включении отдельных приборов, в том числе и эхолотов, при включении соседних с ними.

4) Следует отметить также, что по прибытии во Владивосток выяснилось, что обоим эхолотам (особенно "Кальмар") требуется перемотка вибраторов.

5) Эхолоты ХАГ-401 и особенно "Кальмар" имеют сравнительно большой конус распространения звука, что при имеющейся мощности импульса приводит к рассеянию отражения на больших глубинах при расчлененном рельефе. Те участки, где существует сравнительно устойчивая запись на глубинах 3000-6600 метров для ХАГа-401 и 2000-3600 метров для "Кальмара", оказываются, в основном, плоскими или слабонаклонными, без неровностей. В противном случае наблюдалось либо плохое качество записи, либо не наблюдалось её вовсе (у эхолота ХАГ-401 в последнем случае можно производить замер глубины на слух). Иногда (очень редко) не наблюдалось записи даже при остановке судна.

б). Точность измерения.

Шкалы эхолотов позволяют производить отсчет с точностью до $\pm 1\%$. Однако задача усложняется тем, что эти эхолоты имеют скорость оборота бесконечной ленты, отличную от номинала, т.е. имеющиеся шкалы не отвечают реальным глубинам.

Данные относительно точности эхолотов "Кальмар" и ХАГ-401 смотрите в табл. 2. Как видно, отклонение от номинала составляет для эхолота "Кальмар" примерно 4-5% (со знаком "минус"), а для эхолота ХАГ-401 - от плюс 10-12%

до минус 12-15% (вместо положенного 1%). Это дефект завода, и исправить его невозможно. Установка эхолотов с такими характеристиками не желательна на научно-исследовательских судах. Относительно эхолота ХАГ-401 следует также добавить следующее. Эхолот ХАГ-401 имеет устройство, позволяющее осуществлять наклон вибратора вплоть до горизонтального положения. В первом рейсе "Каллисто" это устройство еще существовало. В настоящее время оно разобрано, и ориентировка вибратора в работе неясна. В связи с этим также возможны ошибки (в сторону увеличения глубины). В связи со своей малой мощностью более точный эхолот "Кальмар", как уже говорилось, работал меньшее количество времени. В целом в связи с низкой точностью эхолотов промер не является кондиционным при гидрографических исследованиях, но результаты промеров могут быть использованы для геолого-геофизических построений.

в) Методика измерений.

I. Для эхолота ХАГ-401 определялось номинальное время для стандартного числа оборотов по формуле $n = \frac{2ad\ell}{vK}$ где n - искомое время в секундах, a - стандартное число оборотов для данного диапазона (см. табл. 2), d - выбранный диапазон в метрах (произведение axd постоянно и равно 12000 метрам), ℓ - измеренная длина бесконечной ленты, равная 70,5 см; v - скорость распространения звука в воде, принимаемая равной 1500 м/сек; h - длина шкалы, равная 18 см; в результате $n = 62,7$ сек.

Для эхолота "Кальмар" номинальное время указано в инструкции и равно 60,7 сек (или 59,3 об/мин).

2. Вычислялись поправки за отклонение от номинального времени по формуле $C = \frac{n' - n}{n'} \cdot h$ где n - номинальное время для стандартного числа оборотов данного диапазона, n' - наблюдаемое время для такого же числа оборотов (для этого же диапазона), h - замеренная глубина без поправок (см. ИМП-74, п. 48, с учетом того, что в инструкции приведенная там формула дана с опечаткой). Поправки складываются с соответствующим знаком с измеренной глубиной для получения истинной глубины.

Величина n' - переменная, и поэтому постоянно замерялась с помощью секундомера с точностью до 0,1 сек.

Предварительно были рассчитаны соответствующие таблицы поправок для глубин с шагом 10 метров. Однако постоянно пользоваться ими оказалось весьма неудобно. Поэтому для грубых замеров использовались вместо заводской шкалы вычерченные на картоне специальные шкалы, значения для которых были вычислены по вышеуказанной формуле, где за n' было принято среднее значение этой величины для данного диапазона (см. табл. 2). Точный замер глубины определялся или по таблице поправок, или, в основном, по эхоленте с помощью циркуля и специальной палетки, рассчитанной по той же формуле.

3. Для расширения шкалы на большую глубину использовались следующие приемы.

В эхолоте ХАГ-401 на одной из лент поменяли местами посыльные контакты. Таким образом, добились того, что сместили начало отсчета (без поправок) на величину, указанную для каждого диапазона в таблице 2. Для этих фаз (уже с учетом поправок) также были вычерчены специальные

шкалы. С ними ХАГ-401 и проработал большую часть времени. Лишь на период следования по мелководью Макассарского пролива, Яванского моря и южной части Индо-Китайского моря он был переведен на режим с началом отсчета 0 метров.

При работе с эхолотом "Кальмар" использовались кратные фазировки, то есть использовалась запись не на первом, а на втором, третьем и т.д. оборотах самописца. Начало отсчета для каждого диапазона и оборота ленты вычислялось по формуле $i = \frac{nv(p-1)}{2\alpha}$ где n - номинальное время для стандартного числа оборотов, равное для "Кальмара" 60,7 сек; α - стандартное число оборотов для данного диапазона (см. табл.); v - скорость звука в воде, равная 1500 м/сек; p - порядок оборота для которого вычисляется величина i . Для удобства была вычерчена специальная схема (рис. 4). Глубина складывается из величины i , значения фазы и замера по шкале эхолота; затем берутся поправки.

4. Во время записи на эхоленте ставились оперативные отметки. Они ставились обязательно при смене фазы, диапазона, в начале и конце работы данного эхолота. В остальное время они ставились, в среднем, через полчаса. Такое время интервала выбрано ещё в первом рейсе в связи с мелким масштабом записи, плохой работой отметчика на больших глубинах и возможностью снятия непосредственно при записи лишь приблизительного отсчета глубины.

Каждой оперативной отметке придавался порядковый номер. Нумерация их была единой в течение всего рейса, и для обоих эхолотов одна. Велся специальный журнал эхолотирования, куда записывалось: дата, время и номер опера-

тивной отметки, диапазон, фаза и измеренное время оборотов самописца (n'). Эти же данные отмечались на эхолоте. 5. Во время съемки полигонов грубые отсчеты брались через каждые две минуты и записывались в специальную тетрадь. Оперативные отметки на эхолоте ставились как обычно. По двухминутным значениям строилась приблизительная схема полигона, которая затем уточнялась путем просмотра эхолота (с учетом всех галсов драгирования, прочих галсов и записи во время дрейфа). Опыт показал, что одних данных предварительного промера недостаточно для построения схемы полигона.

В целом методика работ не отличалась от примененной в первом рейсе нис "Калисто", где использовались те же эхолоты. (Ковылин и др., 1974).

3. Точность определения места судна

Определение места судна осуществлялось штурманским составом. Геоморфологическим отрядом выполнялась лишь копия судовой прокладки.

В основном, в качестве основных приборов использовались приемоиндикатор радионавигационной системы "Лоран-А" и радиолокационная станция "Дон" (табл. 3).

Определения делались примерно 1-2 раза в час, а также в точках поворотов и остановок. На полигонах таких определений было гораздо больше (см. вкл. 3).

На переходах точность определения местонахождения по РНС "Лоран-А" (не говоря уже о РНС "Дон") была вполне удовлетворительной. Ошибка вычислений почти нигде не превышала 2-3 мили, что подтверждалось определениями по береговой линии,

островам (Окинодайти, Окинатори) и по хорошо известным подводным возвышенностям (типа гор Комахаси-Дайни, Комахаси, Комахаси - Дайсон и др.). Отсюда можно предположить, что исконые, но не обнаруженные возвышенности и горы в южной части Филиппинского моря или вообще не существуют в действительности, или смещены на существующих картах. Это подтверждается также резким различием в изображении рельефа на перекрывающих друг друга участках отдельных карт.

Относительно точности определения места судна на полигонах можно сказать следующее:

1) Согласно Инструкции по промеру (ИП-64, п. 161), расстояние между галсами не должно быть меньше тройной величины ошибки наблюдения. Ступение сети не увеличивает точности карты в связи с неоднозначностью сбивки галсов. Исходя из этого расстояния, по таблице (ИП-64, п. 21) определяется масштаб, точности которого соответствует данная съемка. Там, где возможна привязка к простому рельефу, как на полигоне № 1, согласно Дополнению к ИП-64, ошибка определения уменьшается в два раза. Точность привязки по более сложному рельефу рассчитывается на ЭМ по специальной программе. Не имея такой возможности, принимаем в качестве расчетной ошибку определения судна по ГНС "Лоран-А" или РЛС "Дон" (таковы полигоны № 2, 3, 4, 5, 6). Средняя ошибка определения места судна по ГНС "Лоран-А" составила:

на полигоне № 1 - 1,2 мили (с учетом уточнений по рельефу);

на полигоне № 2 - 2 мили (с учетом развязки)

на полигоне № 4 - 3 мили (тоже с учетом развязки).

Средняя ошибка определения судна по РЛС "Дон" равна 0,5 мили (полигоны № 2, 4 и 5).

Точность построения батиметрических схем полигонов

Номер полигона	Масштаб, которому соответствует по точности выполненная схема полигона	Реальный масштаб, в котором выполнен оригинал схемы	Средняя ошибка на определенном месте сущия
Полигон № 1	1:100.000	1:50.000	1,2 мм
Полигон № 2:			
а) северо-западная часть	1:200.000	1:100.000	2,0 мм
б) южная часть	1:50.000	1:100.000	0,5 мм
Полигон № 4:			
а) западная часть	1:250.000	1:50.000	3,0 мм
б) восточная часть	1:50.000	1:50.000	0,5 мм
Полигон № 5	1:50.000	1:25.000	0,5 мм

Рис 5 Плотность эхолотных галсов на полигонах

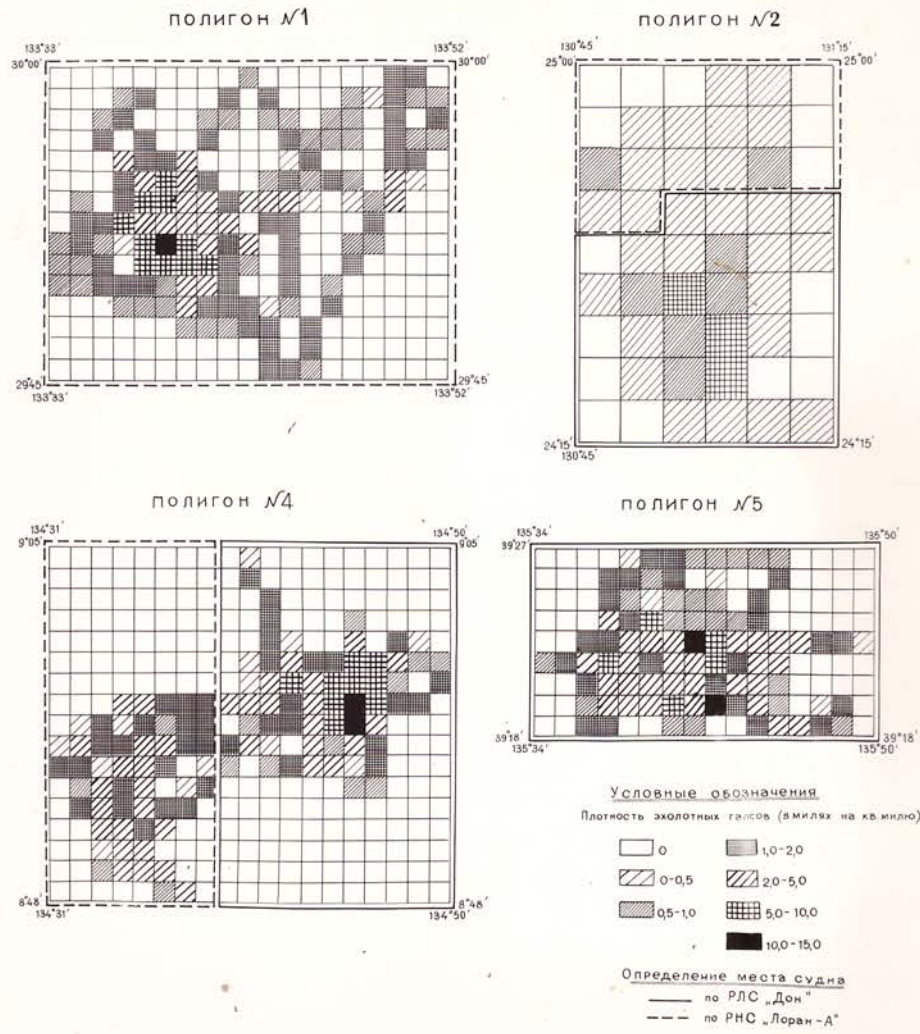


СХЕМА
МАРШРУТА НА ВОЛГОТОНЕ VI

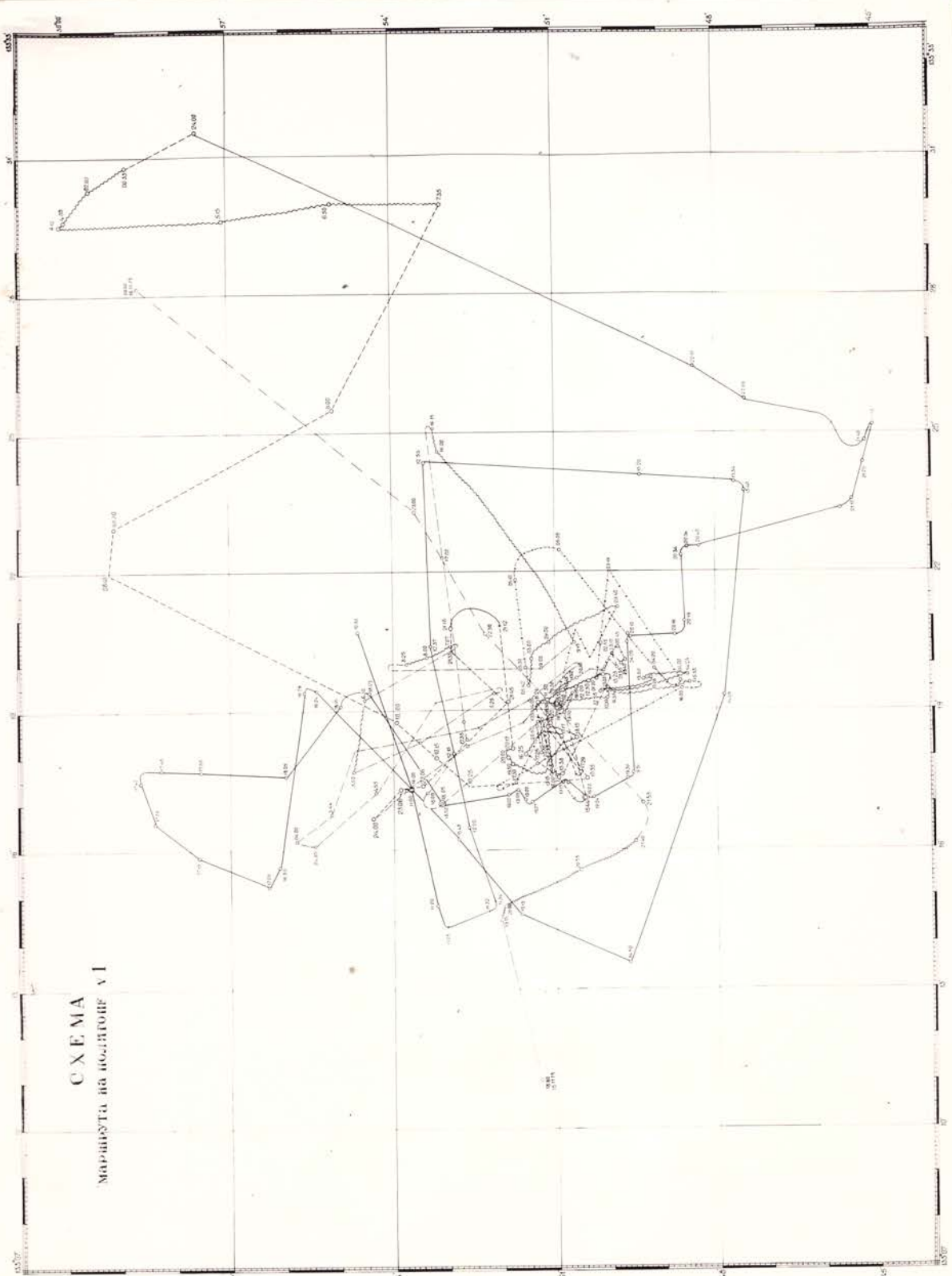


рис. 6 Плотность промерных галсов на полигоне № 1 (Мининское море)
Условные обозначения — см. рис. 27.

Масштаб, которому соответствует такая точность и масштабы оригиналов выполненных схем полигонов сравниваются в табл. 4. Видно, что они совпадают (то есть участки съемки являются условными в смысле инструкции ИИ-64, п. 21) только на южном участке полигона № 2 и восточном участке полигона № 4. Что касается плотности галсов, то на всех полигонах (кроме 3 и 6) она в 10 раз превышает необходимую (рис. 5, 6).

Говоря о точности привязки, следует сказать о следующем негативном опыте. Как видно из вышеприведенных фактов, точность определения места по РНС "Лоран-А" не обеспечивает необходимой точности съемки в целом. Однако, если в крайнем случае возникает необходимость в проведении съемки полигона или его участка с помощью системы "Лоран-А", следует помнить, что прием сигнала хорошего качества зависит также от времени наблюдения, которое можно предсказать заранее, из-за того, что значительная часть съемки проводилась в неблагоприятное для приема сигналов время, имели место потери времени. Так, на полигоне № 1 так называемые "промерные" галсы удалось расположить на карте только после того, как последняя была построена по данным галсов драгирования, увязка которых была достаточно удовлетворительна в связи с наличием простого рельефа. На полигоне № 2 и при поисках места для постановки буя на полигоне № 5 (так называемый полигон № 5А) было потеряно около 12 часов на каждом из них. Возможно, данное время следует использовать для других работ (например, для магнитных галсов большой длины и т.п.). Что касается полигонов № 3 и 6, то они в связи с малой плотностью профилей не могут считаться настоящими полигонами. При составлении схем полигонов здесь использовались имеющиеся батиметрические карты, уточнением которых эти схемы и являются.

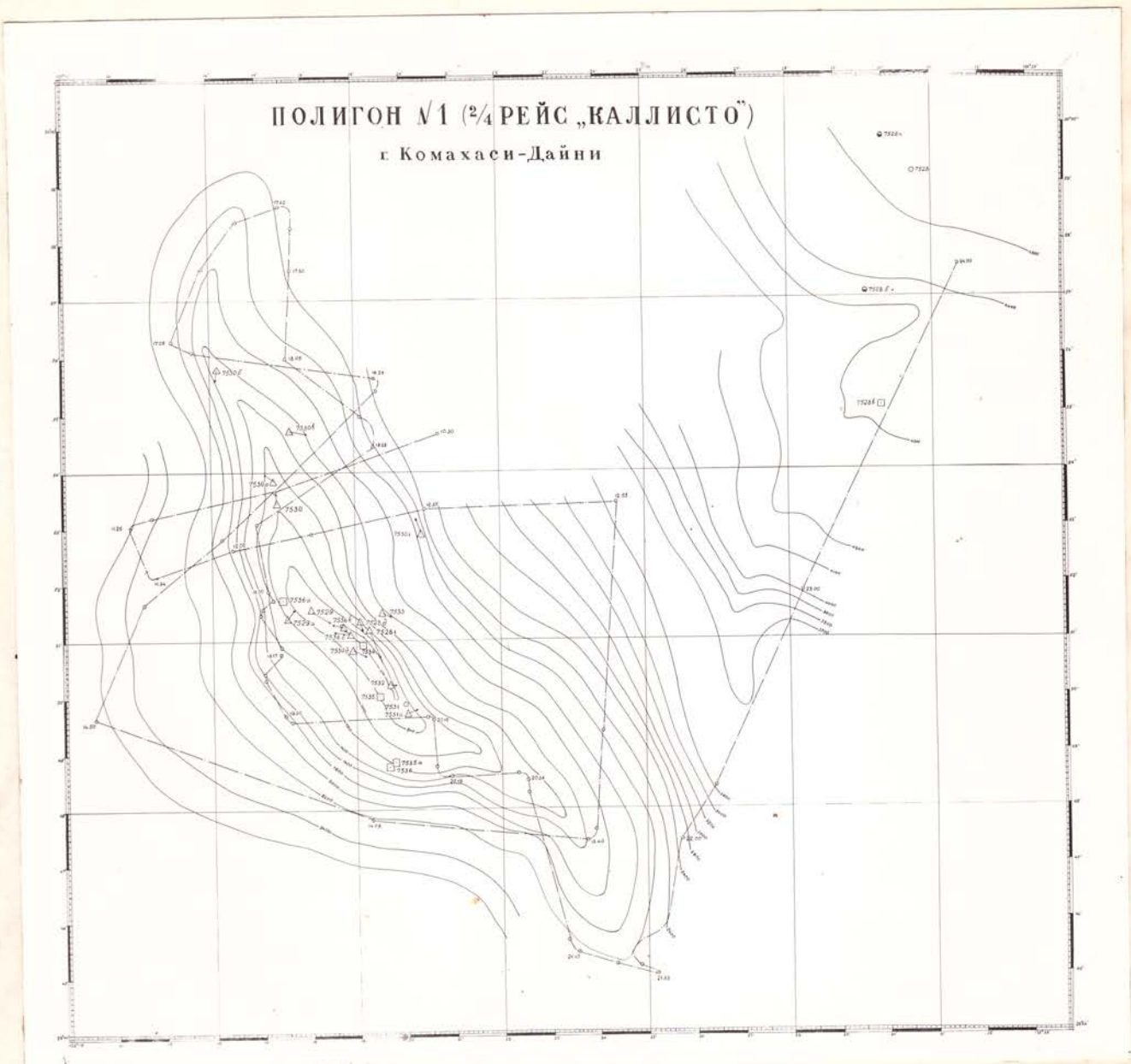


Рис. 7. Схема рельефа и расположение станций на полигоне № 1
(условные обозначения см. на рис. 27)

В целом, с учетом всего вышесказанного, следует отметить, что все составленные нами карты следует считать только схемами рельефа дна на данных полигонах. Однако, в целом они, по-видимому, верно отражают основные изменения рельефа дна и его особенности, и могут использоваться для целей геоморфологических и геолого-геофизических исследований.

Количественные результаты геоморфологических исследований в четвертом рейсе нис "Каллисто" приведены в таблице 3.

4. Предварительные результаты

ФИЛИППИНСКОЕ МОРЕ

Исследование подводных возвышенностей

По результатам полигонных работ, проведенных в северной и южной частях хребта Крис-Палау и в западной части хребта Ски-Дайто, получен новый материал, уточняющий черты рельефа этих участков и, вместе с геолого-геофизическими материалами, дополняющий наши сведения о природе этих структур.

Северная часть хребта Крис-Палау представляет собой в плане гряду более или менее обособленных гор, иногда имеющих правильную коническую форму, а чаще смыкающихся в слегка вытянутые монолитные массивы. Одной из наиболее крупных та-ких возвышенностей является гора Комакас-Дайни площадью 110 кв. миль, на которой был разбит полигон В I (рис. 7). В плане она имеет форму эллипса, ориентированного длинной стороной в субмеридиональном направлении с удлинением 1:2; вершина её имеет глубину 500 метров. В поперечном разрезе возвышенность как бы состоит из двух "этажей", граница между которыми проходит по вышележащей ступени, находящейся на изобате 1500 метров. В плане эта ступень охватывает всю

ПРОФИЛЬ ГОРЫ КОМАХАСИ - ДАИНИ

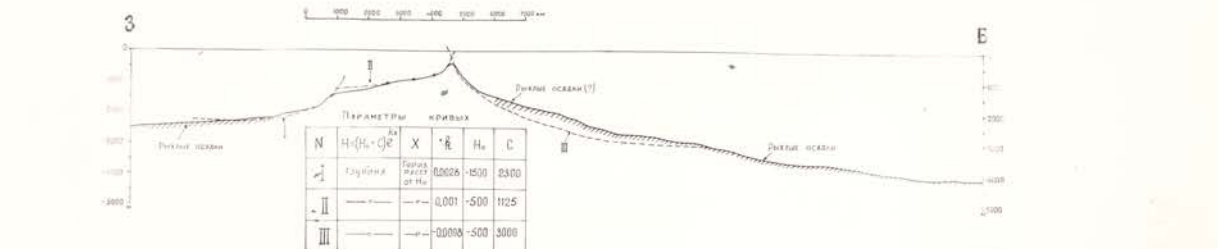


СХЕМА РАСПРЕДЕЛЕНИЯ ГЛУБИН ДЛЯ ГОРЫ КОМАХАСИ - ДАИНИ



СХЕМА РАСПРЕДЕЛЕНИЯ ГЛУБИН ДЛЯ ВОСТОЧНОЙ ЧАСТИ ПОЛИГОНА N4

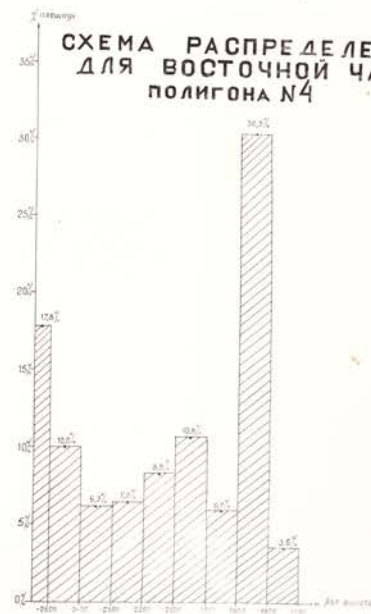


Рис. 8. Профиль рельефа и распределение глубин для полигонов Б I и Б 4

гору, то есть лежащий выше гребень целиком расположен на этой площадке. Ступень хорошо выражена на западном склоне, так как лежащий выше гребень асимметричен, а ось его расположена в восточной части площадки; однако ступень прослеживается и на восточном склоне.

Склоны как верхнего гребня, так и цоколя имеют сходную между собой выпуклую форму. В верхней части крутизна склона велика и составляет около 40° , а книзу она выглаживается до $5-10^{\circ}$. Средний наклон $20-25^{\circ}$. Интервал наиболее крутых частей склона, то есть интервал, на котором происходит это постепенное выглаживание, занимает по высоте в обоих случаях 1000 метров. Форма склонов, как показано на рис. 8, хорошо аппроксимируется с помощью экспоненциальной кривой.

Относительно возникновения профиля подобной формы можно сказать следующее:

1) Распределение высот рельефа для глубин 500-2300 метров (для которых возможен подсчет), дает в результате гиперболу, с небольшим изломом, соответствующим упоминаемой площадке на глубине 1500 метров (рис. 8). Отдельные ветви распределения, соответствующие верхнему гребню и цоколю возвышенности, также хорошо аппроксимируются гиперболами. Согласно Б.А.Казанскому (1974), такая аппроксимация обусловлена общими закономерностями энергетического порядка и отвечает условию динамического равновесия.

Распределение же высот рельефа глыбовой горы, образованной в результате тектонического поднятия, не компенсированного эрозией, иное (см. тот же рис. 8, а также Шарф, 1967). Да и профиль глыбовой горы другой. Таким образом, видно, что роль тектонического фактора в формировании современного рельефа

гори Комахаси-Дайни очень невелика (что не означает иного его значения в более ранние периоды становления хребта). Это подчеркивается также и отсутствием каньонов. Определяющую роль в их образовании для подводных возвышенностей, в отличие от материкового склона, играет сетка разломов (что будет показано в другом месте), которая здесь отсутствует, что подтверждается и магнитными данными.

2) Рассмотрим роль биогенного фактора в формировании современного рельефа.

Некоторые наблюдения, о которых будет рассказано в другом месте, связанные с исследованием магнитного поля, позволяют косвенно предположить, что величина эрозионного расчленения связана с мощностью толщи органогенного известняка, покрывающего вершину. Если это так, то мощность известняков, добытых драгированием, должна быть весьма малой, так как расчлененность хребта фактически отсутствует. В этом случае наблюдаемый профиль характеризует форму поверхности того комплекса пород, который образует основную часть постройки, то есть роль биогенного фактора в формировании рельефа мала.

3) Динамическое равновесие достигается сложным взаимодействием эндогенных и экзогенных факторов. Какова возможная роль экзогенных процессов?

а). Обычно вышележащая часть экспоненциальной кривой обусловлена аккумуляцией осадков в нижней части склона.

Однако в нашем примере дело обстоит не так. По данным НСН, рыхлые осадки появляются на западном склоне на глубинах, превышающих 2300 метров, а на восточном склоне, по данным драгирования, приазки ила появляются с глубины 1500 метров, но именно на этих глубинах и кончается

аппроксимация склона экспоненциальной кривой (рис. 8) то есть, подобная форма не обусловлена существованием быстрого чехла осадков.

- б). Наличие сильных течений не способствует аккумуляции осадков на вершине горы, что доказано опробованием черпаками и данными НСП. Следовательно, отсутствует и снос материала вниз по склону, что исключает эрозию склонов суспензионными потоками, оползнями и сходными с ними процессами.
- в). Пале упомянутых сильных течений имеет в данном месте сложную структуру (это граница между течением и противотечением Куроисио). Эта структура меняется в течение года (Уда, 1974). В ходе работы на полигоне отмечалось сильное течение, в основном, в южном и юго-юго-западном направлении (рис.).

Способность самих течений, не несущих достаточного количества взвешенного материала, непосредственно эродировать горные породы на глубине, не доказана. Однако поток над подводной горой может вызвать внутренние волны (Лафонд, 1974; Монин и др., 1974). Теоретически и опытами на моделях показано, что последние способны образовать вогнутый склон, профиль которого подобен наблюдаемому вплоть до исходной террасы; которая, правда, имеет менее резкий перегиб с нижней частью склона, чем наблюдаемый нами (Gasirowski, 1974). Отмечается, что в связи с большей длиной волны создаваемые формы должны иметь большие размеры, менее резко выражены по сравнению с наземными формами и могут образовываться на любой глубине. Волны чаще всего, при таком возникновении, образуются за препятствиями (Монин и др., 1974). Это так же подходит к нашему случаю, если считать основным направлением

течения юго-юго-западной (пологая ступень наиболее хорошо выражена с юго-западной стороны). Следует отметить, однако, и отличия. На модели в нижней части склона образуются борозды, которые в нашем примере отсутствуют. Правда, их отсутствие можно связать с крепостью пород, их однородностью (что подтверждается характером аномального магнитного поля, по ^{мнению} ~~результатам~~ Ю.В. Шевалдина), а также отсутствием сетки разломов.

Неясно, однако соответствие модели натурным условиям и гидродинамической обстановке в районе горы Комахаси-Дайни.

До проведения дополнительных исследований вопрос остается открытым. В целом, однако, гидродинамические явления, связанные с течениями, такие, как турбулентность и внутренние волны, могут оказаться наиболее крупным фактором физического выветривания, оказавшим влияние на образование столь сглаженной формы горы.

г). Нельзя исключить также влияние химического выветривания (взаимодействие с морской водой, фазовые переходы в минералах известняков, а также образование железомарганцевых пород). Этот фактор также мог способствовать сглаживанию неровностей рельефа.

4). Таким образом, физическое и химическое выветривание могло сыграть определенную роль в образовании современного рельефа. Несомненно, однако, исходя из современных представлений о геологии океана, что определяющими являются эндогенные процессы. Уже отмечалось малое значение тектонических факторов. Отсюда наибольшее значение в формировании рельефа отводится вулканогенному фактору.

По этому вопросу можно отметить следующее:

а). По данным глубоководных фотосъемок Срединно-Атлантического хребта (*Quest to...*, 1974), многочисленные лавовые

потоки, в связи с влиянием давления столба воды, резко отличаются от аналогичных образований на суше, и скорее "напоминают пасту, выдавленную из огромного тюбика". К растеканию такого материала по склону, возможно, можно применить теоретические расчеты, выполненные Беккером исходя из теории пластичности, который получил для профиля склона экспоненциальную кривую (выводы см. у Лучицкого, 1971).

Косвенным подтверждением этому, возможно, является сдвиг магнитной аномалии в сторону крутого западного склона. Пока не произведен расчет поправок за рельеф, нельзя сказать точно, действительно ли сдвиг аномалии в сторону склона отражает выход здесь магнитовозмущающих, предположительно вулканогенных пород, однако аналогичная ситуация наблюдается и на полигоне № 2, где несколько иной рельеф. Возможно, вулканогенные породы выходят (или почти выходят) здесь на поверхность, непосредственно образуя наблюдаемый характерный профиль.

Для вулканического рельефа характерно также такое положение, когда верхняя постройка располагается на нижней, большей по размерам. Высота каждой такой постройки (до уровня выколаживания) составляет около 1000 метров, а для вулканических построек такой высоты и на суше характерны вогнутые формы склонов (Лучицкий, 1971).

- б). Однако, в плане гора не имеет правильного конуса (или двойного конуса), столь характерного для вулканов. Это может быть связано с многочисленностью центров извержения. Возможно, это явление вообще характерно для глубоководных излияний, где, в связи с быстрым охлаждением и

сопровождением воды, лавовые потоки не распространяются далеко, но извергаются из многих центров (Birney 1971). То, что для подводных вулканических гор характерны и овалы формы, отмечается и другими исследователями (Руденко, 1975).

Небольшая изометрическая аномалия в северной части горы, на ступени глубиной 1500 метров, по-видимому, указывает на мелкую неоднородность в виде штока (сообщение С.А.Кудинова), которую можно интерпретировать и как побочное жерло. Возможно, это явление косвенно и подтверждает предположение о нескольких центрах извержения.

Однако из предыдущих выводов не следует, что возвышенность Комахаси-Дайни и весь хребет Кюсю-Палау сформирован столь просто. Можно сделать следующие поправки:

- 1). Магнитное поле на данном участке характеризуется положительной магнитной аномалией простой формы, хорошо коррелирующей с рельефом. По мнению Ю.В.Шевалдина и С.А.Кудинова, величина аномалии (200-400 гамм, в различных интерпретациях) в значительной мере обусловлена рельефом, и скорее магнитовозмущающими породами являются не базальты, а андезиты, в крайнем случае андезитобазальты. Возможно наличие в составе комплекса и иных пород; магнитовозмущающие массы могут располагаться только на поверхности. А.М.Городницкий (1975) предполагает для гор с аномалиями, меньшими в диаметре, чем сама гора, такой же состав, отмечая, что в основании гор нет, как правило, магнитных масс. Он же отмечает, что такие горы характерны для переходной зоны от континента к океану.

- 2). Подтверждением того, что комплекс основания горы содержит и иные породы, является находка обломка кислой породы интрузивного облика ($SiO_2=62\%$). Отрывочные данные о работах Японских геологов также свидетельствуют об участии в строении хребтов Кюсю-Палау и Оки-Дайто, наряду с вулканическими породами, также и гранитоидов (по РИ Геология, 2A378, 2A557).
- 3). Таким образом, магнитные вулканические породы, образуя отмеченный профиль горы, только покрывают более древний сложно построенный комплекс. Как отмечалось выше, среди этого покрова могут быть и не основные породы (и даже кислые). Косвенно это может подтвердить следующее обстоятельство. Возможно, большое количество кислого пирокластического материала указывает на Комахаси-Дайни как на источник. Извержения могут быть и подводными, так как данная глубина, по мнению многих исследователей, позволяет подобные явления (Лучицкий, 1971; Чайников, 1975). Развитие всего Тихоокеанского пояса от Камчатки до Новой Зеландии (в том числе островных дуг Рюкю, Бонин и Марианской) ознаменовалось в плейстоцене большой вспышкой кислого вулканизма (Эрлих и Мелекесев, 1973). По отношению диаметра к высоте, составляющие возвышенность Комахаси-Дайни две постройки относятся к типу, наиболее распространенному среди вулканов островных дуг Рюкю, Бонин и Марианский (Эрлих, 1971) и, возможно, сходны с ними и по внутреннему строению (следя Городничскому, 1975). Возможно поэтому, что проявившаяся в указанных дугах вспышка кислого вулканизма затронула и Кюсю-Палау. Согласно полевому определению

М.Г.Бираллиной, кислые пещиловые прослои Филиппинского моря имеют как раз плейстоценовый возраст.*

Суммируя все вышесказанное, можно отметить:

- 1). Основание горы составляет сложно построенный комплекс с участием гранитоидов.
- 2). Его поверхность покрывают, возможно в результате работы несколько центров извержения, вулканогенные породы различного состава, но преимущественно тяготящие ближе к основному ~~составу~~. Они, главным образом, и образовали наблюдаемый профиль горы. Это, конечно, не исключает наличия отдельных выходов более древних пород на поверхность.
- 3). На вершине располагается маломощная толща органогенных известняков, скрадывающая неровности вулканогенного рельефа вершины. Условия их образования сейчас не вполне ясны, так как необходимо исследование фациальной и возрастной принадлежности образцов известняков с разных гипсометрических уровней.
- 4). Профиль горы, в основном образованный за счет вулканогенного фактора, отшлифован экзогенными процессами (различные гидродинамические явления и химическое выветривание). Профиль склона глубже 2300 метров имеет аккумулятивную природу. Как будет показано ниже, форма и строение северного хребта Кюсю-Палау ближе к форме и строению хребта Сики-Дайто, и отличается от формы и строения южной части Кюсю-Палау (рис. 9).

Возвышенности Амами, Дайто и Сики-Дайто составляют вместе обширную горную область на северо-западе Филиппинского моря. В этом участке нами исследовался ^{участок} область на южной стороне этого

* Вулканогенно-интрузивный комплекс основания возвышенности, вероятно, имеет более древний возраст.

треугольника (полигон № 2). В пределах полигона расположена продолжающаяся далее на северо-восток плоская, выравненная поверхность со средней глубиной 2350 метров (см. на рис. 28), на этой поверхности расположено три ориентированных в разные стороны друг относительно друга узких гребня протяженностью в пределах полигона около 50 миль и удлинением 1:3 (рис. 28). Расположенный на юго-востоке гребень протягивается в субширотном направлении, имеет высоту 18 метров над уровнем моря (остров Окинодайто) и является западным окончанием хребта Оки-Дайто, а два остальных гребня (один, юго-западный, имеет северо-восточное простирание, а другой, северо-западный - юго-восточное) имеют минимальную глубину примерно 1500 метров и носят общее название хребта Лусон-Дайто (Могил, 1971). Этот хребет на севере подходит к западной оконечности хребта Дайто, а на юге прослеживается на неопределенное расстояние. Рельеф этого участка ранее рисовался очень схематично (Могил, 1970; Karig *a.o.*, 1973). Более или менее правильно его морфология показана на физикографической карте Г.Б.Удинцева (1972) и у Степанова (Stepanov, 1974). Хребет Лусон-Дайто как бы сломан концами хребтов Дайто и Оки-Дайто. Хребты имеют средний наклон 15° и разделены относительно широкими плоскими прямолинейными долинами, образованными, очевидно, по разломам. На западе и на юге указанная структура круто обрывается в Филиппинскую котловину, которая здесь имеет глубину 4000 метров и плоское дно. Указанные долины продолжают-ся на склоне в виде относительно глубоко врезаемых каньонов (глубина вреза более 300 метров), которые также имеют прямолинейные очертания и выровненное дно. Обращенные на запад и северо-восток склоны хребта Лусон-Дайто имеют более пологие склоны, которые расчленены долинами более мелкого порядка. Интенсивность рас-

членения здесь является самой большой среди всех изученных возвышенностей. Средняя глубина вертикального расчленения (этими мелкими долинами второго порядка) составляет 80 метров, средняя величина горизонтального расчленения - 0,5 мили, средний наклон около 5° . Южные склоны хребта Оки-Дайто также расчленены долинами, но крупными (горизонтальное расчленение 3,5 мили, вертикальное 300 метров, углы наклона склонов от 10° до 17°). Центры магнитных аномалий, отмеченных в южной части полигона № 2, приходятся на крутые склоны гребней, также как и у Камахаси-Дайни, то есть смещены относительно рельефа. Сейчас нельзя сказать, действительно ли это смещение отражает смещение вызывающего аномалию тела ближе к склону, или это смещение вызвано влиянием рельефа. Возможно, это тело действительно расположено здесь ближе к поверхности склона. В северной части полигона аномалий нет, и там наблюдается более пологий склон и более интенсивное расчленение. Возможно, большая расчлененность связана здесь с большой мощностью известняков; последнее подтверждается бурением на островах Бородино (Б.И. Васильев, 1974). Сами аномалии меньше, чем на Камахаси-Дайни, и к ним в полной степени можно отнести все сказанное относительно последней. По-видимому, строение этих гор очень сходно или аналогично строению хребта Кюсю-Палау, что подтверждается новыми японскими данными (РЯ Геология 1976, 2A358, 2A557). Развитие этих возвышенностей и хребта Кюсю-Палау возможно, тесно связано друг с другом или аналогично. Однако возможно и различие. Для выявления этого различия на поздних этапах развития пока нет данных, нужно исследование фашиальной и возрастной принадлежности известняков с различных гипсометрических уровней (см. Garrison *et al.*, 1975).

Рис. 9 ПРОФИЛЬ ХРЕБТА ПАЛАУ

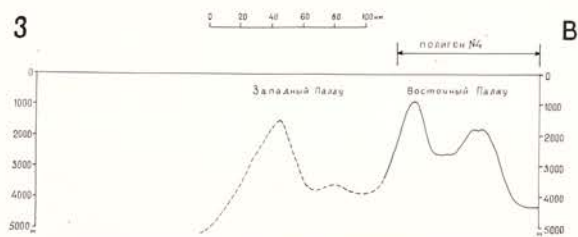


Рис. 10. БАТИМЕТРИЧЕСКИЙ ПРОФИЛЬ СУЛАВЕСИ - ПАЛАУ



Центральный участок хребта Кюсю-Палау по строению резко отличается от северного, (что показано на рис. 9). Здесь он имеет двойное строение. Он состоит здесь из двух хребтов: Западного и Восточного Палау, расположенных на расстоянии около 40 миль. На восточном находятся острова Палау, а на западном — цепь подводных возвышенностей округлой формы, возможно, вулканогенных (рис. 10). На одной из них был подобран обломок, предварительно определенный как туфо-алевролит (Ст. 7586); см. рис. На Восточном Палау был отработан полигон № 4 (рис. 26). Было выяснено, что Восточный Палау также состоит из двух параллельных хребтов, разделенных плоской долиной на глубине 2600 метров. Склоны хребтов, обращенные к долине, имеют сравнительно пологие склоны, а обращенные к соседним глубоководным котловинам — крутые. Минимальная глубина восточного хребта — 1800 метров, а западного — 900 метров. Западный хребет имеет более сложную конфигурацию. Восточный хребет разделен в северной части долиной, протягивающейся параллельно хребту. Судя по гидрографическим партиям, хребет (сохранив двойное строение) состоит из отдельных сегментов, но полигон захватил только часть одного из них, поэтому нельзя представить точную схему распределения высот рельефа. Однако для восточного хребта, условно считая центр эллипса, образованного изобатой 1900 метров, центром симметрии, можно представить приближенную схему (рис. 8). Получилось, что форма распределения соответствует глыбовой горе, вершина которой поднята относительно состояния динамического равновесия. Это подтверждают данные по драгированию, которые указывают на то, что восточный хребет сложен глубинными метаморфогенными породами. Поверхность западного хребта сложена известняками, под которыми залегает разнообразный вулканогенный комплекс.

В целом строение всего хребта отвечает строению островной дуги

Рис. 11 СХЕМАТИЧЕСКИЙ ПРОФИЛЬ СТАНДАРТНОЙ ОСТРОВНОЙ ДУГИ (НА ПРИМЕРЕ МАРИАНСКОЙ) СО СХЕМАТИЧЕСКИМ ФАЦИАЛЬНЫМ ПРОФИЛЕМ (ПО *Garrison a.o.* 1975.)

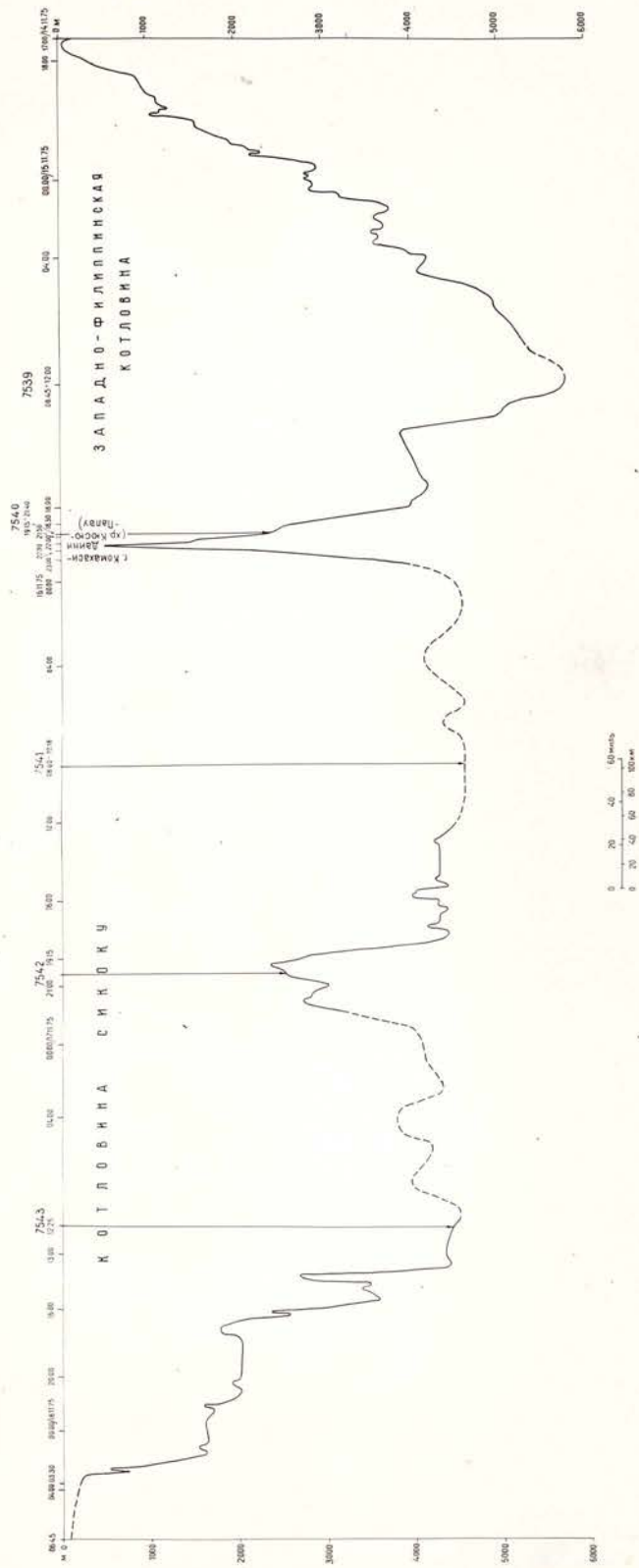


типа соседней (и параллельной Палау) Марианской дуги. По схеме Карига (Karig, 1971, Garrison *et al.*, 1975) стандартная дуга имеет следующее строение (рис. 11) на востоке располагается так называемая фронтальная дуга, которая, в свою очередь состоит из двух частей. В западной части фронтальной дуги находится, как правило, цепь активных вулканов, часто подводных, или, по крайней мере (если дуга переживает период тектонического или вулканического покоя), комплекс пород этого хребта представлен наиболее молодыми для всей системы островной дуги вулканическим комплексом. В восточной части находится хребет, комплекс пород которого представлен либо более древним вулканогенным комплексом; либо (иногда) метаморфогенными породами и перидотитами (на островах Яп, Гуам и др.). Разделены они небольшой ширины (10-12 миль) ложбиной, называемой внутридуговым (интрадуговым) бассейном. Дно её хорошо выровнено осадконакоплением. Превышение её относительно разделяющих её хребтов невелико (1000-2000 метров). Западнее фронтальной дуги на сравнительно большом расстоянии (до 100 миль) располагается, как правило, подводный хребет, сложенный тоже древними вулканогенными породами (так называемая третья, или остаточная дуга). Между последней и фронтальной дугой располагается сильно расчлененный тектоническими движениями бассейн, расположенный часто на уровне глубоководной котловины и называемый междуговым бассейном. Изредка и третья дуга тоже может разделяться на 2 части. Очевидно, своеобразная дихотомия свойственна островным дугам. Для фронтальной дуги характерно распространение коралловых построек, которые, в зависимости от вулканической и тектонической активности, то возвышаются, над уровнем моря, то погружаются. При этом происходит характерная смена фаций (Garrison *et al.*, 1975).

Схема строения хребта Палау-Нисю в южной своей части полностью

119

Рис. 11^а БАТИМЕТРИЧЕСКИЙ ПРОФИЛЬ ТОКИО - НАСЕ



отвечает, таким образом, схеме строения стандартной дуги, находящейся в настоящее время в состоянии покоя (см. рис. 11)

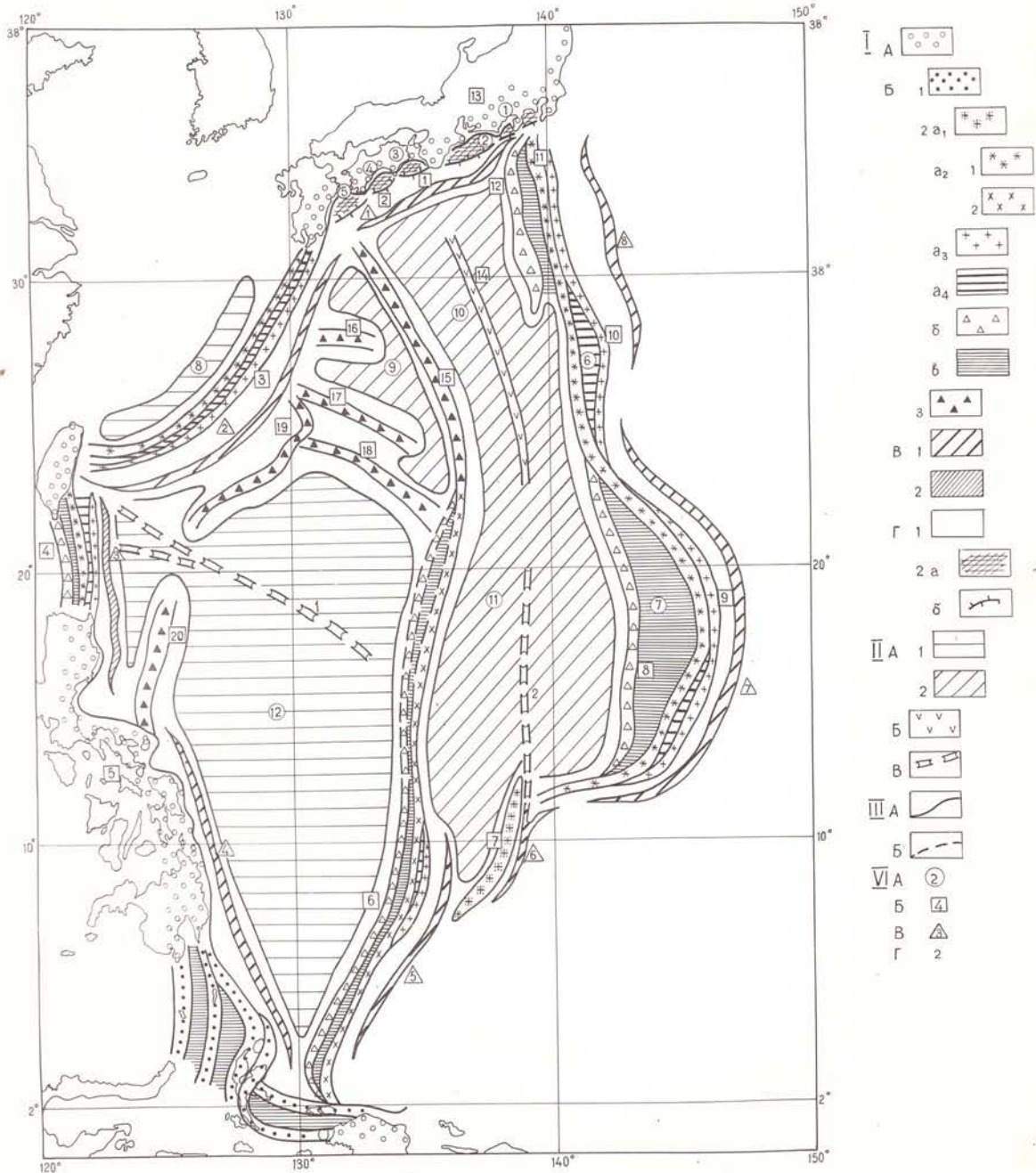
Насколько далеко на север продолжается двойное строение хребта Кюсю-Палау - точно неизвестно. Этот район очень плохо изучен. Возможно, судя по некоторым батиметрическим картам, смена типов строения хребта с двойного на одинарное происходит в зоне сочленения с линейментом, простирающимся в субширотном направлении и проходящем вдоль хребта Оки-Дайто, далее через сужение, разделяющее котловины Сикоку и Западно-Марианскую и через субширотную зону, разделяющую Марианскую и Бонинскую системы дуг, уходящую затем в Тихоокеанскую котловину (рис. 12). Судя по тому, что к западу от о. Окинава (Наресе-Вела) в 1971 году был обнаружен новый риф, можно предполагать двойное строение хребта и здесь. Судя по профилям "Витязя" (Удинцев, 1973) строение хребта ближе к месту упомянутого сочленения становится сложнее. То же характерно и для Марианской дуги (Karig, 1971). Где то в районе рифа Наресе-Вела (точное местоположение неизвестно, но возможно к северу от него) наблюдалось извержение вулкана (Лучинский, 1971, со ссылкой на Вольфа). Вулканизм очень характерен для сочленения дуг (Лучинский, 1971).

Возраст хребта Кюсю-Палау, по-видимому, достаточно древний. По косвенным данным (Karig *et al.*, 1973), в позднемеловое время хребет уже существовал, и он моложе базальтового основания Западно-Филиппинской котловины (для которого указывается возраст от 35 до 60 млн. лет).

Глубоководные котловины Филиппинского моря.

Исследовались лишь попутно, в ходе промера, причем не всегда была возможность записать рельеф на эхоленте. Поэтому получены

Рис 12 СХЕМА
РЕЛЬЕФА ДНА ФИЛИППИНСКОГО МОРЯ



К рис. 12. Схема рельефа дна Филиппинского моря

(составлена по материалам 4^{го} рейса "Каллисто" и следующим работам:

Борсенев и др., 1975; Канаев и др., 1975; Мори, 1970, Удичев, 1972; Калн, 1973; Garrison a.o., 1975; Karig, 1971; Karig and Moore, 1975; Karig 1973; Ludwig a.o., 1973; Stepanov, 1974).

Условные обозначения

I. Зоны островных дуг и глубоководных желобов

A. Островные дуги с крупными наземными горными сооружениями.

B. Прочие островные дуги и сходные с ними по строению подводные хребты.

1. Системы малых островных дуг со сложным строением.

2. Системы островных дуг с двойным строением:

а) фронтальные дуги:

а₁) не разделенные на зоны

а₂) внутренние фронтальные дуги:

1) вулканически активные

2) неактивные

а₃) внешние фронтальные дуги

а₄) внутридуговые котловины

б) тыловые дуги

в) междугровые котловины.

3. Системы островных дуг с одинарным строением.

B. Глубоководные желоба:

1. Некомпенсированные осадконакоплением.

2. Компенсированные осадконакоплением.

Г. Склоны островных дуг и глубоководных впадин.

1. С простым строением

2. Со сложным строением:

а) котловины ("террасы")

б) граци

II. Зоны глубоководных котловин:

А. Глубоководные котловины, представленные:

1) субгоризонтальными равнинами

2) холмистым рельефом.

Б. Отдельные вулканические хребты

В. Зоны центральных разломов глубоководных котловин.

III. Границы осей хребтов и глубоководных котловин:

А) достоверные

Б) предполагаемые

IV. Номера названий отдельных элементов рельефа, обозначенных цифрами:

А) котловины

Б) хребтов и островных дуг

В) глубоководных впадин

Г) зон разломов.

Цифрами обозначены:

1.) Глубоководные котловины, внутри- и междуговые котловины и котловины островного склона:

1 - Эисопада; 2 - Куманопада; 3 - Каи-Суццо; 4 - Тоса;

5 - Хьюгапада; 6 - Огасавара, или Бонин; 7 - Марьянская;

8 - Окинава; 9 - Амаги; 10 - Сикоку, или Нампо; 11 - Западно-

Марьянская, или Паресе-Вела; 12 - Западно-Гималайская.

2. Системы островных дуг, отдельные хребты и гряды:

1 - возвышенность Тосабаё; 2 - возвышенность Мурато; 3 - система островных дуг Нансей, или Рюкю; 4 - система островных дуг Лусон-Тайвань; 5 - системы островных дуг Филиппинских островов; 6 - система южной части Кюсю-Налау; 7 - островная дуга Яп; 8 - Западно-Марианский хребет; 9 - Восточно-Марианский хребет; 10 - хребет Огасавара, или Бонин; 11 - хребет Сичито-Иводзима; 12 - хребет Икиси-Симито; 13 - системы островных дуг Японских островов; 14 - хребет Кизан; 15 - северная часть Кюсю-Налау; 16 - хребет Амами; 17 - хребет Дайто; 18 - хребет Оки-Дайто; 19 - хребет Дайто-Лусон; 20 - хребет Бенкам, или Ансон;

3. Глубоководные желоба:

1 - Нангай; 2 - Нансей, или Рюкю; 3 - Лусон-Тайвань; 4 - Филиппинский; 5 - Налау; 6 - Яп; 7 - Марианский; 8 - Цизу - Бонинский.

4. Зоны разломов:

- 1) Центрального Филиппинского, или Тайваньского;
- 2) Западно-Марианского.

весьма отрывочные данные.

Котловина Сикоку и Западно-Марианская.

По литературным данным (Mori, 1970) впадины Сикоку и Западно-Марианская, с одной стороны, разделены на две части тектоническим линейamentом субмеридионального простирания, а с другой — серией многочисленных, особенно во впадине Сикоку, субширотных разломов, затухающих к западной части. На взаимном пересечении этих двух простираний располагаются одиночные горы или небольшие гряды, вытянутые в субширотном направлении. Во впадине Сикоку получается своеобразная горная цепь, отдельные небольшие гряды которой часто ориентированы перпендикулярно её простиранию. Это так называемая цепь Киан (Mori, 1970). Узкое сужение, разделяющего котловину Сикоку и Западно-Марианскую, на продолжении хребта Киан находится так называемый Западно-Марианский разлом, который представляет собой цепь отдельных, часто кулисообразно расположенных впадин, а с восточной и западной сторон — цепочку возвышенностей. В южном направлении глубина впадин становится все больше, и разлом соединяется с желобом Яп, продолжением которого он и является (рис. 12).

В северной части Западно-Марианской котловины он прослеживается плохо. Разлом показан не на всех картах и отмечается не у всех авторов; в рейсе разлом не исследовался.

Отдельные крупные горы расположены и за пределами хребтов Киан и Западно-Марианского разлома, но основной чертой поверхности дна этих котловин является абиссальные холмы разнообразной формы, со средней высотой 200 метров (рис.).

ПОЛИГОН №3 (2/4 рейс «Каллисто»)

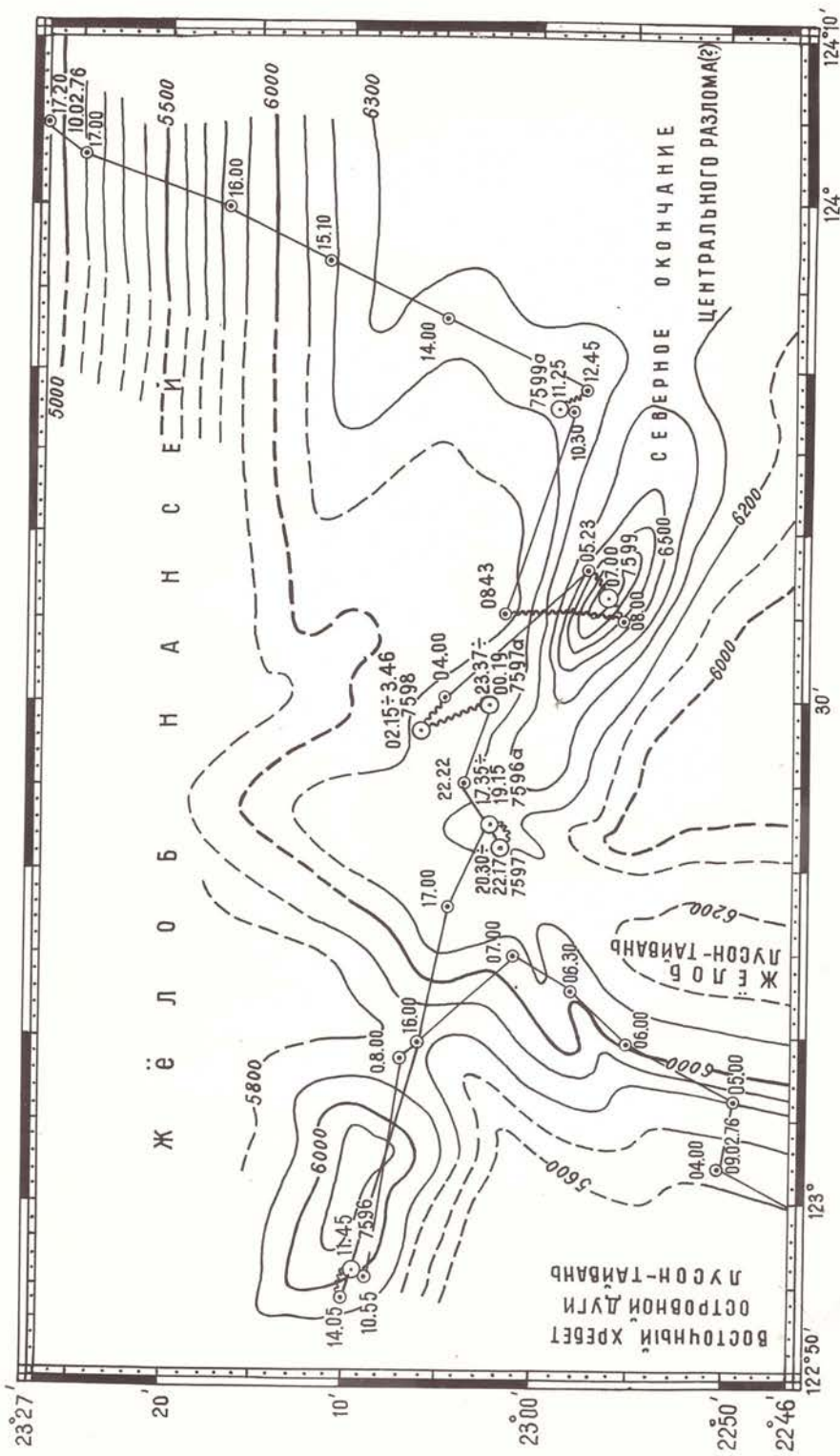


Рис. 13. Схема рельефа и расположение станции на полигоне № 3
(усл. обозначения см. на рис. 27)

По данным НСН для вулкана Сижоку и морфологическим признакам они имеют разный генезис. Часть из них, возможно, имеет вулканогенное происхождение, часть имеет глыбовую форму и связана с разломами. Возможно образование наиболее мелких неровностей и за счет экзогенных процессов. Возраст их так же, вероятно, различен (по интерпретации данных НСН); см. рис.

Западно-Филиппинская котловина.

Маршрут следования через Западно-Филиппинскую котловину проходил без эхолота. Но в северо-западной части были проведены полигонные работы. Рельеф Западно-Филиппинской котловины обычно характеризуется как в значительной мере более сглаженный. Примерно в центре её расположен так называемый Центральный разлом Западно-Филиппинской котловины. На отечественных картах он называется Тайвань-Айанте, или Тайвань-Сорол (Удлинцев, 1972), поскольку его продолжают за пределы Филиппинской котловины. Однако в других работах его не прослеживают далее хребта Кюсю-Палау. По данным Керига (Karig a.o., 1973), имеющего, по его словам, не опубликованную карту Центрального разлома, зона разлома постепенно расширяется в юго-восточном направлении и, постепенно заворачивая к югу, соединяется с хребтом Кюсю-Палау (рис. 12). На северо-западе его окончание так же располагают по разному. По Керигу (Karig a.o., 1973), он слегка загибается в западном направлении и обрывается, засыпанный осадками и сейсмически не активным желобом Лусон-Тайвань.

На советских картах его северо-западное окончание направляют на точку пересечения упоминаемого желоба Лусон-Тайвань с желобом Пансей. В последнем месте был отработан полигон № 3 (рис. 13).

Полигон располагается в западной части желоба Пансей: северную часть полигона занимает подножье его северного борта, в данном месте довольно плоского (6°). Дно желоба плоское, расположено на глубине 6100 метров; имеет отдельные удлиненные впадины, имеющие вдоль оси удлиненный слабый наклон (1°), а в крест оси - наклон до 6° . В пределах полигона имеется две такие впадины. Западная имеет относительную глубину 100 метров, а восточная - 700 метров. Последняя расположена под углом к оси желоба и ориентирована на юго-восток. Еще далее к юго-востоку исследований не проводилось, и не известно, является ли такое кулисообразное расположение впадин характерным для всего желоба, или же в данном случае юго-восточная ориентировка отдельных углублений отражает сочленение желоба с центральным разломом (или его оперяющими), как это примерно показано на некоторых батиметрических картах. (рис. ). В юго-западной части намечается субмеридиональное простирание элементов рельефа при сохранении очень пологих углов (2°) и небольших колебаний уровня дна. Это северное окончание слабо выраженного в рельефе дна желоба Лусон-Тайвань (Karig a.o., 1973) и расположенного к западу от него подводного хребта, являющегося восточным хребтом системы островной дуги Лосун-Тайвань. Желоб отделен от Западно-Филиппинской котловины слабо выраженным валом.

Островной склон островов Кюсю и Сикоку.

Он имеет очень сложное строение. Он разделен на две части (так называемый верхний склон и нижний склон, по Ludwig a.o., 1973). Верхняя ступень занимает площади обширных полукруглых заливов, вдающихся в берег островов Кюсю и Сикоку. Возвышенность,

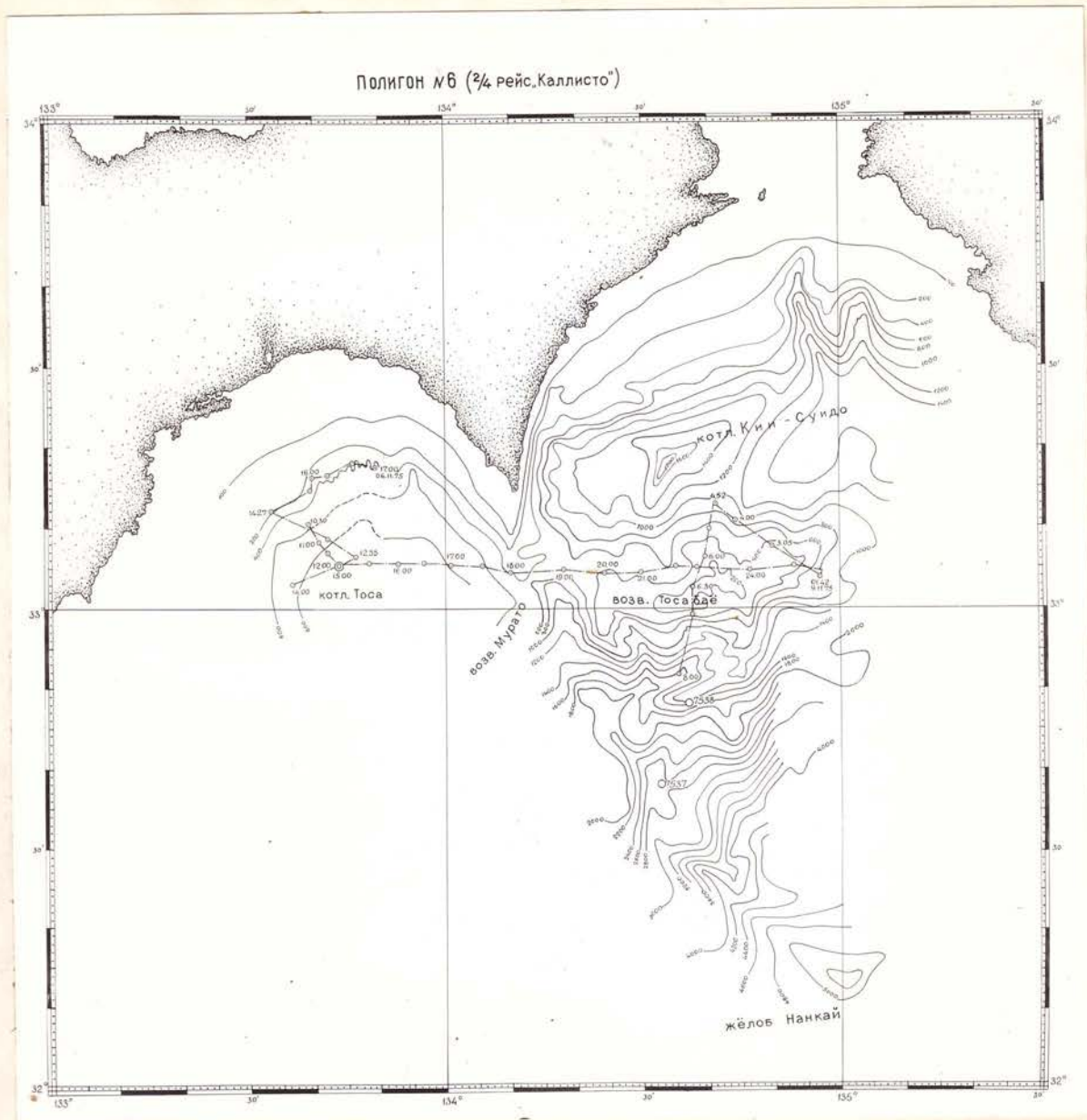


Рис. 14. Схема рельефа и расположение станций на полигоне № 6 (усл. обозначения см. на рис. 27)

соединяющая крайние мысы этих заливов, отделяет верхний склон от нижнего (рис. 14).

Полигон № 6 (рис. 14) занимает часть верхнего склона области, ~~занимающей~~ бассейны Тоса и Кин-Сундо, ^{т. е.} возвышенность Тосабай, отделяющую бассейн Кин-Сундо от нижнего склона, и нижний склон южнее Тосабай до максимальных глубин (до желоба Нанкай). По-скольку, однако, полигон отработан малым количеством галсов и расположение их случайно; то новых данных получено немного.

Бассейн Тоса имеет вид чаши, пологие вогнутые склоны которой (уклон от 6° в верхней части до 0° на глубине 1000 метров) расчленены древовидной сетью многочисленных мелких каньонов со средней вертикальной амплитудой расчленения 30 метров, которые затем сливаются в один большой каньон, прорезающий возвышенность Мурато (уже за пределами полигона). Бассейн Кин-Сундо имеет также, в среднем, плоскую поверхность (на глубине около 2000 метров), но шельф, в отличие от шельфа залива Тоса, расчленен двумя крупными каньонами, очевидно, в связи с выносом большого количества материала из пролива Кин. У их подножья располагается совершенно плоская поверхность, очевидно, конуса выноса этих каньонов. Ограничивающая бассейн Кин-Сундо возвышенность Тосабай является самой крупной из всех подобных гряд на островном склоне восточной Японии. Она имеет очень сложную форму и сильно расчленена, особенно в южной части. Минимальная глубина банки 140 метров. С неё берут начало многочисленные каньоны. Однако самый крупный из них берет начало напротив перемычки, разделяющей эту возвышенность и продолжение мыса Мурато, так как банка Тосабай является преградой для поступления материалов в каньоны, что отрицательно сказывается на их росте. Сам большой каньон не был

обследован при работах. Имеется запись лишь профилей его притоков. Борты их имеют выпуклые формы (угол наклона увеличивается к подножью где достигает 25°). Угол наклона продольного профиля составляет около 3° , глубина вреза - до 300 метров. Форма каньонов извилистая, в основном наблюдается изгиб каньона в восточном направлении, в связи с направлением силы Кориолиса, что доказывает большую роль гидродинамического фактора в их формировании. Каньоны же подводных возвышенностей выглядят прямолинейными, то есть определяющую роль там играет тектонический фактор, очевидно, благодаря меньшему количеству сносившего мутьевыми потоками материала.

Основной каньон достигает максимальной глубины в 2100 метров; длина его достигает 65 миль.

ЯПОНСКОЕ МОРЕ

В Японском море были проведены работы в северной части южного хребта Ямато, на его восточном склоне (рис. 29). Большую часть полигона (32 квадратных мили) занимает японская поверхность (на высоте 370 метров). В северной, восточной и южной частях полигона начинается пологое понижение, а за пределами полигона склон круто спускается до глубины 3000 метров.

В западной части полигона это плато довольно круто (с углом 15°) обрывается в ложбину субмеридионального пристирания, прямолинейной формы, что предполагает существование разлома, который и показан на японской карте (Tavata, 1972).

От центральной перемычки этой ложбины, расположенной на глубине 760 метров к северу и к югу спускаются каньоны. Дно ложбины осложнено небольшим валом высотой 100 метров; ширина ложбины

в её основании около одной мили. Западный борт ложбины имеет такую же крутизну. И далее располагается гребень субширотного простирания с минимальной глубиной в пределах полигона 450 метров; по японским данным западнее тоже расположена платообразная поверхность, как и на изученном полигоне. (Tabata, 1972).

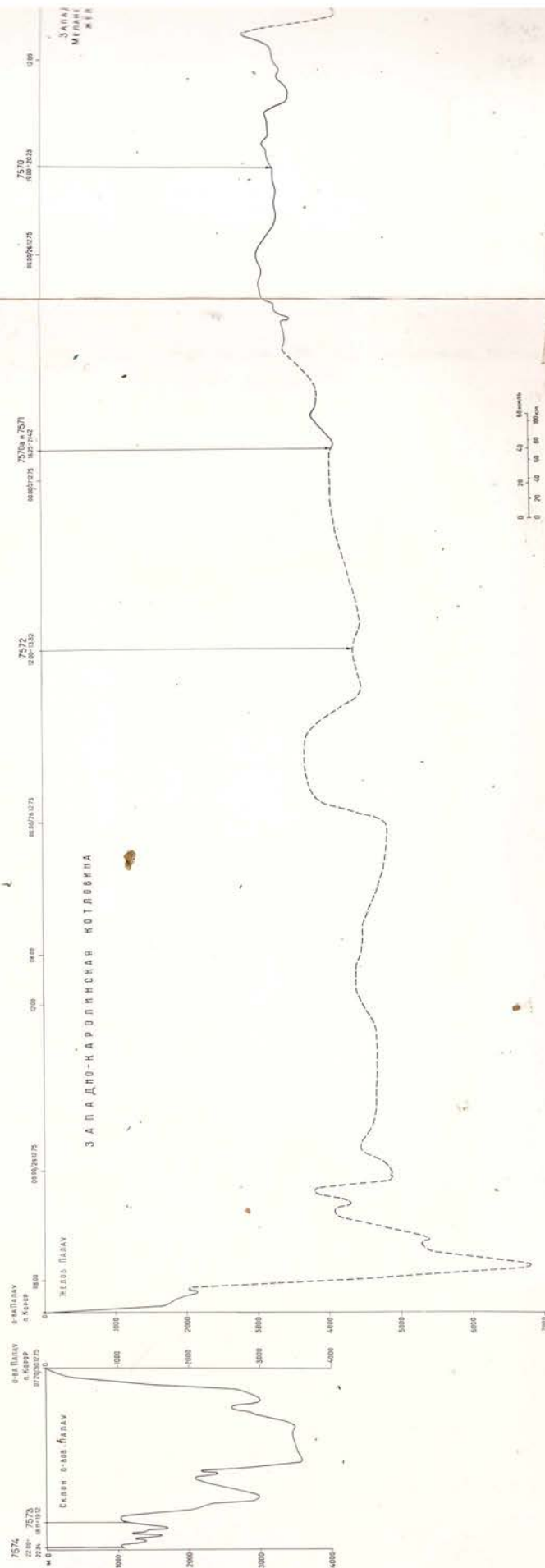
Поскольку рельеф магнитного поля не коррелируется с рельефом возвышенности, то есть плоская поверхность наложена на все неоднородное основание, можно предположить, что данная поверхность сформировалась в результате какого-то мощного экзогенного фактора. Профили же НСН свидетельствуют о том, что слои осадков, условно четвертичного и более древнего возраста, облекают плоскую поверхность возвышенности; поэтому следует предположить, что сама эта поверхность имеет возраст дочетвертичный (или более древний). Можно предположить, что со времени препарирования и по настоящее время возвышенность Ямато постоянно или периодически находилась в условиях, позволявших образование и наложение гальки и гравия, а в настоящее время на поверхности этого плато действуют гидродинамические эффекты, по крайней мере препятствующие осаждению тонких частиц. Образование же самих галечно-гравийных отложений происходило скорее всего в субаэральных условиях; по крайней мере пока не доказано существование такого процесса, который бы способствовал образованию хорошо окатанной гальки местами перед на глубинах, превышающих несколько сотен метров. Действие внутренних волн, подтвержденное на моделях, не доказано в натуральных условиях (Gasiorowski, 1974 а, б), за исключением процессов образования ряби в глубоководных дельтах.

ПАЛАУ - МАДАГ

БАТИМЕТРИЧЕСКИЙ ПРОФИЛЬ

Рис 15

БАТИМЕТРИЧЕСКИЙ ПРОФИЛЬ
ПОЛИГОН №4-КОРОР



ПРОФИЛИ ОКРАЙНЫЕ МОРЯ

Западно-Каролинская котловина
и котловина Сулавеси

Нового материала получено сравнительно мало, в связи с плохой работой эхолотных приборов.

Новогвинейская котловина

Направление профилей проходило, в основном, вдоль берега, в районе активной вулканической цепи, параллельной северному берегу Новой Гвинеи.

Отмечено большое количество правильной формы подводных гор и холмов, многие из которых, возможно, имеют вулканогенное происхождение (рис. 15). Более интересно было бы исследовать центральную часть котловины, где недавно обнаружен новый подводный хребет, занимающий центральное положение и делящий море на две котловины: Западную и Восточную. Он под прямым углом пересекает островную дугу Адмиралтейства, с одной стороны, и Новую Британию, с другой. На его сочленении с этими дугами отмечается проявление активного вулканизма (Connelly, 1973).

Макассарский пролив, Яванское,
Южно-Китайское, Восточно-Китайское
и глубоководная часть Японского
моря

Эти моря сравнительно хорошо изучены. Тем не менее полученные профили маршрутного промера, после сопоставления с уже имеющимся материалом, возможно, дадут дополнительную информацию. В настоящее время она находится в состоянии обработки.

Предложения по организации эхолотного промера

1). Желательно иметь в институте постоянную группу сотрудников, занимающихся геоморфологией дна океана и эхолотным промером.

В этой группе обязательно должны быть специалисты по теории и практике конструирования эхолотных приборов, а также по методике эхолотного промера. В состав её должны входить также чертёжники-лаборанты.

2). В рейсе состав отряда, занимающегося эхолотным промером, должен быть не менее пяти человек.

3). На судне должна быть оборудована специальная лаборатория для работы сотрудников эхолотного отряда и приборов.

4). Желательна замена рыбоононсковых эхолотов КАГ-401 и "Кальмар" на глубоководные пренерные эхолоты; работу с ними проводить в паре с фототелеграфной установкой ФТАК-2к "Ладога".

5). Желательна установка системы спутниковой ориентации или приемопередатчиков более точных радионавигационных систем ("Омега" или хотя бы "Лоран-С").

6). Желательно не проводить съёмку полигона, ориентируясь на систему "Лоран"; в крайнем случае, проводить её в благоприятное для приема сигналов время, имея ориентир для развязки.

7). При съёмки подводной горы желательно охватить съёмкой всю гору (хотя бы несколькими дополнительными галсами) для обеспечения возможности построить гистограмму распределения высот рельефа, которая может дать важную дополнительную информацию (Шаров, 1967).

8). Желательна постановка работ совместно с океанологами с целью выявления возможной роли течений и связанных с ними гидродинамических явлений (типа внутренних волн) ^{при} физическом выветривании и образовании экзогенных форм рельефа.

9). Желательно большее внимание уделить съемке подводных каньонов, особенно подводным возвышенностям, так как особенности их почти не известны.

III. НЕПРЕРЫВНОЕ СЕЙСМИЧЕСКОЕ ПРОФИЛИРОВАНИЕ

Задачей отряда непрерывного сейсмического профилирования (НСП) во 2/4 рейсе нис "Кальисто" являлось освоение звукового геолокатора ЗГП-3, совершенствование методики работ, а также изучение структуры осадочного чехла. Предполагалось, что работы будут проводиться почти на всем пути движения судна по маршруту и на полигонах.

Отряд состоял из 4 человек:

АЗЫДУК С.В.	- стажер-исследователь, нач-к отряда
САФРОНОВ О.Б.	- стажер-исследователь
КУТИРЕВ О.А.	- стажер-исследователь
НОВИКОВА В.А.	- стажер-исследователь

Обязанности сотрудников отряда во время экспедиции распределены следующим образом. С.В. Азыдук и О.Б. Сафронов являлись ответственными за работу аппаратуры, В.А. Новикова и О.А. Кутырев - за первичную обработку поступающей информации.

Объем выполненных работ на полигонах и переходах приведен в таблице № 5.

I. Аппаратура

Аппаратура, используемая в рейсе, имела некоторые особенности, отличающие её от ЗГП-3. ЗГП-3 представляет собой комплекс аппаратуры состоящий из: излучателя, накопителя, генератора импульсных токов (ГИТ), приемного устройства (ПУ), регистратора (Р) и блока управления (БУ). Из-за малой надежности Р и БУ были заменены на блок управления разработанный в лаборатории геофизики

Объем выполненных работ НСП

№ п/п	Вид работ	Период наблюдений с... по...	Объем работ		Примечания
			в млн. экв.	планир. выполн.	
Сейсмопрофилирование					
1. На полигонах.					
а)	Полигон № 5	с 16/X-1975 г. по 21/X-1975г.	-	182,3	
б)	Полигон № 1	27/X-1975 г. с 7 12 до 25 55	-	116,9	
в)	Полигон № 2	11/XII и 4/XII- 1975 г.	-	75	
г)	Полигон № 4	-	-	-	Не отрабо- тан из-за поломки прибора
д)	Залив "Тоса"	3/XI-75, 6/XI-75 8 и 9/XI-1975 г.	-	145,75	
е)	Корейский пролив			100	
2. На переходах					
			-	708	
И т о г о:				1328	

СХЕМА ПРОФИЛЕЙ НСП В ФИЛИППИНСКОМ МОРЕ $\frac{2}{4}$ НИС. КАЛЛИСТО

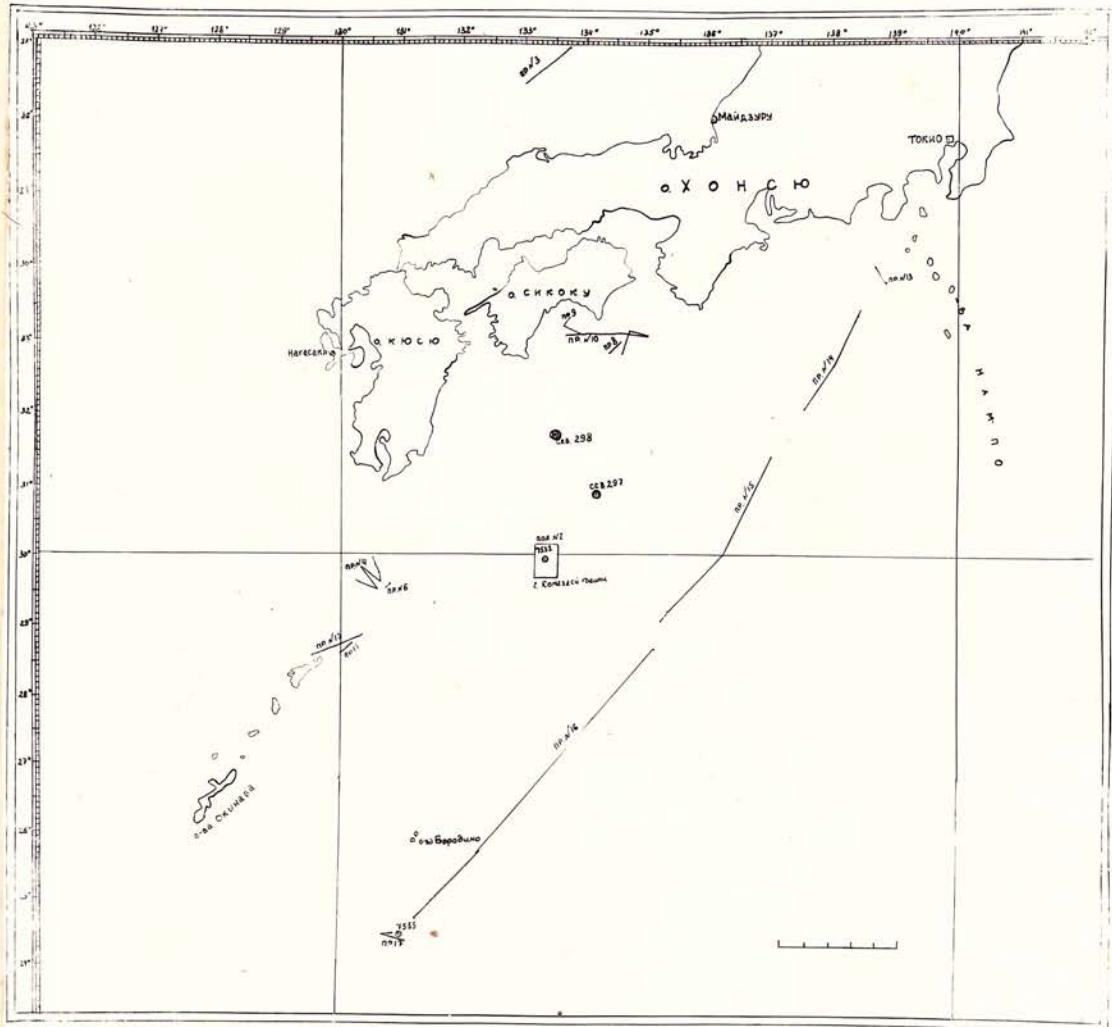


РИС. 16 Схема профилей НСП в Филиппинском море
 $\frac{2}{4}$ рейс НИС "КАЛЛИСТО".

ТМ и регистратор на основе аппарата ФАК-II. Блок-схема комплекса аппаратуры показана на рис. 25

Энергия от судового генератора поступает на ГИТ, где напряжение повышается высоковольтным трансформатором до 10 кв и выпрямляется диодным мостом. Полученное напряжение поступает на накопитель, который представляет собой набор из 10 параллельно соединенных конденсаторных банок, каждая емкостью 70 мкф. Энергоемкость накопителя - 22 кдж. Накопленная энергия через управляемое воздушное разрядное устройство поступает на излучатель, представляющий собой отрезок кабеля 0-50-7-12, на конце которого закреплен медный стержень, изолированный от воды полихлорвиниловой лентой. Разряд происходит между концом стержня и оплеткой кабеля. Образовавшиеся во время разряда упругие колебания после отражения от дна и слоев осадочных пород принимаются приемным устройством. ПУ представляет собой одноканальную сейсмоосу нейтральной плавучести, состоящую из 4 секций: грузовой, предварительного усиления (УП), амортизационной и приборной. Все секции заполнены соляром для придания осе нейтральной плавучести и улучшения приема акустического сигнала. Грузовая секция служит для погружения ПУ на оптимальную глубину и представляет собой отрезок полихлорвинилового шланга (ПХВ) с помещенными внутрь грузами. Амортизационная секция состоит из 66 метрового отрезка ПХВ с коммутационными проводами и служит для ослабления влияния механических помех от судна. Секция предварительного усиления состоит из отрезка ПХВ с помещенным в него контейнером с усилителем и служит для увеличения амплитуды принимаемых сигналов и согласования сеймоприемников с кабелем. Для выполнения этих задач применен усилитель, на основе микросхемы 284 УД1 с полевым транзистором на входе, имеющий коэффициент передачи 40. В приборной секции размещены приемники давления ПДС-21, все элементы

включены параллельно.

Усиленный УП сигнал по трос-кабелю и кабелю РК-50-7-12 передается на селективный усилитель (СУ). СУ служит для увеличения амплитуды сигнала до величины, необходимой для нормальной записи на регистраторе и повышения сигнал/шум методом частотной селекции. СУ состоит из регулируемых фильтров верхних и нижних частот (ФВЧ и ФНЧ) и непосредственно усилителя. Для неискаженной передачи сигнала характеристики фильтров аппроксимированы полиномом Баттерворта, т.е. имеют линейную фазовую и амплитудную характеристики. ФНЧ и ФВЧ представляют собой активные РС-фильтры с частотами среза соответственно: 100, 200, 400, 800 гц и 30, 60, 100, 200 гц. Входное сопротивление порядка 600 Ом микросхемы МГ-3, являющейся активным элементом фильтра, позволило использовать емкости малых номиналов. Непосредственно усилитель, собранный на транзисторах, имеет 3 каскада и стоит после фильтров. Общий коэффициент передачи СУ регулируется и может достигать 700 (

Отфильтрованный и усиленный сигнал поступает на усилитель мощности регистратора, после чего записывается на электрохимической бумаге ЭХБ-4. Одновременно с сигналом с ПУ на бумаге фиксируются метки времени $1/4 \tau$ где τ - длительность развертки, и часовые отметки, идущие с БУ. В БУ также формируется импульс управления разрядником, импульс открывания усилителя записи и задается длительность развертки регистратора (I).

II. Методика работ

Работы методом НСИ проводились на ходу судна при скорости, в основном, 8 узлов. ПУ буксировалось за судном с помощью отрицательного выстрела, что позволило вывести носу из кильватерной струи. Буксирующий кабель-трос крепился к выстрелу через механический

фильтр (амортизатор). Использовался трехсекционный резиновый амортизатор, каждая секция которого страховалась отрезком капронового фала, длина которого вдвое превышала длину резины в ненапрянутом состоянии. Механический фильтр такой конструкции позволил значительно уменьшить механические помехи от судна. Спуск и подъем ПУ осуществлялся с помощью лебедки ПУ. Излучатель буксировался на кабеле РК-50-17-12. Глубина его погружения зависела от скорости судна. Спуск и подъем излучателя производился специальной лебедкой.

В зависимости от глубины водной толщи менялся интервал излучения и скорость развертки регистратора. Так при глубинах до 1 км использовался интервал излучения 5 сек и скорость развертки регистратора 60 об/мин, что соответствует $\tau = 1$ сек. При исследованиях глубоководных районов работы проводились с интервалом излучения 8-10 сек и скорости развертки 30 об/мин, $\tau = 2$ сек. Фильтрация сигнала устанавливалась оператором в зависимости от уровня и спектра шумов.

За время экспедиции наблюдались выходы из строя некоторых узлов комплекса, а именно: высоковольтные разъединители, высоковольтный выпрямительный мост и была утеряна сейсмокаса (в результате электро-химической коррозии в месте крепления кабель-троса и ПУ произошел обрыв кабель-троса). Следует отметить надежную работу блока управления, регистратора и тракта излучения. Для надежной работы комплекса необходимо дублировать ПУ, БУ, и Р.

3. Результаты исследований

Политон № 5

Квадратный хребет возвышенности Ямато

Профиль № 1

Подводная возвышенность Ямато располагается в центральной части Японского моря. Квадратный хребет возвышенности, над которым

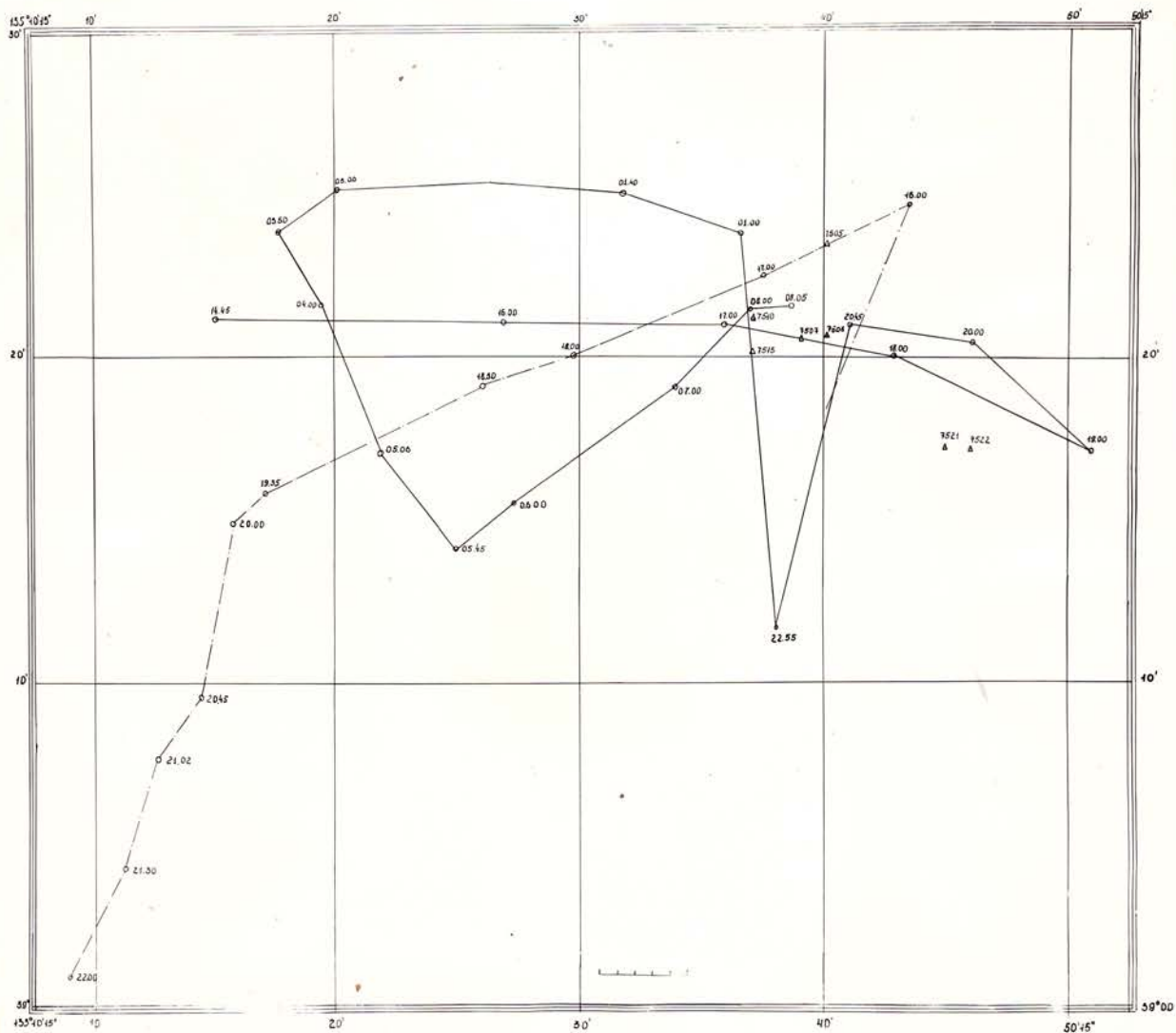


РИС.17 Схема расположения профилей НСП на полигоне № 5.

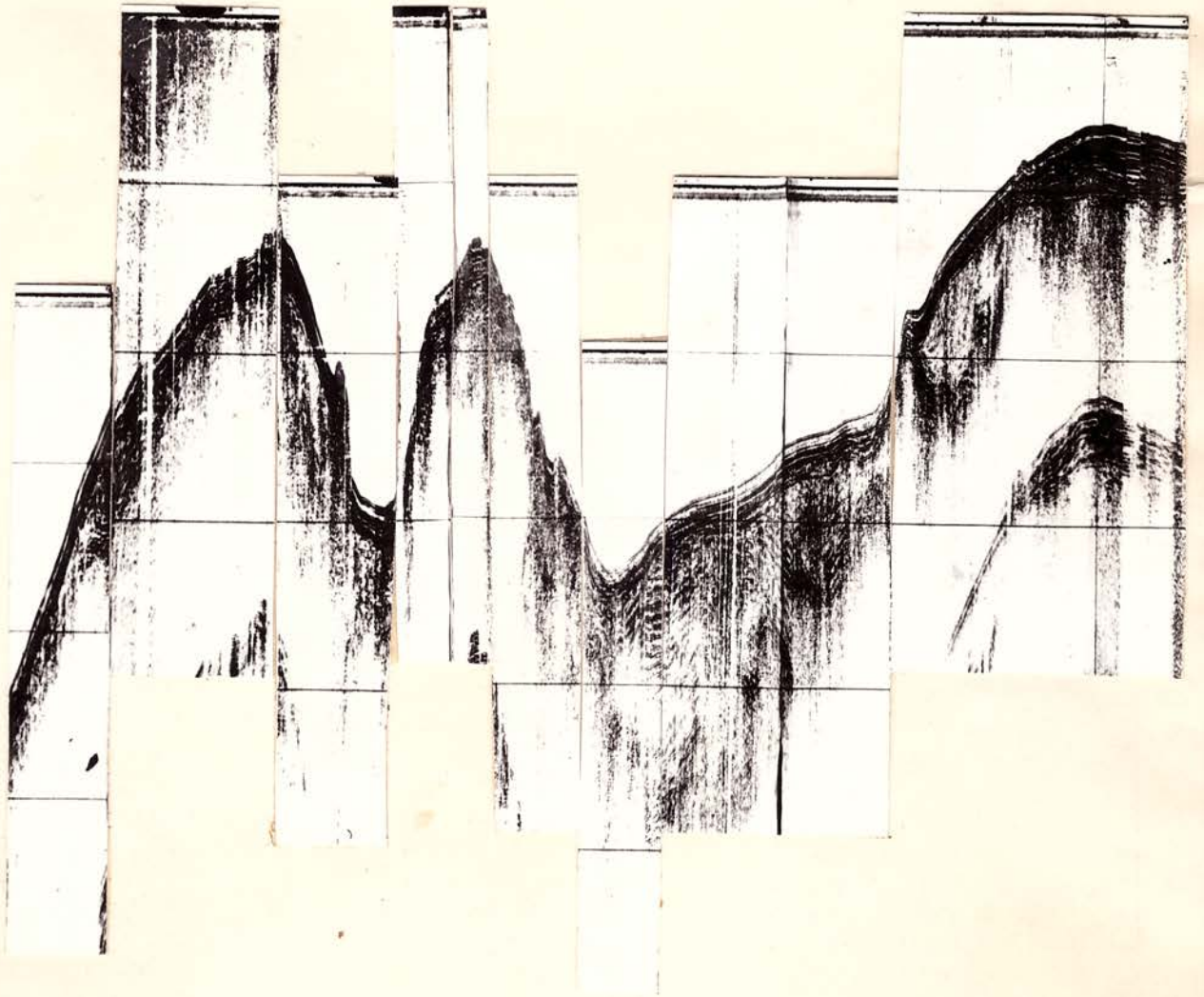


Рис.18 Профиль №1

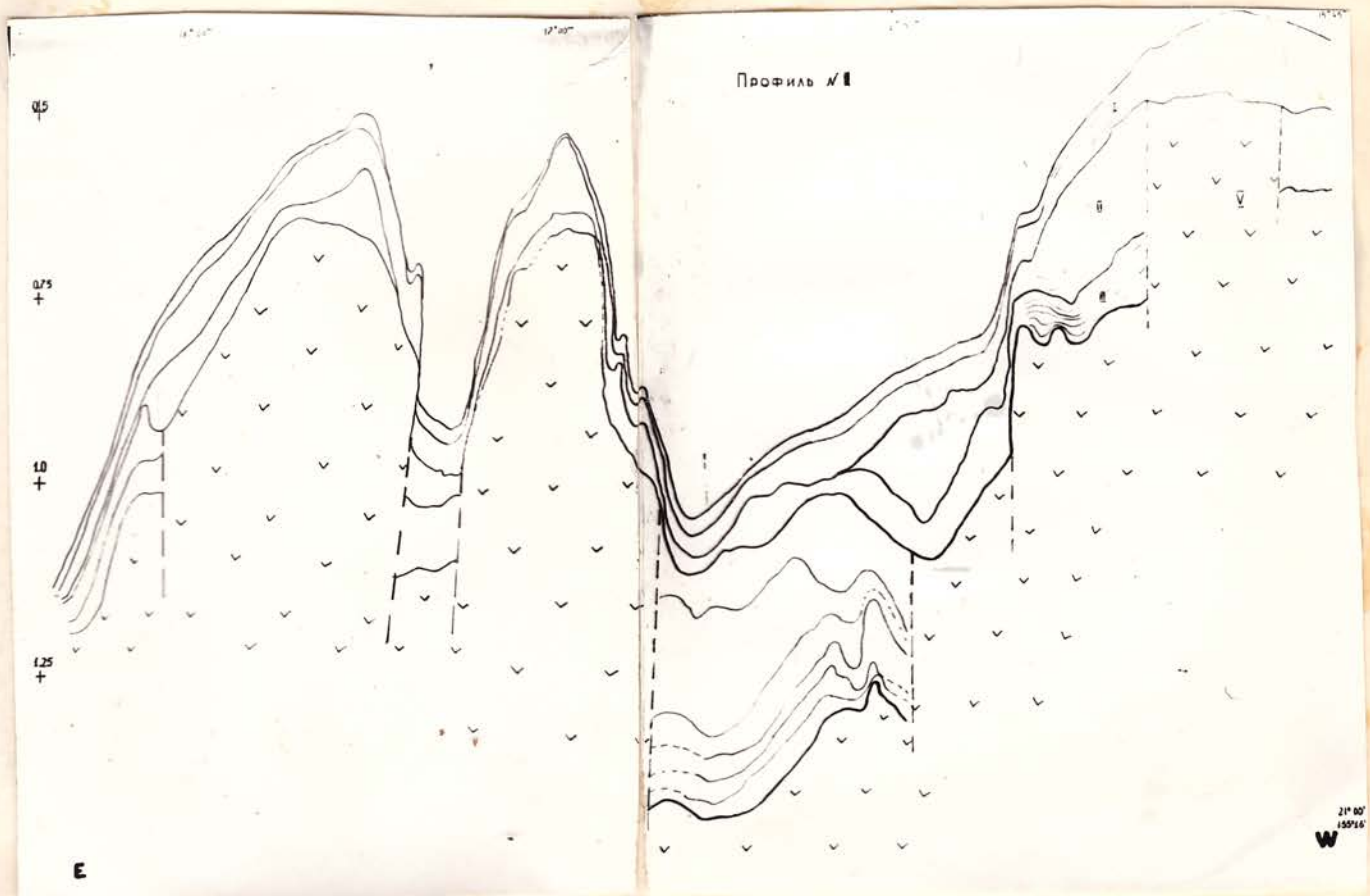


Рис. 19 Структурный разрез по профилю №1

в данном рейсе проведены сейсмические исследования, вытянут в северо-восточном направлении. Общая протяженность профилей на южном хребте возвышенности Лмато составила 46 миль. Для предварительной интерпретации выбран отрезок профиля имеющий субширотное простирание (рис. 17, 18).

Рельеф по профилю расчлененный. Осадочная толща на южном хребте начинается слоем современных осадков, которые на записях сейсмопрофилографа отмечаются в виде акустически-прозрачного слоя, мощностью 10-20 м. Этот слой облекает формы рельефа дна и, как правило, исчезает на крутых склонах подножий.

Современные осадки подстилаются стратифицированной пачкой (чередование темных и светлых полос) с временной мощностью от 0,02 сек. на склонах до 0,2 сек. на спокойных участках.

Ниже залегает акустически прозрачный слой, который наблюдается в депрессиях и исчезает на наиболее приподнятых участках рельефа. Временная мощность этого слоя варьирует от 0,02 сек. до 0,15 сек.

Под акустически прозрачным слоем располагается стратифицированная пачка, которая заполняет и выравнивает относительно крупные понижения рельефа акустического фундамента хребтов. Временная мощность этой пачки составляет 0,01 сек. - 0,12 сек. ниже осадочной толщи отражений нет, поэтому подошва этой толщи идентифицируется с кровлей фундамента (рис. 19).

Вышеописанная толща, представленная стратифицированной пачкой, акустически прозрачным слоем и второй стратифицированной пачкой, имеет гетерогенный состав и по данным геологического опробования сложена четвертичными илами, палеогеновыми и неогеновыми базальтами, песчаниками, алевролитами, туффопесчаниками и конгломератами различного состава. Общая временная мощность осадков по профилю

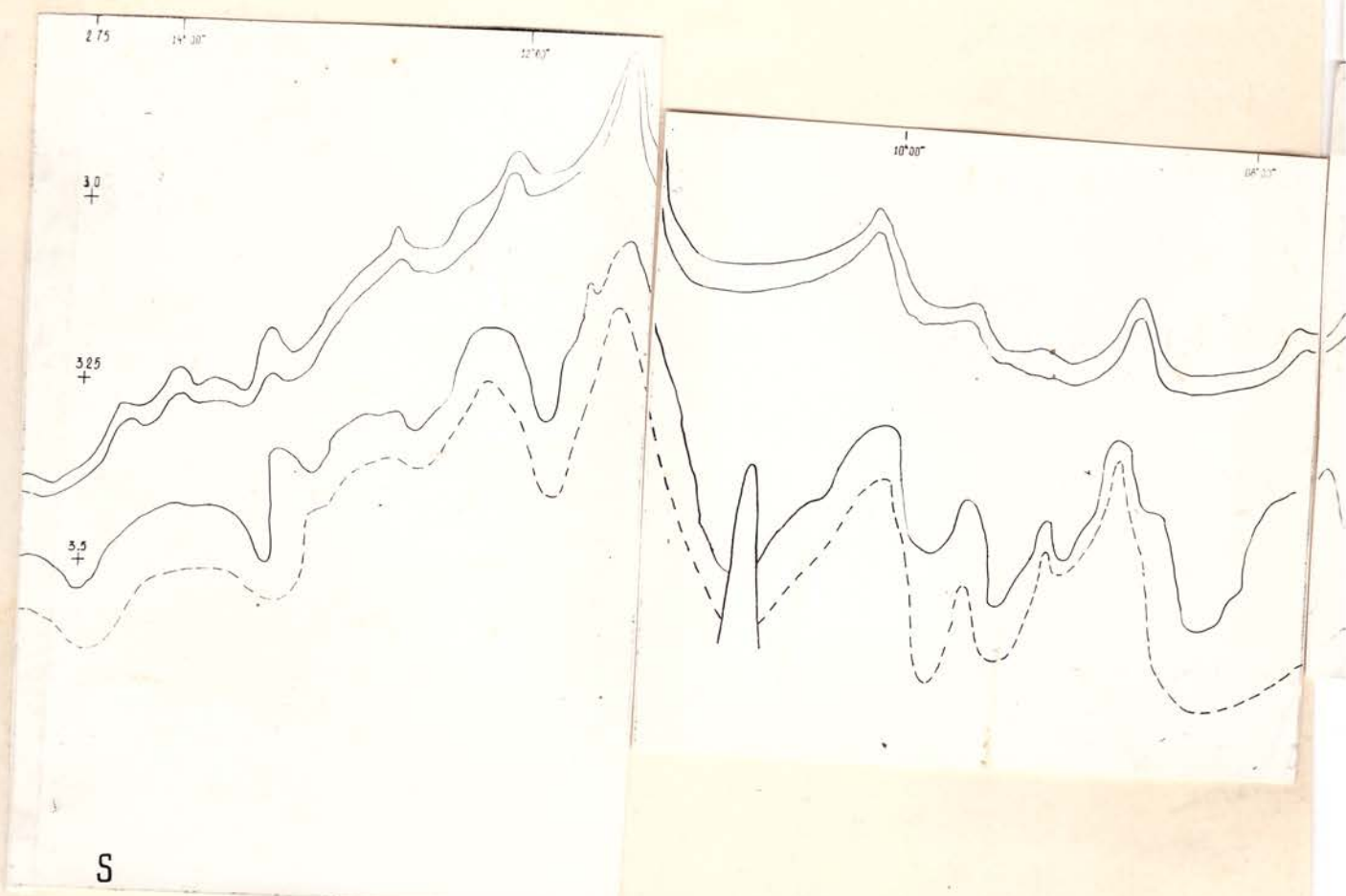
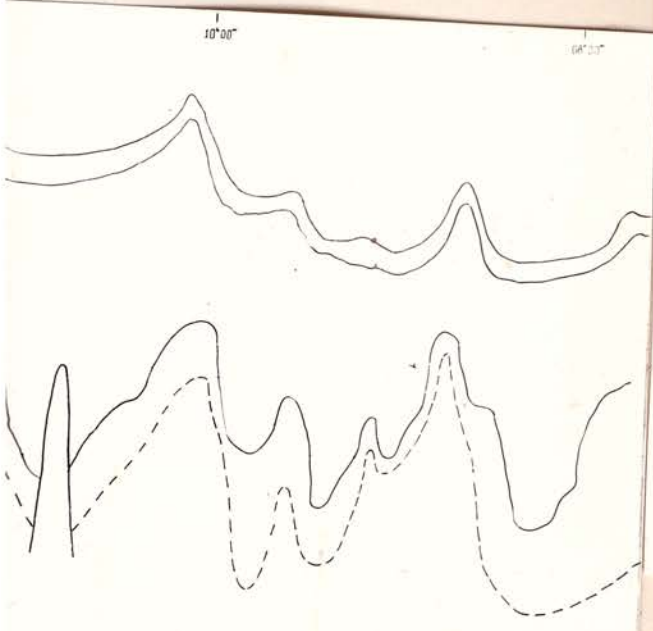
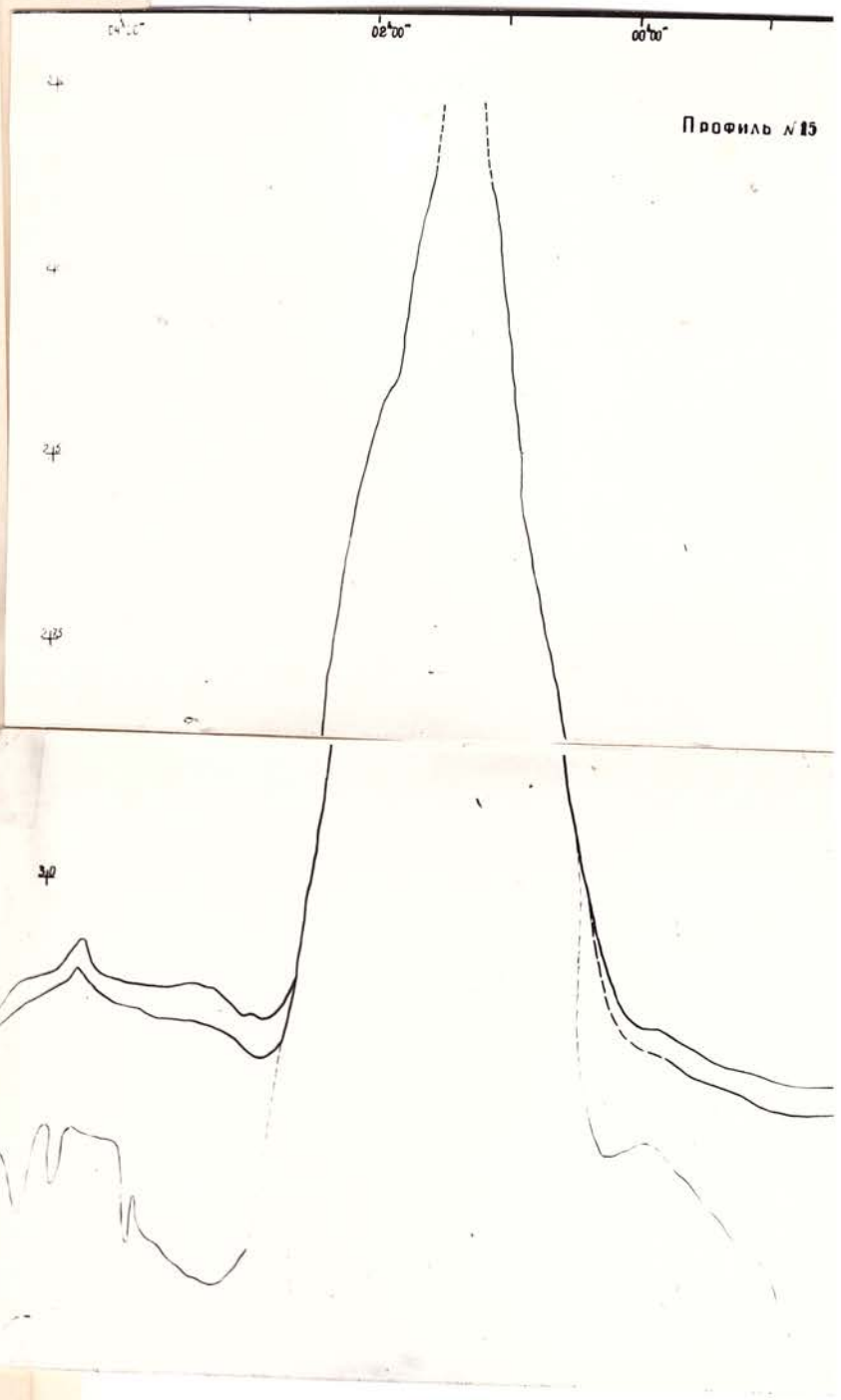
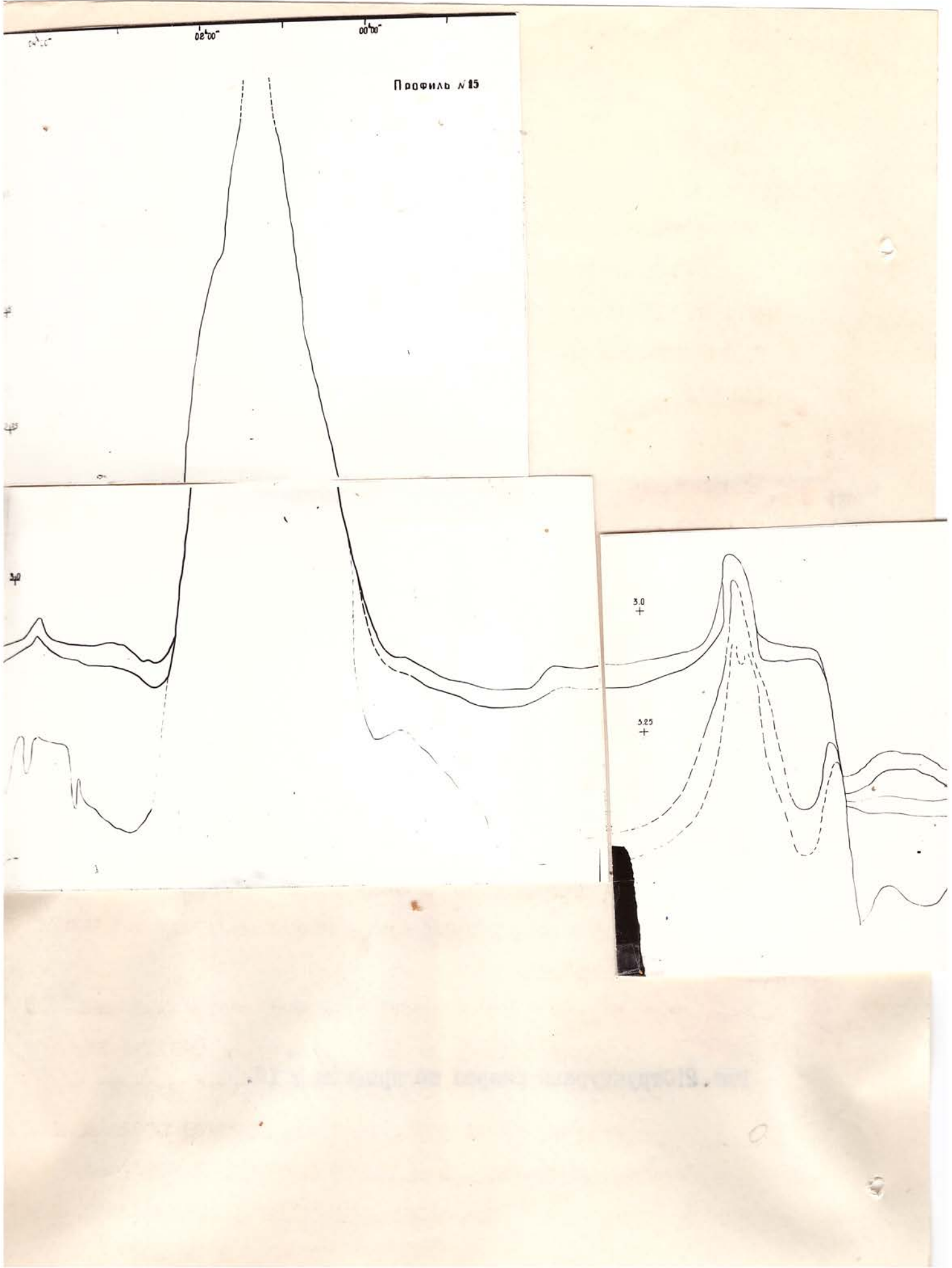


Рис. 21 Структурный разрез по профилю № 15.

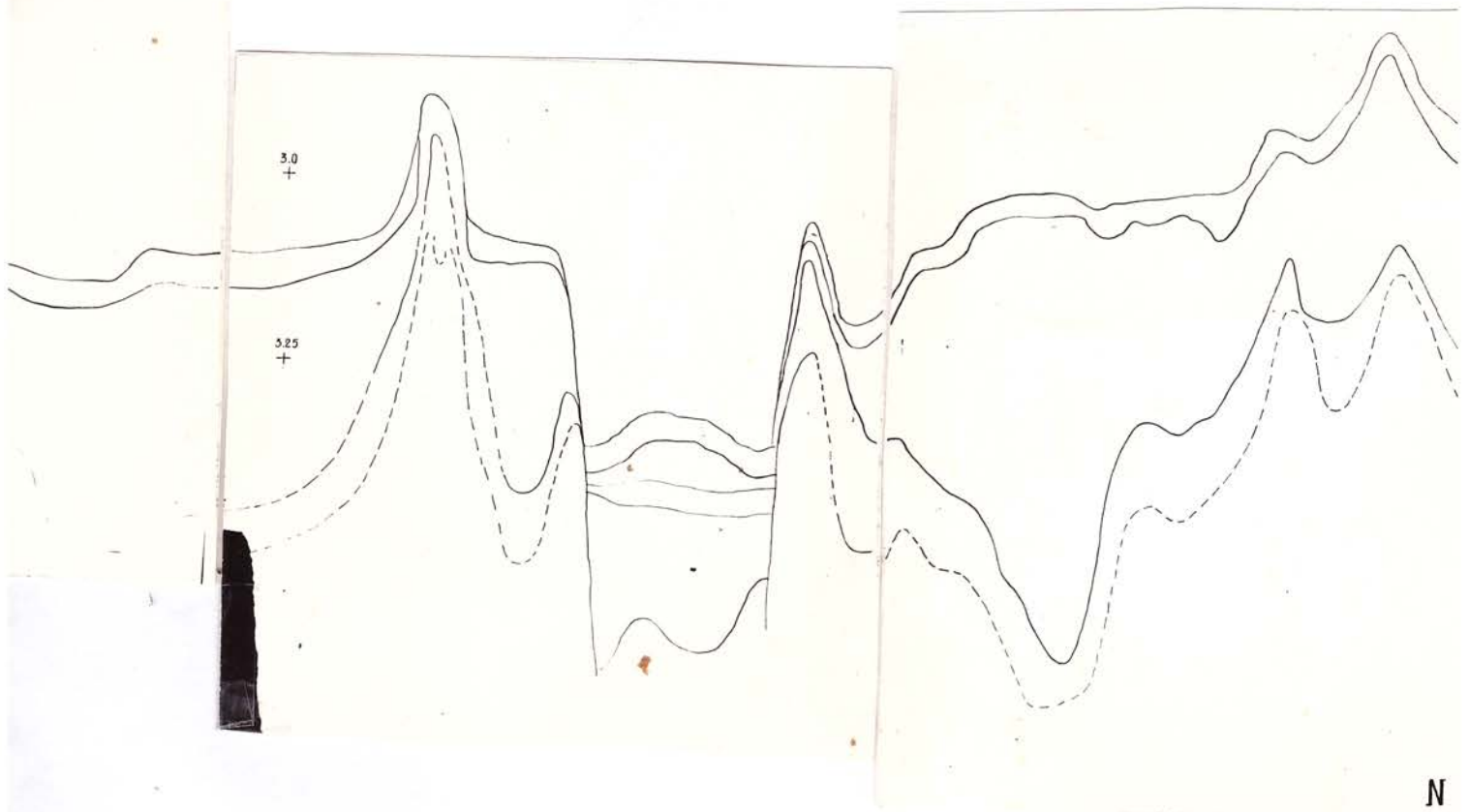
Профиль №15



профиль № 15.



ФИАБ №15



N

меняется от 0,36 сек. в депрессиях до 0,12 сек. на вершинах.

Отличительной чертой рельефа возвышенности Ямато является ступенчатый характер склонов хребтов, что говорит в пользу блочно-го строения южного хребта возвышенности Ямато (Удлинцев и др. 1963). Это подтверждается также данными магнитометрических исследований (см. ниже).

Профиль № 15

Профиль, расположен в глубоководной части Филиппинского моря и проходит в субмеридиональном направлении от точки с координатами

шир $\varphi = 31^{\circ}24,0'$ до т.с.к. $\varphi = 29^{\circ}09,0'$
долгот $\lambda = 137^{\circ}2,5'$ $\lambda = 135^{\circ}22,3'$ (рис. 16)

Рельеф дна по профилю слабо расчленен. Глубина меняется от 3750 м до 3000 м на вершине подводного хребта, Кинан, расположенного в середине профиля. В районе отметки 21-00 наблюдается увеличение глубин до 4500 м. (рис. 20). Современные осадки однородны, представлены сплошной темной полосой. Временная мощность их достигает 0,03-0,07 сек. (40-80 метров при $v=2,0$ км/сек). По данным предыдущих исследований в этом районе известно наличие сильно расчлененного скоростного слоя. Скорость в верхней части достигает до 2,6 км/сек.

Акустический фундамент в общем повторяет форму современного рельефа за исключением отдельных мест (рис. 21). Граница акустического фундамента по всему профилю размыта, а на подходе к хребту Кинан совсем тергается. (рис. —) Наличие вертикальных штоков и разломов подтверждает блоковое строение II слоя.

Выше на границе акустического фундамента располагается акустически прозрачная толща, в значительной степени поглощающая энергию акустического импульса, что и объясняет большую размытость



РИС.22 Схема расположения профилей НСП в заливе Тоса.

границы фундамента. Это явление, как правило, является следствием пористости пород. Мощность этой толщи во временных параметрах варьирует от 0,06 сек. до 0,57 сек.

Таким образом, на профиле № 15 зафиксировано: мощность современных осадочных отложений, мощность второго слоя и поведение акустического фундамента. Плохая запись в центральной части профиля (см. рис. 20) не позволила, к сожалению, провести количественную интерпретацию хребта Кинан.

П р о ф и л ь № 10

Профиль пройден в заливе Тоса, направление профиля в большей части широтное. Рельеф в начале профиля от отметки 14-00, расчлененной, дальше по профилю спокойный. Глубины меняются от 705 м до 180 м.

На профиле выделена мощная стратифицированная толща осадков. Мощность осадочной толщи варьирует от 0,40 сек (630 м при $v=2,0$ км/сек), на спокойных участках рельефа, до 0,13 сек (300 м при $v=2,0$ км/сек) на склонах (рис. 22, 27)

Осадочную толщу на профиле 10 можно разделить на три слоя, с разной акустической плотностью. Особенно четко это разделение прослеживается от отметки 21-05. Первый слой - стратифицированная почва, мощность которой по профилю составляет 0,06 сек (94 метра при $v=2,0$ км/сек) на спокойных участках и до 0,025 сек (40 м при $v=2,0$ км/сек) на склонах.

Второй слой представляет собой акустически полупрозрачную толщу, также стратифицированную, мощность которой варьирует от 0,028 сек до 0,064 сек (80 м - 200 м при $v=2,0$ км/сек). На некоторых участках профиля этот слой представлен в виде "линз" или "карманов", ограниченных третьим слоем.

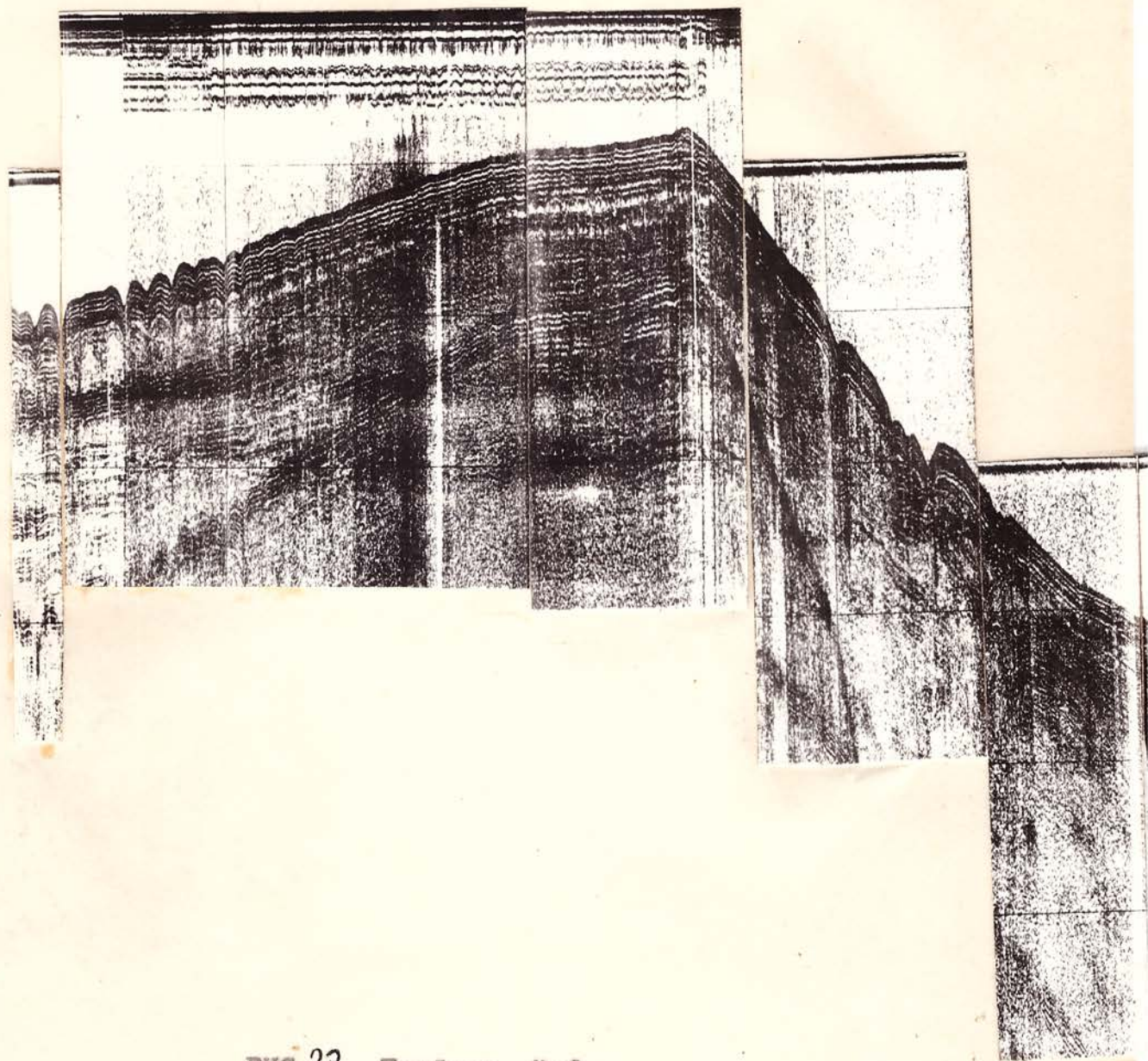
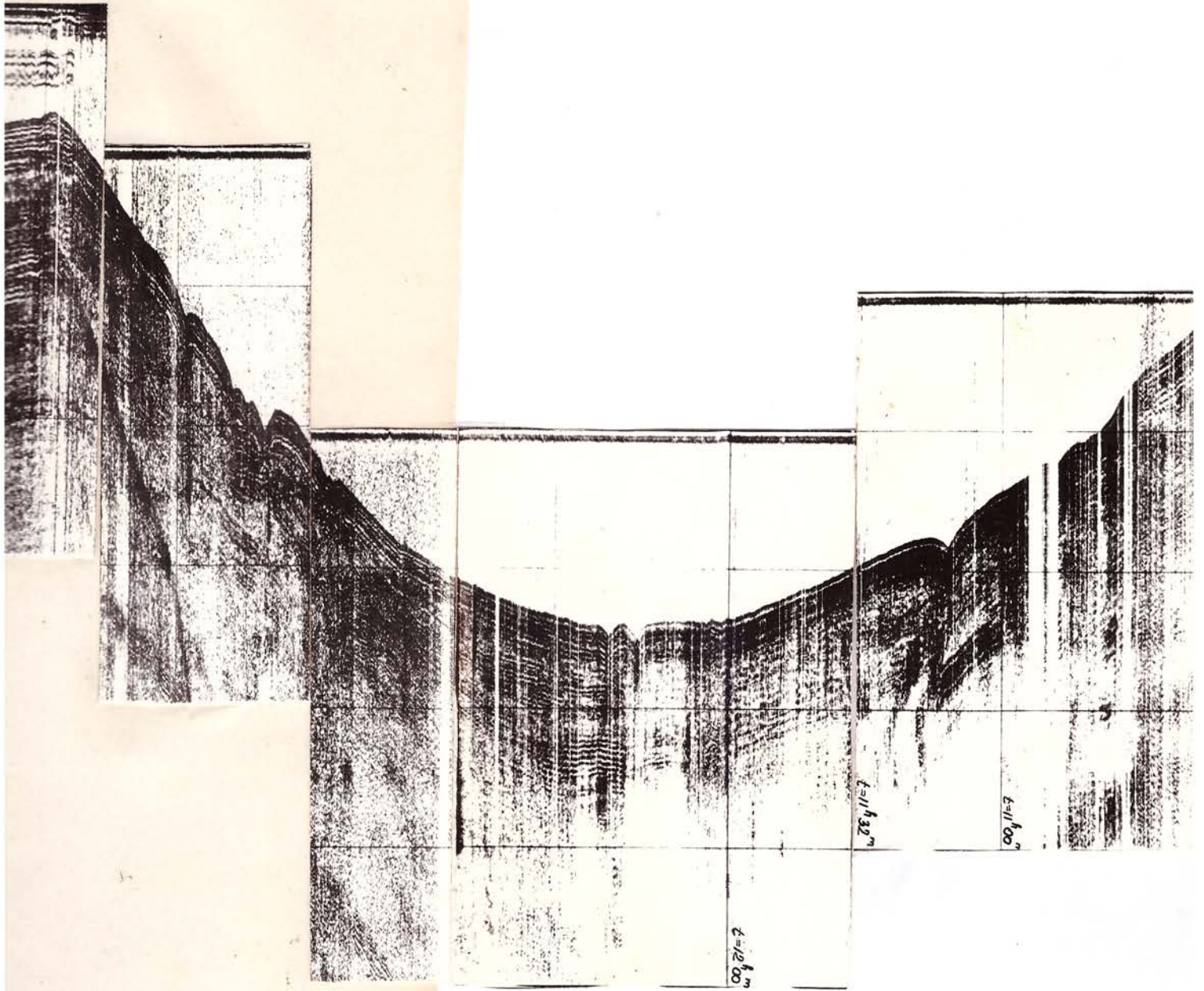


РИС. 23 Профиль № 9.



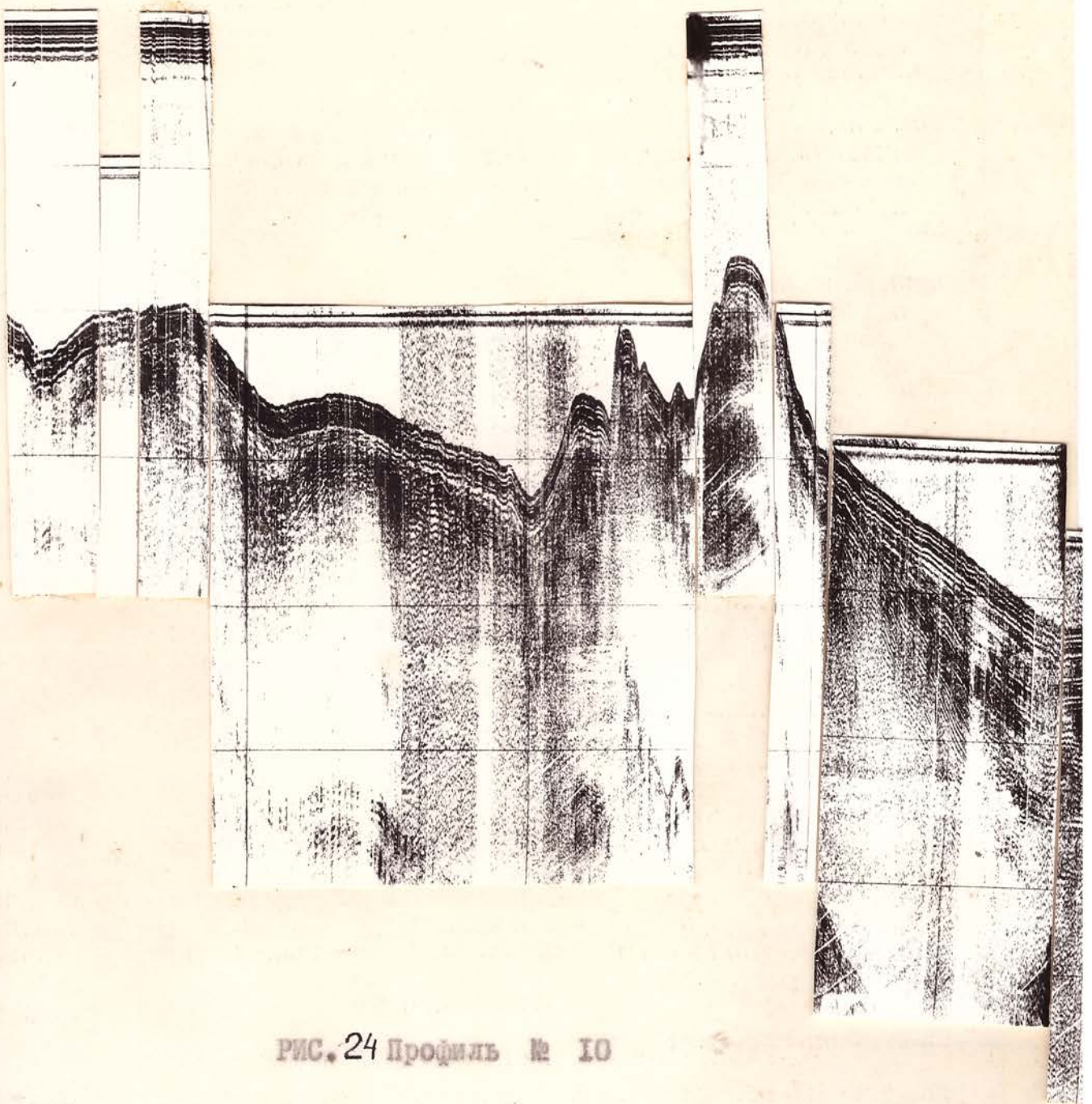
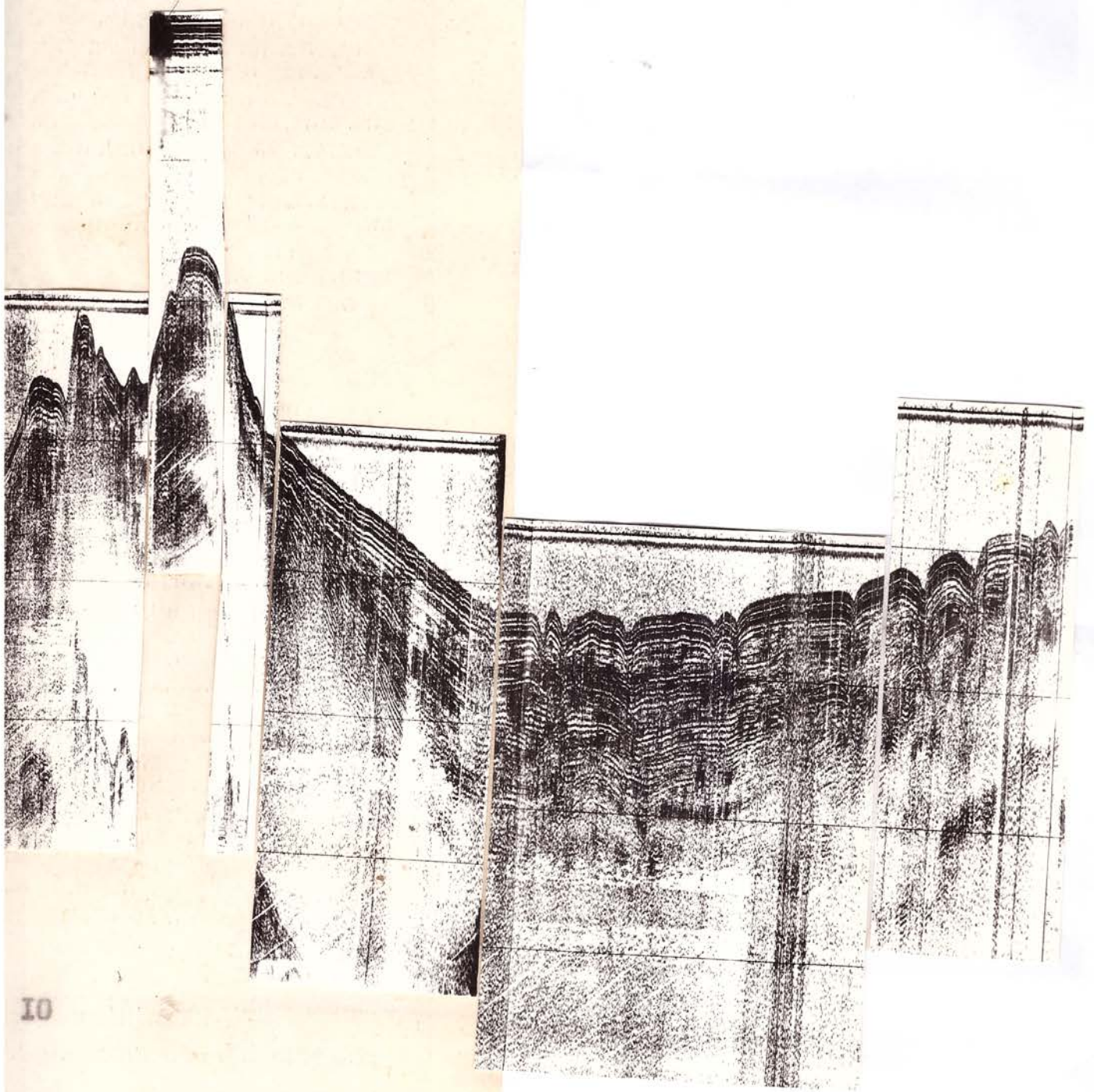


РИС. 24 Профиль № 10



Третий слой по плотности записи идентичен первому слою осадков, но мощность его непостоянная: от 0,036 сек на склонах до 0,040 сек на спокойных участках (42 м - 150 м). Подошва этого слоя идентифицируется с кровлей фундамента.

Из всего вышесказанного следует, что осадочный комплекс залива Тоса представлен начкой стратифицированных слоев различной мощности. Мощность осадочного комплекса достигает 700-800 метров ($v = 2,0$ км/сек).

Профиль № 9

Этот профиль также отработан в заливе Тоса, южнее о. Сикому. Направление большей части профиля субширотное (рис. 22).

Рельеф дна по профилю спокойный, в районе отметок 15-15³⁰ расчлененный. Глубина меняется от 563 м до 200 м.

На профиле выделена мощная стратифицированная осадочная толща (рис. 23). Между отметками II-00 и II-32 видно четкое смещение слоев осадочной толщи, предполагающее наличие современного сброса в этом месте. В районе отметки I2-20 также с уверенностью можно сказать о существовании здесь двух разломов.

Расчлененность рельефа в западной части профиля объясняется по всей вероятности существованием серии мелких разломов в осадочной толще. Внутри её особенно хорошо заметно деление на три стратифицированных слоя с разной акустической плотностью. Мощность осадочного комплекса по данному профилю составляет 0,5 сек-0,75 сек (500-700 м при $v_{расч.} = 2,0$).

Предварительные выводы

За время экспедиции было отработано 1328 миль профилей НСП. Получены новые данные по геологической структуре морского дна, которые после окончательной обработки могут быть использованы для

ЗГЛ-3

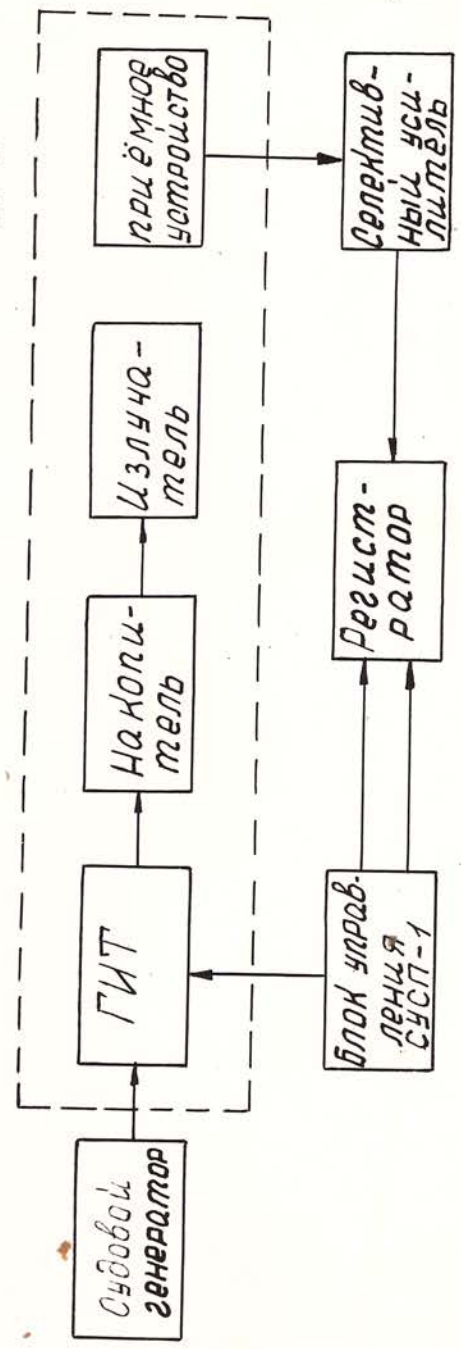


Рис. 25 Блок-схема комплекса аппаратуры ИИИ

уточнения строения осадочной толщи и поведения акустического фундамента ряда районов:

1. Княго хребта возвышенности Ямато
2. Залива Тоса и банки Тособаё
3. Горы Комакаси-Дайни
4. Котловины Сикоку
5. Возвышенности Бородино

Отрядом ИСН в период экспедиции был освоен комплекс ЗГЛ-3;

В процессе экспедиции надежную работу показали:

1. Тракт излучения
2. Блок управления и регистратор

Для обеспечения стабильной работы комплекса необходимо в рейсах проводить дублирование основных узлов комплекса ЗГЛ-3.

IV ГЕОЛОГИЧЕСКИЕ ИССЛЕДОВАНИЯ

Объектами геологических исследований во 2/4 рейсе п/с "Калласто" являлись как литифицированные породы различного генезиса и возраста, так и рыхлый покров кайнозойских отложений. Изучение первых производилось, главным образом на полигонах, а вторых, кроме этого, на переходах между полигонами и портами заходов с тем, чтобы пересечь литологическими профилями крупные морфоструктурные элементы дна Филиппинского, Южно-Китайского и частично Лусонского морей.

А. ИЗУЧЕНИЕ ДОЧЕТВЕРТИЧНЫХ ПОРОД

Основное направление в изучении дочетвертичных коренных пород в рейсе было определено научной программой составленной профессором Н.П.Васильковским. В кратком изложении главные задачи и полученные результаты приведены в отчете начальника экспедиции. Полигоны для драгирования в Филиппинском море располагались преимущественно в пределах подводного хребта Кюсю-Палау, пересекающего в субмеридиональном направлении центральную часть моря. Для выяснения особенностей геологического строения было выбрано два участка: один в северной части хребта (полигон Б I), а второй - у южной его оконечности (полигон Б 4).

На севере Филиппинского моря к хребту Кюсю-Палау примыкает с запада обширная расчлененная подводная возвышенность Скин-Дайто (Бородино), где в 1971 году проводилось изучение коренных пород лишь на одном из участков вблизи о-вов Бородино (Васильев и др., 1972; Васильев, 1974). Южнее этого района нами были продолжены работы западнее острова Скинадайто (полигон Б 2).

В Японском море в качестве объекта изучения выбрана подводная возвышенность Ямато. Здесь был изучен участок в восточной части южного хребта, где ранее детальными исследованиями не проводились. Здесь известны единичные останки японских геологов, на которых были подняты обломки андезитов (Sato and Ono, 1964).

В период рейса были внесены изменения местоположения полигонов В I и В 4, что было вызвано рядом объективных причин (метеорологические условия, отсутствие на запланированных участках крутых склонов, необходимостью смещения полигона В 4 к югу, ближе к о-вам Палау, где находилась на извлечении сотрудники экспедиции). Перенесение полигонов сделано в пределах отмеченных программой для изучения подводных морфоструктур и не повлияло на выполнение поставленных задач.

1. Организация работ.

Последовательность операций по выбору и обработке полигонов приводится в отчете начальника экспедиции. В составе экспедиции было организовано два геологических отряда: драгированный и литологический. В целях более рационального использования времени на полигонах драгирование проводилось круглосуточно, в две смены по 12 часов каждая. Поэтому в работах принимали участие сотрудники обоих отрядов, а также начальник геохимического отряда Л.М.Грамм-Семенов. В состав отряда драгирования входили:

1. Крайников Г.А. - начальник отряда
2. Курносков В.Б. - ст.научный сотрудник (первая часть рейса)
3. Козлов Ю.И. - мл.научный сотрудник
4. Забелин В.В. - " " "
5. Кондратенко В.А. - ст.лаборант.

Литологический отряд имел следующий состав:

1. Марков Ю.Д. - начальник отряда
2. Маркевич П.В. - ст.научный сотрудник
3. Свищевников А.И. - инженер
4. Бирманна М.Г. - мл.научный сотрудник.

Документация поднятых драгами геологических пород осуществлялась на палубе судна Ю.Б.Евлановым, П.В.Маркевичем, Ю.И.Коноваловым и А.И.Свинниниковым. Оформительская работа по полигону и дальнейшая обработка образцов и проб проводились М.Г.Бирюхиной и В.А.Кондратенко.

2. Методика драгирования и оборудование.

Научное судно "Каллисто" оборудовано траловой лебедной грузоподъемностью 12 т с двумя парными барабанами, имеющими 2000 м троса диаметром 26 мм. При драгировании использовался один барабан, емкость которого позволяла производить спуск драги на дно до глубины 5000-6000 м. Диаметр троса подбирался с учетом глубины драгирования и величины драги. В рейсе использовались цилиндрические драги разного диаметра. Спуск и подъем драги производился через слив судна.

В рейсе применялась методика производства драгирования сложившаяся в Московском институте океанологии и ТОН ЛВНЦ. Кроме того, на каждом полигоне учитывались специфические условия: величина волнения моря, направление ветрового дрейфа и подводных течений по отношению к выбранному участку подводного склона, глубина драгирования от поверхности моря. Это определяло последовательность маневров судна.

В зависимости от условий на полигоне применялось три метода драгирования коренных пород:

1. Метод подвода драги к склону, апробированный на нис "Первенец" (Барсенов и др., 1971). Этот метод дает положительный эффект при относительно спокойном море, небольших дрейфах и глубинах и применялся нами в небольшом объеме драгирования на подводной возвышенности Лмате.

2. Метод циркуляции применим на любых глубинах и обеспечивает надежное залегание драги на дне на выбранном участке подводного склона, даже при значительном мешающем дрейфе. Сущность метода заключается в следующем.

После выбора с помощью эхолотного промера и карты полигона начальной точки драгирования судно выходит на профиль драгирования со стороны меньшей глубины. Расстояние до точки драгирования и скорость судна выбираются с таким расчетом, чтобы до подхода к выбранной точке успеть выбросить драгу с длиной троса соответствующей глубине начала драгирования. В этом случае драга плывет за судном. Как только судно оказывается над точкой драгирования производится циркуляция с наименьшим радиусом круга. При этом драга опускается на дно к моменту конца циркуляции, а судно ложится на обратный или близкий к нему курс, позволяющий производить драгирование вверх по склону или вдоль него в зависимости от направления дрейфа. Делается кратковременная остановка судна и стравливается дополнительно около 15-20% троса. Дальнейший ход операций сходен с таковым при первом методе, т.е. учитывая произведенный графически расчет положения судна и троса для начала и конца драгирования, производится движение "малым ходом" для выбора слабину троса. Как правило, при этом методе начало зацепов драги бывает близким к расчетному. После появления зацепов производится драгирование с помощью траповой лебедки. К недостаткам метода следует отнести большой процент обрывов драг в случаях сложного мидрорельефа коренного склона или значительной крепости подводных скал.

3. Метод драгирования "по изобате". Этот метод применялся в тех случаях, когда направление дрейфа судна было вдоль подводно-

го хребта (подводного склона) или под небольшим углом к этому курсу. Драгирование другими методами в этом случае затруднено, так как судно постоянно должно держаться на якорю, чтобы производить драгирование, что приводит в большинстве случаев к преждевременному подъему драги от дна и она приходит пустая. Сущность метода заключается в следующем. Выбирается глубина драгирования и протяженный участок крутого склона. Судно движется "малым ходом" над выбранной изобатой, что постоянно контролируется штурманом по эхолоту, расположенному на мостике. Движение судна осуществляется ^{в направлении} против дрейфа и одновременно происходит на якорю спуск драги с количеством троса, соответствующим выбранной для драгирования глубине. После вытягивания всей длины троса судно делает кратковременную остановку для залегания драги на дне. При этом сбрасывается дополнительная приставка троса. Затем судно продолжает двигаться малым ходом "по изобате" до момента полного натяжения троса, которое определяется по пройденному расстоянию и наличию первых зацепов драги.

В зависимости от величины дрейфа дальнейшее драгирование может осуществляться или траловой лебедкой при остановке судна, или на "самом малом" ходу. Метод позволяет надежно гарантировать глубину драгирования. В случаях, когда направление дрейфа под некоторым углом к изобате, можно драгировать в дрейфе.

3. Краткая характеристика драгирования на полигонах.

В Финляндском море коренные дочетвертичные образования изучались на полигонах В 1, В 2, и В 4. Геоморфология полигонов описана в разделе "Геоморфологические исследования".

Полигон № 1 расположен в северной части подводного хребта Кюсю-Палау, в районе возвышенности Камажаси-Дайни, представляющий собой обособленную подводную гору (рис. 7). Северная граница полигона проходит вдоль $30^{\circ}00'$ с.п., западная - по $133^{\circ}13'$ в.д. Значительная величина горы и острая удлиненная в плане вершина на фоне относительно плоской абиссальной равнины позволяли производить работы на полигоне с достаточной точностью с удовлетворительной привязкой точек поворота галсов по "Лорану".

Склоны подводной горы крутые, весьма удобные для драгирования, однако, ввиду исключительной прочности пород, слагающих возвышенность и сильного дрейфа, постоянно меняющегося направления, опробование подводных склонов представляло собой на редкость сложный процесс. В результате драгирования лишь 4 драги подняты с коренными породами, характеризующими интервалы глубин 600-700, 1050-1100 и 1500-1600 м, 6 драг было поднято без материала и 4 драги были утеряны в результате сильных зацепов за подводные скалы. Кроме драгирования, на полигоне была сделана попытка отбора проб пород дночерпателями, выполнено 5 станций, две из которых дали более или менее удовлетворительные результаты, в остальных случаях дночерпатели были подняты без материала по причине попадания на каменистое дно. На полигоне производился также отбор проб рыхлых отложений прямоточными трубками (5 станций) и дночерпателем (1 станция).

Полигон № 1 достаточно полно охарактеризован геофизическими работами. Вместе с эхолотными промерами проводились магнитометрические исследования и непрерывное сейсмопрофилирование.

Полигон № 2 расположен в 8-10 милях западнее о. Окинадайти, соответственно, в южной части подводной возвышенности Оки-Дайто

ПОЛИГОН №4 (2/4 РЕЙС „КАЛІСТО“)



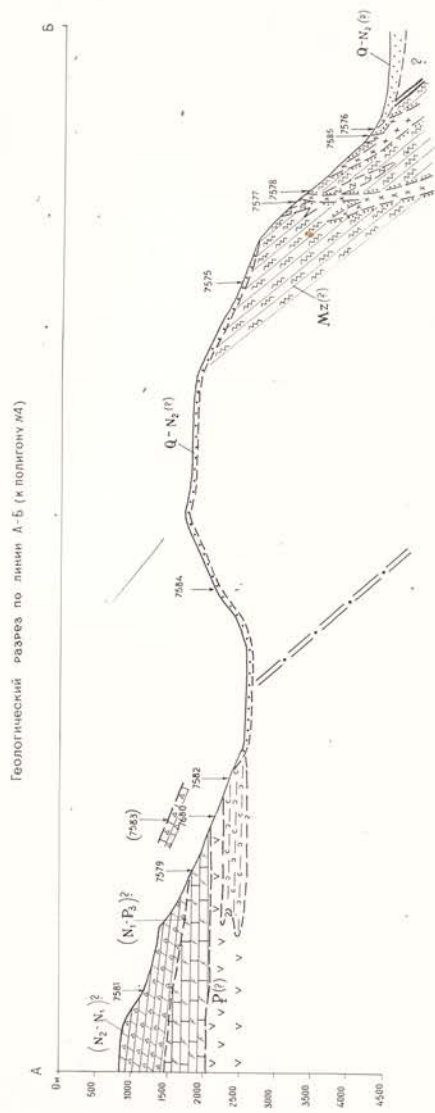
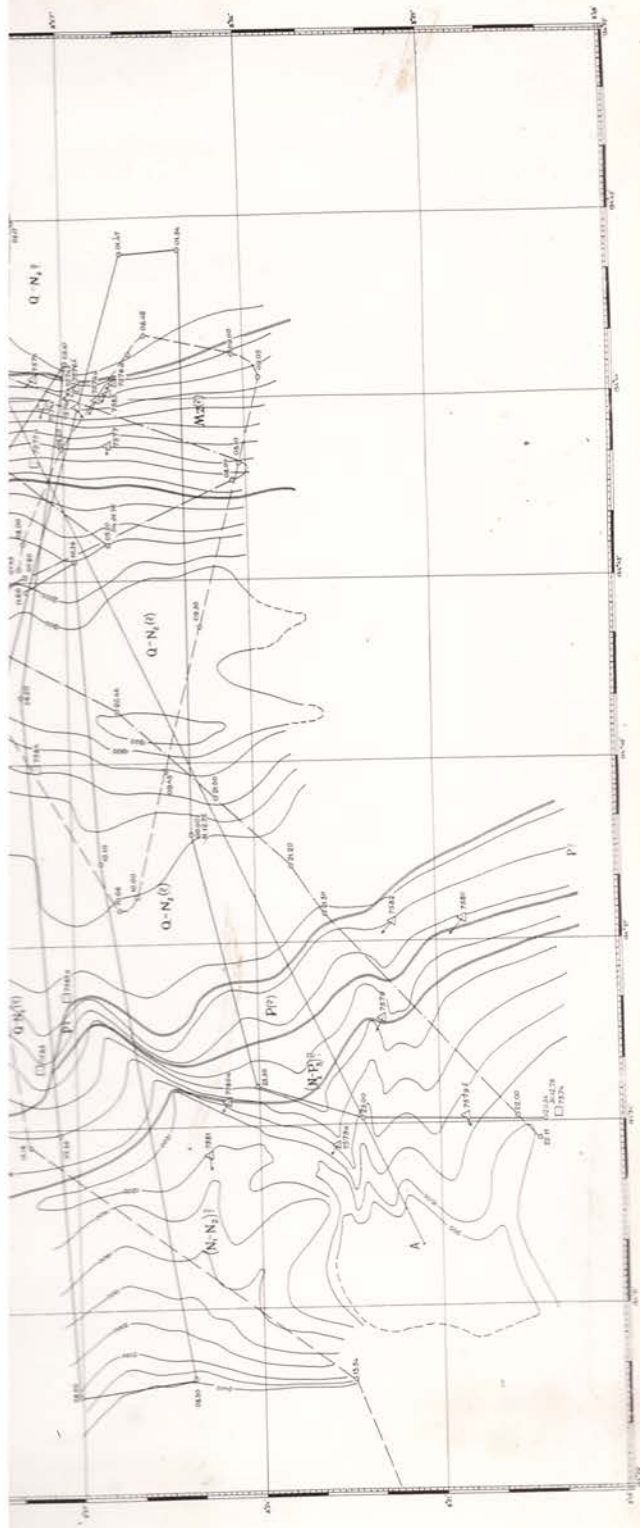
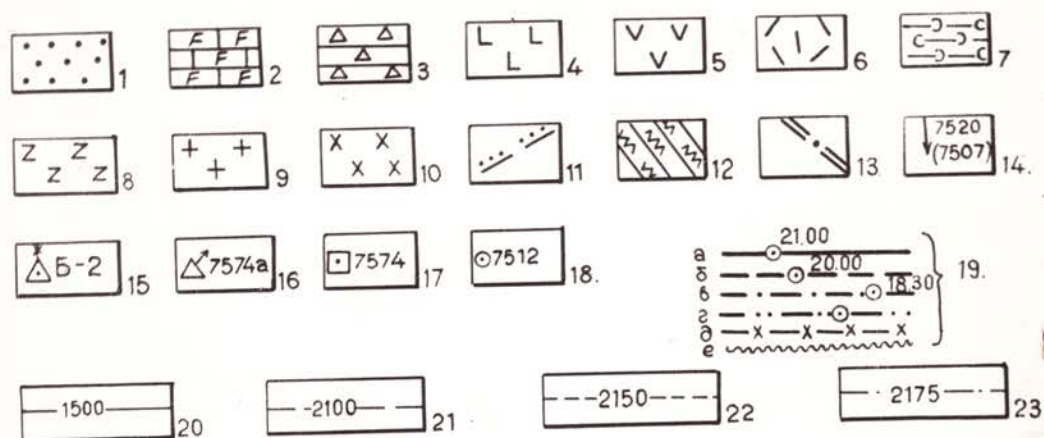


Рис. 26. Схема рельефа и расположение станций на полигоне М

Рис. 27
Условные обозначения к схемам полигонов
и геологическим разрезам



ГЕОЛОГИЧЕСКИЕ РАЗРЕЗЫ НА ПОЛИГОНАХ № 4 И № 5 :

I - рыхлый покров палеоген (?) - четвертичных отложений;
 2 - известняки органогенно-обломочные, коралловые, плотные; 3 - известняки органогенно-обломочные слабоуплотненные; 4 - базальты, андезито-базальты, туфы основного состава; 5 - андезиты и туфы среднего состава;
 6 - эффузивы и туфы кислого состава; 7 - вулканогенно-осадочные породы; 8 - интрузивные породы от диабазового до диоритового ряда; 9 - граниты и гранодиориты; 10 - дайки и жилы гранитоидов; II - зоны контактового метаморфизма; 12 - метаморфические (амфибол-пироксеновые и др.) сланцы; 13 - предполагаемые разрывные нарушения; 14 - номер и местоположение геологической станции (драга, дночерпатель) на морском дне. В скобках номера станций более удаленных от линии разреза;

К СХЕМАМ ПОЛИГОНОВ:

15 - местоположение буя и его номер; 16 - станция драгирования и её номер, стрелкой показано направление драгирования и интервал в масштабе схемы; 17 - дночерпатель и его номер; 18 - местоположение станции с прямоточной трубкой и её номер; 19 - основные эхолотные и геофизические галсы: а, б, в, г, д - вид линии зависит от галса, указанной вместе с временной отметкой, на полигонах с геологическими станциями драгирования линия "а" означает профиль НОП, е - дрейф судна; 20 - изобаты достоверные; 21 - изобаты по интерполяции; 22 - полуизобаты; 23 - четвертные изобаты.

ПОЛИГОН № 2 (2/4 РЕЙС „КАЛЛИСТО“)

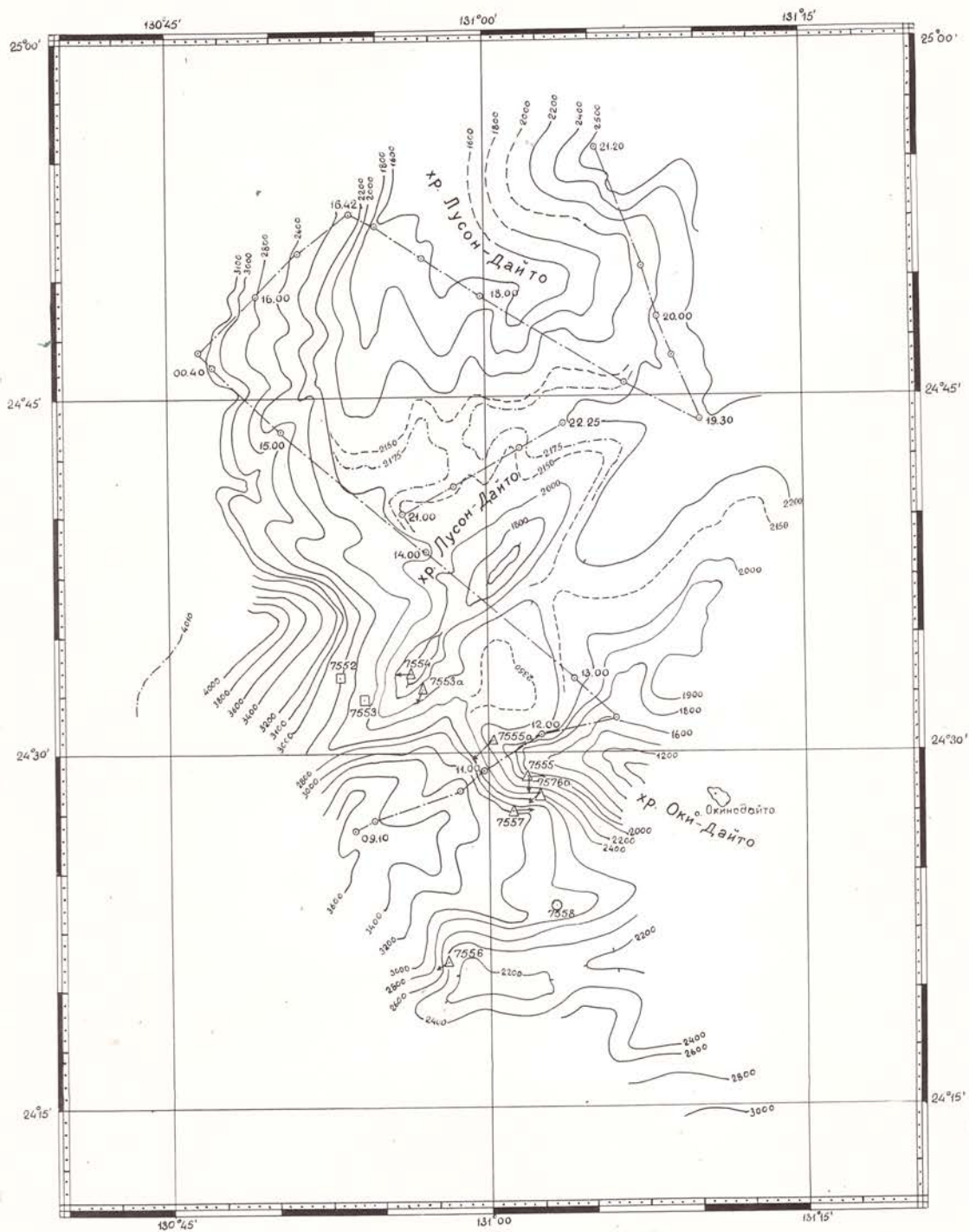


Рис. 28. Схема рельефа и расположение станций на полигоне № 2

(Бородино). Надежное пеленгирование береговых ориентиров острова при спокойном море обеспечило хорошую географическую привязку полигона и станций внутри него. Определение положений последних осуществлялось посредством судовых РИС "ДСИ" и "ДСИ-1", позволяющих производить уверенную привязку к острову на расстоянии до 18 миль (рис. 28).

По результатам эхолотной съемки, на исследованном участке дна выделяются три узких подводных гребня разного простирания. Гребни разделяются узкими долинами, отвечающими, вероятно, крупным разломам. На наиболее крутых склонах гребней было выполнено 7 станций драгирования. В результате на 3^х станциях были подняты коренные породы, характеризующие интервал глубин 1900-2900 м. Единичное драгирование прошло по рыхлым осадкам и три драги были подняты без материала, по-всей видимости, из-за сильного дрейфа судна. Кроме драгирования, геологические работы на полигоне включали отбор проб рыхлых осадков дночерпателем (2 станции) и прямоочной трубкой (1 станция).

Полигон № 2 пересечен двумя профилями НСП, а одновременно с эхолотной съемкой производились магнитометрические исследования.

Полигон № 4 расположен на южной оконечности подводного гребня Кисю-Палау, у стыка его с островной дугой Каролинских о-вов. Западная граница полигона проходит по $134^{\circ}30'$ в.д., северная — по $9^{\circ}06'$ с.ш. В результате детальной эхолотной съемки на этом участке дна выделяются две крупные положительные структуры рельефа — подводные гребни с минимальными отметками глубин 900 м — западный гребень, и 1800 м — восточный, разделенные плоской впадиной с глубинами до 2600 м (рис. 26).

На пологой вершине восточного гребня был выставлен буи на

глубине 2100 м. Геологические работы производились преимущественно на восточном склоне восточного хребта, отличающемся наибольшей крутизной, местами до 40° , также был отдрагирован и восточный склон западного хребта, где было сделано 7 станций.

Всего на полигоне было выполнено 17 станций драгирования, из них на 8 станциях были подняты коренные породы, 5 драг было утеряно по причине зацепа за скальные выступы дна и 4 драги подняты без материала. В результате драгирования была получена информация о составе коренных пород на глубинах от 1200 до 4300 м. Кроме драгирования на полигоне проводился также отбор проб рыхлых осадочных пород дночерпателем (6 станций), причем в составе некоторых проб рыхлых осадков содержались обломки коренных пород. Геофизические работы из-за неисправности ЗГИ на этом полигоне ограничились, к сожалению, только магнитометрическими исследованиями, проводившимися совместно с экологической съемкой.

В Японском море коренные породы изучались на полигоне В 5, который был разбит на восточном склоне Южного хребта подводной возвышенности Ямато. Западная граница его проходит вдоль $135^{\circ}34'$ в.д. северная - $39^{\circ}27'$ с.ш. На полигоне был выставлен закоренный буй на отметке глубин 380 м. Координаты буя $39^{\circ}22.1'$ с.ш., $135^{\circ}42.0'$ в.д. В результате экологических промеров была составлена детальная батиметрическая схема полигона, на которой виден довольно расчлененное подводное плато, пререзанное каньонами. Возвышенность имеет минимальные отметки глубин около 350-370 м (рис. 29). Крутые склоны, наиболее удобные для драгирования обнаружены по бортам впадины, разделяющей положительные структуры, где и было выполнено 14 станций, характеризующих интервалы глубин 750-400 м. Коренные породы были подняты на 5 станциях, две драги были утеряны и

три подняты без материала по причине обрыва дражного мешка в результате зацепов за подводные скалы. На 4 станциях драгирование прошло по разным условиям. В пределах полигона проведено опробование донных осадков дночерпателями (6 станций) и прямоточными трубками (3 станции), а также выполнен значительный объем геофизических работ; пройдена серия профилей НСП, проведена магнитометрическая съемка.

4. Научные результаты изучения дочетвертичных пород.

Изучение коренных дочетвертичных пород в период 2/4 рейса нис "Каликто" позволило получить новые интересные данные о геологическом строении подводных возвышенностей в Японском и Филиппинском морях. До окончательной лабораторной обработки материалов и получения определений геологического возраста различных по составу и генезису образований, в настоящем отчете изложены результаты предварительного исследования поднятых образцов горных пород и сделана попытка выделения возрастных комплексов путем сравнения с имеющимися сведениями по геологической изученности для указанных морей.

Филиппинское море

На подводном хребте Кусо-Палау и возвышенности Оки-Дайто (Бородино) среди дочетвертичных литифицированных образований выделены четыре комплекса пород разного состава условно мезовоюского, палеогенового, палеоген-неогенового и неогенового возраста.

I. Мезовоюский (?) комплекс метаморфических

и интрузивных образований.

В южной части подводного хребта Кусо-Палау в пределах полигона № 4 (рис. 26) при драгировании поднято большое количество

крупных (Прилож. В 1) глыб и щебнистых обломков горных пород представленных метаморфическими сланцами, метаморфизованными интрузивными и вулканогенными (?) породами, прорванными мелкими интрузивными и жилами гранитоидов. Эти породы слагают крутой восточный склон хребта Кисо-Палау, обращенный в сторону глубоководной впадины Паресе-Вада (гессингулинальная котловина Намю). Они распространены от подножья склона (-4500 м) до глубины 2500-2550 м от поверхности моря и подняты драгами на ст. 7577, 7578, 7585.

Метаморфические породы представлены пироксен-амфиболовыми и кварцево-амфиболовыми (кварцево-актинолитовыми?) сланцами, среди которых подчиненное распространение имеют зеленокаменные кристаллические сланцы с порфиробластовой текстурой и рассланцеванные вулканогенные породы менее подвергшиеся метаморфизму.

1. Пироксен-амфиболовые сланцы подняты на всех указанных станциях в виде плитчатых остроугольных глыб (размером до 15х30х50 см) и многочисленных обломков. Они представляют собой зеленовато-серые, мелко- и крупночешуйчатые породы, иногда с хорошо выраженной мелкой плитчатостью. Нередки зеркала скольжения и плоскости типа отдельности, расположенные поперек сланцеватости. По результатам предварительного изучения в судовых условиях под бинокуляром, породы состоят на 60-70% из мономинальных пироксенов ряда диопсид-авгит и амфиболов (тремолит-актинолит и зеленая обильная роговая обманка?). В резко подчиненном количестве присутствуют минералы группы энциота, циркон, кварц и обломки вулканического стекла (обр. 7581/1; 7577/15; 7585/20 и др.).

2. Кварцево-амфиболовые (кварцево-актинолитовые?) сланцы подняты в меньшем количестве вместе с

породами указанными в п. I и по внешним признакам мало отличаются от них (обр. 7577/4; 7577/13; 7577/15). В составе сланцев кроме пироксенов и амфиболов отмечено непостоянное количество кварца и плагиоклазов (от 20 до 40%).

3. Порфиробластовые зеленоватые и некристаллические сланцы, видимо, образуют согласные с общей сланцеватостью предыдущих пород тела небольшой мощности (минимальная мощность в поднятых обломках — первые сантиметры). Об этом же свидетельствуют нечеткие переходы к пироксен-амфиболовым сланцам. Породы — более плотные с шпатом отдельности, основная масса — мелкочешуйчатая пироксен-амфиболовая с примесью слюдястых минералов. На её фоне резко выделяются уплотненные по сланцеватости порфиробласты полевых шпатов размерами до 2-3 мм. Содержание порфиробластовых гнезд изменяется от 10 до 40%. Отмечены редкие линзовидные зоны окисления в породе.

Интрузивные метаморфизованные породы на полигоне B 4 тесно ассоциируют с кристаллическими сланцами и подняты на тех же станциях (ст. 7577, 7578, 7585). Они представлены ⁸габброидами, гранитами, гранодиоритами и андизитами.

1. Габбро-диабазы (?) представляют собой зеленоватые или серые мелкокристаллические массивные породы со следами нечеткого расчленения или сланцеватости. Они состоят в преобладающей части из слюдястых зеленовато-серых минералов (роговой обманки, биотита?), среди которых выражены желтоватые полевые шпаты (от 20 до 40%). Отмечаются небольшие гнезда шпритизации.

2. Габбро (?) пироксеново-роговообманковые — среднекристаллические породы, состоящие из значительного (более 50%) количества темноцветных темно-зеленых и серых минералов удлиненно-

-таблитчатой формы, отнесенных вынужденно к роговой обманке и частично к пироксенам. Часть пород интенсивно рассланцована. Мелкокристаллические разновидности с большим количеством темноцветных отмечались редко.

3. Габбро-диориты (?) имеют зеленовато-серый цвет и мелкокристаллическую структуру. Они состоят из темноцветных минералов (50% и более) и розово-серых полевых шпатов (выражены 1-1,5 мм). Вероятно, существуют переходы к мелкозернистым диоритам (?), в которых содержание темноцветных заметно уменьшается (до 25%).

4. Граниты и гранитоиды представляют собой лейкохромные светло-розовые и светло-серые породы, расчлененные в различной степени. Направление расчлененных полос зафиксировано расположением удлиненных кристаллов роговой обманки и диорита (?). Содержание темноцветных в гранитах - 10-15% при резком снижении его в гранит-аутитах. Кварц содержится в мелких ксеноморфных зернах. На поверхности плитчатых обломков хорошо видны "прилипки" кристаллических сланцев, часто со следями контактового метаморфизма. Это свидетельствует о прорывании гранитами толщи сланцев и позволяет судить о минимальной мощности интрузивных тел. По-видимому это небольшие дайки и жилы, простиравшиеся согласно со сланцеватостью вмещающих пород. Минимальные мощности тел от 0,5 до 1-5 см.

5. Гранодиориты (?) - серые до светло-серых, мелко- и среднекристаллические породы. Они состоят из светлых полевых шпатов, незначительного количества кварца и мелких направленно расположенных чешуек темноцветных. Взаимоотношения с вмещающими кристаллическими сланцами такие же, как для гранитов.

6. А. И. Л. И. Т. И - мелко- и микрокристаллические лейкократовые породы с неравномерно рассеянными мелкими кристаллами темноцветных или почти без них. Подвержены незначительному растрескиванию. Они образуют тонкие слои (от 1-1,5 см до 10 см) в сланцах и, в свою очередь, пересечены более мелкими прожилками кварца (от 7578, 7585). Кроме мелкокристаллической структуры для аphanites характерна и фельзитоподобная основная масса, на фоне которой рассеяны мелкие кристаллы темноцветных. Иногда в основной массе аphanites распространены бурно гнезда окисленные.

7. Контактного-измененные породы представлены двумя типами: 1) эффузивные зоны сравнительно крупных тел гранитоидов и 2) зоны эффузива также связанные с гранитами в кристаллических сланцах.

Для первого типа характерны скрытокристаллические аphanites породы серого и зеленовато-серого цвета с полосчатой текстурой, параллельной контакту. Они нередко насыщены мелкими прожилками и гнездами кварца.

Второй тип представлен интенсивно окисленными метаморфическими сланцами (слоды с роговиками). При меньшей степени воздействия интрузий в сланцах отмечено уплотнение и осветление зон с реликтовой сланцеватостью. Породы пересечены мелкожиловыми (0,5-1 см) прожилками кварц-полевошпатового (попелитовидного) состава или кварца. Вблизи них наблюдается развитие шпата или полосовое окисление.

8. И. И. Л. И. К. В. А. И. А. как отмечено выше, развиты во вмещающих кристаллических сланцах и приконтактных зонах гранитоидов. Кварц - молочно-белый и полупрозрачный. Установленная мощность слои колеблется от 0,5-2 см до 5-6 см. Порядом (в сланцах) они

буллитированы, разорваны на отдельные сегменты.

Изучение состава и взаимоотношений пород мезозойского (?) интрузивно-метаморфического комплекса позволяет расшифровать последовательность геологических процессов, происходивших в южной части хребта Кисю-Палау.

Петрографический состав кристаллических сланцев и реликтовые структуры в них свидетельствуют о том, что первичные породы, подвергшиеся региональному (?) и контактовому метаморфизму принадлежали вулканогенной толще основного (частично среднего) состава. Габброиды, по-видимому, образуют субкластические тела в этой толще. Генетическая общность всех этих пород является основанием для отнесения их к эвгессивизмальному комплексу.

Последующие тектонические процессы в южной части хребта Кисю-Палау, вероятно, связаны с образованием геосинклинального подводного поднятия. Вместе с его возникновением и развитием происходило внедрение интрузий и жильных тел гранитоидов и амфиболов, что привело к образованию локальных зон контактового метаморфизма. Крупные разрывные нарушения заключительного этапа вызвали значительный динамометаморфизм, которому подвергались все без исключения образования интрузивно-метаморфического комплекса. Об этом свидетельствует рассланцевание и растрескивание пород, веркала скопления в сланцах, буллитизация прожилков кварца.

Можно предположить наличие крупного разлома, проходящего в восточной части хребта Кисю-Палау и отделяющего его от глубоководной впадины Паресе-Вела (Нанью). Если принять во внимание морфоструктурное сходство южной части подводного хребта Кисю-Палау со "стандартной" дугой ("Тесморф. исслед.", см. раздел), то подтверждается вывод Керига (Karig, 1971) о том, что восточни

хребты фронтальных дуг обычно сложены более древними комплексами.

Значительная тектоническая активность, выявленная нами на полигоне № 4, возможно связана с расположением участка вблизи сочленения хребта Кюсю-Наллау с Каролинской островной дугой. На острове Си, принадлежащей последней, также известны метаморфические породы эфрессинциального комплекса.

Мезозойский (?) возраст интрузивно-метаморфическому комплексу нами дан условно. В пределах полигона породы комплекса перекрыты рыхлыми плейстоцен-четвертичными осадками, содержащими щебень кристаллических сланцев (ст. 7575). На склонах хребта в западной части полигона № 4 видно по разрезу, с глубины 2400-2100 м развиты вулканогенные породы, сопоставляемые с палеоценом, которые, в свою очередь, перекрыты неогеновыми известняками.

II. Палеогеновый (?) вулканогенно-осадочный комплекс.

Вулканогенные и вулканогенно-осадочные породы подняты драгами на полигоне № 4, где они образуют нижнюю часть склона западного гребня Кюсю-Наллау (рис. 26). Они распространены в интервале глубин от 2100 до 2400 см.

I. Вулканические породы представлены псаммитовыми витрокристаллокластическими туфами андезитового состава. По цвету различаются красновато-бурые и желтовато-зеленые разновидности. В основной стекловатой массе рассеяны мелкие (1-2 мм) изометричные остроугольные частички вулканического стекла более темных оттенков. Очень редко присутствуют игольчатые кристаллы плагиоклазов. Породы покрыты железо-марганцевой коркой, более распространенной по зеленым туфам (ст. 7580).

2. Песчанки туфогенные, известковистые, мелкозернистые, грязно-зеленого цвета, слабоуплотненные. Известковистость устанавливается по вскипанию с HCl на локальных участках в виде угловатых белесых включений до 3-7 мм в поперечнике. Драгой поднят единственный остроугольный обломок с глубины 2350-2400 м (ст. 7532).

3. Аргиллиты (?) подняты вместе с песчанником в двух обломках остроугольной формы. Они представляют собой светло-серую плотную породу с нечеткой слоистостью. Отдельные более светлые гнезда слабо реагируют с HCl.

Туфогенно-осадочные породы, по-видимому залегают или ниже вулканических туфов, или образуют среди них прослой.

Возможная принадлежность вулканогенно-осадочного комплекса к палеогену основана на том, что выше его в пределах полигона В 4 залегают известняки, возраст которых скорее всего неогеновый (см. ниже). В северной части Филиппинского моря на подводной возвышенности Бородино ^с глубины 2850-3000 м были ранее подняты базальты. Выше их, также как и в нашем случае, залегают известняки с фауной верхнего эоцена (Васильев, 1974).

К этому же комплексу условно отнесены интрузивные породы северной части крета Кисю-Палау, где они обнаружены ^{в пределах} подводного склона возвышенности Камажаси-Дайни на глубине 1000-1100 м (полигон В I, рис. 7). Единичный остроугольный обломок со следами отрыва от коренных пород размером 10х14х18 см предварительно определен как кв. диорит (ст. 7530). Это зеленовато-серая мелкозернистая кристаллическая порода, состоящая из полевых шпатов и темноцветных (до 30%). Редкие мелкие зерна кварца (?). В химической лаборатории нис "Мальисто" Т.Н. Волковой определено содержание кремнекислоты в количестве 62% ($\pm 2\%$).

Вершина горы Каммасы-Дайни, также как и подводной возвышенности в пределах полигона B 4 сложена известняками, вероятное всего неогенового возраста, т.е. можно предполагать донеогеновый возраст кв. диоритов. По устному сообщению В.И.Васильева, в 1971г. при дражировании сев. части хребта Кюсе-Налау В.Ф.Остапенко (СамНИИ) подыты породы типа гранодиоритов с абсолютным возрастом 56 млн. лет (U-Ac метод - лабор. ИГУ)*. Это косвенно подтверждает возможность отнесения подытых нами кв. диоритов к палеогену.

III. Олигоцен-миоценовый (?) комплекс известняков.

Известняки различного состава и генезиса широко развиты в пределах подводных возвышенностей Филиппинского моря. Они обнаружены при дражировании в северной и южной частях хребта Кюсе-Налау (полигоны B I и B 4), на подводной возвышенности Оки-Дайто (полигон B 2). Известняки, как правило, слагают вершины подводных гор и распространены по их склонам. Они представлены, вероятно, двумя разновозрастными комплексами: олигоцен-миоценовыми (?) и миоцен-миоценовыми (?).

Карбонатные породы первого комплекса на полигоне B I подыты с глубин 600-700 м (ст. 7532), на полигоне B 4 - с глубины 1800-1900 м (ст. 7579) и в южной части возвышенности Оки-Дайто к ним предположительно отнесены известняки, распространенные в интервале глубин 2400-2500 м (полигон B 2, ст. 7555, 7577). Такое различие в глубинах может объясняться с одной стороны возможным ^{пласть} наклоном в сторону больших глубин, а с другой, не исключено, что в отдельных случаях образ известняков драгами произвел от глыб, сползших по склону.

Олигоцен-миоценовый комплекс представлен органогенно-обломочными и коралловыми плотными известняками белого и светл

* В последнее время в материалах по "Геодинамическому процессу" японскими геологами К. Шибата и Ю. Кудза описаны граниты с той же возвышенности, имеющие возраст 37.4 ± 6.4 млн. лет.

-серого цвета. Порода состоит из обломков скелетов кораллов или раковин моллюсков (от 0,5 до 5 см), сцементированных детритусовым и мипритовым материалом (содержит очень мелкие остатки раковин и известных водорослей). Иногда наблюдается перекристаллизация раковин и новообразования кальцита в цементе. Редко обнаруживаются известняки, целиком состоящие из скелета коралловой колонии массивной или лучевой текстуры и с межскелетными пустотами, заполненными фораминиферным песком или глинисто-карбонатным веществом более позднего возраста (ст. 7555, 7579).

Чаще всего обломки и глыбы известняков с наружной поверхности покрыты железно-марганцевой коркой. Гидрокислы неравномерно проникают в слабоизмененную часть известняка, образуя пятнистую бурую переходную зону.

IV. Миюнен-миюненовый (?) комплекс известняков.

На всех трех указанных выше полигонах Сибирского моря установлено, что на плотных органогенно-обломочных известняках олигоцен-миюцена залегают более молодые рыхлые или слабоуплотненные карбонатные породы. В пределах подводных возвышенностей они также распространены на разных батиметрических уровнях.

Анализ особенностей подводного микро рельефа в пределах полигонов и распространения слабоуплотненных известняков показывает, что значительные различия в глубинах залегания связаны с обложением склонов этими отложениями. Об этом же свидетельствует тот факт, когда слабоуплотненные карбонатные породы обнаруживаются в драгах совместно с известняками первого комплекса (ст. 7555, 7557, 7579).

На полигоне Б I миюнен-миюненовые известняки развиты в

интервале глубин 600-700 м, на полигоне В 2 - от 1800 до 2000 м и от 2400 до 2500 м, в южной части хребта Кюсю-Палау - на глубинах 1200-1300 м и 1800-1900 м (полигон В 4).

Среди описываемых пород преобладают органогенно-обломочные известняки, состоящие из остатков мелких раковин моллюсков специализированных тонким известковым материалом с остатками фораминифер.

Другая разновидность карбонатных пород представлена мелкозернистыми фораминиферовыми светло-серыми известняками с микроитовым цементом.

Сравнительно редко встречаются известняковые брекчии, представляющие собой светло-серую породу, сложенную угловатыми более крупными обломками размером от 1,5x2 см до 4x11 см и большой массой более мелкого (менее 1,5 см) обломочного материала. В составе обломков: докрино-микритовый известняк, коралловый известняк, раковины моллюсков. Поверхность обломков покрыта тонкой желово-марганцевой пленкой. Цемент породы базальный, представлен микритовым материалом различной плотности.

Миоцен-плиоценовый (?) комплекс на полостях участках подводного рельефа перекрыт рыхлыми отложениями плиоцен-плейстоценового возраста.

Возрастная принадлежность обочек комплексов известняков косвенно обосновывается проведенными ранее исследованиями в Филиппинском море. Как указывалось выше, в пределах возвышенности Оси-Дайто, севернее полигона В 2 Б.И. Васильевым установлены известняки, залегающие, возможно, на вулканических породах и имеющие возраст не древнее верхов эоцена.

В пределах возвышенности Алапи там же обнаружены некрепкие алевроитовые известняки, содержащие планктонные фораминиферы плиоцена (Васильев, 1974).

Скважиной, пробуренной в 1934-36 гг. на о. Кито-Дайто-Дзима (Бородино) до глубины 431 м вскрыт разрез карбонатных рифогенных и алевроито-глинистых лагунных отложений. Кровля миоцена установлена на глубине 150 м от поверхности дна (Hanzawa, 1940).

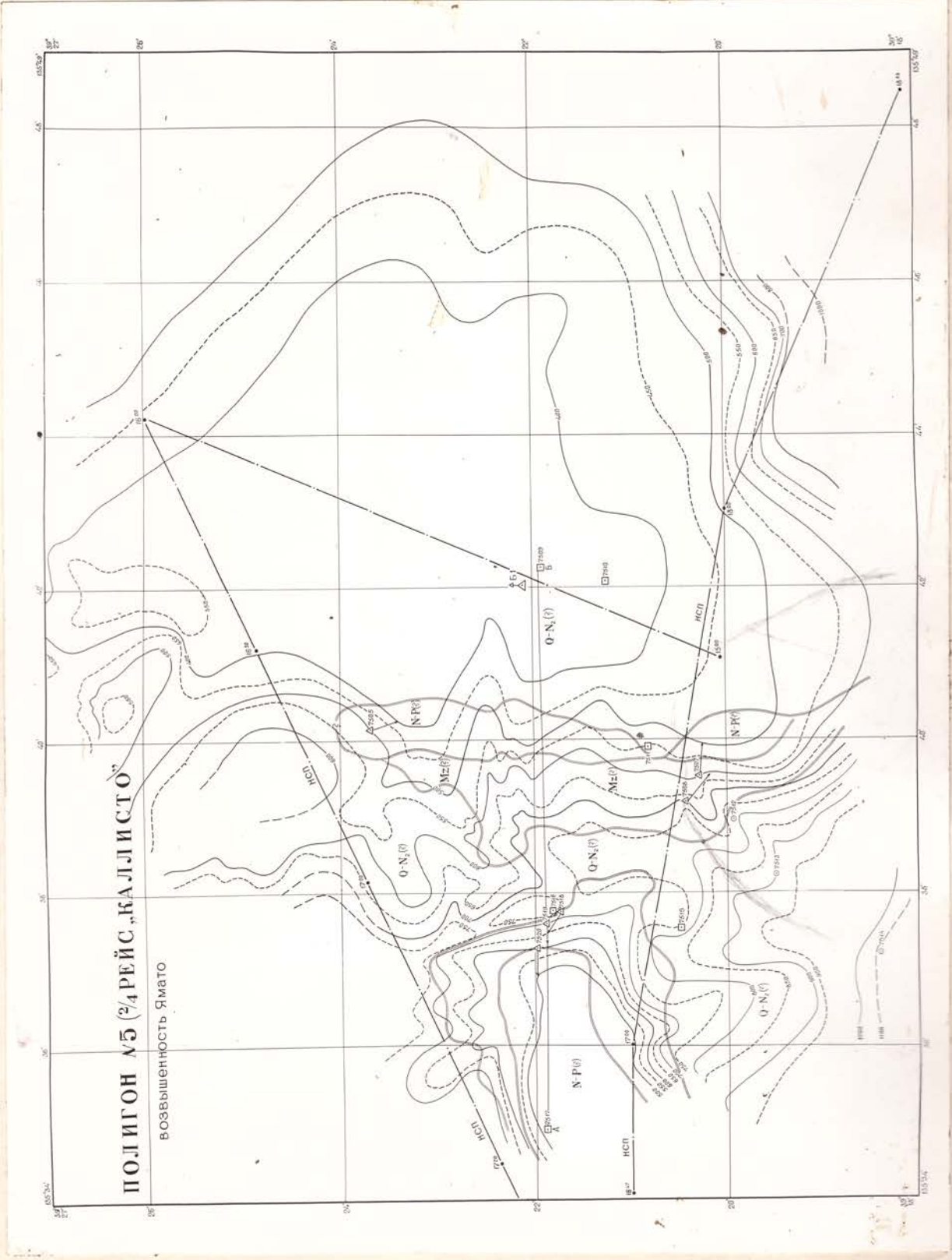
В результате бурения в 31 рейсе "Гломар Челенджера" в северной части хребта Кюсю-Нангау (в 35 милях южнее полигона № I) скв. № 296 вскрыт разрез мощностью 1087 м от дна. Установлено развитие рифных осадков, сменяющихся вниз по разрезу карбонатными породами до верхнего олигоцена включительно ("West Pacific...", 1973).

Недостаточность имеющихся литературных данных по стратиграфии рифогенных карбонатных отложений пока не позволяет уверенно проводить внутри них границу между палеогеном и неогеном, а также внутри отделов неогеновой системы. Однако, установленные нами состав и взаимоотношения карбонатных пород, позволяют предварительно сопоставить их по возрасту с сходными рифогенными образованиями изученными ранее в пределах подводных возвышенностей Филиппинского моря.

Необходимо продолжить детальное изучение карбонатных пород, морфоструктурные и формационные исследования, которые позволили бы не только разработать стратиграфию палеоген-неогеновых отложений окружающих морей Тихого океана, но и подойти к решению проблемы происхождения и развития рифов.

ПОЛИГОН №5 (¼ РЕЙС „КАЛИСТО“)

возвышенность Ямато



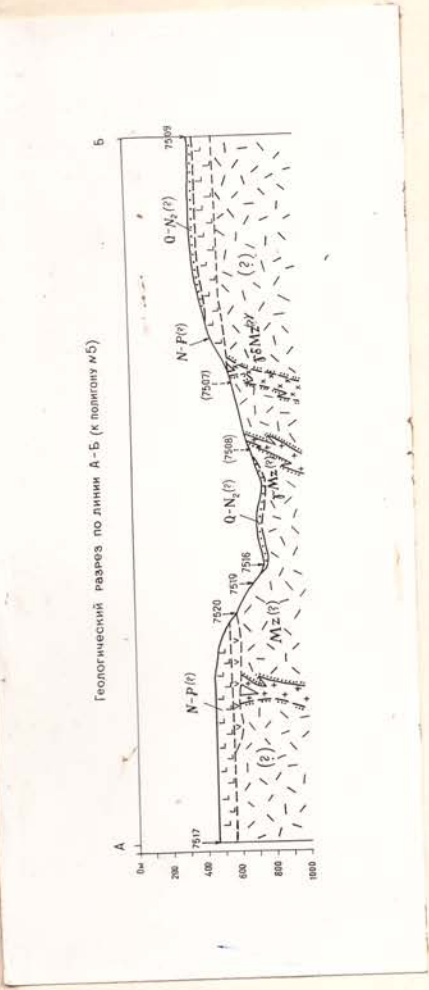
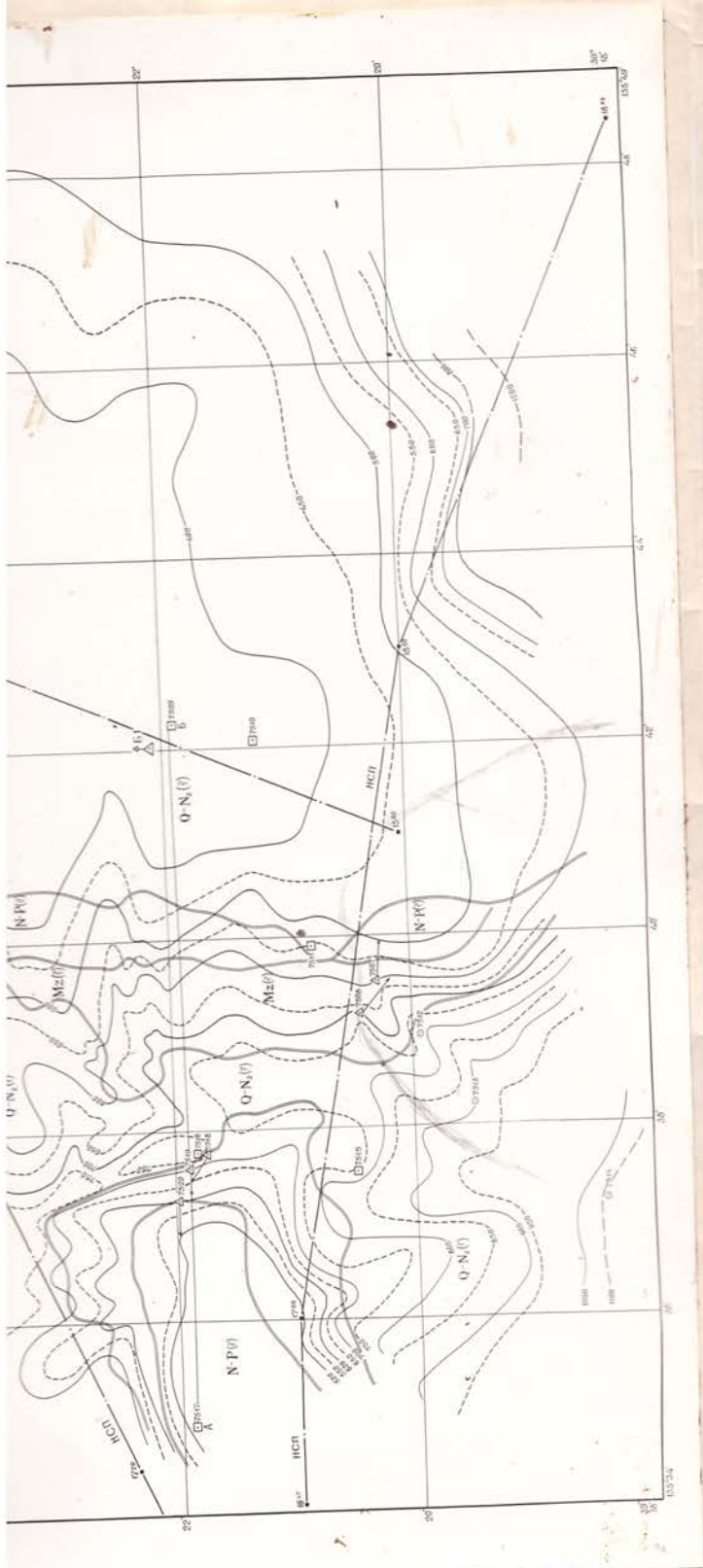


Рис. 29. Схематическая геологическая карта и разрез по линии А-Б (к полигону №5)

ЯПОНСКОЕ МОРЕ. ПОДВОДНАЯ ВОЗВЫШЕННОСТЬ ЯМАТО.

Объектом изучения дочетвертичных коренных пород в Японском море являлась восточная часть пикного хребта Ямато, о которой до сих пор имеются отрывочные сведения по геологическому строению. Драгированием в пределах полигона Б 5 (рис. 29) установлены выходы коренных пород на морском дне в интервалах глубин 400-750 м и 950-1000 м. Изученные образования принадлежат двум разновозрастным (мезозойскому? и палеоген-неогеновому?) вулканическим комплексам. С более древним из них связано также развитие интрузивных и контактово-измененных пород. Разновозрастные вулканические комплексы занимают определенные батиметрические уровни на склонах подводной возвышенности.

Мезозойский (?) вулканический комплекс

В пределах полигона Б 5 при драгировании подняты вулканические породы разного состава, обломки прорывающих их гранитоидов, а также контактово-измененные породы. Все эти образования, как правило, обнаруживаются в драгах совместно. Они складывают крутые подводные склоны, начиная с батиметрических уровней в 600-700 м и глубже (ст. 7508, 7518, 7519). Наибольшая глубина их распространения установлена в 9 милях юго-восточнее полигона Б 5 - 1000 м (ст. 7522, 7523), где была выявлена батиметрическая ступень вблизи границы с подводной котловиной Японского моря.

Вулканический комплекс представлен кварцевыми порфирами, фельзит-порфирами, дацитами и андезито-дацитами, туфами кислого состава. В большинстве случаев драгами наряду с кислыми породами были подняты единичные обломки базальтов, андезито-базальтов, андезитов и туфов того же состава. Часть этих пород, вероятно, принадле-

жит мезозойскому (?) комплексу. Однако, петрографическое сходство большинства обломков базальтоидов с вышележащими молодым комплексом предполагает сползание этих пород вниз по склону, особенно в интервалах глубин близких к подошве молодых покровов.

Кварцевые порфиры представляют собой желтовато-белые, серые и светло-серые породы с микрокристаллической и стекловатой основной массой. Вкраплениями (от 15 до 30%) представлены платиноклазами и кварцем.

Фельзит-порфиры и фельзиты имеют серый, светло-коричневый и светло-зеленый цвет. Основная масса микрокристаллическая и стекловатая. Редкие вкраплениями полевых шпатов.

Дацииты и андезитодацииты - темно-серые, зеленовато-серые и коричневые порфировые породы с вкраплениями платиноклазов. Основная масса кринокристаллическая или микрозернистая с незначительным содержанием кварца.

Туфы андезитодациитового состава с псефитовой структурой. Кластические обломочки (1-2 см) представлены андезитами и андезито-базальтами. Основная масса - пелитовая с линзовидной слоистостью.

Туфы кислого состава с светло-серой основной массой алевро-пелитовой размерности и мелкими кластическими обломочками. Иногда они представлены фельзитоподобными стекловатыми разностями.

Интрузивные породы прорывающие и метаморфизующие мезозойские (?) вулканические породы представлены гранитами и аплитами.

Граниты - светло-серые и серые мелкокристаллические породы с слабо выраженной порфировой структурой. Составляют из серых и розовых полевых шпатов, биотита и ксеноморфного кварца (ст. 7508).

В судовой лаборатории Т.И.Волковой определено содержание SiO_2 в количестве 74%.

А п л и т ы представлены светло-серыми мелкокристаллическими разностями, почти не содержащими темнопетных (ст. 7522, 7523).

Контактово-измененные породы подняты дробами на тех же станциях, что и гранитоиды. Они представлены светло-серыми кварцитами и окварцованными породами, в которых иногда различимы реликты кислых эффузивов. В более мелких остроугольных обломках обнаружены темно-серые тонкозернистые роговики, возможно образовавшиеся по осадочным породам.

Вулканический комплекс кислого состава в пределах южного хребта Ямато был установлен на единичных станциях японскими геологами в 1955-56 гг. (*Sato and Ono, 1964*). Эти породы были отнесены ими к верхнему мелу. Подобные породы теми же исследователями были обнаружены ранее в пределах подводной возвышенности Оки. В этой же работе есть указание, что в 1933 и 1942 годах Ситко установил наличие гранитов в гравии с возвышенностей Кито-Ямато, Ямато (южный хребет) и Оки. Дополнительный фактический материал, полученный нами, подтверждает развитие в пределах Ямато предположительно мезозойского вулканического комплекса, прорванного гранитоидами. Б.И.Васильевым в экспедиционных рейсах на "Первенец" (1970-71 гг.) на хребте Кито-Ямато (северный хребет) установлены те же комплексы. Для мелкозернистых и среднезернистых лейкократовых гранитов калий-аргоновым методом (лаборатория ЦГУ) установлен возраст 128-136 млн. лет, что отвечает меловому периоду ("Строение подводной возв. Ямато...., 1975).

Таким образом, устанавливается сходство геологического строения возвышенностей Ямато и Оки начиная с позднего (?) мезозоя.

Палеоген-неогеновый (?) вулканический комплекс.

Породы этого вулканического комплекса залегают в виде покрыва батиметрически выше мезозойских (?) вулканогенных и интрузивных образований, слагают вершинные участки и, вероятно, являются причиной образования своеобразного подводного рельефа, описанного в разделе "Тектомологические исследования".

Породы, составляющие комплекс, развиты преимущественно в интервале глубины от 300 м (поверхность креста) до 600 м (ст. 7505, 7507, 7520). Щебень этих же пород был поднят и на глубинах до 750 м дночерпателем. Они представлены лавами базальтов, андезитобазальтов, андезитов, туфами основного состава, в меньшей степени им сопутствуют диабазы (?) и диориты. Каменный материал представлен как остроугольными, так и полукатаными глыбами и щебнистыми обломками при сходстве состава в независимости от их размера.

Базальты и андезитобазальты имеют темно-серый, зеленовато-серый или красновато-серый цвет. Они обладают массивной (стекловатой) или микрокристаллической текстурой. Основная масса чаще стекловатая, реже микрокристаллическая. Вкрапления представлены плагиоклазом, часто отмечается значительное содержание темноцветных минералов.

Андезиты светло-серого цвета имеют светловатую основную массу, в которой может быть погружено до 30% вкрапленников плагиоклазов и до 10% темноцветных. Содержат ксенолиты андезитобазальтов и андезитов (ст. 7507).

Туфы основного состава подняты в виде нескольких мелких обломков. Они представлены сургучными и темно-серыми алевро-пелитовыми микрокристаллическими разностями (ст. 7507).

Д и а б а з и (?) и микродиабазы в единичных мелких обломках (4x5 см) представляют собой темно-серую полнокристаллическую породу, состоящую из полевых шпатов и темноцветных (ст. 7507).

Д и о р и т и - серые и темно-серые мелкокристаллические породы, иногда с плитчатой отдельностью, состоят из плагиоклаза и биотита (?), иногда обладают плитчатой отдельностью (единичные обломки в драге Б 7507 размером от 4 до 8 см в поперечнике).

Изученный комплекс в пределах полигона является, по-видимому, наиболее молодым из дочетвертичных коренных пород. В 1955-56 годах японскими геологами Т. Сато и К. Оно были подняты в отдельных пунктах южного хребта Ямато, андезиты, которые они отнесли к кайнозой (*Sato and Ono, 1964*).

В дальнейшем при дражировании северного хребта (Кито-Ямато) и в единичных случаях - южного (преимущественно западной его части), проведенного на экспедиционных судах "Витязь" и "Первенец" (6^й и 7^й рейсы), поднято большое количество коренных пород андезито-базальтового состава. Базальты северного хребта имеют абсолютный возраст 23-46 млн. лет, а южного - 32-34 млн. лет (Сажно, Васильев, 1974). По данным японских геологов возраст изученных или базальтов поднятых на южном хребте укладывается в интервал 19,8-21,6 млн. лет (Уено и др., 1972).

Сходство состава этих пород и близкий батиметрический уровень их залегания с комплексом изученным нами в пределах полигона в восточной части южного хребта позволяет предварительно отнести его к эоцен-миоцену.

Анализ приведенных выше литературных материалов показывает сходство геологического развития в палеоген-неогене подводных хребтов возвышенности Ямато и Оки.

Б. ЛИТОЛОГИЧЕСКИЕ ИССЛЕДОВАНИЯ

1. Программа и задачи литологических исследований

Согласно плану-программе при изучении геологического строения Финляндской котловины в экспедиции на исе "Адмирал" предусматривалось по линиям профилей в котловинах Симону, Западно-Финляндской и частично Западно-Марианской изучение общего распространения неовосолцированных осадочных четвертичного и более древнего возрастов, залегавших с поверхности (на глубину проникновения прямоочных трубок). На полигонах, где основной задачей являлось выяснение геологического строения и стратификации дочетвертичных осадочных, предусматривалось получение при дражировании изучать осадки поднимаемые драгами, а также выяснить характер осадков залегавших на вершинах и у их подножья.

В Японском море, согласно плану-программе, объектом исследования являлся Главный хребет возвышенности Лято (в пределах полигона В 5). Здесь предусматривался отбор проб на уплощенном Лято и в каньонах, прорезавших склоны хребта.

2. Объемы и методы литологических исследований

В результате проведенных исследований на 5-ти полигонах и по линиям галсов выполнены следующие объемы работ, сведенные в таблицу (табл. 6).

Литологические исследования проводились по общепринятой методике Института Осанологии им. П.П.Ширшова АН СССР. Отбор проб осуществлялся при помощи прямоочных трубок обычного (70 мм) и несколько увеличенного (76 мм) диаметра. Использование трубок увеличенного диаметра повысило возможность их проникновения в грунт до 4,3 м, а средняя длина трубок составила 2,5 м, вместо 1,5 м в традиционных рейсах. Песчаные и крупнообломочные грунты

поднимались дночерпателем объемом $0,25 \text{ м}^3$. Подъем и спуск снарядов осуществлялся при помощи 2-х лебедок: "ЛК-2" и "ЛЭРСК-1,2".

Пробы отбирались по профилям пересекающим основные положительные и отрицательные морфометрические структуры Филиппинской котловины:

а) отрицательные структуры - котловины: Сикоку, Западно-Филиппинская и Марианская, желоб Пансей;

б) положительные структуры - хр. Кюсю-Палау (на севере - возвышенность Комахаси-Дайни, в средней части хребта - риф Паресе-Вела, на юге - район островов Палау); хребет Дайто и Сикино-Дайто.

Кроме этого в Каролинском и Явно-Китайском морях для общего ознакомления с осадками этих котловин было отобрано ряд проб (табл. 6).

После подъема осадок описывался и расчленялся на следующие пробы: коллекционную, мех. анализ, микропалеонтологический (споровую, диатомовый, фораминиферовый и кокколитофориды). В лаборатории судна сразу изготовлялись и просматривались под микроскопом мазки осадков и выполнялись химические анализы на основные компоненты (CaCO_3 , MnO , Fe_2O_3), это позволило в полевых условиях расчленить четвертичные отложения на генетические разности, а микропалеонтологические исследования (изучение кокколитофорид) создало возможность предварительно стратифицировать отложения.

3. Основные научные результаты

Изучение осадков в Филиппинском море выполнено по профилю А-Б-В, пересекающему основные структуры в субмеридиональном направлении (котловину Сикоку, Западно-Филиппинскую и частично Западно-Марианскую котловины и хребет Кюсю-Палау), а также по профилям А-Г (на севере в котловине Сикоку) и Д-Е на юге Западно-



Примечание:
 При составлении схемы использованы
 материалы 54 рейса мис. Виттга и
 материалы других рейсов
 мис. Виттга.

Составил: *Ю.М. [Signature]* / Ю.М. Марков /

П.3801
 П.3806
 П.3807
 П.3809
 П.3810
 П.3811
 П.3812
 П.3813
 П.3814
 П.3815
 П.3816
 П.3817
 П.3818
 П.3819
 П.3820
 П.3821
 П.3822
 П.3823
 П.3824
 П.3825
 П.3826
 П.3827
 П.3828
 П.3829
 П.3830
 П.3831
 П.3832
 П.3833
 П.3834
 П.3835
 П.3836
 П.3837
 П.3838
 П.3839
 П.3840
 П.3841
 П.3842
 П.3843
 П.3844
 П.3845
 П.3846
 П.3847
 П.3848
 П.3849
 П.3850
 П.3851
 П.3852
 П.3853
 П.3854
 П.3855
 П.3856
 П.3857
 П.3858
 П.3859
 П.3860
 П.3861
 П.3862
 П.3863
 П.3864
 П.3865
 П.3866
 П.3867
 П.3868
 П.3869
 П.3870
 П.3871
 П.3872
 П.3873
 П.3874
 П.3875
 П.3876
 П.3877
 П.3878
 П.3879
 П.3880
 П.3881
 П.3882
 П.3883
 П.3884
 П.3885
 П.3886
 П.3887
 П.3888
 П.3889
 П.3890
 П.3891
 П.3892
 П.3893
 П.3894
 П.3895
 П.3896
 П.3897
 П.3898
 П.3899
 П.3900

-Филиппинской котловине (рис. 31, 32).

На основании полученного материала, а также материалов предыдущих исследований (Тихий океан, кн. 2, 1970; 54-й рейс нис "Витязь" и 14 и 17 рейсы нис "Первенец") составлена схема распределения донных отложений в Филиппинском море (рис. 30). На этой схеме по результатам исследований выделены следующие генетические типы четвертичных отложений:

- а) терригенные песчаные, алевроитовые и глинистые отложения островного шельфа и склона;
- б) терригенные гемипелагические алевроито-глинистые и глинистые, иногда слабо кремнистые отложения островного полнокья;
- в) гемипелагические алевроито-глинистые и глинистые отложения с продуктами вулканизма котловины Сижоку;
- г) мiopелагические (глубоководные) полигенные глинистые отложения (красные гиллы);
- д) биогенные кремнистые диатомовые (этомодискусовые) или Западно-Филиппинской котловины;
- е) биогенные известковые и известковистые фораминиферные и коралловые осадки, приуроченные к подводным возвышенностям (к глубинам до 4500 м).

Ниже дано их краткое описание.

Терригенные отложения островного шельфа и
островного склона.

Эти отложения изучены в северной части котловины Сижоку на островном склоне у банки Тосабай (ст. 7538) и в каньонах у о. Хонсю (ст. 7544 и 7545).

У банки Тосабай на гл. 1380 м (ст. 7538) разрез отложений представлен сверху пачкой (мощностью 45 см) мелкозернистых слабо

СХЕМА СОПОСТАВЛЕНИЯ ОТЛОЖЕНИЙ

КОТЛОВИНА СИКОКУ

ЗАПАДНО — ФИЛИППИНСКИ

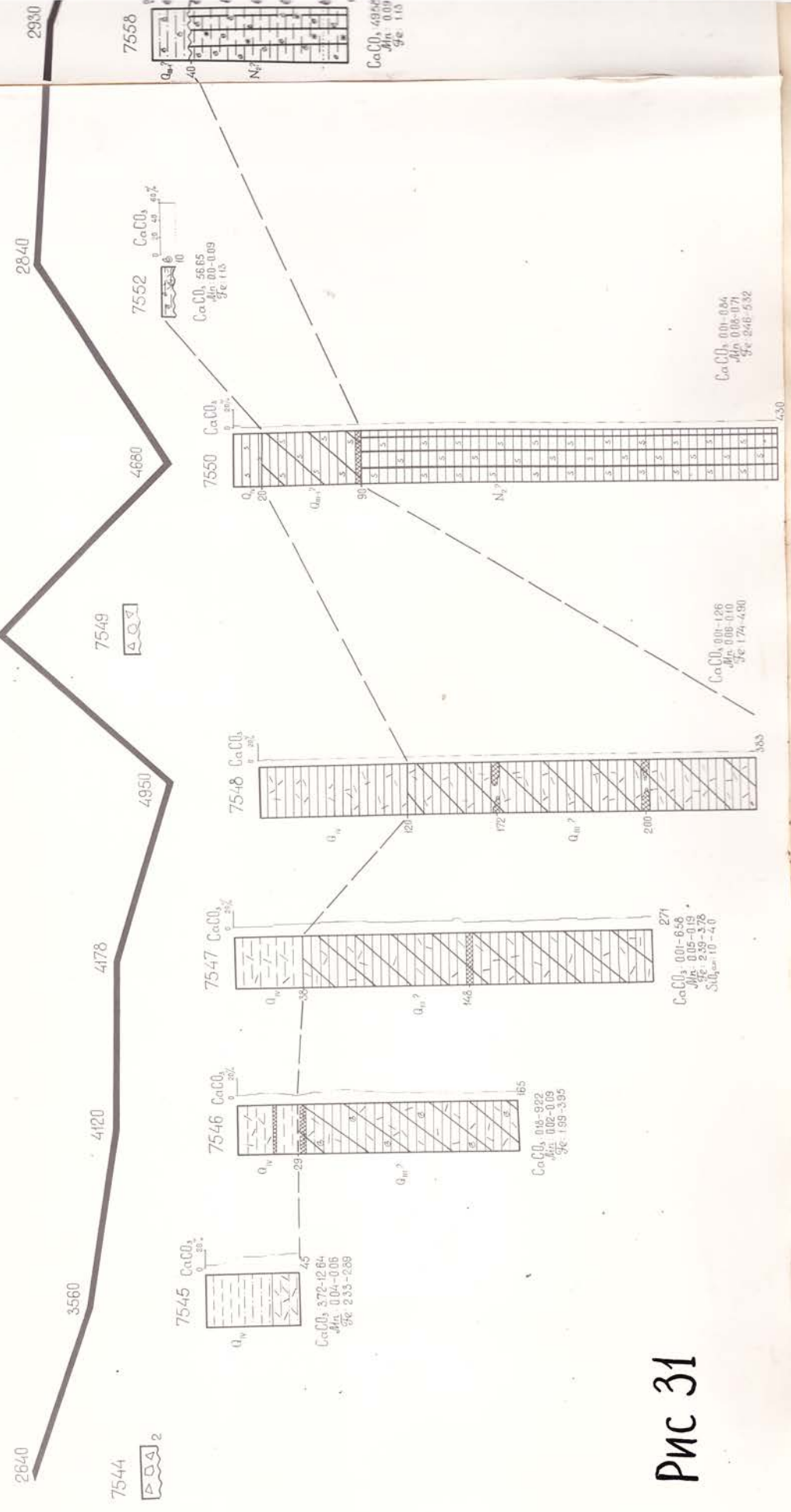


Рис 31

ОТЛОЖЕННИЙ

МАРИАНСКАЯ

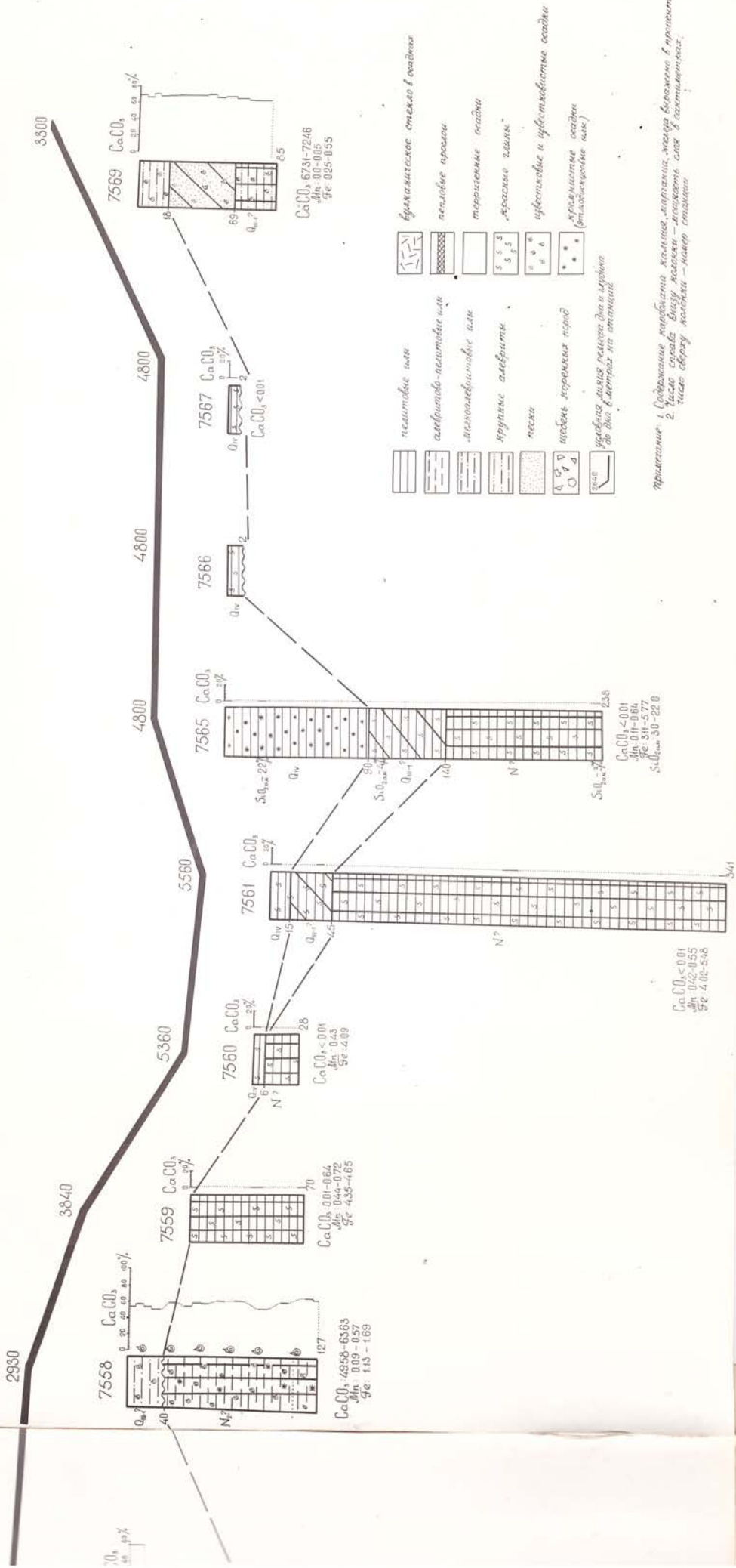
КОТЛОВИНА

ФИЛИППИНСКОГО

ЗАПАДНО — МАРИАНСКАЯ

МОРЯ

КОТЛОВИНА



Примечание: 1. Содержание карбоната кальция, магния, железа, брома, марганца в процентах.
 2. Число строк: внизу колонки — количество слоев в колонке; число сверху колонки — номер станции.

известковистых песков с прослойками среднезернистых песков и крупных алевролитов. Ниже по разрезу они сменяются крупными алевролитами а последние мелкоалевритовыми илами. Мощность алевроитовой пачки 98 см.

Характеристика наиболее часто встречающихся литологических разностей приведена ниже.

Мелкозернистые пески зеленовато-серые, терригенные, слабо известковистые (CaCO_3 от 10,2 до 27,7%), железа ^{ж)} в них 3,49-3,55%, марганца - 0,03-0,05%, они средней плотности и очень плотные, неслоистые. В мазке представлены зернами полевых шпатов, кварцем, широксеном, рудным (магнетитом?), обломками пород и редкими обломками стекла. Из биогенных - присутствуют фораминиферы и их обломки. Аутигенные представлены округлыми зернами лимонита и глауконита. В нижней части пачки пески с гравием пемзы.

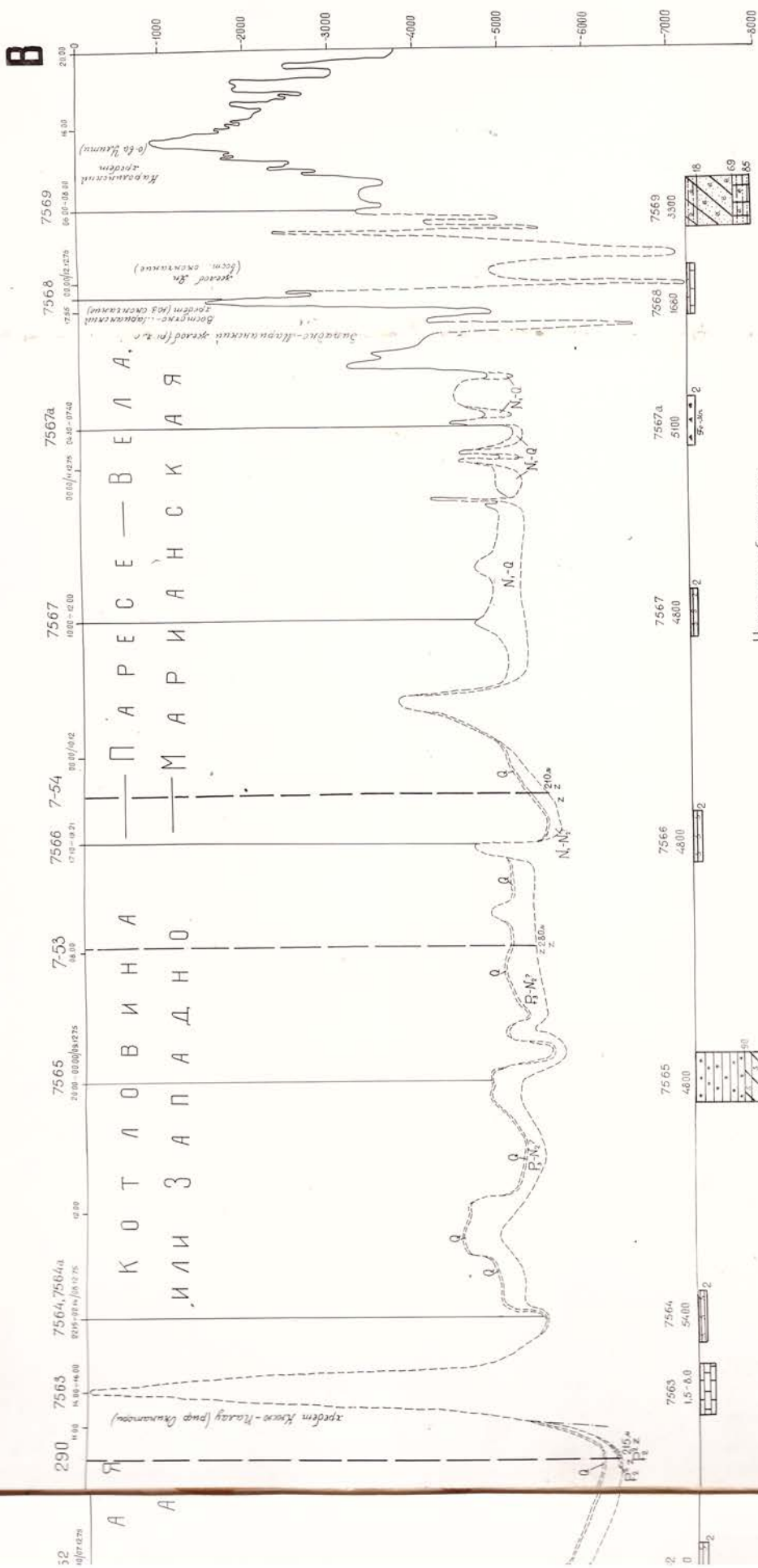
Крупные алевролиты зеленовато-серые, слабо известковистые (CaCO_3 13,5-25,5%), терригенные, с фораминиферами; плотной консистенции, по минеральному составу аналогичны пескам. Железа - 3,07-3,55%; марганца до 0,04%. В инт. 69; 75 и 82 см они с прослойками и линзами (до 1 см) гравия пемзы.

Мелкоалевритовые илы по минеральному составу и консистенции аналогичны крупным алевролитам и отличаются от последних только размерностью частиц. В них также присутствуют линзовидные прослойки пемзы.

У о. Консю островной склон изрезан подводными долинами (каньонами). В одном из них в его средней части на гл. 2640 м в тальвеге осадки представлены щебнистым материалом (ст. 7544), а в другом - в его нижней части на гл. 3660 м (ст. 7545) в тальвеге вскрыты турбидиты (один ритм). Ритм начинается мелкозернистыми

ж) Здесь и далее железо и марганец элементарные

РАЗРЕЗ ПО ЛИНИИ А-Б-В



Условные обозначения:

- 7545 — Степная и ее лавар
- 0900 — Временные отложения
- 294/295 — Сычуань, впадина в центре впадины
- 285 м — впадина в центре впадины

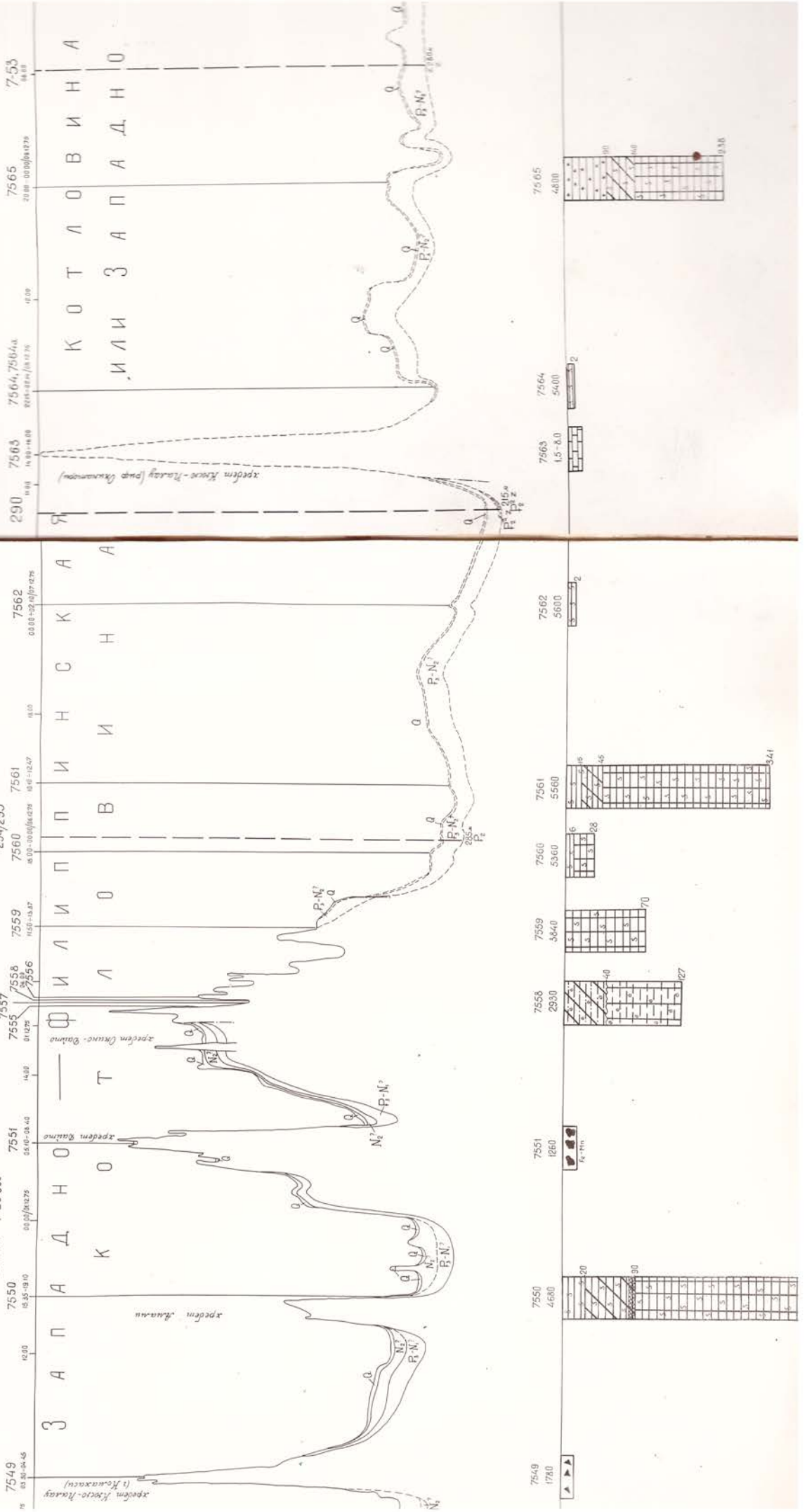
Примечание: 1. Условные обозначения в колонках слева рис. 2. Стр. составлены по профилю на участке А-Б и являются для целей сопоставления, не являются в себе. 3. Профиль рельефа составлен по материалам экспедиции.

Составил: *Д.С. Сидоров*
 Проверил: *И.В. Виноградов*
 Вспомогательный: *В.И. Сидоров*
 Утвердил: *И.В. Виноградов*

ЕОЛОГО — ГЕОФИЗИЧЕСКИЙ

РАЗРЕЗ ПО ЛИНИИ

Горизонт: 1:250 000
 Масштабы: Вертик: 1:20 000



вулканомитовыми слабо известковистыми (CaCO_3 -12,30-12,64%) песками, железа в них 2,36%, марганца до 0,06%. В мазке обломочная часть состоит в основном из угловатых зерен прозрачного, реже бурого стекла, иногда полукатанного и со следами окатывания полевого шпата и кварца. Значительную часть (до 12%) составляют обломки и целые фораминиферы.

Выше пески сменяют крупные алевроиты и мелкоалевритовые илы. В их составе увеличивается содержание глинистых минералов и чешуек сланца, из биогенных присутствуют кокколитофориды и радиолярии, содержание фораминифер резко падает, встречается прозрачное вулканическое стекло. Заканчивается ритм алевроитово-пелитовыми терригенными обогащенными вулканическим стеклом илами. Карбоната кальция в них до 10%, железа 2,9%, марганца до 0,06%.

Терригенные гемипелагические алевроитово-глинистые и глинистые отложения островного плоскожья

Эти отложения изучены на севере в котловине Сикоку (ст. 7537) и на юге у о. Минданао (ст. 7589 и 7590).

В котловине Сикоку они залегают на глубинах 2500-4000 м и представлены алевроитово-пелитовыми и пелитовыми илами. Разрез описываемых отложений изучен на ст. 7537 на глубину 268 м. Здесь с поверхности в виде тонкой пленки (5 см) залегают окисленные алевроитово-пелитовые илы. Они буровато-серые, жирные, терригенные с биогенным карбонатным материалом (фораминиферами и их обломками) до 6% и кремнистым материалом (радиоляриями, диатомеями, спикулами губок) до 2-3%. Ниже до глубины 135 см залегают слабо известковистые пелитовые илы (CaCO_3 в них 10-14%), ниже по разрезу в них процентное содержание карбоната кальция уменьшается до 7% и они переходят в обычные терригенные осадки.

Целитовые илы серые, мягкие и средней плотности, однородные, неслоистые, без включений. В мазках основная целитовая масса состоит из тонкодисперсного агрегата (глинистых минералов), обломочной части размером до 0,01 мм и кокколитофоридов. В алевритовой части - угловатые зерна кварца, полевых шпатов, чешуйки слюды, рудные и др. минералы. Основным биогенным компонентом в осадках являются целые и обломки раковин фораминифер и кокколиты (их до 14%), кремнистый биогенный материал представлен радиоляриями, диатомеями и спиккулами кремневых губок; их до 2-3%. Железа в осадках 1,66-3,26%, марганца от 0,04 до 0,45%.

На юге Западно-Филиппинской котловины у о. Минданао осадки также представлены алевритово-целитовыми и целитовыми илами, причем первые залегают на меньших глубинах (гл. 4440 м, ст. 7590) и ближе к островному склону. Здесь разрез их изучен на глубину 113 см. В них рассеяно в незначительном количестве вулканическое стекло и встречаются маломощные (до 1 см) иловые прослойки. Биогенный известковый материал в описываемых алевритово-целитовых илах почти отсутствует (CaCO_3 обычно меньше 1%), кремнистого биогенного материала до 2%, марганца - 0,03-0,09%, железа - 4,63-5,76%. С поверхности они желтовато-серые, ниже - с зеленоватым оттенком, до глубины 7 см - мягкой консистенции, ниже - очень плотные. По простиранию алевритово-целитовые илы замещаются целитовыми илами (ст. 7589, гл. 5340 м). По минеральному составу они близки к алевритово-целитовым илам, CaCO_3 в них обычно менее 1%, железа - 4,76-5,78%, марганца - 0,11-0,34%. Биогенного кремнистого материала несколько больше - от 2-3 до 10%. Таким образом целитовые и алевритово-целитовые илы описываемых отложений могут быть отнесены к терригенным.

В котловине Сикоку (на севере Филиппинского моря) описываемые

отложения замещаются геммипелагическими алевроитово-глинистыми и глинистыми илами обогащенными продуктами андезитового вулканизма, а в Западно-Филиппинской котловине (у о. Миданао) переходят в слабокремнистые и затем в кремнистые биогенные отложения.

Геммипелагические алевроитово-глинистые и глинистые отложения с продуктами вулканизма

Эти отложения выстилают котловину Сикону и приурочены к глубинам 4000-5000 м. Они изучены целой серией станций (ст. 7539, 7541, 7543, 7546-48) и вскрыты на глубину до 4 метров. По площади и на глубину исследования они представлены пелитовыми и реже алевроитово-пелитовыми илами с прослойками и линзами вулканического цефала и вулкано-мелкового разнозернистого песка и алевроита. Ближе к островному склону (ст. 7539) в нижней части разреза (с глубины 281 см.) пелитовые илы замещаются мелкоалевритовыми илами, а последние переходят в крупные алевроиты. Образование их здесь, по-видимому, связано с суспензионными потоками.

Пелитовые и алевроитово-пелитовые илы с поверхности буровато-серые (окисленный слой). Мощность окисленного слоя 3-27 см. Для него характерно повышенное содержание железа (3,85-4,15%, реже до 2,39%) и марганца (0,07-0,32%, реже до 0,02%). Ниже залегают неокисленные зеленовато-серые и темносерые осадки. Содержание железа в них обычно 1,99-3,84%, марганца - 0,02-0,09, реже до 0,14%. С поверхности до глубины 40-120 см описываемые отложения мягкие и средней плотности, глубже - плотные и очень плотные. В навках пелитовая масса осадка состоит из глинистых минералов и обломочной терригенной части (кварца, полевых шпатов, слюды, рудник и др. минералов, обломков бурого и бесцветного вулканического стекла). В алевроитовой части те же терригенные минералы и обломки

вулканического стекла. Биогенный карбонатный материал присутствует в незначительных количествах (CaCO_3 от 0,0 до 5,5%, реже до 10%, ст. 7539) и представлен кокколитами, реже фораминиферами и их обломками. Кремнистого биогенного материала в осадках от 1 до 6%, он представлен радиоляриями, диатомеями, спиккулами губок. Из аутигенных - присутствуют кальцит в виде сферолитов и зеленый и буроватый глауконит по ядрам фораминифер.

К верхней части разреза (до глубины 40-120 см), описываемых отложений, где осадки мягкой консистенции и средней плотности, приурочены прослойки и линзы (мощностью до 1-2 см) вулканомиктовых разнозернистых песков и алевроитов (ст. 7543, 7546). Песок в прослойках преимущественно средне-крупнозернистый, пемельно-серый до черного, в мазках состоит из угловатых и полуокатанных обломков средних эффузивов, таблитчатых зерен плагиоклазов, зеленых пироксенов, вулканического стекла. Этот вулканогенный материал, по-видимому, периодически сносился с близлежащих подводных возвышенностей и отлагался в котловине среди пелитовых и алевроитово-пелитовых илов, образуя отдельные маломощные прослойки и линзы.

К нижней части разреза, в которой осадки плотной и очень плотной консистенции, приурочены прослойки и линзы (мощностью до 6 см, ст. 7546) вулканического стекла. В этих пелловых прослойках материал нацело состоит из угловатых, остросереберных обломков кислого и среднего вулканического стекла, реже встречаются отдельные зерна пироксенов и полевые шпаты. Образование этих прослоев, по-видимому, связано с подводными извержениями, которые происходили в плейстоценовое время (осадки плотной и очень плотной консистенции имеют плейстоценовый (?) возраст). На этом основании сделан вывод, что в плейстоценовое время вулканические подводные сооружения Комахаси-Дайсан, Комахаси-Дайсан, Дайни-Кинан

и Комахаси, вблизи которых прямоочными трубками поднят описываемый материал, в плейстоценовое время испытывали эксплозии. На существование вулканической активности в плейстоценовое время в Филиппинской котловине также указывает Р.Гаррисон, С.Мингер и Д.Уорс (1975).

Описываемые отложения в Западно-Филиппинской котловине состояются миоценовыми глубокowodными полигенными глинистыми отложениями, (рис.31), причем граница контакта различных в генетическом отношении осадков резкая. Она совпадает с зоной конвергенции Противотечения Курошио и Северного Пассатного течения (см. Океанографическую энциклопедию, с. 563, рис.3, 1974). По-видимому эта зона конвергенции является "барьером" дальние которого терригенные осадки с японских островов (Хонсю, Сикоку, Кюсю и др.) почти не поступают, а если поступают, то в очень незначительных количествах и осадконакопление в Западно-Филиппинской котловине идет крайне медленно - 3 мм за 100 лет (см. ст. 3746, Тихий океан, кн.2, 1970, с. 296).

Миоценовые глубокowodные полигенные глинистые отложения (красные глины)

Описываемые отложения изучены по многочисленным станциям (рис.30), кроме того для их характеристики использованы материалы 54-го и других рейсов нис "Витязь", а также литературные данные (Тихий океан, кн. I, 1970).

В Филиппинском море красные глины пользуются наибольшим распространением, они развиты в Западно-Филиппинской и Западно-Марианской котловинах, занимая большую часть их площади и приурочены к глубинам 4500-5500 до 6500 м, реже они встречаются на меньших глубинах - около 4000 м (в Западно-Марианской впадине) и очень

редко на глубинах менее 4000 м (глубина 3840 м, ст. 7559 на склоне отрогов кр. Огино-Дайте). Для них характерны светло-коричневые и серовато-коричневые цвета, которые сохраняются на вскрытую мощность разреза (до 4 м). Это обусловлено тем, что красные глины находятся в условиях резко окислительной среды и в них присутствует повышенное содержание гидроокислов железа и особенно марганца. Железа в них обычно 4,02-6,80%, очень редко снижается до 1,31%, марганца - 0,4-0,83, реже до 0,08-0,2%. Иногда на участках, где красные глины перекрыты кремнистыми осадками, они восстановлены за счет органики этиоликисусов и приобретают темносерые с голубоватым оттенком цвета, переходящие постепенно в травяно-зеленые, ниже по разрезу красные глины опять приобретают свой типичный коричневый цвет (ст. 6819-3, рейс нис "Витязь" № 54).

Описываемые глины представляют собой очень тонкие, пластичные, лишенные слоистости, маслянистые на ощупь осадки; у поверхности дна они жидкой и мягкой консистенции, с глубины 6-20 см переходят в плотные и очень плотные осадки, которые с трудом режутся ножом и при значительном нажиме руки разламываются на отдельные комочки. Данные палеомагнитных исследований в 54-м рейсе Витязь показали, что очень плотные, а иногда и плотные разности красных глин имеют обратную намагниченность, что указывает на их не современный, а более древний (неогеновый) возраст (данные С.С. Фаустова и Е.Л. Демиденко).

По гранулометрическому составу красные глины относятся в основном к пелитовым и реже к алевроитово-пелитовым илам. Пелитовые разности красных глин широко распространены в Западно-Филиппинской и Западно-Марианской котловинах, алевроитово-пелитовые - встречаются сравнительно редко - в Западно-Марианской котловине (ст. 3893 и 3898). В пелитовых илах преобладает ^{РК} фракция менее 0,01 мм - 71,89-

84,67% (79,67)^к, мелкоалевритовых частиц в них - 13,64-21,32% (16,25), крупного алеврита от 1,43 до 6,60% (3,76), песчаных частиц - 0,19-0,54% (0,33), медианный диаметр в среднем 0,0028.

В алевритово-пелитовых шлах уменьшается содержание пелитовой фракции (в среднем 57%) и увеличивается количество мелкого алеврита (29-32%), крупноалевритовых частиц от 7,67 до 12,5% песчаных - до 4%.

По минеральному составу красные глины относятся к полигенным осадкам, в их составе преобладают глинистые минералы. Причем в северной части Филиппинского моря (примерно до 20° с.ш.) из глинистых минералов распространены хлориты и гидрослюды, южнее - развиты почти чистые монтмориллониты с незначительной примесью каолинита (Тихий океан, кн. I, с. 373). П.Л.Безруков считает, что описываемые глины в основном имеют аллювиальное (терригенное) происхождение (там же, с. 224). Наряду с глинистыми минералами в красных глинах присутствует тонкообломочный терригенный материал (кварц, полевые шпаты, роговая обманка, шпороксени, слюды и др. минералы). В северной и западной части Западно-Филиппинской котловины в красных глинах присутствует прокладистический материал - вулканическое стекло рассеянное в осадке и пепловые прослойки (ст. 6703, 7550, 7561). Из аутигенных минералов в них встречаются пелиты, палагонит (?), бурные окислы железа. Иногда в осадках встречаются железо-марганцевые микроконкреции в виде черных шариков размером до 0,1 мм (ст. 7550).

Биогенный материал обычно присутствует в незначительных количествах и представлен кремнистым и в меньшей мере карбонатным. Кремнистого биогенного материала больше в верхней части разреза (SiO_2 аморф. - 3,0-4,0%), где осадок жидкой и мягкой консистенции,

к) В скобках здесь и далее указаны средние значения

ниже по разрезу (в осадках плотной и очень плотной консистенции) его количество иногда уменьшается до 2-1%, вплоть до полного исчезновения. Это хорошо видно по мазкам. В них он представлен в основном диатомеями (в виде обрывков) и в меньшем количестве радиоляриями и обломками сингул губок.

Карбонатного биогенного материала, в связи с тем, что красные глины находятся ниже границы карбонатной компенсации, в осадках почти нет (CaCO_3 0,01%), очень редко его содержание увеличивается до 5,92-9,30% (ст. 7587, 3893), но в этом случае красные глины залегают на меньших глубинах - 4042-4300 м, т.е. выше или на границе растворения карбоната кальция. В мазках карбонатный биогенный материал представлен обломками фораминифер и кокколиитами.

Красные глины на глубинах менее 4000 м (на хр. Кисю-Палау, хр. Окино-Дайто, хр. Дайто и на отдельных изолированных вершинах) замещаются биогенными карбонатными осадками, а в центральной и в южной части Западно-Филиппинской котловины на глубинах 5500-6000 м, в виде изолированных участков, перекрыты кремнистыми биогенными отложениями.

Биогенные кремнистые диатомовые (этнодискусовые) илы

Они встречаются в центральной и южной части Западно-Филиппинской котловины и в западной части Западно-Марианской котловины в виде изолированных участков (рис. 30) и залегают на красных глубоководных глинах или образуют среди них маломощные (3-15 см) прослой (ст. 7587). Переход красных глин в кремнистые (этнодискусовые) осадки обусловлен не изменением глубины моря, а увеличением биологической продуктивности вод (Тижий океан, кн. I, с. 222, 1970). Описываемые осадки в упомянутых котловинах встречаются почти на всех станциях на полную мощность. Она составляет

16-90 см и только на юге Западно-Филиппинской котловины у о. Минданао они полностью не пройдены. Вскрытая мощность их здесь 450 см (ст. 6708, 54 рейс или "Витязь").

Этмодискусовые илы чаще белые, бесцветные (прозрачные), от светло- до темно-серых, реже зеленовато-серые; жидкие, творожистые в виде гелеподобного осадка, без включений, слоистые за счет чередования прослоек различных цветов и оттенков (мощность прослоек от 5 мм до 10 см). По гранулометрическому составу отвечают пелитовым и реже алевроитово-пелитовым илам. Состоят в основном из обломков и створок этмодискусов, в меньшем количестве присутствуют другие диатомеи, радиолярии и спиккулы губок. Содержание аморфного кремнезема в них 22-25%, в прозрачных разностях, по-видимому, еще больше.^{х)} Кроме биогенного материала в описываемых осадках присутствует терригенный глинистый и обломочный материал. Так прозрачные разности этмодискусовых илов почти нацело состоят из кремнистого биогенного материала, в белых разностях наряду с биогенным материалом присутствуют ^{входят} чешуйки слюды и незначительная примесь глинистых минералов, в серых и темно-серых разностях уже в значительных количествах присутствуют глинистые минералы и тонкообломочный терригенный материал (кварц, и.шпаты, слюда, темноцветные и др. мин.); из аутигенных - бурые окислы железа.

Химический анализ показал, что в окисленном слое этмодискусовых илов железа - 4,42%, марганца - 0,64%, в неокисленном соответственно 3,48% и 0,11%.

Биогенные известковые и известковистые фораминиферные и коралловые осадки подводных возвышенностей

Описываемые отложения приурочены к подводным хребтам: Кисо-Палау, Скин-Дайто, Дайто и к отдельным изолированным возвышен-

х) Из прозрачных разностей определение SiO_2 аморф. не производилось

ностями, где они залегают на их вершинах, гребнях и склонах, опускаясь к подножью до глубины 4000-4500 м. В котловине Сижоку, где скорость терригенного осадконакопления выше скорости осаднения фораминифер и где глубина достигает критической (границы карбонатной компенсации) известковые и известковистые биогенные отложения сменяются гемипелагическими глинистыми и алевроитово-глинистыми отложениями, а в Западно-Филиппинской и Западно-Марианской впадинах ниже границы карбонатной компенсации они замещаются глубоководными красными глинами.

По гранулометрическому составу среди них выделяются: пески, крупные алевроиты, мелкоалевритовые, алевроито-пелитовые и пелитовые илы. Пески и крупные алевроиты обычно приурочены к вершинам, гребням и верхним частям склонов подводных возвышенностей, ниже по склону они сменяются мелкоалевритовыми и алевроито-пелитовыми илами, у подножья обычно залегают пелитовые илы, причем распределение известковых и известковистых осадков по гранулометрическому составу больше подчиняется рельефу и гидродинамическому режиму, чем глубинам. Так мелкозернистые фораминиферные пески залегают на глубинах 1090 м (ст. 7574) и 3320 м (ст. 7569), но в обоих случаях приурочены к гребню подводных хребтов, ниже по склону, как уже указывалось выше, их сменяют алевроитовые и алевроито-глинистые разности карбонатных осадков. Некоторые гребни и вершины подводных возвышенностей, в пределах которых скорости течения достаточно велики, полностью лишены рыхлых отложений и на скальном основании этих вершин образуются только железо-марганцевые конкреции и живут кремневые губки и кораллы (хр. Дайто и возв. Комахаси-Дани, ст. 7535, 7549 и 7551).

Ниже приведена характеристика различных литологических разностей биогенных карбонатных осадков.

Разнозернистые коралловые пески развиты на подводной возвышенности у островов Палау. Здесь они подняты с глубины 1100 м (ст. 7573). Они белые, рыхлые, и средней плотности, состоят, в основном, из обломков кораллов, реже встречаются обрывки известковых водорослей и фораминиферы.

Мелкозернистые фораминиферовые пески изучены на ст. 7569 и 7574. На ст. 7569 пески залегают под слоем (мощностью 18 см) крупных алевроитов. Пески в верхней части разреза мелкозернистые, беловато-серые, плотные, неслоистые, с единичными обломками пемзы, плохо отсортированные. Они состоят в основном из фораминифер, их обломков и тонкоизмельченного карбонатного материала, единично встречаются кокколиты, CaCO_3 в осадках 69,23-71,82%, в меньшем количестве присутствует глинистый материал, единичные полевые шпаты и железо-марганцевые микроконкреции. Кремнистый биогенный материал представлен единичными обломками спикул кремневых губок. Железа в песках 0,25-0,30%, марганца 0,05-0,06%. В нижней части разреза мелкозернистые пески переходят в плохо отсортированные разнозернистые фораминиферовые пески. Карбоната кальция в них 70,53%. Общая мощность песков на описываемой станции 43 см. Подстилаются пески крупными алевроитами.

На ст. 7574 мелкозернистые фораминиферовые пески залегают с поверхности на гребне и на полную мощность не вскрыты. По составу они аналогичны выше описанным. CaCO_3 в них 70,91%, железа 0,19%, марганца 0,03%. То есть описываемые пески по классификации П.Л. Безрукова (Безруков, Лисицын, 1960) могут быть отнесены к известковым и сильно известковым.

Крупные алевроиты вскрыты прямоточными трубками на ст. 7540, 7542 и 7569 на глубину 175 см. В окисленном горизонте они желтовато-бурые, ниже - от светло- до темно-серых с зеленоватым оттенком.

С поверхности жидкой и мягкой консистенции, с глубины 25-85 см плотные и очень плотные. В их составе преобладают фораминиферы, их обломки и тонкоизмельченный карбонатный материал, редко встречаются кокколиты. Содержание карбоната кальция колеблется от 13,35 - 50,0% в слабо известковистых и известковистых разностях (ст. 7540, 7542) до 67,31 - 72,46% в известковых и сильно известковых разностях. Биогенного кремнистого материала очень мало (от единичных экземпляров до 1-3%) и он представлен радиоляриями, обрывками диатомей и спикулами губок. Терригенный материал присутствует в незначительных количествах и представлен глинистыми минералами, зернами кварца (?), полевого шпата, рудными и слюдой. По всему разрезу в северной части Сиднишинского моря (ст. 7540, 7542) в осадках присутствует вулканическое стекло, а также встречаются отдельные пенеловые прослойки (ст. 7542). Железа в осадках от 0,51 до 4,12%, марганца 0,01 - 0,1%.

Мелкоалевритовые илы вскрыты на ст. 7558 в тальвеге каньона на гл. 2930 м, здесь они залегают в верхней части разреза на алеврито-пелитовых илах. Мощность их на станции 35 см. Они желтовато-серые, однородные, неслоистые, плотной консистенции, ^aфораминиферные, известковые (CaCO_3 - 50,0 - 58,2%, e - 1,29-1,56%, M - 0,10-0,57%). По составу аналогичны крупным алевритам.

Алевритово-пелитовые илы встречены на ст. 3729 и 7558. В первом случае они залегают в нижней части склона хр. Кюсю-Налау (гл. 3482 м), во втором - в тальвеге каньона (гл. 2930 м). В тальвеге каньона они залегают под мелкоалевритовыми илами на глубине 35 см от поверхности дна. Вскрытая мощность их здесь 92 см. Они желтовато-белые, очень плотной консистенции, пятнистые, известковые (CaCO_3 в них 50,0-63,63%, Fe - 1,29, 1,56%, Mn - 0,10-0,57%), с тонкими (5 мм) прослойками фораминиферного песка. Кремнистого

биогенного материала в осадках до 1%, это в основном обломки спикул кремнистых губок. Терригенный материал представлен глинистыми минералами, встречаются чешуйки слюды и единичные обломки вулканического стекла.

На ст. 3729 в алевроново-пелитовых илах CaCO_3 - 67,62%, Fe - 3,09%, Mn - 0,37%, SiO_2 аморф. - до 1,02%. Пелитовых частиц (0,01 мм) в них 65,15%, алевроитовых (0,1 - 0,01 мм) - 20,39%, песчаных (0,1 мм) - 14,46%. То есть по химическому составу они отвечают известковым осадкам, а по гранулометрическому - алевроново-пелитовым илам.

Пелитовые илы охарактеризованы на ст. 3709 и 3714 (Тихий океан, кн. 2, с. 368). Они встречены у подножья Кюсю-Палау в южной части Западно-Филиппинской котловины (см. рис. 1) на глубинах 3496 и 4494 м. Для них характерны светло-серые и беловато-серые, вплоть до белых цветов. Раковины фораминифер в них в основном находятся в раздробленном состоянии, в повышенном количестве присутствуют кокколиты. По содержанию карбоната кальция они могут быть отнесены к слабо известковым (ст. 3709) и к известковым (ст. 3714), его в них соответственно 26,15% и 47,55% железа в них колеблется от 2,2% до 3,15%, марганца - 0,15-0,22%, O_2 аморф. на ст. 3709 - 9,74%. По гранулометрическому составу они относятся к пелитовым илам. Содержание частиц менее 0,01 мм в них - 79,51 - 84,14%, мелкоалевритовых (0,05-0,01 мм) - 8,64-13,10%, крупного алеврита - 1,73-4,69% и песчаных частиц - 1,03-7,16%.

Мощность и возраст неконсолидированных
отложений Филиппинского моря

На полную мощность неконсолидированные отложения в Филиппинском море вскрыты глубоководным бурением в 31 рейсе лис "Гломар-

"Челленджер" в котловине Ситоку скважинами 296, 297 и 298, в Западно-Филиппинской котловине скв. 290-293 и 294/295 (Karig 1973), в Западно-Марианской котловине при глубоководном бурении "JOIDES" скв. 7-53 и 7-54 (рис. 30). Все скважины прошли осадочную толщу и на различных гипсометрических отметках вскрыли базальты эоценового возраста (Karig A.O. 1973). Выше на них залегают олигоцен-плиоценовые и плиоценовые осадочные отложения, перекрытые четвертичными породами.

В описываемом рейсе отложения, залегающие в котловинах Филиппинского моря, изучались на глубину вскрытия прямоточными трубками. Возраст осадков определялся предварительно М.Г.Бирюлиной микропалеонтологическим методом при изучении видового состава кокколитофорид. Для тонких толщ красных глин использовались данные палеомагнитных исследований 54 рейса нис "Витязь" и литературные данные абсолютного возраста осадков Филиппинского моря (Романкевич, Безруков и др., 1966). При предварительной датировке возраста отложений также учитывалась их плотность.

На основании исследований проведенных в рейсе составлен схематический геолого-геофизический разрез через все котловины Филиппинского моря в субмеридиональном направлении по линии А-Б-В (рис. 32). На участке А-Б (от о. Хонсю до кр. Окина-Дайто) при составлении разреза использованы данные сейсмопрофилирования, полученные в рейсе отрядом сейсмопрофилирования (нач. отряда С.В.Азмук), причем для расчета мощности осадочной толщи была принята скорость прохождения в ней равная 2 км в сек. Полученная мощность осадков до сейсмоакустического фундамента хорошо увязывается с мощностью осадочной толщи по скважине глубоководного бурения (скв. 297), которая была спроектирована на разрез. По расчетным данным в этом месте она составила 700 м, а по данным бурения равна 697 м. На

других участках разреза в котловине Сикоку она колеблется от 350 до 800 м (см. разрез). Дешифрирование сейсмопрофилей этого участка выполнено сотрудниками отряда сейсмопрофилирования О. Кутиревым и В. Новиковой.

На участке В-В отсутствуют данные сейсмопрофилирования, поэтому мощность осадочной толщи до базальтового слоя в Западно-Филиппинской и Западно-Марианской котловинах рассчитана с использованием результатов средних скоростей накопления осадков, а также учтен возраст покрова базальтов и состав осадочной толщи, вскрытой скважинами глубоководного бурения.

Для Западно-Филиппинской котловины для всей толщи была принята несколько завышенная средняя скорость накопления красных глини 5 мм за 1000 лет. Имеющиеся данные для четвертичного периода указывают на более низкую скорость накопления осадков 3-3,3 мм за 1000 лет (ст. 3746, Романкевич, Безруков и др., 1966, с. 106), но в этой точке с поверхности развиты известковые красные глины, в то время как более глубокие слои, вскрытые скважинами в этой котловине, представлены известковыми красными глинами. Скорость накопления таких карбонатных красных глини в среднем равна 5-7 мм за 1000 лет. Возраст покрова базальтов для скв. 294/295 составил 58-62 млн. л., а для скв. 290 - 43-45 млн. л. Поэтому мощность осадочной толщи составила 215-300 м, а для Западно-Марианской котловины, где скважинами вскрыты известковые красные глины и фораминиферные известняки, залегающие на базальтах (возраст базальтов 40 млн. л.) - 210-300 м.

В котловине Сикоку четвертичные терригенные отложения имеют наибольшую мощность, по данным бурения "Гломар-Челленджер" (по скв. 297) она составила 330 м. Здесь они представлены в нижней части разреза аргиллитоподобными глинами, выше их

залегает глинистые наннопланктонные илы и диатомовые иеиловне глины; верхняя часть разреза сложена пелитовыми и алевроитово-пелитовыми илами, обогащенными пирокластическим материалом и иеиловыми прослоями.

В краевой части котловины мощность четвертичных отложений уменьшается до 136 м (скв. 298) и в их составе, наряду с выше описанными разностями, присутствует значительное количество турбицитовых песков.

Голоценовые отложения обычно жидкой, мягкой и реже плотной консистенции. В котловине Сикоку они залегают с поверхности сплошным чехлом на породах плейстоценового возраста. Средняя скорость накопления их составляет 9-13 мм за 1000 лет (ст. 3530 и 3532, Романкевич, Безруков и др., 1966, с. 97, и. 101). Следовательно за 11.000 лет мощность отложений должна составить 1,0-1,5 м, но так как на отдельных участках (склонах холмов, террасовидных площадках) накопление отложений идет еще медленней (за счет их частичного размыва), то она колеблется от 30 см до 1,5 м (рис. 31).

Под четвертичными отложениями в котловине залегают нерасчлененные плиоценовые и миоценовые аргиллитоподобные глины, турбицитовые аргиллиты, пески и витрокластические иеилы.

В Западно-Филиппинской и Западно-Марьянской котловинах толща осадочных отложений представлена в основном красными глинами. В верхней части разреза они, как правило, известковые (CaCO_3 в них менее 0,01%), ниже по разрезу на отдельных участках (скв. 7-54 и 295) они переходят в известковистые красные глины, иногда среди последних встречаются известняки. Мощность осадочной толщи, как указывалось выше, колеблется от 210 до 300 м.

Четвертичные отложения в этих котловинах имеют резко сокращен-

ную мощность. В значительной мере она зависит от рельефа местности. Так на склонах отдельных возвышенностей и холмов четвертичные отложения полностью отсутствуют и на поверхность выходят очень плотные красные глины неогенового возраста (ст. 7559) или имеют сокращенную (до 6 см) мощность (ст. 7560) — см. рис. 31. В пониженных участках котловин четвертичные отложения достигают максимальной (до 3 м) мощности. Обычно мощность красных глил четвертичного возраста колеблется от 6–15 до 90–150 см, редко достигает 3 м (ст. 3746). В 54 рейсе нис "Витязь" при изучении красных глил в Западно-Филиппинской котловине на значительной части станций (6704–6706, 6820, 6821, 6825) мощность красных глил четвертичного возраста не превысила 15–25 см, все они имели прямую намагниченность и отличались мягкой и средней плотности консистенцией. Ниже их залегали плотные и очень плотные красные глины, обладающие обратной намагниченностью, возраст их принимался условно неогеновым. Имеющиеся данные скоростей накопления красных глил для четвертичного периода в описываемой котловине равны 3–3,3 мм в 1000 лет (ст. 3746, Романкевич, Безруков, 1966, с. 106), т.е. за четвертичное время максимальная мощность их может быть не более 3 м, что мы и имеем. На склонах абиссальных холмов и на участках с повышенными скоростями течений она значительно ниже — от 6 см до 1,5 м.

Биогенные кремнистые отложения, залегающие на красных глилах, по-видимому, также имеют четвертичный возраст, мощность их иногда превышает 4,5 м (ст. 6708).

Карбонатные биогенные отложения, приуроченные к подводным возвышенностям и хребтам, на их вершинах и гребнях обычно имеют плейстоценовый возраст (голоценовые отложения здесь с поверхности,

как правило, отсутствуют), ниже по склону они перекрыты голоценовыми осадками (мощность от нескольких сантиметров до первых метров). Вскрытая максимальная мощность биогенных карбонатных отложений равна 175 см (ст. 7540). Обоснование возраста биогенных и терригенных четвертичных отложений (голоценовых и плейстоценовых) приведено в отчете М.Г.Бирюлиной (см. отчет).

4. Краткие выводы

1. Выявлена закономерность распределения различных генетических разностей четвертичных отложений в котловинах Сикоку, Западно-Филиппинской и частично в Западно-Марианской. Так в котловине Сикоку преимущественное развитие получили терригенные отложения с продуктами вулканизма; в Западно-Филиппинской и Западно-Марианской преобладают глубоководные полигенные глинистые отложения (красные глины); в приэкваториальной части котловины широко развиты кремнистые биогенные отложения, залегающие на красных глинах; на подводных хребтах и возвышенностях до глубин 4000-4500м развиты биогенные карбонатные отложения.

2. По данным сейсмопрофилирования установлена мощность осадочной толщи в котловине Сикоку, она колеблется от 350 до 800 м.

3. На вершинах возвышенностей Комахаси-Дайсон, Комахаси-Дайни и др. голоценовое осадконакопление почти не происходит или не происходит и на поверхности обнажаются коренные породы дочетвертичного возраста или залегают фораминиферовые пески плейстоценового времени.

4. Наличие значительного количества пещловых прослоев в плейстоценовых отложениях, приуроченных к подводным возвышенностям указывает на то, что эти вулканические подводные сооружения в плейстоценовое время испытывали эксплозии.

У. МИКРОПАЛЕОНТОЛОГИЧЕСКИЕ ИССЛЕДОВАНИЯ

В последнее время большое место в микропалеонтологических исследованиях занимают кокколиты — микроскопические образования на клетках водорослей — кокколитофорд *Coccolithophoridae* выделенных в самостоятельный тип. Кокколитофориды как и фораминиферы формируют карбонатные осадки и успешно используются для определения возраста последних (Шуменко С.И., 1962; Ушакова М.Г., 1966; *Bramlette M.* 1956, 1958; *Martini E.* 1963 и др.).

Несмотря на обнадеживающие результаты, которые получены при исследовании кокколитов в стратиграфических и палеогеографических целях, дальнейшее развитие этого направления связано с решением некоторых важных проблем. Одна из таких проблем заключена в классификации кокколитов, которая до сего дня остается искусственной (*Deflandref.* 1959). Часто клетки кокколитофорид несут на себе кокколиты различной формы, а поскольку целые клетки сохраняются не так часто, то, естественно, это затрудняет их классификацию. Затруднения при идентификации видов вызывает и малые размеры кокколитов. В настоящее время усилия многих специалистов направлены на изучение таксономического состава и количественного распределения кокколитов в водной взвеси и поверхностном слое осадков.

Известно, что кокколитофориды широко распространены в поверхностных водах теплых и умеренных широт. Наибольшее их количество приходится на зону от 50 до 200 м. В Тихом океане наибольшее количество и видовое разнообразие отмечено в экваториальной зоне. Что касается распределения кокколитов в поверхностном слое осадков, то оно соответствует общим закономерностям распределения их в водной толще, т.е. сохраняются комплексы видов и большее их количество в Тихом океане также приходится на экватори-

альную часть. При этом надо отметить, что количество кокколитофорид в осадках зависит от глубины осадконакопления, степени разбавления терригенным материалом и рельефа дна. Кокколиты хорошо сохраняются на глубинах, не превышающих "критической" глубины для известковых организмов - 4,5-4,7 км. Согласно данным Ушаковой М.Г. (1969) большее количество кокколитов в осадках отмечено на склонах хребтов. На вершинах их значительно меньше, что, по-видимому, связано с усиленной циркуляцией вод. В рифтовых долинах и желобах количество кокколитов также падает в связи с близостью критических глубин.

Сведения о кокколитофоридках Филиппинского моря ограничены. Известно (Мишутака Уда, 1974), что кокколитофориды здесь являются одной из распространенных групп фитопланктона, наряду с диатомовыми и динофлагеллятами. Изучением кокколитофорид в осадках Филиппинского моря проводили американские ученые в июне-августе 1969 года на и/с "Гломар-Челленджер" (Д. Вукзу, 1969). ими выполнено 8 станций; результаты исследований были опубликованы в виде определителей с описанием стратиграфии поднятых осадков. Другие сведения по кокколитам Филиппинского моря в опубликованных материалах нам не встречались.

Надо полагать, что использование кокколитофорид как объект изучения в целях биостратиграфии и палеогеографии может принести очень интересные результаты, особенно в районе Филиппинского моря, где геологическая обстановка и гидрологический режим создают уникальные условия для развития и захоронения живых организмов.

Основной целью экспедиционных работ является сбор образцов для микропалеонтологических исследований (кокколитового анализа) из поднятых осадков Филиппинского моря.

Обработку собранных проб и проведение кокколитового анализа предполагалось проводить на берегу в стационарных условиях.

За период рейса были отобраны пробы практически из всех трубок и дночерпателей. Образцы отбирались через каждые 10 см в трубках и из верхнего и нижнего горизонтов в дночерпательных пробах в количестве от 20 до 40 г осадка.

Часть собранного материала в процессе работ была предварительно обработана. Были изготовлены мазки на канадском базальте, которые просматривались под световым биологическим микроскопом. При этом производились определение и подсчет видов кокколитов, определялись руководящие виды, путем вычисления процентного содержания каждого из них к общему количеству, соответственно определялся комплекс. На основании полученных данных были сделаны предварительные определения возраста.

В качестве определителей использовались материалы американских исследователей в Финляндском море, Тихом и Индийском океанах, опубликованных в томах *"Initial reports of the deep drilling project"*

Ниже приводятся номера и координаты станций, материалы которых предварительно обработаны:

№ станции	с. широта	долгота
7533	29°51,5	133°19,5
7540	29°50,6	133°15,6
7542	31°31,0	135°42,0
7552	24°33,0	130°53,0
7558	24°23,3	131°06,0
7569	10°19,6	139°22,7

Станция 7533. Драгой подняты карбонатные осадки мягкой и плотной консистенции. Те и другие были просмотрены в мазках. Образец I. Рыхлый светло-серый осадок.

Таблица 7

В и д	% содержание
<i>Cycloscoeca lithus leptoporus</i>	47
<i>Discoaster bolii</i>	2
<i>Coccolithus pelagicus</i>	1
<i>Discoaster brouweri</i>	10
<i>Discoaster exilis</i>	5
<i>Discoaster quinqueringus</i>	15
<i>Discoaster surculus</i>	5
<i>Reticulofenestra pseudumbilica</i>	3
<i>Discoaster sp.</i>	9
<i>Coccolithus sp.</i>	5
<i>Discoaster blaekschta</i>	1
<i>Discoaster pentaradiatus</i>	1
<i>Pseudoemilia lacunosa</i>	2
<i>Discoaster pseudovariabilis</i>	1

Предварительное заключение:

Учитывая общий видовой состав, в котором преобладают виды группы дискоастров, таких как: *Discoaster brouweri*, *D. surculus* характерных для плиоцена, но заходящих в плейстоцен, а также, присутствие видов *Reticulof pseudomb.*, *D. blaekst.*, характерных только для плиоцена, настоящий осадок можно отнести к плейстоцен-плиоценовому возрасту.

Образец 2. Плотный, как камень комок.

Таблица 8

В и д	% содержание
<i>Cycloscoecolithus leptoporus</i>	28
<i>Discoaster surculus</i>	3
<i>Discoaster bolii</i>	3

I	2
<i>Discoaster exilis</i>	7
<i>Discoaster calcaris</i>	1
<i>Discoaster brouweri</i>	5,7
<i>Discoaster variabilis</i>	1
<i>Discoaster pseudovariabilis</i>	0,5
<i>Coccolithus pelagicus</i>	8,7
<i>Discoaster quingueramus</i>	5,5
<i>Discoaster</i> sp.	21
<i>Reticulofenestra pseudomb. (?)</i>	7
<i>Coccolithus</i> sp.	1
<i>Ceratolithus rugosus</i>	0,5
<i>Reticulofenestra pseudomb</i>	5,5
<i>Ceratolithus</i> sp.	0,5

Предварительное заключение:

Осадок по составу (качественному и количественному) аналогичен предыдущему. Предположительный возраст: плейстоцен-плиоцен.

Станция 7540. Трубкой подняты осадки с очень незначительным содержанием кокколитов в % в таблицах будет выражаться: 1-10% - 1 линия, 10-20% - 2 линии и т.д.

Фактический материал по этой колонке представлен в табл. 9

Предварительное заключение:

Осадки содержат небольшое количество кокколитов, в связи с чем возможны значительные ошибки в количественном соотношении видов. По предварительным определениям выделяется комплекс *gerphiroc. oceanica*

Намечается граница на глубине 50 см. Осадки 50-175 см ориентировочно - плейстоцен. Верхние горизонты 0-50 см требуют

Сл	А и Обл.
	<i>Umbilicosph. micrabilis</i>
	<i>Cyclocoel. leptozonus</i>
	<i>Gephyrocapsa oceanica</i>
	<i>Ceratolithus cristatus</i>
	<i>Coccolithus pelagicus</i>
	<i>Ceratolithus tricornis</i>
	<i>Coccolithus denticulatus</i>
	<i>Cyclocoelith. maceni (?)</i>
	<i>Rhodospirra clavig.</i>
	<i>Disc. challengevi</i>
	<i>Discoaster sp.</i>
	<i>Disc. pentaradiatus</i>
	<i>Disc. surculus</i>
	<i>Disc. quinqueringens</i>
	<i>Disc. browneri</i>
0	
10	
20	
30	
40	
50	
60	
70	
80	
90	
100	
110	
120	
130	
140	
150	
160	
170	
175	

Табл. 9 Станция 7540

см	<i>Ambilicosp. mirabilis</i>	<i>Rhabdosphaera clavig.</i>	<i>Perizocapsa oceanica</i>	<i>Coccolithus pelagicus</i>	<i>Ceratolithus cristatus</i>	<i>Cycloroccol. leptoporus</i>	<i>Ceratolithus tricorne.</i>	<i>Coccol. dorotheicoides</i>	<i>Discoaster kugleri</i>	<i>Discoaster quinquez.</i>	<i>Discoaster browneri</i>	<i>Discoaster bolii</i>	<i>Rhabdosphaera sp.</i>	<i>Discoaster sp.</i>
0														
10														
20														
30														
40														
50														
60														
70														
80														
90														
100														
110														
120														
130														
140														
150														
158														

Табл. 10 Станция 7542

дополнительного исследования под электронным микроскопом на содержание в них голоценовых форм, не видных в световом микроскопе.

Станция 7542. Данные по этим осадкам представлены в таблице 10.

Предварительное заключение:

Видовой состав однообразен по всей длине колонки. Руководящими видами являются *Gephyrocapsa ocean.* и *Umbilicosphaera mirab.* Наличие голоценовых видов установить невозможно. Отмечено присутствие в небольшом количестве видов группы дискоастеров, и вида, характерного для плейстоцена *Rhabdosphaera clavigera.*

Возраст осадка - четвертичный (плейстоцен???)

Станция 7552. Дючерпательная проба, взятая из верхнего горизонта.

Таблица II

В и д	% содержание
<i>Ceratolithus</i> sp.	27
<i>Ceratolithus</i> sp.	6
<i>Disciaster exilis</i>	12
<i>Discoaster quinqugeramus</i>	12
<i>Rhabdosphaera</i> sp.	3
<i>Rhabdosphaera clavigera</i>	24
<i>Ceratolithus rugosus</i>	3
<i>Ceratolithus thicornicul</i>	3
<i>Pseudoemilia lacunosa</i>	3
<i>Cyclococcolithus maentyrei</i>	3
<i>Discoaster</i> sp.	3

Предварительное заключение:

Отмечено два руководящих вида: *Ceratolithus* sp. и *Rhabdosphaera clavigera*. По общему видовому составу возраст осадка можно отнести: низ

плейстоцена-верх плиоцена. Более точное определение возраста возможно после установления видовой принадлежности *Ceratolithus* sp.

Станция 7558. Осадки содержат большое количество и разнообразный видовой состав кокколитов. Данные по колонке представлены в табл. 12

Предварительное заключение:

Верхние горизонты колонки 0-40 см характеризуются присутствием в большом количестве вида *Rhabdosphaera clavigera*, характерного для плейстоцена. Горизонты 50-127 см содержат два руководящих вида: *Rhabdosp.* sp. и *Cyclococ. macitugei* характерного для верхов плиоцена. Таким образом, намечается граница на горизонте 40-50 см. Более точное установление возраста связано с установлением видовой принадлежности *Rhabdosphaera* sp.

Станция 7569. Осадки характеризуются большим качественным и количественным составом кокколитов. Данные по колонке представлены в табл. 13

Предварительное заключение:

В осадках преобладает группа дискоастеров. Граница между слоями четко не выражена, но можно предположить её наличие на горизонте 30 см. Установление видовой принадлежности целого ряда видов даст правильное представление о возрасте. Предварительно его можно определить как плейстоцен-плиоцен (?).

В поверхностном слое осадков Тихого океана кокколиты образуют четыре комплекса (Ушакова, 1969). Один из них является бо-реальным и характеризуется наличием в больших количествах *Coccolithus pelagicus* Остальные три - северо-субтропический, экваториальной и субэкваториальной, характеризуются более разнообразным видовым составом, присутствием в больших количествах *Cyclococcolithus leptorogus* и в субэкваториальной зоне *Ceratolithus cristatus*.

см	Виды																										
0	Umbilicosph. mirabilis	C. doronicoides (?)	C. leptopus	Gehirocapsa oceanica	Rhabdosphaera clavigera	Ceratolithus cristatus	C. triorniculatus	C. zugosus	Rhabdosphaera sp.	C. macintyrei	Ceratolithus primus (?)	Pseudoemilia lacunosa	Rhabdosphaera stilif. (?)	Discoaster bolii	D. exilis	D. challengezi	D. pentaradiatus	D. quinquemomus	D. browneri	D. surculus	D. deflandrei (?)	D. variabilis	D. tamalis	D. dilatatus (?)	D. extensus	Discoaster sp.	C. pelagicus
10																											
20																											
30																											
40																											
50																											
60																											
70																											
80																											
90																											
100																											
110																											
120																											
127																											

Табл. 12. Станция 7558

cm	13 21 261					
85						<i>Ceratolithus cristatus</i>
						<i>C. tricorniculatus (?)</i>
						<i>Ceratolithus sp. 1</i>
						<i>Ceratolithus sp. 2</i>
						<i>Ceratolithus rugosus</i>
						<i>Rhabdosphaera stilif. (?)</i>
						<i>Pseudoemilia lacunosa</i>
						<i>Cylococcol. leptoporus</i>
						<i>Reticulof. pseudoumb.</i>
						<i>Cylococcol. lusitan. (?)</i>
						<i>Coccolithus dozonoid.</i>
						<i>Cylococcol. macintyreii.</i>
						<i>Rhabdosph. clavigera</i>
						<i>Coccolithus sp.</i>
						<i>Umbilicosphaera mirab.</i>
						<i>Discoaster bolii</i>
						<i>D. quinquemurcus</i>
						<i>D. variabilis</i>
						<i>D. browneri</i>
						<i>D. exilis</i>
						<i>D. surculus</i>
						<i>D. kugleri</i>
						<i>D. pentaradiatus</i>
						<i>D. challengezi</i>
						<i>D. deflandrei</i>
						<i>D. dilatatus</i>
						<i>D. blaetschloka</i>
						<i>D. pseudovariabilis</i>
						<i>D. sp. 1</i>
						<i>D. sp. 2</i>
						<i>D. sp. 3</i>

Табл. 13

Станица 7569

В видовом составе кокколитов поверхностного слоя осадков Филиппинского моря, согласно нашим данным, также возможно выделить зональные комплексы. Так, комплекс кокколитов станций 7540, 7542 и 7558 можно отнести к северо-субтропической зоне. Здесь руководящими видами являются *Gephyrocapsa oceanica* *Umbilic. mirab.* на станции 7558 доминирует *Rhabdosphaera clavigera*, также характерная для северной тропической зоны. В небольших количествах в осадках встречается *Coccolithus pelagicus*.

Что касается комплексов кокколитов в осадках остальных станций, то их следует отнести к экваториальной зоне. Здесь присутствуют также виды как *Cyclococcolithus leptorogus*, *Ceratolit. cristat.* Следует отметить, что для Тихого и Индийского океанов вид *Ceratolite cristatus* является характерным для районов, лежащих ниже экватора, в наших же пробах он встречался гораздо выше экватора.

По-видимому, распределение видов кокколитов в широтном направлении в осадках Филиппинского моря имеет свои отличительные особенности. Изучение распределения кокколитов в Филиппинском море представляет большой интерес для стратиграфии и палеогеографии этого района.

VI. ГЕОХИМИЧЕСКИЕ И ГИДРОХИМИЧЕСКИЕ ИССЛЕДОВАНИЯ

Геохимические исследования в Филиппинском море являются составной частью геологических работ начатых ТИИ ДВНЦ АН СССР в этом море в 1975 году. Эти исследования охватывают круг вопросов связанных с изучением закономерностей распределения и накопления химических элементов в донных осадках различных литолого-генетических типов, с изучением диагнетических процессов, протекающих в толще четвертичных отложений, формированием и составом железомарганцевых конкреций и т.д.

Сведения о геохимии донных отложений Филиппинского моря весьма скудны. Это отрывочные литературные данные по содержанию железа, марганца, карбоната кальция, аморфного кремнезема и органического углерода (Тихий океан, 1970, ч. I, 2). Кроме того, в ТМ были выполнены анализы на железо, марганец и титан в пробах из этого бассейна, переданных с.н.с. Мурцама И.О. после 54 рейса нис "Витязь". В этих же пробах были определены формы нахождения перечисленных выше элементов.

I. Программа работ и задач геохимического отряда

В программу геохимических исследований входит изучение процессов накопления и распределения химических элементов, выяснения источников поступления их в морской бассейн (терригенный снос, гидротермальным эксгаляцией и др.), изучение распространения, накопления, условий формирования и химического состава железо-марганцевых конкреций.

Перед геохимическим отрядом стояли следующие задачи:

1) определение непосредственно на борту судна железа, марганца, титана и карбоната кальция. Выбор этих элементов был обусловлен тем, что первые два являются конкрециообразующими, титан геохимически интересный элемент (считается, что он является индикатором терригенной составляющей донных отложений); карбонат кальция является биогенным породообразующим компонентом.

2) выполнение экспресс-анализов при работе в районе гидротермальных проявлений (что не было выполнено по независящим от отряда причинам).

3) гидрохимические исследования - изучение распределения химических элементов в верхней, 300-метровой водной толще.

В состав отряда входили следующие сотрудники: начальник отряда Грамм-Осинов Л.М., ст. инженер Михневич Л.И., ст. лаборант Миндлина Т.Н., ст. инженер Института химии ДВНЦ Шульга Ю.М. В работе отряда принимали активное участие ученый секретарь рейса Волкова Т.И. Гидрохимические исследования выполнялись Ю.М. Шульгой.

2. Характеристика выполненных работ

С поставленными задачами отряд, несмотря на очень тяжелые условия работы (почти полное отсутствие тяги и расположение рабочего места в носовой части судна) справился успешно. Объем выполненной работы приведен в таблице.

3. Методика аналитических работ

Определение общего содержания железа (Fe_2O_3), марганца (MnO), титана (TiO_2) проводилась из сухой, тонко растертой пробы сплавлением её в муфеле с содой.

Железо определялось комплексометрически, титрованием 0,025 раствором комплексона III с индикатором 25%-ным раствором сульфосалициловой кислоты.

Марганец определялся колориметрически с формальдоксидом в аммиачной среде. Оптическую плотность измеряли на ФЭК-Н-57.

Содержание титана устанавливалось колориметрически с перекисью водорода, с образованием пероксида титана.

Содержание двуокиси углерода определялось ускоренным объемным методом, который основан на растворении навески карбонатной породы в соляной кислоте на холоду и поглощении выделяющейся при этом двуокиси углерода раствором едкого натра. Карбонат - ионы выделяли в осадок добавлением раствора хлористого бария и остаток свободной щелочи оттитровывали соляной кислотой по фенолфталеину.

Содержание CO_2 в исследуемом материале вычислили по количеству титрованного раствора соляной кислоты, соответствующему количеству едкого натра, затраченного на реакцию с двуокисью углерода. Выделение двуокиси углерода соляной кислотой и поглощение её раствором щелочи проводили в закрытой конической колбе.

4. Основные результаты работ

Результаты анализов, выполненные в течение рейса на борту судна приведены в Приложении В 2.

В настоящем разделе нет необходимости освещать результаты работ по каждой станции во-первых, и во-вторых, останавливаться на данных по возвышенности Ямато, т.к. исследования, проведенные в настоящем рейсе полностью подтвердили выводы сделанные ранее (Репечка, 1973). Представляется также излишним делать какие-либо выводы по материалам Каролинского и Кино-Китайского морям, поскольку там было выполнено ограниченное число станций. В данном разделе коротко освещены основные **результаты** исследований, проведенных в Филиппинском море.

В Филиппинском море литолого-геохимические работы велись, в основном, во впадинах Сикоку, Западно-Филиппинской и Западно-Марианской, в которых станции расположены с севера на юг через все море в целом в меридиональном направлении.

Во впадине Сикоку анализы выполнены в 4 колонках, осадки в которых представлены мелкоалевритовыми (ст. 7545), алевритово-пелитовыми (ст. 7546) и пелитовыми (ст. 7547 и 7548) терригенными и слабо известковистыми илами. По мере удаления от берега, увеличением глубины моря (наиболее близкая к суше и расположенная на меньшей глубине ст. 7545, а наиболее удаленная ст. 7548) и уменьшением медианного диаметра осадков содержания марганца,

железа и титана возрастает. В этом же направлении происходит увеличение мощности окисленного слоя (на ст. 7545 он вообще отсутствует), т.е. осадочная толща, пробитая грунтовыми трубками, разделяется на зоны окисного и сульфидного минералообразования. Наблюдается обогащение верхнего окисленного слоя марганцем, что связано с его перераспределением на ранних стадиях диагенеза (широко известный процесс, протекающий во многих бассейнах Земли). Железо и титан в этом процессе инертны, что характерно и для других водосемов (например, Японское море).

Содержания карбоната кальция в перечисленных колонках в общем невелико и колеблется от нуля до 13%. Отмечается отсутствие CaCO_3 в самом поверхностном горизонте и появление в подстилающем. Подобные явления могут быть связаны либо с изменением физико-химических характеристик морской воды в последнее время (в геологическом смысле), либо с изменением положения компенсационной глубины карбонатонакопления.

В Западно - Филиппинской котловине были подняты и проанализированы осадки станций 7550, 7558, 7559, 7561, 7589 и 7590. Первые 4 станции были выполнены в Северной части котловины, а последние - в южной. Осадочная толща, пробитая грунтовыми трубками представлена миоцеллагическими глинами от светло-коричневого (ст. 7550) до темно-коричневого цвета. Отложения, поднятые на ст. 7550 вероятно характеризуют переходный тип образований от терригенных к типичным красным глинам миоцеллагического типа. Об этом свидетельствуют светло-коричневый цвет осадков (по всей длине колонки), более низкие содержания железа, марганца и титана, по сравнению с настоящими миоцеллагическими глинами.

В последних т.е. на ст. 7559 и 7561 количества этих элементов в 2-5 раз выше и гораздо ниже разброс значений. Станции 7550 и

7561 расположены на глубинах, на которых как правило формируются красные глины (выше 4500 м), что же касается ст. 7559, то она расположена на гораздо более высоком батиметрическом уровне (3850 м).

Количество железа, марганца и титана в осадках ст. 7558 очень низкие, по той причине, что эти отложения представлены крупно- и мелкопеллагитовыми известковистыми глинами. Карбонат кальция, как известно является разбавителем для этих элементов.

Относительно низкие содержания марганца в осадках станций 7589 и 7590 свидетельствуют, что процессы раннедиагенетического перераспределения его в этих отложениях протекает весьма интенсивно. Количество железа и титана в то же время сравнили с их содержаниями в мюпеллагитических глинах. Это еще раз говорит в пользу того, что эти два элемента в раннедиагенетическом процессе перераспределения не участвуют, а количественное их поступление в осадки районов этих станций примерно такое же, как на участках распространения мюпеллагитических глин.

В отложениях Западно-Марианской котловины и содержания марганца, железа и титана колеблется в очень широких пределах и их количества также как и в других котловинах, связаны с типами осадков и диагенетическими процессами.

Количество этих элементов в мюпеллагитических глинах станций 7565, 7587 и 7588 в общем соответствует их содержаниями в подобных отложениях других котловин. Однако, на ст. 7587 и 7588 мюпеллагитические глины переслаиваются с кремнистыми пеллитовыми этлодокусонными глинами, в которых содержания и марганца, и железа, и титана резко уменьшаются. Это связано с тем, что аморфный кремнезем, как и карбонат кальция является разбавляющим материалом для этих элементов.

В осадках ст. 7569 количества указанных элементов снижаются в 5-10 раз. Это объясняется тем, что осадки этой станции представлены песчано-алевроитовыми известковыми образованиями.

Таким образом, из изложенного выше вытекает:

1) к северу от 27° северной широты в осадках наблюдается четкое разделение осадочной толщи на зоны окисного и сульфидного минералообразования;

2) по мере продвижения на юг от Японской островной дуги содержания марганца, железа и титана, в общем, увеличивается и наибольших содержаний они достигают в миопаляогических красных глинах;

3) в осадках, где имеется окисленный слой и восстановленная зона наблюдается раннедиагенетическое перераспределение марганца. Железо и титан в этом процессе геохимически инертны;

4) в целом содержания изучаемых элементов колеблются в зависимости от типа осадков.

Железо-марганцевые корки и конкреции

Фактический материал по анализам железо-марганцевых образований приведен в табл. Из этих данных следует, что содержания железа и марганца в корках и конкрециях варьируют в широких пределах, то же относится и к марганцевому модулю (марганец: железо).

Железо-марганцевые корки обнаружены как в Японском (возвышенность Ямато), так и в Филиппинском морях. Образованы они на различном субстрате — базальтах и известняках. Мощность их колеблется от долей до нескольких сантиметров. Распространены эти образования на глубинах от 600 до 2600 м.

В Японском море марганцевый модуль корки на базальтах равен 2, а в Филиппинском море — 0,67. Марганцевый модуль корок на известняках (Филиппинское море) колеблется от 0,49 до 1,00. Причины

подобных различий в настоящее время не ясны, однако связаны они с условиями формирования этих образований, что также образом требует дальнейших исследований.

ГИДРОХИМИЧЕСКИЕ ИССЛЕДОВАНИЯ

I. Задачи исследований

Задачей гидрохимических исследований, проводимых в настоящее время Институтом химии ДВНЦ АН СССР, являлось изучение химии железа, марганца, серебра, меди, цинка, кобальта и никеля в поверхностных водах Филиппинского моря.

Теоретические расчеты, натурные и экспериментальные исследования показывают, что вышеуказанные элементы в морской воде могут находиться в следующих состояниях:

1. В виде простых и сложных комплексных ионов (с неорганическими и органическими лигандами);
2. В сорбированном состоянии на коллоидном и взвешенном веществе;
3. В виде коллоидов (титан, марганец и железо);
4. В составе минеральных взвесей (глинистые и обломочные минералы).

Общее содержание микроэлементов, их соединений неодинаково для различных районов Мирового океана. Считается, что географические, гидрохимические, биологические и сезонные факторы являются главными, вызывающие эти различия. Выбранный круг элементов позволяет изучить влияние этих факторов на химию этих микроэлементов в различных частях океана.

Одним из районов океана для натурных наблюдений выбрано Филиппинское море, которое обладает рядом особенностей:

- поверхностные воды этого бассейна очень слабо подвержены

материкового стока и формируются из трансформированной северной субтропической поверхностной воды, поступающей из Тихого океана; — гидрологические условия поверхностного слоя в исследуемом районе довольно просты и мало меняются в течение года. Для поверхностных вод Филиппинского моря характерны, главным образом, горизонтальные течения, т.к. положительный пресный баланс поверхностного слоя определяет условия, при которых в нем не может развиваться достаточно мощная вертикальная циркуляция, переносящая воды от поверхности в глубокие горизонты. Таким образом, вертикальный перенос твердой фазы ниже слоя скачка плотности должен происходить в основном в результате гравитационной седиментации; — в районе исследования нет больших сезонных колебаний климатических условий. Кроме того, район моря характеризуется невысокой биологической продуктивностью.

2. Методика исследований

Пробы воды отбирались специальными батометрами из полихлорвинилового пластика с горизонтов 0, 100 и 300 м. Выделение серебра, меди, цинка, марганца, железа, кобальта и никеля осуществлялось методом экстрагирования карбаминатов элементов хлороформом из одной пробы (ДДТК- Na групповой реагент). Хлороформные экстракты консервировались для последующего определения в них микроэлементов атомно-абсорбционным методом. Осадки на мембранных фильтрах после фильтрации проб воды также сохранялись для определения в них в лабораторных условиях их вес, минералогический состав и микроэлементов.

Для выяснения физико-химического состояния ~~физико-химическое состояние~~ железа в морской воде на борту судна проводилась ультрафильтрация проб воды методом фильтрования в электрическом

поле, позволяющим разделять частицы размерами больше и меньше 10^{-6} см.

На всех станциях отбирались пробы воды стандартными батометрами БМ-48 с горизонтов 0,50, 100, 150, 200 и 300 м. В этих пробах определялись хлорность, рН и перманганатная окисляемость морской воды.

Всего было выполнено шесть гидрологических станций.

3. Ожидаемые результаты

После обработки материалов, полученных в экспедиции, предполагается получить данные по распределению серебра, меди, цинка, марганца, железа, кобальта и никеля в поверхностном слое до и за слоем скачка плотности; данные по распределению микроэлементов между твердой и жидкой фазами. Будут определены содержания фильтруемой и нефилтруемой форм железа.

УП. МАГНИТОМЕТРИЧЕСКИЕ ИССЛЕДОВАНИЯ

1. Программа работ

Программа работ отряда определялась общими геолого-геофизическими задачами рейса с учетом возможностей магнитного метода, его особенностей и наличия времени. Магнитометрические исследования проводились в Японском, Восточно-Китайском, Филиппинском и Кюсю-Китайском морях. Основными объектами исследований являлись геосинклинальные и депрессионные структуры и зоны рифтовых разломов.

В Японском море намечалось провести магнитную съемку в юго-восточной части банки Ямато в более крупном масштабе, чем было до этого, с целью более детального изучения глубинного геологического строения южного хребта возвышенностей.

Во время переходов в Восточно-Китайском, Филиппинском и Южно-Китайском морях намечалось проводить маршрутную гидромагнитную съемку для выделения отдельных геологических структур по профилю и изучения характера и особенностей магнитного поля над ними.

В северо-западной части Филиппинского моря, где имеется редкая сеть магнитных профилей, выполненных советскими, японскими и американскими геофизиками, новые профили будут использованы как дополнения к имеющимся и для увязки их, т.к. магнитная съемка сделана различной аппаратурой и с различными приемами вычисления аномального значения магнитного поля (T_a). В дальнейшем будет построена карта аномального магнитного поля для этого района с учетом всех имеющихся здесь профилей и дана её интерпретация.

Состав отряда, обеспечивший выполнение гидромагнитной съемки и первичную обработку полученного материала, был следующим:

Головань А.А. — начальник отряда

Лесков В.Н. — ст. инженер

Кудинов С.А. — ст. инженер

Шевалдина С.В. — ст. инженер (с 15.10.75 г. по 25.11.75 г.)

За весь период экспедиции выполнено измерение полного модуля ^{напр} напряженности магнитного поля Земли по профилям общей протяженностью ~~около~~ 5900 миль. Из них 900 миль на полигонах и 5000 миль на переходах между портами заходов и полигонами. Магнитная съемка, как на переходах, так и на полигонах проводилась в комплексе с эхолотным промером дна и непрерывным сейсмопрофилированием (НСП). Направление галсов на полигонах, их плотность и протяженность полностью определялись задачами эхолотной съемки, предшествующей драгированию. Направление

профилей на переходах определялись программой рейса и совмещались с другими видами работ. Проведение отдельно магнитометрической площадной съемки программной не предусматривалось.

Объем времени, затраченного судном за весь период экспедиции на отдельные галсы, выполненные для проверки аппаратуры (девиации) или для уточнения распределения магнитного поля на полигонах, не превышал одних суток. Комплексование геолого-геофизических методов при исследовании интересующих структур, безусловно, очень эффективно и удобно, т.к. после предварительной съемки проводились драгировочные работы, во время которых составлялась карта магнитного поля на полигоне, на которой выявлялись участки, где требуется пройти дополнительные профили для уточнения магнитного поля и оконтуривания выявленных магнитных аномалий. Из-за ограничения времени работы на полигонах данного рейса такое уточнение необходимо провести в будущем.

2. Аппаратура и методика работ

При гидромагнитной съемке регистрируется полное значение модуля ^{напряженности} магнитного поля Земли (T) протонным магнитометром типа МММ-4, разработанного в ИЗМИРАНе. В рейс были взяты два комплекта магнитометра, используемых в ТОИ АН СССР с 1969 г., описания их даны в отчетах по нис "Первенец" и нис "Витязь". В качестве датчиков использовались цилиндрические катушки с обмоткой, заполненные протонсодержащей жидкостью. Особенностью этих датчиков является зависимость амплитуд (A) от направления оси датчика по отношению к вектору напряженности магнитного поля Земли (\vec{T})

$$A = A_{max} \cdot \sin \alpha$$

где: α — угол между осью датчика и вектором \vec{T}

A_{max} — амплитуды сигнала при $\alpha = 90^\circ$

Ось датчика направлена обычно горизонтально по профилю. В северных широтах, где магнитные наклоны большие (больше 50°), ось датчика практически никогда не совпадает с \vec{T} и измерения можно проводить в любых направлениях.

В экваториальных широтах направление \vec{T} близко к горизонтальному и при меридиональных направлениях профилей регистрация магнитного поля невозможна. Поэтому в рейсе был изготовлен поперечный датчик, направление оси которого перпендикулярно направлению профиля. Это дало возможность получить качественную запись \vec{T} в меридиональном направлении, но по широтным профилям запись была с большими разбросами. Устранить эти разбросы удалось с помощью ^aпоплачкового стабилизатора гондолы, с которым датчик всегда находился в вертикальном положении.

Для увязки показаний магнитометра по профилю через каждые полчаса на диаграмной ленте самописца оператор наносил ^лотметки времени. Во время рейса был установлен автоматический отметчик времени, что дало возможность операторам свободно ^{заниматься} ремонтом аппаратуры или обработкой полученного материала. Ремонт аппаратуры практически не прекращался с начала и до конца рейса. Причиной этому были изношенность аппаратуры, большая влажность и температура. Методика наблюдений и первичной обработки общепринятая (Ковылин и др., 1970; Васильев и др. 1972).

Методика работы на полигонах следующая:

На площади полигона, намечается серия непараллельных галсов с направлениями преимущественно вкост простирания морфологических структур. По этим галсам производится измерение магнитного поля, глубин и сейсмопрофилирование. Объемы этих работ определялись временем, необходимым для определения места постановки геологических станций и составляли обычно 20% общего времени работы

ОПРЕДЕЛЕНИЕ МАГНИТНОЙ ВОСПРИИМЧИВОСТИ ()
 МАГМАТИЧЕСКИХ И МЕТАМОРФических ПОРОД

Таблица № 14

№ станции	Координаты	Глубина (м)	Название породы	Кол-во образцов	ср. $\cdot 10^{-6}$ (ед. егсм)
7520	39°21'95 135°37'25 0		Андезиты	10	700
К-4					
образец	39°23'65		Андезито-базальты	10	650
ст. 7505	135°40'15 0		(обломки глыбы с коркой выветривания)	10	
7507	39°20'30 135°39 50 0		Гранодиорит	10	60
7577		3.200	Контактово-измененные породы	1	35
			Разгнейсованный гранит	2	16
			Граносиенит	1	30
			Слюдяные сланцы	1	30
			Амфиболово-пироксеновые сланцы	1	32
			" "	1	25
			" "	1	32
7578		3.400			
7580		2.000	Габбро рогаобманковое	1	30
7580		2.200	Туф псаммитовый	2	2200
7585		4260	Альбит	1	30
7585			Амфиболово-сланяные сланцы	1	25

на полигоне.

За время проведения драгирования составлялись карты (схемы) полного магнитного поля на полигоне. Это давало возможность по окончании геологических работ провести несколько профилей для оконтуривания выявленных магнитных аномалий и уточнения характера распределения магнитного поля на исследуемой площади.

Помимо гидромагнитной съемки отряд занимался измерением магнитной восприимчивости образцов горных пород поднятых со дна моря. Для этой цели использовался полевой измеритель магнитной восприимчивости ИМ2-1-0-100. Результаты определений магнитной восприимчивости горных пород представлены в таблице № 14

3. Результаты работ

Выполненные в рейсе магнитометрические работы можно разделить на три группы.

1. Площадная гидромагнитная съемка на полигонах;
2. Маршрутная съемка в соприкасающихся районах Восточно-Китайского и Филиппинского морей для увязки имеющихся здесь данных по магнитному полю японских, американских и советских геофизиков.
3. Маршрутная съемка в центральной и восточной части Филиппинского моря. (рис. 33)

За период рейса выполнена съемка на пяти полигонах 1-ом, 2-ом, 4-ом, 5-ом и на банке Токас (восточнее о-ва Сикоку). Наиболее интересные предварительные результаты получены на полигонах № 1, 2, 5.

Полигон № 1

Полигон расположен в пределах подводной возвышенности Кама-хаси-Дайни (Филиппинское море). Морфология магнитного поля возвы-



Рис. 33 Схема галсов магнитной съемки 2 (4)
рейса НИС "Каллисто"

шенности довольно простая (рис. 34). Отчетливо заметна корреляция магнитного поля с рельефом. Возвышенность отмечается положительной магнитной аномалией субмеридионального простирания с абсолютным максимальным значением $T=45090\gamma$. Диапазон изменений значений (от 44550γ до 45090γ).

Максимум аномалий несколько смещен к югу по отношению к вершине возвышенности. К сожалению исследованной оказалась только северная часть аномалии, а максимальное значение T отмечается на самом южном широтном профиле. Аномалия имеет почти симметричные крылья с горизонтом $10 / \text{км}$. К западу градиент несколько ниже.

Драгированием на возвышенности подняты известняки, однако отчетливая корреляция магнитного поля с рельефом и интенсивность аномалии над вершиной (до 300γ) указывает на то, что в основании возвышенность сложена магматическими породами основного (или близкого к нему) состава, что подтвердилось драгированием.

Полигон № 2

(хр. Окинадайти - Филиппинское море)

Карта полного магнитного поля составлена по 12 коротких пересекающихся профилей общей протяженностью 160 миль. Плотность съемки порядка $1:500000$ ($1:1000000$) масштаба (рис. 35).

Магнитное поле на исследуемой площади довольно дифференцировано, диапазон изменения его величины $\sim 400\gamma$. Максимальное значение его равно 42550γ (южная половина полигона на широте острова Окинадайти).

Минимальное ^{с этим} 42160γ на северо-востоке полигона. В соответствии всю исследуемую площадь можно разделить на южную (положительная аномалия) и северную (отрицательная аномалия).

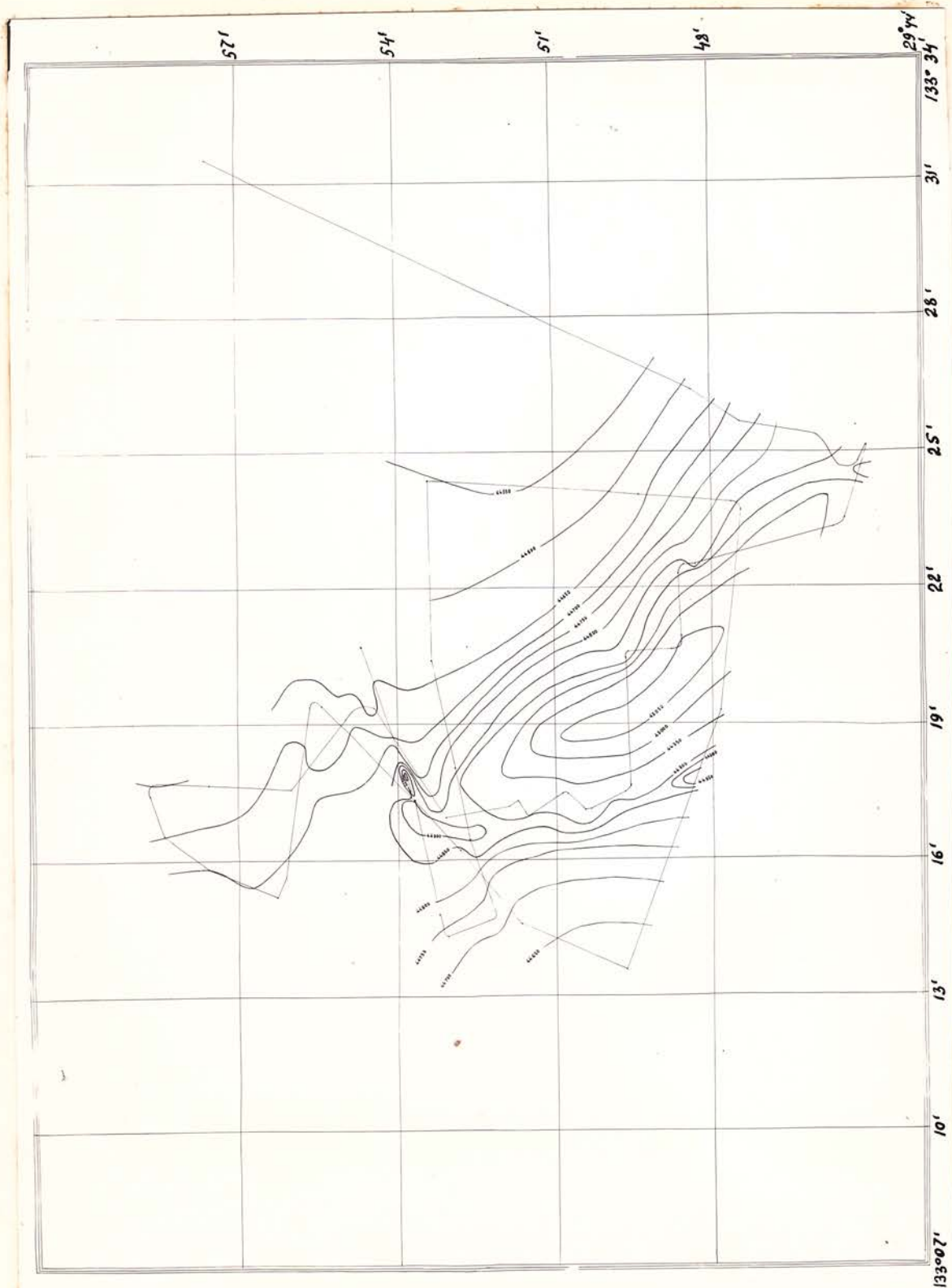


Рис. 34 Карта изолиний полной напряженности магнитного поля и схема профилей полYGONа № I

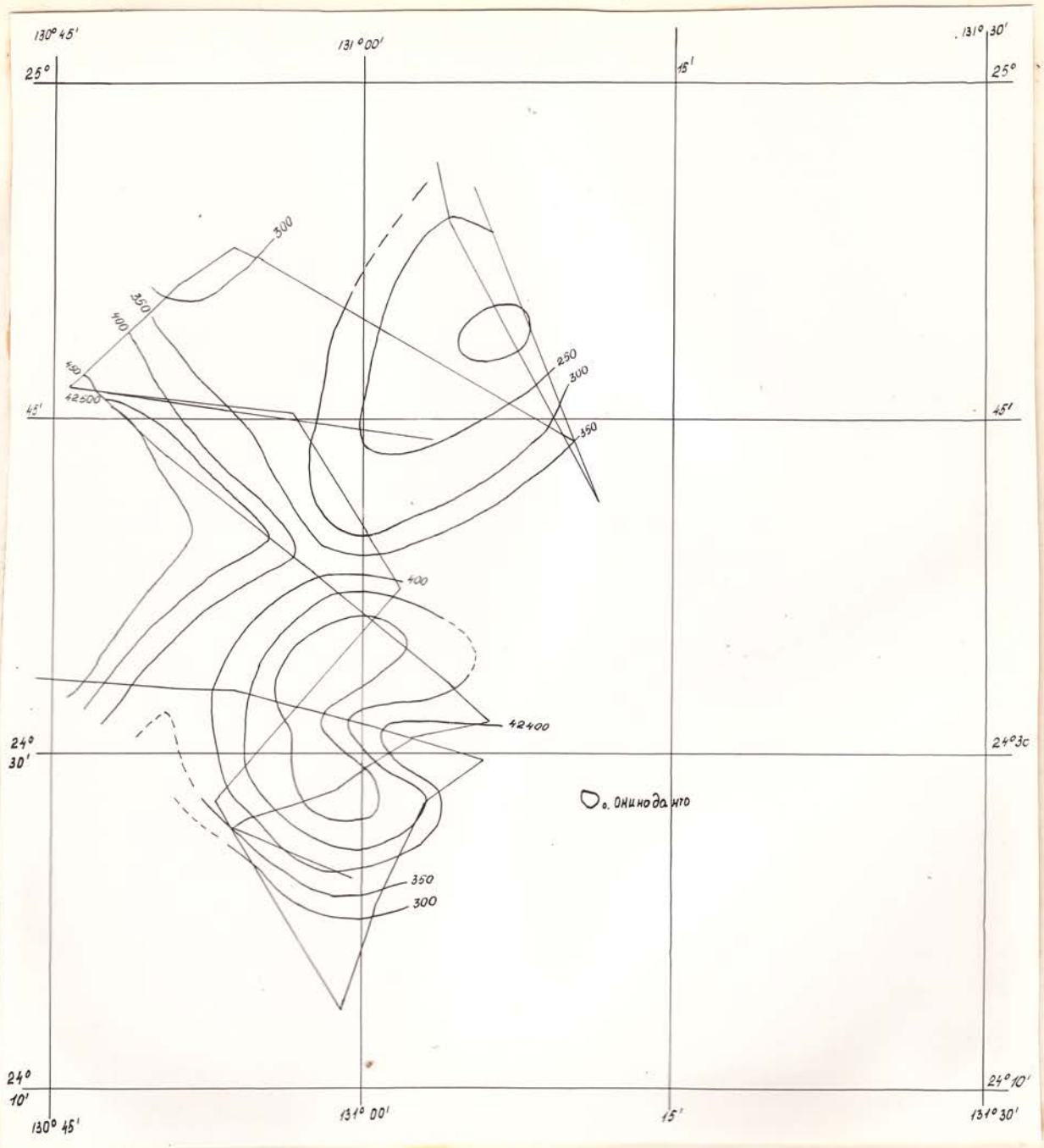


Рис. 35 Карта изолиний полной напряженности
 магнитного поля и схема профилей
 полигона № 2

В северной части магнитное поле более спокойное и значение его в центре аномалии меньше 42160γ . Надо отметить, что и рельеф в этой части полигона также несколько ровнее, чем в южной (юго-западной).

В южной части полигона можно выделить две аномалии со значениями больше 42400γ , разделенных узкой полосой субмеридионального простирания с напряженностью магнитного поля (Т) равной $42360-42400 \gamma$. Интересно отметить, что эта зона пониженных значений продолжается и на северо-восток по отрицательной аномалии.

В северной части не обнаружено заметной корреляции магнитного поля с рельефом. В южной половине наблюдается довольно четкая корреляция между магнитным полем и рельефом, но зависимость между ними обратная - с понижением рельефа увеличивается напряженность магнитного поля. Особенно это заметно в юго-восточной аномалии, где изодинами повторяют конфигурацию изобат в западной части возвышенности, вершина которой поднимается над уровнем моря в виде острова Окинадайто.

Объяснить описанную выше структуру магнитного поля и его взаимоотношения с рельефом можно следующим образом. Зона пониженных значений, протягивающаяся с юго-запада на северо-восток вероятнее всего контролирует тектоническое нарушение (разлом), заполненное немагнитными или слабомангнитными породами. Магнитная восприимчивость магматических пород, как правило, уменьшается с увеличением их кислотности. Уменьшается магнитная восприимчивость горных пород также и при гидротермальной переработке их.

Интерпретация (как количественная так и качественная) южных аномалий затруднена не полным охватом их площади магнитной съемкой.

Спокойный характер северной отрицательной аномалии, увеличение градиентов Т и несоответствие в знаке форм рельефа и магнитного поля можно объяснить наличием глубинных магнитовозмущающих

крупных тел (блоков) погружающихся к северо-востоку и перекрытых сверху немагнитными или слабо магнитными породами, мощность которых на севере больше, чем на юге.

Полигон № 4

Полигон расположен на подводной возвышенности к северу от о-вов Палау.

Участок отмечается ровным, спокойным магнитным полем. Диапазон изменений значений полного магнитного поля 140γ , с максимальным значением 39930γ в западной части и минимальным 39790γ в восточной. Слабые изменения магнитного поля объясняются ровными значениями магнитной восприимчивости (α) пород распространенных на исследуемой площади. Магнитная восприимчивость поднятых образцов горных пород (метаморфические сланцы, гранитоиды, ~~сланцы~~ и др.) находятся в пределах $15 + 35 \cdot 10^{-6}$ ед СГСМ. Исключение составляют только туфы андезитов ($\alpha = 2000 + 2400 \cdot 10^{-6}$ ед СГСМ), поднятые на юге полигона, на ст. 7580 за пределами магнитной съемки. Остальные, немагнитные породы подняты в северо-восточной части отличающейся несколько пониженными значениями магнитного поля и большими глубинами.

Полигон № 5 (банка Ямато)

Японское море

Магнитное поле на исследуемой площади резко дифференцировано, что указывает на неоднородность горных пород слагающих фундамент в горизонтальном направлении (рис. 36)

Нормальное магнитное поле этого участка предварительно можно считать постоянной величиной, равной с некоторым приближением 49100γ . Абсолютные значения T колеблется от 48600γ до 49600γ

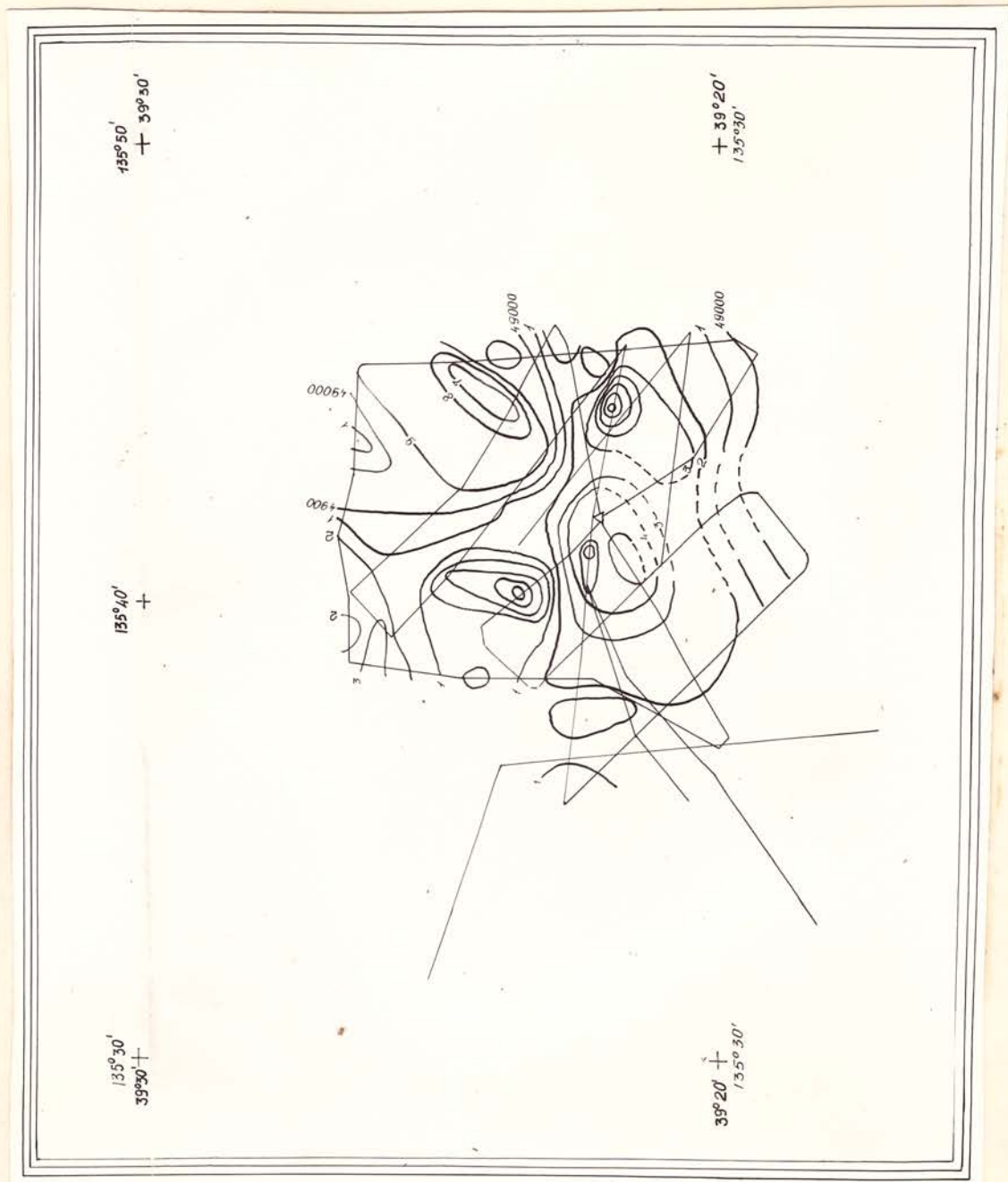


Рис. 36 Карта изолиний полной напряженности магнитного поля и схема профилей полигона № 5

Северная часть отличается пониженными значениями. Здесь выделены 2 отрицательные аномалии с T_a до 320γ . В южной части - повышенное поле. Здесь выделены 2 положительные аномалии интенсивностью до 400γ и 600γ .

Форма аномалий эллипсоидная, для положительных - близкая к изометричной. Отрицательные поля вытянуты в северо-северо-восточном направлении.

На площади северо-западной отрицательной аномалии, где отмечается самое низкое значение магнитного поля ($T=4866 \gamma$) поднята глыба андезита (ст. 7505) с довольно высокой магнитной восприимчивостью ($600-700 \cdot 10^{-6}$ ед СГСМ). Можно допустить обратную намагниченность андезитов, или наличие на глубине пород с другими значениями намагниченности. Такой же магнитной восприимчивостью (χ) обладают андезиты поднятые на ст. 7520. Магнитное поле здесь отрицательное, близкое к нормальному. В юго-западной части полигона (ст. 7507) подняты драгой глыбы гранодиоритов с $\chi 40-70 \cdot 10^{-6}$ ед СГСМ, т.е. практически с немагнитной характеристикой.

Корреляция магнитного поля с рельефом полностью отсутствует. Наблюдаемую структуру магнитного поля можно объяснить тем, что в толще немагнитных пород внедрены тела андезитового или близкого к ним состава.

Положение верхней кромки определяется положительными аномалиями.

Банка Тособае

На площади, включающей в себя банку Тособае и прилегающий участок подводного склона о-ва Сижоку выполнена гидромагнитная съемка по сети профилей различного направления, общей протяженностью 500 миль.

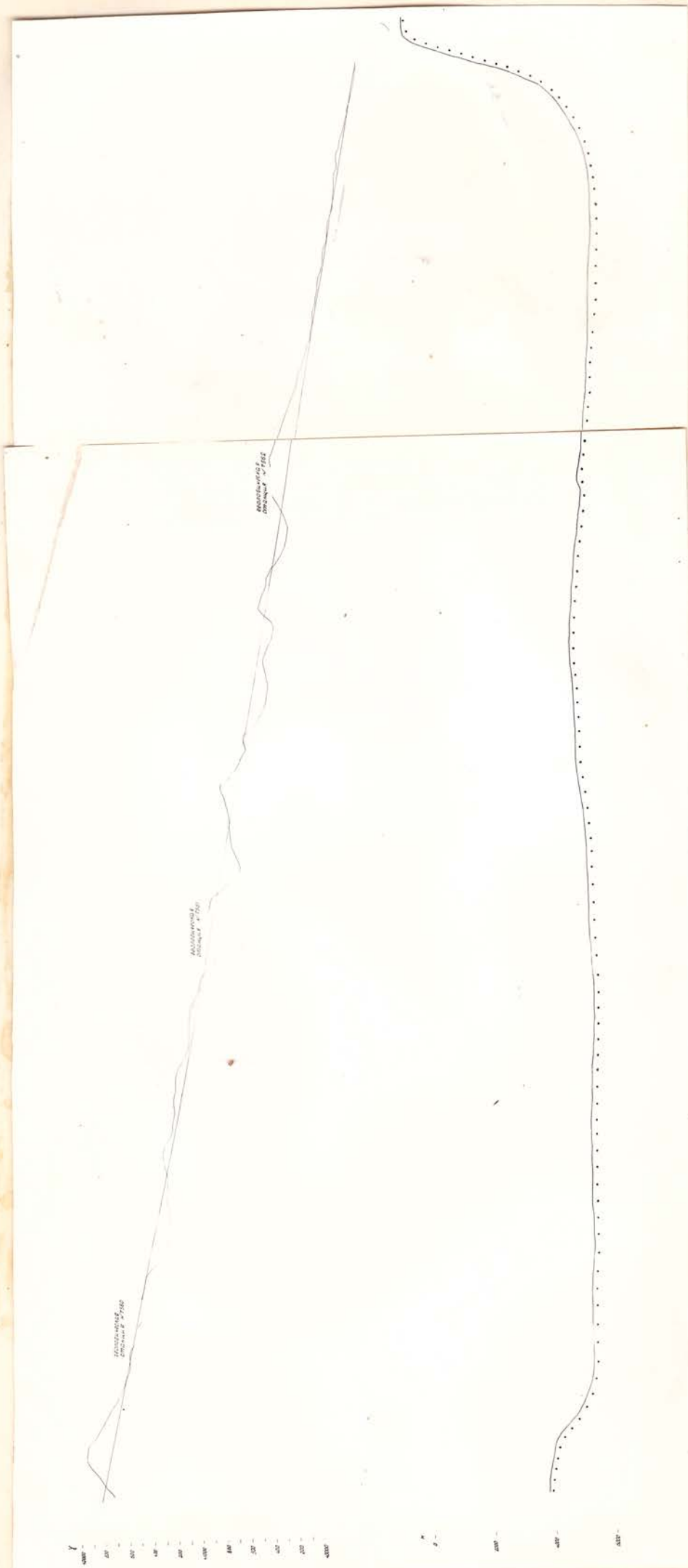
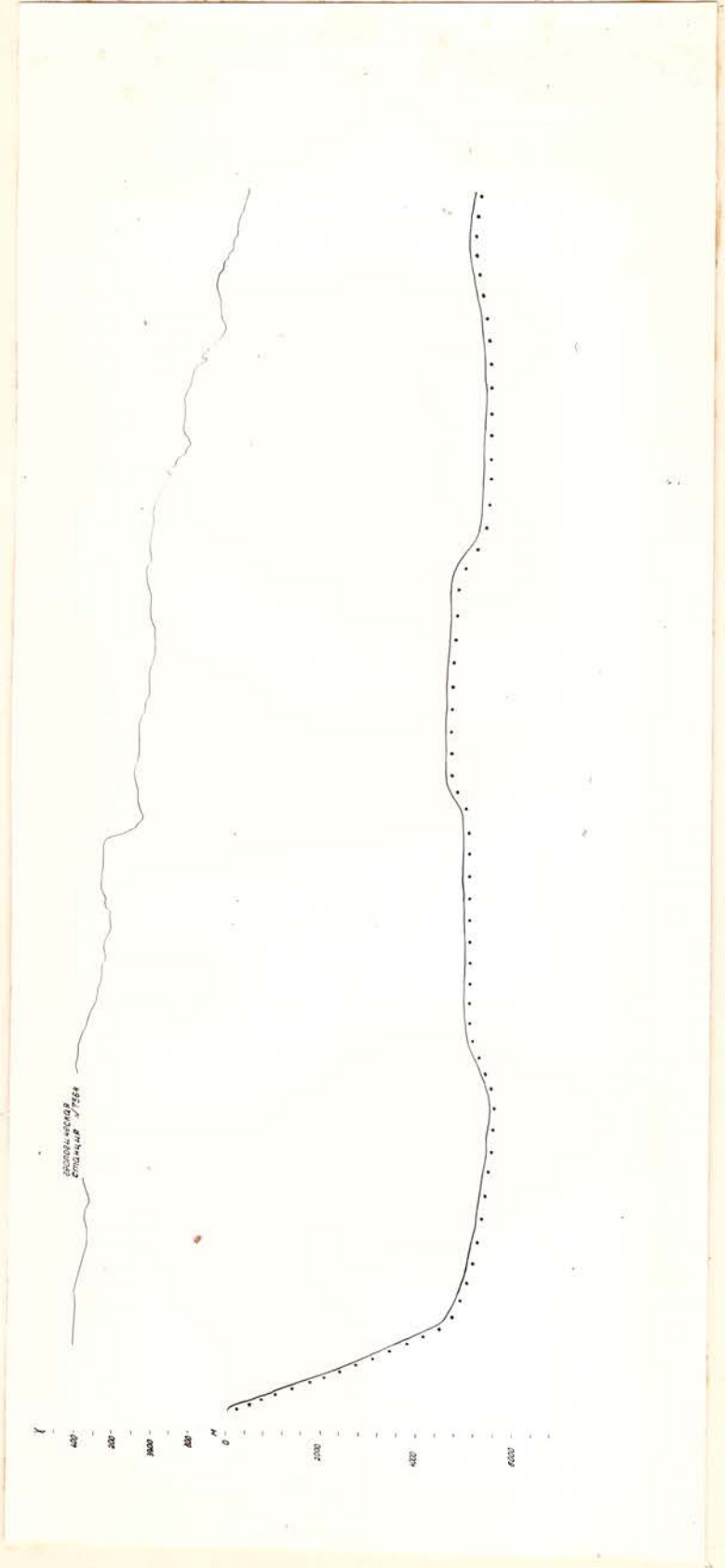


Рис. 37 Профиль № 8



Профиль № 9

Рис. 38

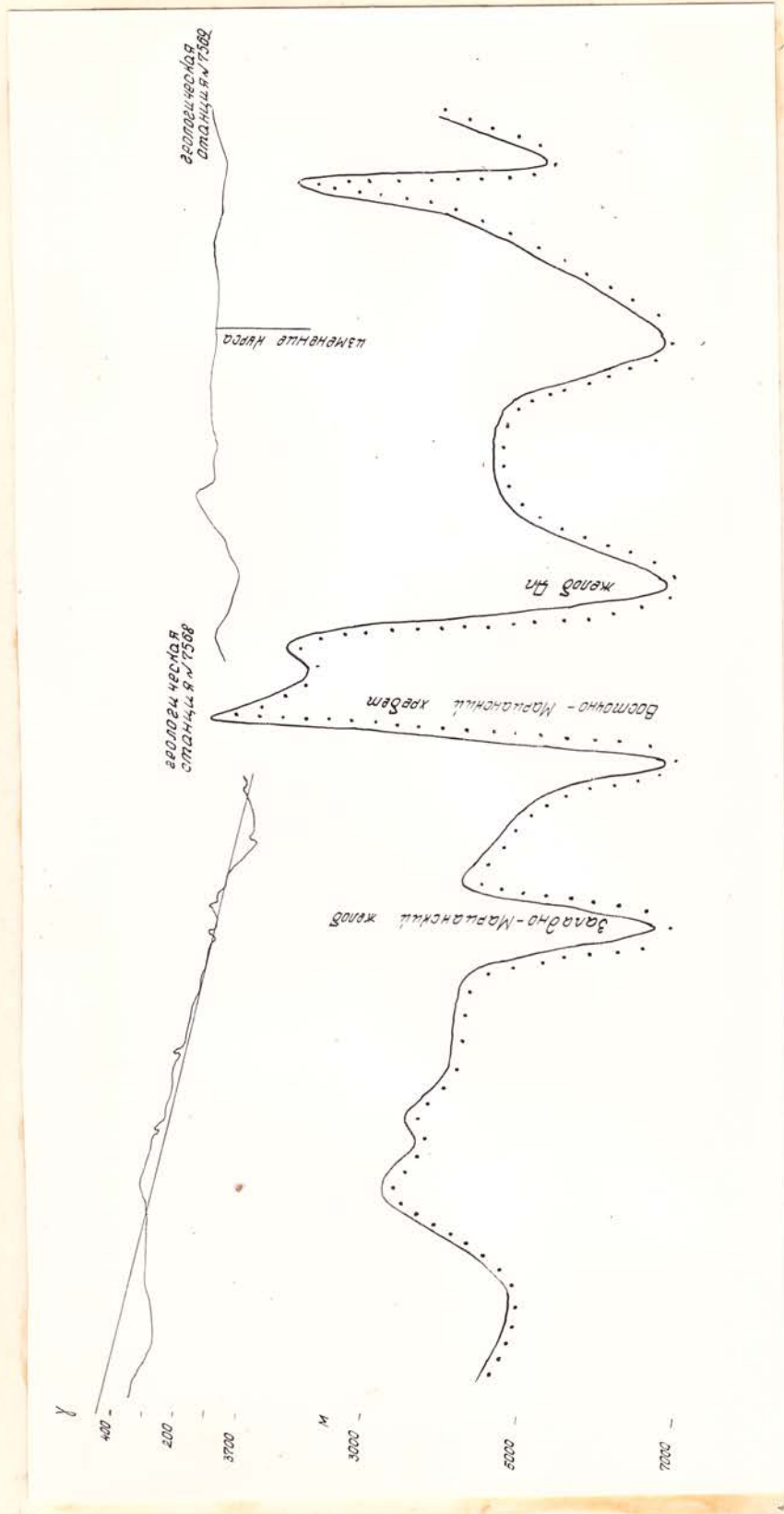


Рис. 39 Профиль № 10

Магнитное поле на исследуемом участке слабо дифференцировано. Диапазон изменений абсолютных значений его находится в пределах $45300 \gamma - 46130 \gamma$. Незначительные изменения T по площади можно увязать с формой рельефа, нормальным геомагнитным градиентом и, возможно, магнитными вариациями. С уменьшением глубины поле увеличивается (у банки Тосабае отмечаются положительные аномалии) незначительно, что может указывать на слабую намагниченность подстилающих пород.

Профиль 8. о. Оки-Дайто - риф. Паресе-Вела

Профиль проходит почти параллельно хр. Оки-Дайто у его подножия (рис. 32). Рельеф дна довольно ровный. Корреляции магнитного поля с рельефом не наблюдается. В отличие от рельефа кривая напряженности магнитного поля изобилует аномальными формами амплитуд ($100 \gamma - 150 \gamma$). Длина волн колебаний магнитного поля по профилю, отражающих глубинное строение зоны сочленения Западно-Филиппинской впадины с хр. Оки-Дайто, 60-80 км. Возвышенность Паресе-Вела отличается отрицательной аномалией до $200/250 \gamma$.

Профиль 9. хр. Кюсю-Палау - вц. Паресе-Вела.

От рифа Паресе-Вела до ст. № 7564 профиль пройден по простиранию хребта. От ст. № 7564 профиль поворачивает на юго-восток и заканчивается в котловине Паресе-Вела. Для рельефа характерно наличие почти плоских уступов шириной 70 км на профиле и превышением 300-400 м. Эти уступы выделяются и в магнитном поле, но с некоторым смещением границ. Смещение границ в сторону нижних поверхностей обусловлено наклоном глубинных контактов блоков (рис. 33).

Профиль 10 (рис. № 39).

Профиль начинается в Западно-Филиппинской котловине пересе-

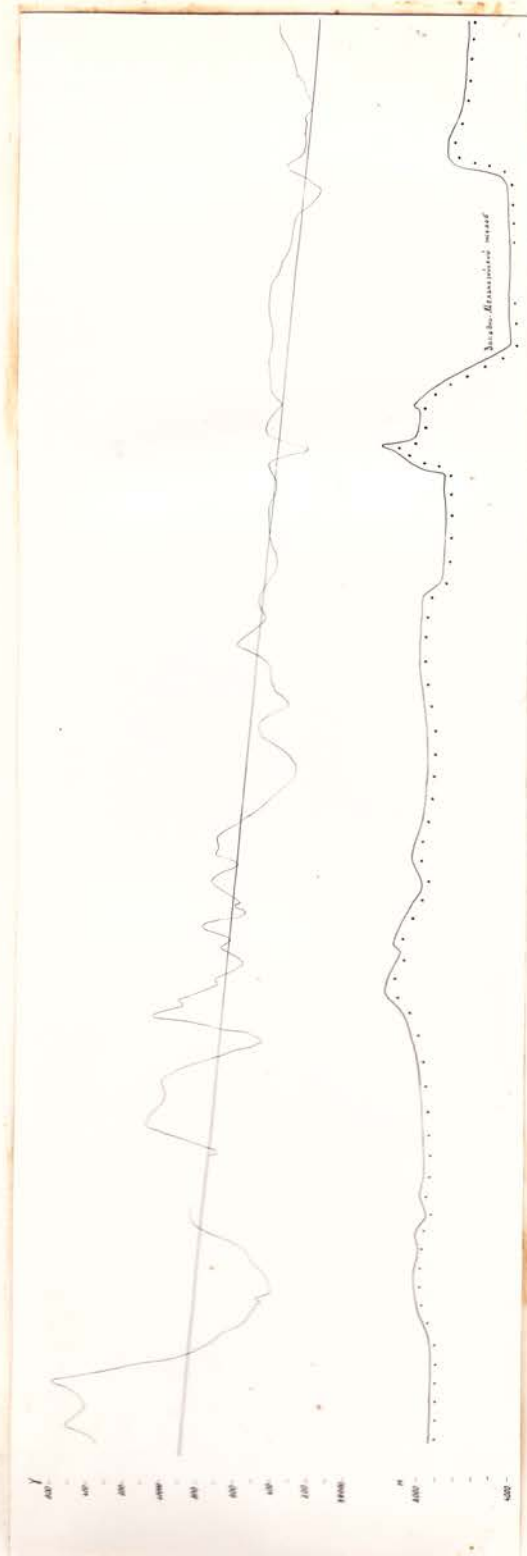
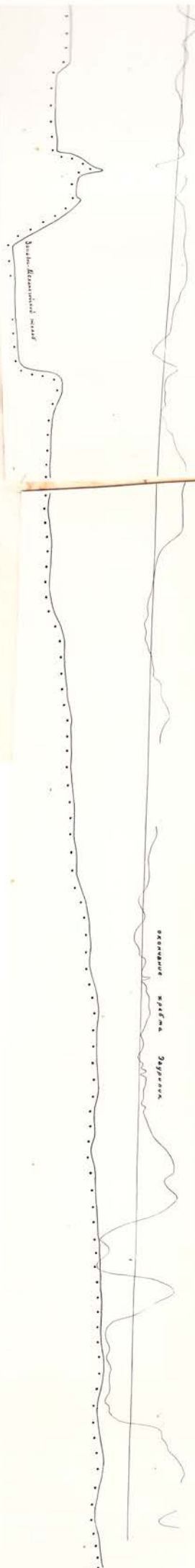


Рис. 40 Профиль № II

I



Stadium. *Stadium* *Stadium*

Stadium. *Stadium* *Stadium*

Stadium *Stadium*

K

кает возвышенность с вершиной по профилю 3200 м, затем южную оконечность Западно-Марианского желоба 6000 м и закончен на хребте Яп (рис. 39).

Магнитное поле до желоба повторяет по знаку форму рельефа, над желобом наблюдается наибольшее повышение напряженности магнитного поля (20). Желоб Яп отмечается понижением магнитного поля, затем кривая напряженности магнитного поля идет ровно, несмотря на сильно пересеченный рельеф.

Профиль № II

Профиль пройден в 40 милях к востоку от о. Новая Гвинея в Западно-Новогвинейской котловине ($IK=318^{\circ}$) и пересекает на северо-западе хребет Адмиралтейства, западное окончание Западно-Меланезийского желоба, южное окончание хребта Зауришик и закончен в Западно-Каролинской котловине (рис. 40).

В целом характер магнитного поля отражает структуру рельефа. В начале профиля наблюдаются крупные, интенсивные (100-500 гамм) аномалии от тел имеющих размеры по профилю от 5 до 20 км и загорающих на глубине от 2 до 10 км от уровня поверхности Филиппинского моря. Участки аномального магнитного поля выражаются в рельефе в виде подводных возвышенностей с перепадом высот 200-600 метров. В районе Западно-Меланезийского желоба кривая напряженности магнитного поля несколько выравнивается, наблюдаются более слабые магнитные аномалии интенсивностью 10 - 150 гамм. Затем до Западно-Каролинской котловины характер магнитного поля становится еще более плавным с длиной волны около 140 км, что вполне соответствует рельефу, а переход от окончания хребта Зауришик к Западно-Каролинской котловине резко выражен в магнитном поле интенсивными (200-300 гамм), крупными аномалиями, хотя линия рельефа остается по прежнему плавной.

Краткие выводы

В заключении необходимо отметить, что в настоящем отчете приведены результаты только качественной интерпретации материалов гидромагнитной съемки с использованием материала геоморфологических и, в меньшей мере, геологических исследований в рейсе 2 (4) "Каллисто".

Приведенное в отчете описание характера магнитного поля позволит судить о возможности применения методов качественной интерпретации на отдельных участках для определения глубины залегания и размеров магнитовозмущающих тел.

Полученные научные выводы будут так же уточнены и дополнены при совместной обработке результатов рейса 2(4) "Каллисто" и других экспедиций советских и зарубежных исследователей.

УШ ПРЕДВАРИТЕЛЬНЫЕ НАУЧНЫЕ РЕЗУЛЬТАТЫ
ЭКСПЕДИЦИИ

В результате комплексных геолого-геофизических исследований во 2(4) рейсе нис "Каллисто" большая часть поставленных в план-программе задач была выполнена успешно. Несмотря на трудности рейса связанные с неблагоприятными погодными условиями в северной части Филиппинского моря, ограниченностью времени работы на станциях и полигонах из-за малых запасов воды на судне, в конце рейса топлива, а также неполадок в двигателе, удалось собрать новый интересный материал по геоморфологии, геофизическим характеристикам морского дна, геологии коренных пород подводных возвышенностей, литологии рифового покрова и его геохимическим особенностям.

Непрерывные эхолотные промеры на переходах и детальная батиметрическая съемка на полигонах в комплексе с магнитометрическими, сейсмоакустическими и геологическими исследованиями позволили провести детальный морфоструктурный анализ главных положительных форм подводного рельефа (крупных возвышенностей, хребтов). Геологическая история формирования подводных гор в большинстве случаев связана с широким развитием вулканических процессов на дне Японского и Филиппинского морей. Основания подводных гор хребта Кюсю-Палау, возвышенности Бородино (Филиппинское море) и подводного хребта Ямато (Японское море) построены сложными вулканогенными комплексами с участием интрузивных пород не только основного, но и кислого состава, а также в ряде случаев метаморфическими породами.

Морфоструктурные особенности строения верхних частей подводных гор Филиппинского моря связаны, как правило, с развитием в кайнозой рифогенных комплексов, а для южного хребта Ямато-

- вулканических покровов.

Для южной части хребта Кюсю-Палау четко устанавливается двухчленное строение, сходное со строением "стандартной" островной дуги типа Марианской.

Магнитометрическими исследованиями удалось выявить ряд магнитных аномалий, а также получить материалы, позволяющие произвести увязку площадей с магнитометрическими съемками американских и японских исследователей в Филиппинском море. Выявленные участки магнитных аномалий позволяют наметить конкретные участки для детальных работ с выяснением природы этих аномалий.

Непрерывным сейсмопрофилированием на отдельных участках установлена мощность рыхлого покрова и его внутренняя структура, местоположение отдельных разломов.

Драгированием подводного хребта Кюсю-Палау и подводной возвышенности Бородино установлено сложное разнородное строение комплекса основания. В южной части хребта Кюсю-Палау основание подводной дуги сложено метаморфическими породами основного ряда, прорванными мелкими интрузиями гранитоидов. Последующий динамометаморфизм всех пород свидетельствует о наличии в восточной части хребта глубинного разлома. В северной части подводного хребта, а также в пределах возвышенности Оки-Дайто (Бородино) покров основания составляют вулканические постройки, перекрытые неогеновыми и плейстоценовыми рифогенными комплексами.

В Японском море при изучении типового по морфоструктурным признакам участка в пределах южного хребта Ямато установлено развитие двух разновозрастных вулканогенных комплексов и интрузивных пород, позволяющих при сравнении их состава и положения сделать вывод об идентичности геологического строения обоих хребтов Ямато

и возвышенности Оки.

Литологические и геохимические исследования позволили уточнить распределение разных типов современных и плейстоценовых осадков во впадинах Филиппинского моря, выявили влияние вулканизма на осадконакопление. Анализ этих данных с привлечением материалов глубоководного бурения с судна "Гломар Челенджер", интерпретация сейсмопрофилей выявили интересные различия в длительности и характере осадконакопления в Западно-Филиппинской и Марианской котловинах. Это проявилось в распределении илов, близких по своим особенностям к красным глубоководным глинам ложа океана. Современные красноцветные илы в Филиппинском море распространены в центральных частях Западно-Филиппинской и Марианской котловин. Хребет Кюсю-Палау, видимо, не препятствует проникновению взвеси в воде с востока на запад. Возможно в неогене и раннем плейстоцене (точная датировка не установлена) красные глины накапливались только в Марианской котловине.

Геохимическим отрядом в рейсе проделан большой объем аналитических работ по выявлению распределения в верхней части рыхлого покрова элементов группы железа, произведено изучение поведения железа, марганца, титана и других компонентов в железомарганцевых конкрециях и корках.

Предварительная обработка и просмотр микропалеонтологических препаратов выявили наличие богатых комплексов наннопланктона различной возрастной принадлежности. Дальнейшее изучение выделенных форм дает возможность разработки стратиграфических схем по наннопланктону Дальневосточных морей.

Программой рейса предусматривалась постановка опытных работ по изучению рифтовых рвов с целью выявления поступления гидротермальных

глубинных растворов.

Намеченный по программе полигон (№ 3) в восточной части Тайваньского разлома из-за неблагоприятных погодных условий в этом районе в запланированный период работ, а также из-за поломок в главной машине, отработать не удалось.

Тем не менее, была сделана попытка обнаружить гидротермально-измененные отложения в исходных тектонических условиях на западном окончании Тайваньского разлома, у стыка его с желобом Нансей. При благоприятных погодных условиях, позволивших брать эхолотные промеры на предельных для эхолота глубинах, было отобрано несколько проб прямоочными трубками. Гидротермально-измененных пород не было обнаружено, что позволяет в дальнейшем исключить обследованный участок рифтового рва для решения проблемы поступления глубоководных гидротермальных растворов из недр Земли.

Л И Т Е Р А Т У Р А

А. Опубликованная

- Безруков П.Л., Лисицын А.П. Классификация осадков современных морских водоемов. - Тр. Ин-та океанологии АН СССР, т. 32, 1960, стр. 3-14.
- Безруков П.Л., Петелин В.П., Алексина И.А. Типы осадков, их распространение и состав. - В кн.: Тихий океан, т. I, 1970, стр. 170-236.
- Безруков П.Л. Основные научные результаты 54-го рейса НИО "Витязь" в Индийском и Тихом океанах (Февраль-май 1973 г.) - "Океанология", 1973, т. 13, вып. 5, стр. 321-326.
- Берсенев И.И. Опыт геологической съемки материкового склона в пределах акватории залива Петра Великого (Японское море). В сб. "Вопросы геологии дна Японского моря". Владивосток, 1973.
- Берсенев И.И. О происхождении и развитии архипелага Сахалина и прилегающих к нему морфоструктур (Филиппинское и Восточно-Китайское моря). - В сб. "Геология окраинных морей Тихого океана", Владивосток, 1975, стр. 162-170.
- Васильев Б.И., Маркевич П.В. О геологическом строении возвышенности Имато (Японское море). В сб. "Вопросы геологии дна Японского моря". Владивосток, 1973.
- Васильев Б.И. Новые данные о геологическом строении подводных возвышенностей Аматс и Бороцно в Филиппинском море. - В сб. "Вопросы геологии и геофизики окраинных морей северо-западной части Тихого океана", Владивосток, 1974, стр. 122-127.
- Городничкий А.М. О структуре аномальных геофизических полей над подводными возвышенностями, "Океанология", 1975, том XV, в 2, стр. 276-281.

Инструкция по промеру (ИП-64), Москва, 1964.

Инструкция по маршрутному промеру (ИМП-74), Москва, 1974.

Казанский Б.А. "Об интерпретации батиметрических функций некоторых морей и котловин переходной зоны Тихого океана". - В сб. "Вопросы геологии и геофизики окраинных морей северо-западной части Тихого океана, Владивосток, 1974, стр. 181-185.

Канаев В.В., Неймен В.Г., Парин Н.В. "Индийский океан", М., 1975.

Кариб Д. П. Происхождение и развитие окраинных бассейнов западной части Тихого океана. - В сб. "Новая глобальная тектоника", М., 1974, стр. 266-288.

Карп Б.М., Куликин Р.Г. (отв. ред.). Геофизические исследования в Японском море. ТМ АН СССР, Владивосток, 1972.

Ларсон Е.К. Внутренние волны. - В кн. "Океанографическая энциклопедия", Л., 1974, стр. 109-113.

Лельков Е.П., Масильев Б.И. О границах подводной возмущенности дна (Японское море). В сб.: "Вопросы геологии и геофизики окраинных морей северо-западной части Тихого океана". Владивосток, 1974.

Лушинский И.В. "Основы палеовулканологии", том. I: "Современные вулканы", М., 1971.

"Методические указания по сбору сведений для корректуры навигационных карт и руководств для плавания" (Дополнение к ИП-64), М., 1967.

Монин А.С., Каменнович В.М., Корт В.Г. "Изменчивость мирового океана", Л., 1974.

Репчева М.А. Современные донные отложения Японского моря. В сб. "Вопросы геологии дна Японского моря", 1973, стр. 66-90.

- Романкевич Е.А., Безруков П.Л., Баранов В.И., Христианова Л.А. Стратиграфия и абсолютный возраст глубоководных осадков западной части Тихого океана. - "Океанология", 1966, № 14, стр. 1-157.
- Руденко М.В. Подводные горы Атлантического океана. Известия Всесоюзного географического общества, 1975, № 4, стр. 295-301.
- Сажно В.Г., Васильев Б.И. "Базальтоиды дна Японского моря". В сб.: "Вопросы геологии и геофизики окраинных морей северо-западной части Тихого океана". Владивосток 1974.
- "Строение подводной возвышенности Ямато (Японское море) по геофизическим данным". Под ред. В.В. Федянского. Изд-во Московского университета, 1975.
- Тихий океан. Садкообразование, ч. I, 2. М., 1970.
- Шени А.В., Рогова А.А. Сб. "Методы химического анализа минерального сырья", вып. 9. М., "Недра", 1965, стр. 63.
- Уда М., Филиппинское море и воды южнее Японии. В кн.: "Океанографическая энциклопедия", Л., 1974, стр. 559-564.
- Удлинев Г.Б. "Геоморфология и тектоника дна Тихого океана" (Тихий океан", т. 5). М., 1972.
- Уено Н., Канеска И., Озима М., Дзася С., Ивабучи Е. Калий-аргоновый возраст, отношение изотопов стронция и отношение калия к рубидию в вулканических породах со дна Японского моря. В сб.: "Глубинная структура дна морей и островных дуг". Тр-ды СахНИИ, вып. 33, В-Сах., 1972.

- Ушакова М.Г. Биостратиграфическое значение кокколитофорид на примере донных отложений Тихого океана. Ископаемые водоросли СССР. М., "Наука", 1966.
- Ушакова М.Г. Кокколиты во взвеси и в поверхностном слое осадков Тихого и Индийского океанов. - В кн. Основные проблемы микропалеонтологии и органического осадконакопления в океанах и морях. М., "Наука", 1969.
- Ханин В.Е. "Общая тектоника", М., 1973.
- Чайников В.И. Некоторые свойства глубоководной пирокластике в Японском море в связи с проблемой подводного вулканизма. - В сб. "Геология окраинных морей Тихого океана", Владивосток, 1975, стр. 96-100.
- Шарапов И.И. Зонный распределения высот рельефа. - В сб. "Рельеф Земли и математика", М., 1967.
- Шепард Морская геология. "Недра", 1969.
- Эрлих Э.Н. Некоторые вопросы морфологии вулканических построек, "Известия АН СССР, серия геологическая", 1971, т. 8, стр. 128-131.
- Эрлих Э.Н., Меленеско Н.В. Четвертичный вулканизм западной части Тихоокеанского бассейна. - В сб. "Кислый вулканизм", М., 1973.

В. Ч О Н Д О В А

- "Отчет о научных исследованиях в 47 рейсе нис "Витязь" 5 марта - 31 марта 1970 г. Институт Океанологии им. П.П.Ширшова АН СССР Тихоокеанское отделение, Владивосток - Москва, 1970.
- "Отчет о геолого-геофизических исследованиях в 14-м рейсе нис "Первенец", Институт океанологии им. П.П.Ширшова АН СССР, Тихоокеанское отделение, Владивосток, 1973.

Ответ по теме: "Комплексное геолого-геофизическое изучение мелководий и континентального шельфа залива Петра Великого", ч. I, Владивосток, ТОН, 1974.

"Ответ о научных исследованиях в I-м рейсе на "Кадлисто", ТОН ДВНЦ АН СССР, Владивосток, 1974.

Birney A.R., Oceanic volcanism: a review, "Reviews of geophysics and Space Physics", 1971, vol.9, N3, pp.523-556.

Bramlette M. Discoaster and some related microfossils. Geol. survey professional paper., 1956.

Bukry D. Coccolith stratigraphy. Deep sea drilling project. 1969, leg 6, pp.965-1004.

Connelly J.B., A structural interpretation of magnetometer and seismic profiler records in the Bismark Sea, Melanesian archipelago, "Journal of the Geological Society of Australia", 1974, vol.21, pp.4, pp.459-469

Deflandre G. Sur les nannofossiles calcaires et leur systematique Rev. micropaleontol., 2, N3, 1959.

Garrison R.E., Schlanger S.O., Wachs D., Petrology and Paleogeographic significance of Tertiary nannoplankton - foraminiferal limestones, Guam, "Palaeogeography, Palaeoclimatology, Palaeoecology", 1975, vol.17, pp.49-64.

Gasiorowski S.M., Possible significance of internal waves for underwater erosion, "Rocznik polskiego towarzystwa geologicznego", vol.44, fasc.2-3, pp.181-191, 1974a.

Gasiorowski S.M., Features of sedimentary rocks possibly due to internal waves, "Rocznik polskiego towarzystwa geol

gicznego", vol.44, fasc.2-3, pp.193-201, 1974o.

Hanzawa S. Micropaleontological studies of drill cores from a deep well in Kita-Daito Zima (N.Borodine Is.). Yubilee publ. Prof.H.Yabes' 60th birthday, vol.2., pp.755-802, 1940.

Hekel H. Nannofossil biostratigraphy. Deep see drilling project 1972, leg 20, pp.221-247.

Karig D.E., Structural history of Mariana Island arc System, "Geological Society of America. Bulletin", vol.82, N2, pp.323-344, 1971.

Karig D.E., Ingle J.C., Bouma A.H., Ellis H., Heill N., Koizumi I., Macgregor I.D., Moore C., Ujlie H., Watanabe T., White S.M., Yasui M., Yi Ling H., Origin of the West Philippine Basin. "Nature", vol.246, pp.458-461, 1971.

Karig D.E. and Moore C.F., Tectonic complexities on the Bonin Arc System, "Tectonophysics", vol.27, pp.97-118, 1975.

Ludwig W.J., Den N., Murauchi S., Seismic reflection measurements of Southwest Japan margin, "Journal of Geophysical Research, vol. 78, N14, pp.2508-2516, 1973.

Martini E. and Bramlette M. Calcareous nannoplankton from the experimental Mohole drilling. J.Paleont., 37, N4, 1963.

Müller C. Calcareous nannoplankton. Deep see drilling project 1972, leg 25, pp.579-633.

Мору, Акио, Подводная топография Филиппинского моря (на яп. языке) "Тигаку дзасси", т.79, №5, стр.243-265, 1970.

Murauchi S., Den N., Asano S, Hotta H., and other "Crustal Structure of the Philippine Sea". Journal of Geophysical Research, vol.73, N10, 1968.

- Quest to the birthplace of earth's crust (anonymous), "Science news", vol.105, N22, pp.345-346, 1974.
- Sato T., Ono K. The Submarine geology off San'in District, Southern Japan Sea. "Тихоокеанский", vol.70, N827, 1964.
- Stepanov G.I., Remnant arcs: a discussion, "Geological Society of America Bulletin", vol.84, pp.1493-1497, 1974.
- Tabata, Kiroku, Submarine Topography and Bottom Characters of Yamato Rise, the Sea of Japan, "Bulletin of the Japan Sea Research Institute Kanazawa University", N4, pp.57-69, 1972.
- Western Pacific floor. Leg.31."Geotimes", vol.8, N10, 1973.

А. Каталог геологических станций по коренным породам

Приложение № 1

№ п/п	№ ст.	Координаты	Геологическая характеристика	Прибор	Гориз.	Краткая характеристика пород	№ образцов
1	2	3	4	5	6	7	7
1.	7505 500-400	39°23.7' сш 135°40.15' вд	Восточный склон Ивского хребта подвойной возвышенности Лямато	Долгота	-	Талечный материал, 1-1,5 кг преимущественно андезит-базальтового и андезитового состава. Обр. 7505/1 Андезит-базальты, 3 угловатых обломка. Обр. 7505/2 Щебень андезит-базальтов 2-2,5 кг Обр. 7505/3 Глыба андезита 70x60x50, скатанная Обр. 7505/4	
	7507 600-500	39°20.28' сш 135°39.5' вд	-	-	-	Талечный материал, 10-15 кг. По составу преобладают гальки андезитов, андезит-лазитов, фелзит-пойфитов, реже встречаются андезит-базальты, отмечены единичные гальки гранитоидов. Обр. 7507 Щебень, 10-15 кг, представлен мелкими (до 3 см) обломками эффузивных пород среднего и основного состава, более кислые разновидности имеют резко подчиненное значение	
	7507 600-500	-	-	-	-	Угловатые обломки, 20 кг размерами 3-15 см, среди которых по составу выделяются: 1. Основные породы - базальты, Обр. 7507/28, 29, 31; андезит-базальты Обр. 7507/33; диабазы Обр. 7507/145	

туой андезито-базальтового состава - обр. 7507/22, 27, 30, 32, 34, 35, 36, 37

2. Средние породы (преобладают средние обломков) - андезиты обр. 7507/13, 26, 26^а, андезито-лавы - обр. 7507/15, 19, 19^а, 216, 24, 25; лава - обр. 7507/10, II, 16, 17, 39, 39^а, 40; лавиты - обр. 7507/12, 12^а, 20^а, 20^б

3. Кислые породы - остроугольным габ 20х40 гранодиорита - обр. 7507/23 и граносиениты (?) - обр. 7507/13; фельзиты - обр. 7507/21, 41; фельзит-порфиры - обр. 7507/6, 7, 8, 9; кварцевые порфиры - обр. 7507/2, 3, 4, 5, ороговидованные (?) породы - обр. 7507/38; окварцованные фельзиты - обр. 7507/42, 43; кварциты - обр. 7507/43^а, 21^а; минеральный обломок кварцевой лава обр. 7507/1

Галечный материал 3-5 кг представлен преимущественно мелкой галькой, 1-2 см, уложенной в разрезу орудной. Гальки разн. 2-8 не более 20%. Состав гальки не определен обр. 7508.

Щебень обломки плоские, остроугольные, размер 1-5 см, обр. 7508-А - остатки переобработанного мелкого щебня. Среди более крупных обломков отмечаются следующие разновидности:

мелкий сизон Из- Драга
ного хребта под-
водной взвышен-
ности Дыкто

7508 — 39°20.43.оп
700-600 135°39.2 нд

1 2 3 4 5 6 7

Базальты (обр. 7508/16, 20, 22, 22а, 23) и пещонне туфи базальтов (обр. 7508/18)

Анлезиты (обр. 7508/6, 14, 21), туфа анлезитов (обр. 7508/10, 15) и анлезито-лаштон (обр. 7508/17)

Лаштон-коралл - обр. 7508/7

Лаштон (обр. 7508/4) и лаштонове порфири (обр. 7508/11, 13)

Трансформити (обр. 7508/1, 1а, 9) и трансформит-порфири - обр. 7508/12

Фельзиты - обр. 7508/5

Кварцеве порфири 7508/3

Сварцованне абузини и туфа кирлого состава - обр. 7508/19а, 19б, 24.

Кварциты 7508/2

Роговики 7508/3

Обломки целки 7508/25

Обломки базальтов с марганцевыми корнями 7508/25а

Полиито 10 кг полуокатанных обломков и гальки 1-2, 5 кг.

Галька мелкая, 2-5 см, средняя (0 см) составляет 10%. Состав гальки в полежек уловянок не описывается. Обр. 7518.

Среди полуокатанных обломков выделены следующие разновидности пород:

Анлезито-базальты - обр. 7518/1, 4, 6, 7. Мелкая просесть и вулканические бомбы и лаштон (?) базальтов - 7518/А.

7518 $39^{\circ}21' . 43''$ см
 750-650 $135^{\circ}37' . 75''$ см

восточный склон Лешонского хребта по направлению возвышенности Лешон

дрова

Фельзит-порфир - 7518/9

Брекчия/Фельзит-порфира 7518/2

Кварцевые порфиры 7518/8

Мелкий щебень эффузивных и субвулканических пород, неразобраный -- обр. 7518/10

Песча 7518/3

Кварциты 7518/5

Драгой породы большое количество или (120-150 кг) с галькой, щебнем и более крупными угловатыми обломками

Среди галечного материала преобладают андезиты (обр. 7519/а) и андезитобазальты (обр. 7519/б). В подчиненном положении гальки андезито-лацитов, кварцевых порфиров, кварцитов. Отмечены единичные гальки магнитофарфиров, туфов кв. порфиров, микропорфиров (обр. 7519/в)

Среди угловатых обломков отмечаются:

Базальты - обр. 7519/10

Андезито-базальты - обр. 7519/1, 2, 3, 3а, 4

Андезиты 7519/5, 6, 7, 8, 8а, 9, 12, 15, 15а

Андезито-лазиты обр. 7519/11, 17

Лазиты - обр 7519/14

южный склон Южного хребта подводящей возвышенности Ямбго

драга

-

7519 39°21' 83" сш
700-620 135°37.6 вд

Гидр псефитовый лапидового состава
обр. 7519/13

Фельзит-порфир обр. 7519/16, 18
Кварцевые порфиры обр. 7519/19, 21,
22, 23, 24, 25, 26

Туман кв. порфиров 7519/20

Подняты единичные гальки ангезитов
и кварцитовид. пород - обр. 7520/1;
1 гинса роговообманкового ангезита
45x30x25 обр. 7520/5;

Мелкий щебень базальтолов, 1, 5-2кг
обр. 7520

Полукатаные крупные обломки, 6-15
8-10 кг, среди которых отмечают-
ся следующие породы:

ангезито-базальты - обр. 7520/2, 3,
4, 4а

Ангезиты - обр. 7520/6, 6а, 7, 7а,
7б, 7в, 8, 9

Ангезиты роговообманковые (?) -
7520/5-1

Ангезито-лапиды - 7520/11

Лапиды - 7520/12а, 12б, 12в

Лапидовый порфир 7520/10

Камни склон Юж-
ного хребта под-
водной возвышен-
ности Ямато

7520 39°21.95'
600-500 135°37.25'

драга

--

I	2	3	4	5	6	7
7521	39°17.4' СШ	Иваный хребет под- водной возвышен- ности Ямвго	драга			Пемза, окатанные обломки размера- ми 2-5 см Обр. 7521/1
1300-1200	135°45.5' ВД					Галька базальтоидов, уплощенная, хорошо окатанная, размерами 1,5- -6 см Обр. 7521
7522	39°17.72' СШ					Пемза, слабоокатанные обломки, 1- -3 см Обр. 7522/1
1000-950	135°46.35' ВД					Галька (5 шт.), плотная и изометри- чная Обр. 7522
7523	39°17.15' СШ					Базальт, угловатый обломок, со сле- дами следами окатанности 5x8 см Обр. 7523/1
1000-950	135°46.25' ВД					Анцит, угловатый обломок, со следя- ми окатанности, светлосерый. Раз- мер 10x10 см. Обр. 7523/2
						Пемза, окатанные обломки 2-3 см изометричные. Обр. 7523/3
7529	29°51.6' СШ	склон подводн. возвышенности Комыхася-Дайни				Галька, средней и хорошей окатан- ности, уплощенная. Размеры 1-9 см, ≈ 1 кг. Обр. 7523
700-650	133°18.0' ВД					Конcretion железомарганцевые, нес- колько концентрически-слоистые тех обломков (2-3 см) черно-бурог- цвета. Обр. 7529
7530	29°53.5'					Кварцевый шпатель (?), угловатый обломок 18x14x10. Порода мелкокри- сталлическая, серо-зеленого цвета, состоит из полевых шпатов и т/цв минералов с редкими зернами кварца Обр. 7530. Отмечается довольно мощ- ная (> 1 см) железомарганцевая
1050-1100	133°17.4'					

I	2	3	4	5	6	7
7532	700-550	<u>29°50.3</u> <u>133°19.6</u>	склон подводн. возвышенности Комахаши-Дайни	драга		корка, Обр. 7530/a Известняки органогенные, глина размером 50x30x25 Обр. 7532/1, 2 По поверхности глины мощная железомарганцевая корка Песчаник известковистый Обр. 7533
7533	1600-1550	<u>29°51.5</u> <u>133°19.5</u>	" "	"		
7554	2000-1900	<u>24°33.5</u> <u>130°56.4</u>	В 12 миллх к СЗ, восточный склон хребта	"		Железо-марганцевые корки Обр. 7554/1, 2, 3, 4, 5, 6, 7, 8
7555	2400-1900	<u>24°29.0</u> <u>131°01.9</u>	Зап. склон возвышенности, в 6 миллх к СЗ от острова Скинадайт	"		1. Известняки органогенные Обр. 7555/1, 2 2. Железо-марганцевые корки Обр. 7555/3 3. Железо-марганцевые конкреции, Обр. 7555/4
7556	2600-2300	<u>24°21.3</u> <u>130°58.0</u>	в 12 милл. от острова, западный склон небольшой возвышенности	"		1. Железо-марганцевые корки Обр. 7557/1 2. Известняк Обр. 7557/2 3. Пемза Обр. 7557/3
7557	2900	<u>24°27.5</u> <u>131°01.5</u>	в 12 миллх к западу от о. Скинадайт, склон подв. возвышенности	"		Примазки ила на стенках драги
7563		<u>20°25.0</u> <u>163°05.0</u>	Риф Паресе-Вела	скалы		1. Известняк коралловый Обр. 7563/1a 2. Известняк роговидный Обр. 7563/1 3. Известняк белый, сахаровидный Обр. 7563/2

~~Н О Д Л Е В О Д И Т А~~

Полигон №4

7576	8°57.45
4300-4100	134°46.35
7577	8°56.25
3200-3100	134°45.25

восточный склон
южной части хр.
Кюср-Палау

восточный склон
хребта

драга

Кол-во
м. л. по раб.
теплицы Ю.В. Евн.

Сланцы
Несколько
глыб (до 40 см)
+ обл.
Вулкан сланцем
представляет

2 м. бл. (-15x20 см)
неск. экземпляров

На все ур. мин.
Заб. мест. обл.

4. Деструктивный материал, выполненный из пустоты в известняках Обр. 7563/3
- Пемза, мелкие окатанные обломки серого цвета
- Всего ~ 80-100 м пород
1. Сланцы амфиболово-сланяные зеленые Обр. 7577
 2. Сланцы амфиболово-хлоритовые, темно-серые, мелкочешуйчатые Обр. 7577/1
 3. Сланцы биогит-хлорито-флогонитовые крупночешуйчатые Обр. 7577/2
 4. Сланцы слюдясто-эпидотовые мелкочешуйчатые. Обр. 7577/3
 5. Габбро (?) метаморфизованное зеленое-каменное-измененное Обр. 7577/4
 6. Зеленые породы с порфиробластной структурой Обр. 7577/5
 7. Габбро (?) амфиболитизированные Обр. 7577/6
 8. Граниты (?) роговообманковые средне-кристаллические с признаками разгнейсования в виде маломощных жил в таборонцах Обр. 7577/7
 9. Сланцы сланяные, Обр. 7577/8

7577
3200-3100

- 10. Грейзентрированное (?) породы Обр. 7577/9, 18
- 11. Граносиенити (?) мелкокристаллические Обр. 7577/10
- 12. Ороговевшие породы зоны эндоконтакта Обр. 7577/11
- 13. Гранодиориты разгнейсованные, Обр. 7577/12, 13, 14
- 14. Контактное-измененные породы с полосчатой текстурой Обр. 7577/15

10 обр.
от 2 до 8 см.

Все в граниты

Кислотного
кислотных (до 1 см)
обр.

В сааму бы.

Кислотного
мелких обр.

Поднято ~ 50-80 м. порб.

7578 8° 59.7' Восточный склон
3400-3200 134° 45.28' Хребта Кисе-Ца-
лау

драга

1. ~ 20 см.
2. более 10 обр.
5-20 см.

1 обр. (~ 15 см)

?

- 15. Сланцы метаморфические, кристаллические, кварц-хлоритовые (?) Обр. 7577/16
- 16. Кварц молочно-белый из прожилков в метаморфических сланцах Обр. 7577/17
- 1. Сланцы амфиболово-сланцевые мелко-еуливатые Обр. 7578, 7578/1
- 2. Сланцы амфиболово-хлоритовые с редкими порфириобластами розовых полевых шпатов Обр. 7578/2
- 3. Таббро роговообманковое, Обр. 7578/3
- 4. Таббро скритокристаллическое из зоны эндоконтакта Обр. 7578/4

7578

5. Габброиды рассланцованные и выветрелые, зеленовато-бурые. Обр. 7578/5, 6

2 мм. одл. ← 7578/6

6. Габбро-диориты зеленовато-серые, мелкокристаллические. Обр. 7578/7

Все граниты - 10
неод. одл.

7. Граниты и гранит-аллигиты розовато-серые, разнотельные. Обр. 7578/8) в виде км в метаморфических сланцах - обр. 7578/9

8. Гранит-аллигит (?) роговообманковые мелкокристаллические. Обр. 7578/10

4-5 мм. одл. ←

9. Аллигиты, светло-серые и белые, мелкокристаллические. Обр. 7578/11, 12

конт. урн. пор. ←
~2 кг. аллигит.

10. Роговики зеленовато-серые и светло-серые, иногда полосчатые и с прожилками кварца. Обр. 7578/13

в сланцах. ←

11. Сланцы слюдяные, бледные по составу к обр. 7578/13, осветленные и окварцованные. Обр. 7578/14

несколько мм. одл. (обс.) ←

12. Кварц молочно-белый и полупрозрачный из прожилков и метаморфических сланцах. Обр. 7578/15

~5,6 мм. одл. ←

13. Грейзенизированные породы. Обр. 7578/16

Вусем - сланцы руж. тмод. по массе и кварцу.

7579	8°51.95			Зобл.	1. Известняк фораминиферный Обр. 7579/1
1900-1800	134°35.75			(6x4cm) один сст.	2. Известняк органогенно-обломочный Обр. 7579/2
				(4x1.5)+(2x3cm) 2 сст.	3. Известняк коралловый Обр. 7579/3
				1 сст < 6cm	(?) 5. Сланец слюдястый Обр. 7579/5
				Зобл. > 10cm + мисс. м. мисс.	6. Туфошесчаник тонкозернистый Обр. 7579/6
7580	8°50.6		Юго-западная часть полигона, восточный склон холмистого хребта, резко расчлененный каньонами	Драга	1. Туфы псаммитовые петрогристаллы-кварцевые андезитового состава Обр. 7580, 7580/1
2200-2100	134°37.4			"	2. Мелко-мелкозернистые кораллы по туфам андезитов Обр. 7580/2
7581	8°54.86		Юго-западная часть полигона, западный склон, западного хребта	"	1. Известняк (известковый брекчия?) Обр. 7581/1
1300-1200	134°33.55			(11x9cm) 2 сст. вост.	2. Пемза кислого (?) состава, окатанная обломки. Обр. 7581/2
7582	8°51.75		Юго-западная часть полигона, восточный склон западного хребта	"	1. Аргиллит. Обр. 7582/1
2400-2350	134°37.35			1 сст. ~ 5cm.	2. Туфошесчаник известковистый Обр. 7582/2
				80-100cm	3. Пемза кислого (?) состава Обр. 7582/3
7585	8°56.2		Восточный склон восточной части хребта Кислю-Палау	Всё сст. - и сст. - вост. м. м. м.	1. Сланец амфиболово-сланцевый Обр. 7585/1 (~ 50cm)
4300-4150	134°46.1			Всё сст. - и сст. - вост. м. м. м.	2. Зеленокаменно-измененные породы Обр. 7585/5

1	2	3	4	5	6	7
	7585	8°56.2	(?)	Дрега	-	3. Габбро широкосное (?) Обр. 7585/2
	4300-4150	134°46.1	Восточный склон вншней части хребта Квсю-Пылау			4. Габбро-роговообманковое. Обр. 7585/3
					<i>сдвиг обр.</i>	5. Габбро-диабаз. Обр. 7585/3
						6. Габбро лейкокрайтовое (габбро-анингит?). Обр. 7585/8
					<i>сдвиг обр.</i>	7. Габбро-диорит. Обр. 7585/4
						8. Диорит. Обр. 7585/7
					<i>Все гранитоиды</i>	9. Гранитоиды разгнейсованные. Обр. 7585/14
					<i>(исключено мелкое обр.)</i>	10. Граниты роговообманковые. Обр. 7585/13
						11. Гранит-аппит. Обр. 7585/10
					<i>Дкруп. + некк. мелкие обр.</i>	12. Аппит. Обр. 7585/11; 7585/16; 7585/18; 7585/20
						13. Гранодиорит. Обр. 7585/12
					<i>сдвиг обр.</i>	14. Грейзенизированные породы. Обр. 7585/14
						15. Ороговкованные породы. Обр. 7585/19
					<i>мелкие редкие обр.</i>	16. Контакторо-измененные породы Обр. 7585/6; 7585/17
						17. Андезит-диорит (?) Обр. 7585/21
						18. Пемза светло-коричневая, окатанные обломки. Обр. 7585/22
					<i>сдвиг мелкое обр.</i>	19. Мелкий кварц, угловатые обломки Обр. 7585/23

Б. Каталог геологических станций по раклим осадкам

Приложение Б

№ станции	Координаты широты, долготы	Геоморфологическая привязка	Прибор	Горизонт	Краткая характеристика горных пород, в образце	
1	2	3	4	5	6	7
7509	39°21.50' с. ш. 135°42.25' в. д.	Японское море, Восточный хребет возв. Ямато, Игато	Дювер-пат.	0-5	Песок среднезернистый полимиктовый, серый с зеленоватым оттенком, плотный однородный, неслоистый.	
7510	39°21.75' с. ш. 135°42.07' в. д.	Японское море, Восточный хребет возв. Ямато, Игато	" "	0-4	Песок мелкий, полимиктовый серый с зеленоватым оттенком, с фораминиферами, средней сортировки, без включений однородный, неслоистый, средней плотности.	
7511	39°20.8' с. ш. 135°42.07' в. д.	Японское море, Восточный хребет возв. Ямато, пологий склон Игато	" "	0-8	Песок среднезернистый, фораминиферовый, темно-серый с зеленоватым оттенком, средней плотности, неслоистый. Территориальная часть представлена вулканическим материалом (разрушаются базальты). В песке галька и обломки базальтов (собр. 7511а), реже встречаются кварциты.	
7512	39°19.93' с. ш. 135°38.95' в. д.	Японское море, Восточный хребет возв. Ямато, крутой склон в каньоне	трубка	0-3, 5	Крупный алевроит, темно-серый с зеленоватым оттенком, пятнистый (за счет светлых пятен неправильной формы), плотный.	
7513	39°19.48' с. ш. 135°38.23' в. д.	Японское море, Восточный хребет возв. Ямато, тальвег каньона	" "	0-2	Мелкоалевритовый ил, темно-серый, с зеленоватым оттенком, пятнистый (количество светлых пятен увеличивается к концу интервала), плотный, в конце интервала с единичной галькой. Переход от верхнего слоя постстенный.	
908					Крупный алевроит зеленовато-серый, илкий, граница с нижним слоем четкая по составу.	

Ил мелкоалевритовый светло-серый с зеленоватым оттенком, до глубины 30 см - плотный, ниже - очень плотный, с обильным включением светлых серых частиц (как в трубке 7512), комковатый, с большим содержанием фораминифер

Ил мелкоалевритовый, серый, очень плотный, с единичными линзочками (до 1 см) мелкого вулканогенного песка (черный), засорен большим количеством песчаных частиц. Стны и отливается от преддугеого интервала.

Ил мелкоалевритовый светло-серый до темно-серого, с зеленоватым оттенком, плотный; в интервале 59-70 см однородный, неслоистый, с большим содержанием фораминифер; в интервале 70-90 см - тонкослоистый за счет чередования тонких (1-2 мм) слоев беловатых (возможно целловый материал) и зеленовато-серых. Впечатление об интервале 59-90 см, что это будущий алевритовый туф.

Ил мелкоалевритовый, в интервале 0-2 - буровато-серый; ниже - белый, серый, насыщен фораминиферами
Ил алевритово-пелитовый, серый, пыльный (за счет тонких пылен), до глубины 15 см насыщен фораминиферами, ниже их меньше, ил плотный.

2-40

40-59

59-90

0-7

7-39

5

4

трубка

Ионское море, Дельта хребет возв. Милто, тальвер каньона

39°18.40' с. ш.

135°37.22' в. д.

7514

1120

- 39-44 Или мелкоалевритовый за счет обильного количества фораминифер, серый, с гнездами темно-серого, плотный, без включений.
- 44-49 Или пелитовый, серый однородный, глинистый.
- 49-102 Или пелитовый серый, на отдельных участках пилитистый, с прослоями (2-3 см) грязно-зеленого, пилитистого плотный (в интервале 64-72 см - мшистый).
- 102-112 Или пелитовый, плотный, в интервале 102-107 см - светло-серый.
- 112-127 Или алевритово-пелитовый, темно-серый до грязно-зеленого, пилитистый-слоистый, с фораминиферами (за счет их стал алевритово-пелитовый).
- 127-132 Или мелкоалевритовый, тонкослоистый (за счет чередования прослоев 1-1,5 мм) фораминифер среди илитоного материала).
- 132-132,8 Прослой стекла светло-серого мелкоалевритового, в налке состоит из острыеберных обломков стекла размером до 0,12 мм, иногда с газовыми включениями. В прослое присутствуют слои соломы карбонатных раковин (фораминифер) по составу стекло, по-видимому кислые и среднее. Гранины со слоями резкие.
- 132,8-144 Или пелитовый, темно-серый с зеленоватым оттенком, в интервале 136-137 см - мшистый, в остальной части - илитоный, без фораминифер.

1	2	3	4	5	6	7
7515	39°20.50' с. ш. 135°37.55' в. д.	Липонское море, Южный хребет возв. Ямато, склон безымянной возвышенности	Липонский дночертаг.	0-12	Песок вулканоморфный, обогащен фораминиферами, разнозернистый (о мелкого до крупного), в интервале 3-10 см с прослоем гравия (гравий базальтов) с обломками туфа базаль- тов (обр. 7515/1). Описание туфов см. ниже.	
7516	39°21.83' с. ш. 135°37.77' в. д.	Липонское море, Южный хребет возв. Ямато, подножье восточного	" "	0-3	Песок вулканоморфный, среднезер- нистый, темносерый, с большими ко- личествами фораминифер, с угловаты ми обломками базальтов (описание базальтов см. ниже), плохо отсор- тированный, средней плотности.	
7521	39°17.40' с. ш. 135°45.50' в. д.	Липонское море, Южный хребет возв. Ямато, нижняя пологая часть склона безымянной вы- соты	драга	0-5	Пелитовый или зеленовато-серый или ниий с едничной галькой кораллов окаванности размером 1,5-4 см, ов- руглая и угловатая, представлена эффузивными и осадочными породами. Галька, очевидно опесена с верхне- части склона.	
7526	39°15.0' с. ш. 135°36.3' в. д.	Липонское море, каньон на восточном склоне Южного хребта возв.	труба	0-2	Или коралловый пелитовый илличий. Или зеленовато-серый и грязно-зеле- ный, в интервале 15-30 содержат мелкие линзы, являя неправильной формы (до 3-4 мм) черноты цвета, слоенные илистые материалом; на горизонте 116 см тонкий прослой (1, 5-2 мм) светлого стекла, с рез- кими границами; в интервале 105-1. 5м в грязнозеленом или лимзочки и являя светлосерого или (1-2 мм) с неправильнымрасположением; в ин- тервале 195-200 см линзочки, являя аналогичные интервалу 105-115.	

Ил темносерый с зеленоватым оттенком с обильным содержанием фораминифер, в основании фаунистические остатки (целые и битые створки раковина перламутрового цвета).

Горизонты 2-235 и 235-240 слабой плотности с запахом сероводорода.

Здесь скальный выход коренных пород. Дюкерматель пришел вустой, но на склоне этой вершины поднята угловатые обломки базальта, снесенного с вершины.

Ил с песком и мелкой галькой. Песок мелкозернистый, серый и редкими фораминиферами.

Галька эффузивов и субвулканических пород, хорошо окатанная, угловатая и округлая (преобладает первая) размером от 1,5-3 до 8 см преобладает 1,5-3 см. Среди эффузивов в гальке преобладает андезиты и андезит-базальты, в подчиненном количестве - андезит-дациты, кварцевые порфиры, кварциты, руды др. породы.

Пелитовый ил зеленовато-серый, плотный, с единичной галькой хоней окатанности размером 1,5-4см, округлой и угловатой, представлена эффузивами и осадочными породами. Галька очевидно снесена с верхней части склона.

235-240

0-5

мночернат.

Японское море, Явний хр. возв. Имато, на изолированной вершине

39°21.90' с.ш.
135°34.90' в.д.

7517
460

драга

Японское море, Явний хребет возв. Имато, склон безымянной вершины

39°21.83' с.ш.
135°37.60' в.д.

7519
600-700

0-5

-- "

Японское море, Явний хребет возв. Имато, нижняя пологая часть склона безымянной вершины

39°17.40' с.ш.
135°45.50' в.д.

7521
1300

I	2	3	4	5	6	7
---	---	---	---	---	---	---

Крупный алевроит, коричневый, плотный (образ с грузом, из трубки осадок шпалы).

Филиппинское море, в 10 мильх к востоку от возвышенности Комехаси-Дани

Филиппинское море, колонгон # 1, склон возвышенности Камехаси-Дани

29° 59. 26' с. ш.
133° 30. 0' в. д.

7528
4680

Ил форамниферо-коколитоидный, известковый, алевроитовый, светло-серый, пыльный. В маже из 70-80% состоит из коколитов, 18-25% обломков раковин и целых форамнифер и единичных минералов и. шпала, темнеет при др. минералов. Возраст Q 4. Граница с нижним слоем резкая по цвету и плотности.

Ил форамниферо-коколитоидный, известковый, алевроитовый, светло-серый, пыльный. В маже из 70-80% состоит из коколитов, 18-25% обломков раковин и целых форамнифер и единичных минералов и. шпала, темнеет при др. минералов. Возраст Q 4. Граница с нижним слоем резкая по цвету и плотности.

Ил форамниферо-коколитоидный, известковый, алевроитовый, светло-серый, пыльный. В маже из 70-80% состоит из коколитов, 18-25% обломков раковин и целых форамнифер и единичных минералов и. шпала, темнеет при др. минералов. Возраст Q 4. Граница с нижним слоем резкая по цвету и плотности.

29° 51. 5' с. ш.
133° 19. 5' в. д.

7533
1700-1800

Ил форамниферо-коколитоидный, известковый, алевроитово-пелитовый, желтовато-светло-серый, плотный (до очень плотного). В маже аналогичен верхнему интервалу. Возраст Q₃-N₂ (7).

Ил форамниферо-коколитоидный, известковый, алевроитово-пелитовый, желтовато-светло-серый, плотный (до очень плотного). В маже аналогичен верхнему интервалу. Возраст Q₃-N₂ (7).

Филиппинское море, колонгон # 1, вершина возвыш. Камехаси-Дани

29° 50. 9' с. ш.
133° 19. 2' в. д.

7534
500

Известняки светло-серые, песчаники, неясные (обр. 7534). Подята дочерятам с скальной вершины в виде нескольких кусочков, сорванных с обнажения.

Известняки светло-серые, песчаники, неясные (обр. 7534). Подята дочерятам с скальной вершины в виде нескольких кусочков, сорванных с обнажения.

Филиппинское море, колонгон # 1, гребень возвыш. Камехаси-Дани.

29° 50. 0' с. ш.
133° 19. 5' в. д.

7535
720

На скальном гребне дочерятам сорваны мелкие розовые кораллы и подята кремниевые губки. Осадков на гребне нет.

На скальном гребне дочерятам сорваны мелкие розовые кораллы и подята кремниевые губки. Осадков на гребне нет.

Филиппинское море, колонгон # 1, гребень возвыш. Камехаси-Дани.

29° 50. 0' с. ш.
133° 19. 5' в. д.

7535
720

I	2	3	4	5	6	7
<u>7536</u>	<u>29°48. 7' с. ш.</u>	Флишинское море, по- дточери.	Со склона подиты только гравелные глыбы, (скалов-он линен.			
1100	133°19. 7' в. д.	Ледок № I, склон воз- раженности Кемьваски- Данне.				
<u>7537</u>	<u>32°38. 2' с. ш.</u>	Флишинское море, под- точье банн Тосвайн	0-5 трубка			
2600	134°33. 0' в. д.					
<u>7538</u>	<u>32°48. 3' с. ш.</u>	Флишинское море, на склоне у вершины безы- мянной горы	0-9 трубка			
	134°36. 3' в. д.					

Ил алевроитово-пелитовый бу-
ровато-серый (окисленный
слои), терригенный, слабо из-
вестковистый, хщавый (расте-
кается).

Ил пелитовый серый терриге-
ный слабо известковистый,
в лите, 5-30 мм, 30-
100 см, средней плотности,
100-262 см, плотный. На
гт. 262-268 см илкий (раз-
жеженный слой). На гт. 180 см
тонкий (1-2 мм) прослой але-
рита с феррамиферами. Ил
однородные, неслоистые с
гт. 229 см с черными комоч-
ками гилротроллита?

Песок мелкий (грунный але-
рит?) терригенный слабо из-
вестковистый, с феррамифе-
рами, зеленового-серый, очень
плотный, однородный.

Крупный алевроит зеленово-
серый терригенный слабо из-
вестковистый, с содержанием
феррамифер (10-15%), илкий

25-26 Песок среднезернистый терригенный слабо известковистый с мелкими гравиями, гравий, сред. плотность, с форамициферами.

26-45 Песок мелкий, но остальным признакам аналогичен песку инт. 25 см. В основании (44-45 см) с обильным содержанием гравия, гравий, гравий.

45-85 Крупный алевроит зеленоватосерый, терригенный слабо известковистый, с фораминиферами, плотный, в инт. 45-70 см содержание карбоната материала до 25,5%. Крупный алевроит инт. 69, 75, 82 см с тонкими прослойками и линзами (до 1 см) гравия, гравий, гравий.

85-143 Ил мелкоалевритовый зеленовато-серый слабо известковистый (СаСО3) до 14% с фораминиферами и кокколитами, в инт. 100-101 с содержанием гравия гравий до 40%, здесь же обломки древесины и двустворчатые моллюски (до 2 мм). На глубине 86 см. с окатышным обломком гравия. Ил в интервал. 85-100 см и 126-143 см - плотный, в инт. 100-126 см - очень плотный.

1	2	3	4	5	6	7
7539	29° 34.2 с. ш. 132° 08.0 в. д.	Филиппинское море, юго-восточного склона	трубна	0-10	Ил пелитовый буровато-серый (окисленный слой), илглистый, однородный, неслоистый, слабо вскапает в 10% соляной кислоте. С нижним слоем гранична резкая.	
				10-14	Ил пелитовый серый с зеленоватым оттенком, комковатый (переработанный слой).	
				14-281	Ил пелитовый серый с зеленоватым оттенком однородный. В интер. 14-190 см - илглистый, ниже средней плотности.	
				281-347	Ил мелкоалевритовый серый с зеленоватым оттенком плотный однородный, неслоистый, гранича с верхним слоем четкая по плотности и составу.	
				347-367	Грубный алеврит серый с зеленоватым оттенком, очень плотный, однородный, неслоистый, слабо вскапает в 10% соляной кислоте.	
				367-375	Ил пелитовый серый с зеленоватым оттенком, илглистый. Этот интервал, вероятно, соответствует буегт верха. Горизонту 10-35 м т.е. трубку этикали джежда (окисленный слой разбрызгало	
7540	29° 50.6 с. ш.	Филиппинское море у	трубна	0-14	Алеврит желтовато-бурый грубный известковистый, с фораминиферами (окисленный слой) жидкий.	
1280	133° 15.6 в. д.	юго-западного подножья возвыш. Камеха-си-Датни.				

I 2 3 4 5 6 7

14-85

Алюминат темносерый с эфе-
мерным стеклом крупный.
Известкоистый, фораминале-
новый, массивный, средней
плотности, в интер. 54-64 см
пятиистый с мелкими (до 0,5
см) незначительных пятнами
темнозеленого алевритового
вещества. Границы этих
включений резкие.

85-175

Алюминат крупный известкоис-
тый, фораминасерый. В интер
85-100 - светлосерый, пятни-
стый с мелкими темносзелеными
включениями алевритового-поли-
торного материала (аналогич-
ный включениям интер. 54-64
в интер. 100-175 см. - темно
серый, пятнистый. Граница
интер. 85-175 с верхним ж
слоем резкая, извилистая.
Бедна очень плотные.
Растает в H₂O.

0-27

Из пелитовой буровой серии
(окисленные слои), в интер.
0-2 - жирный (растекается)
шлам - мягкий, однородный,
песчаный, не встывает в
сильной кислоте. Граница с
нижним слоем четкая, извили-
стая.

трубка

Сыктывинское море, кот-
ловина Намно.

36° 45.0 с.ш.
134° 30.0 в.д.

7541
4470

27-45

Ил алевроитово-пелитовый серый с зеленоватым оттенком однородный неслоистый, не вскипает в соляной кислоте слабо творожистый, в интер. 27-37 - плотный, ниже - мягкий. На гориз. 42 см. (до 2 мм) обогащен песчаным материалом, в котором преобладает бурое вулканическое стекло, реже кислое стекло, есть пол. шпаты и кварцы.

42-120

Ил пелитовый серый неслоистый слабо вскипает в соляной кислоте, в интер. 48-58 - плотный, 58-70 - от мягкого до жесткого, творожистый, с сватшем (диаметром 4-2 см) очень плотного пелитового ила, 70-120 - ил мягкий.

120-130

Ил пелитовый буровато-серый (окисленный слой) мягкий, однородный, неслоистый. Возможен это начало горизонты красных глин (?).

0-5

Алевроит темносерый крупный слабо известковистый (СаСО₃ - 28,1%), фораминацерный слабо отсортированный. Граница с нижним слоем резкая известистая.

трубка

Филиппинское море, верхняя часть скелона Возвешен. Камехаси-Дайсон.

31°31.0 с.ш.
135°42.0 в.д.

7542
2480

5-25

Алеврит светлосерый крупный, фораминиферовый, от известковистого (CaCO₃ более 30%) до слабо известковистого (карбонатного материала менее 30%), в конце штер, от мягкого до средней плотности; на гориз. 1,5 см с единичной мелкой угловатой полуокатанной галькой, залегающей параллельно плоскости напластования.

25-40

Песок темносерый мелко-среднезернистый плохо отсортированный, не уплотненный. Залегает в виде двух слоев под углом 15-20 градуса к вертикальной оси колонки в крупном алеврите. В песке преобладает бесцветное и темное вулканическое стекло. Нижняя граница нагориз. 44 см резкая, извилистая.

44-158

Алеврит светлосерый до беловато-серого, крупный, участками пятнистый (за счет пятен темносерого мелкозернистого материала) известковистый (CaCO₃ более 30%), фораминиферовый, очень плотный. Возраст осадка Q₃(?).

Ил зеленоватого-серый с буроватым оттенком (окисленный слой) пелитовый, мелкозернистый (рас-текается).

Ил серый пелитовый однородный неслонистый, до гориз. 50 см засорен отделившимися песчинками, ниже - чистый. С гориз. 38 см слабо вскипает (CaCO₃ до 2,38%). На гориз. 30, 43, 49-50, 58 см с прослойками и линзочками 3-5 до 10 мм черного булканомяктового песка.

Песок пелительно-серый до черного средне-крупнозернистый в мазке - обломки средних эффузивов, шпательный, широкозернистый, вулканическое стекло.

Трубка уларилась в пелитовый материал в тальвеге каньона и захватывала несколько кусочков алевролитов -- обр. 7544.

Алевроново-пелитовый или серого цвета с тонкой (до 0,5 см) пленкой коричневого цвета (окисленный слой), мелкозернистый (сметанообразный).

Мелкоалевролитовый или серого цвета однородный пыльный.

0-3

3-31

трубка

в море, в ло-
ббе Кюсю, на склоне
абиссального холма

32° 55.0 с.ш.
136° 51.0 в.д.

7543
4200

-

трубка

Филиппинское море, у
О. Хонсу, днаще (таль-
вег) каньона

34° 30.5 с.ш.
138° 34.1 в.д.

7544
2640

0-30

" "

Северная часть Филиппинского моря

33° 30.0 с.ш.
138° 29.5 в.д.

7545
3420

30-38

7546	32° 01' 0 с.ш.	Филиппинское море, к северу от подвод. возвышенности Кама-хаси-Дайсан	трубка	38-45	Алевроит крупный серого цвета, основная масса сложена вулканическими слезами.
3980	137° 30' 0 в.д.			0-II	Алевроитово-пелитовый или коричневатого цвета (окисленный слой), слабо вскипает в 10% соляной кислоте, мидкий.
7547	30° 10' 3 с.ш.	Филиппинское море, у вершины на пологом склоне абиссального холма.	трубка	0-4	Алевроитово-пелитовый или бурый (окисленный слой), мидкий, 10-17 - мидкий, 17-21 - очень плотный, комковатый. Снизу слоях травины пестрая (по цвету).
4178	136° 19' 6 в.д.			II-165	Алевроитово-пелитовый или темносерый с синим оттенком, однородный, слабо вскипает в 10% соляной кислоте, с линзой крупного алевроита из светло-серого вулканического стекла в интервал. 19-20 см, с прослойкой мелкого алевроита из аналогичного стекла в интер. 29-35. Гранили линии и прослойки стекла резкие, неровные, их расхождение под углом 10-150 к вертикальной оси колонки.
					Ниже гориз. 30 см или более темный (без синего оттенка), с фразалии (фрагментами) гориз. 1,45 см неокисленный обломки гравия светлосерый пемза.

7548	28° 50.0 С.Ш.	Самышское море, кот- ловина	трубка	0-10	Пелитовый или бурожел- тый (окисленный слюды), жидкий. Низкая температура постепенная с потемне- нием цвета, не всплывает в тишине.	Алеитово-пелитовый или серый, однородный слабо всплывает в 10% соляной кислоте, мягкий до средней плотности.
1950	135° 15.7 В.Д.			36-271	Или пелитовый серый, одно- родный, очень плотный, на гориз. 148-149 прослой стекла желтобурого цве- та; на гориз. 178 излян- ства прослой до 1 см черного гипотропизита?	
				10-42	Пелитовый или серый с же- лтоватым оттенком, одно- родный, вязкий, с посте- пенным потемнением цве- та и оседанием.	
				42-75	Пелитовый или темносерый мягкий, однородный, не всплывает в тишине.	
				75-120	Пелитовый или серый, с желтоватым оттенком в верх. 75-100, однородный не карбонатный, мягкий	
				120-200	Пелитовый или желтосерый в верхней части со сла- бым сиреневым оттенком, однородный, мягкий. На гориз. 172 см линза мел- кого алеванита из чешу-	

7549	$28^{\circ} 04.0$ с.ш. $134^{\circ} 37.7$ в.д.	На вершине полудной горыш. Камбаси	мночерный.	200-330	Пелитовый бл серый однород- ный; на откосах устьях (гориз. 282) мелкие (менее 1 см) пята черного мелкого влез- рита с резкими границами. На гориз. 295 см единичная мел- кая галька светлосерой пелзы.
7550 ¹ 4660	$26^{\circ} 45.0$ с.ш. $133^{\circ} 27.0$ в.д.	Эльзининское море Котловина	Труба	380-383	Пелитовый бл серый с желтове- тым оттенком, мелкозернистый, сред- ней плотности, не рабонатный.
7550 4680	$26^{\circ} 45.0$ с.ш. $133^{\circ} 25.5$ в.д.	Эльзининское море на слоне абиссального холма	" "	--	Поднята только галька мелкая (до 3см) уложенная, по соста- ву пелзозая.
				0-15	Пелитовый бл желтоватый нево- сто прета, мягкий. Труба на пок- нута пустая, только в наго- ничке маленький кусочек не
				15-85	Пелитовый бл коричневого цве- та с серозатым оттенком, зерни- стый и мягкий. На гориз. 0-1 хорошо омытая пелзозая галька.
				85-88	Пелитовый бл светлокориичено- го прета, однородный, слабый уплотненности, липкий. Мелкозернистый; парокристалли- ческий бл светлокорииченого цвета.

0,2 см) с резкими границами.
В основании слои (130-200) бл
с зеленоватым оттенком.

Пелитовый бл серый однород-
ный; на откосах устьях
(гориз. 282) мелкие (менее 1 см)
пята черного мелкого влез-
рита с резкими границами. На
гориз. 295 см единичная мел-
кая галька светлосерой пелзы.

Пелитовый бл серый с желтове-
тым оттенком, мелкозернистый, сред-
ней плотности, не рабонатный.

Поднята только галька мелкая
(до 3см) уложенная, по соста-
ву пелзозая.

Пелитовый бл желтоватый нево-
сто прета, мягкий. Труба на пок-
нута пустая, только в наго-
ничке маленький кусочек не

Пелитовый бл коричневого цве-
та с серозатым оттенком, зерни-
стый и мягкий. На гориз. 0-1
хорошо омытая пелзозая
галька.

Пелитовый бл светлокориичено-
го прета, однородный, слабый
уплотненности, липкий.
Мелкозернистый; парокристалли-
ческий бл светлокорииченого
цвета.

7551	25° 40.2 с.ш. 132° 11.8 в.д.	Филиппинское море по- верхность хребта Дай- тогари	-	днорунчат.	88-430	Песчистый или светлогордичево- го цвета, постепенно уплотня- ющийся к нижней части. Отмеча- ются гориз. темнокоричневого цвета, шпигельные (115-115, 241- 245, 265-269) и очень плотные горизонты (почти сухие) - 321 -330; 417-425 см.
7552	24° 33.0 с.ш. 130° 53.6 в.д.	Филиппинское море, на склоне о. Офино-Дайто.	0-8	" "		Подняты железно-марганцевые конкреции крупной и продолго- ватой формы (длиной до 10 см); черные с буроватым поверх- ностаем. Здесь же мелкие щебен- ки из темносерого цвета. Вер- шина хребта лишена осадков.
7553	24° 32.2 с.ш. 130° 54.3 в.д.	Филиппинское море, на склоне о. Филино-Дайто	0-7	" "		Крупный алевроит желтосерого цвета мелкоостриженный с примесью мелкой песчаной фрак- ции, с фораминиферами, с при- месью вулканического стекла, мелких.
7558	24° 23.3 с.ш. 131° 06.0 в.д.	Филиппинское море, на склоне о. Офино-Дайто, в тальботе каньона	0-35	труба		Крупный алевроит по цвету и сортировке аналогичен осадку ст. 7552, с фораминиферами, с расеянной мелкой галькой (до 1 см) и траппом серой лавы, мелким.

7559	23° 42.8 с.ш.	Там же, где ст. 7558, но более строго-точно	труба	0-75	35-127	Аллитомы-пелитомы или желтые-белые, известковистые, фораллиферово-комковатые, однородные, очень плотные, на гориз. 11 см с тонким прослоем фораллиферового песка.
3840	131° 51.0 в.д.					Пелитомы или коричневый углистый, однородный, не карбонатный (красные глины?).
7560	22° 16.0 с.ш.	Самышское море, обильные разности	"	0-6		Пелитомы или бурый (красные глины), мягкие.
3840	132° 29.5 в.д.					Пелитомы или бурый ("красные глины"), комковатый, очень плотный, с резкой верхней границей по плотности.
7561	22° 36.7 с.ш.	Самышское море, Звизидис-илиппинская котловина.	"	0-341		Пелитомы или темнокоричневый (шоколадного цвета), однородный, на отдельных участках пятнистый с мелкими пятнами желтого или (гориз. 35, 40, 65, 263, 390).
5600	133° 36.5 в.д.					Пелитомы или шоколадного цвета ("красные глины"), мягкие, пластичные. Или подняты в вымоченные трубы.
7562	21° 22.0 с.ш.	Самышское море, обильные разности	"	0-2		Пелитомы или аналогичные ст. 7562. Подняты только в вымоченные трубы.
5600	134° 48.0 в.д.					Пелитомы или аналогичные ст. 7562. Подняты только в вымоченные трубы.
7564	19° 57.0 с.ш.	Самышское море, на склоне подводной горы	"	0-2		Подняты 3 контурны железокоричневые диаметром от 5 до 10 см.
5400	135° 37.0 в.д.					
7564 ^a	18° 58.0 с.ш.	Самышское море, на склоне подводной горы	"	-		
4800	136° 29.0 в.д.					

1	2	3	4	5	6	7
7565	18° 05.0 с.ш.	16° 05.0 с.ш.	Финляндское море, разливы	труба	0-4	Пелитовый или бурый (окисленный слой), однородный, этмоидкусосый, жидкий, растекается, контакт резкий по ветру.
4800	136° 29.0 в.д.				4-78	Этмоидкусосый или горизонтально-послойный иледственный чередованы слюгов осласерого, темносерого и белого цветов мощностью до 10 см, вторичной растекается, пелитовой зерности.
78-90						Или кремнисто-глинистый буровато-серый, плитчатый (прослойки и штыри этмоидкусосые) мягкий. На гориз. 80 см с дрсной илезы; на гориз. 85 см с илезо-марганцевыми конкрециями округлой формы размерами до 3 см.
90-243					90-243	Пелитовый или шоколадного цвета ("красные глины") слоистый, комковатый, на гориз. 140 см с вклучениями двух железомарганцевых конкреций округлой формы размерами до 3 см.
7566	15° 52.0 с.ш.	15° 52.0 с.ш.	Финляндское море, Земледно-Марманская котловина	труба	-	Пелитовый или коричневый, жидкий. Ил поднимт только в нагочечнике трубы (труба промита при подъеме).
5040	137° 11.0 в.д.	137° 11.0 в.д.				
7567	15° 59.0 с.ш.	15° 59.0 с.ш.	Ванадно-Марманская котловина	-	-	Пелитовый или коричневый, жидкий. Поднимт только в нагочечнике трубы (размита при подъеме).
4720	137° 47.0 в.д.	137° 47.0 в.д.				

1	2	3	4	5	6	7
7567 ^а	12° 22.5 с.ш.	Океаническое море, Западное-Марманская лоцна	трубка	-	Трубка поднята с обитым наконечником. Серо-голубо, на дне черные образцовыяныя (конкреции?)	
5100	138° 28.2 в.д.	Океаническое море, Западно-Марманская котловина	дночерпак	-	Поднято несколько угловатых обломков известняка (описание в журнале драгпромышления).	
7568	11° 17.0 с.ш.	Океаническое море, в верхней части склона (у.о. Ужита)	трубка	0-18	Грунный алевроит белый с желто-белым оттенком, известковистый с фораминиферами, мшккой. Низкая гранитная резка.	
1680	139° 15.2 в.д.					
7569	10° 19.6 с.ш.			18-49	Песок мелкий беловатосерый с желтоватым оттенком, с фораминиферами, плотный, с редкими обломками пемзы. Низкая гранитная резка по шегу и с редким утолщением зернистости.	
3320	139° 22.7 в.д.			49-61	Песок разнозернистый, белый с желтоватым оттенком, фораминиферо-детритусовый, известковистый, с мелкими включениями (до 3%) обломков черного цвета (возможно раздроблена железомартенитовая кора). Песок средней плотности. Низкая гранитная резка по составу и плотности.	
				61-83	Грунный алевроит беловатосерый с желтоватым оттенком, с фораминиферами, известковистый, однородный с единичными обломками пемзы, очень плотный.	

7570	00° 00' 00" с. ш.	Июль часть Каролинского моря, глубоководная зона	0-5	Алеутико-желтый или желтый, однородный, с предельно форалинифер элементовой размерности, эвклид.
3225	141° 41' 0" в. д.		5-16	Алеутико-желтый или пятнистый (желтый с черными полосками и пятнами, эвклид).
			16-280	Алеутико-желтый или серый с синим оттенком, в основании белесовато-серый, с форалиниферами, эвклид, а с ториз. 113 см. плотный и компактный.
7571	0° 02' с. ш.	Каролинское море	0-15	Или желтый, искривает в сторону востока, в интр. 0-7 светлорубиновый, ниже темнокоричневый, низкая граница резкая по цвету.
4150	139° 5' в. д.		15-171	Или желтый полосчато-слоистый по цвету в результате чередования слоев или различного цвета (светлосерых с желтовато-бурый оттенок и темносерых), узкая пятнистая (линейно или желтоватых шлов), в интр. 15-71 - эвклид, ниже более плотные.
			171-275	Или желтый слоистый (чередование прослоек различных цветов - от светлосерого, серого, зеленовато-серого и беловато-серого до желтоватого в основании интервала), с форалиниферами, в интр. 171-210 - плотный, ниже очень плотный, компактный.

I 2 3 4 5 6 7

7572	08° 20' с. ш.	Каролинское море абисс-	трубка	0-16	Ил пелитовый кремнистый, попутный киль, в интер. 0-9 см - темноту- рый, 9-16 - светлосерый с буро- ватым оттенком.
4200	138° 57' в. д.	сальная равнина		16-41	Ил пелитовый кремнистый серый, мягкий, нижняя граница четкая.
				41-49	Ил пелитовый белый, кокколито- вый, известковистый, мягкий.
				45-67	Ил пелитовый светлосерый с бело- ватым оттенком, кремнисто-навес- ковистый, мягкий.
				67-133	Ил пелитовый, в интер. 67-83 се- леноватосерый, кремнистый, мяг- кий; в интер. 83-97 белый, кок- колитовый с лигвами зеленова- того или, мягкий; в интер. 97- 113 - серый с зеленоватым от- тенком, кремнистый, комковатый, плотный. В интер. 113-133 ил от пелитово- го вверх до мелкозернистого илу (переход постепенный), из- вестковистый, кокколитовый до глобиферинного илу, от бело- вато-серого до белого мелкозер- нистого, с единичной галькой пемзы. Нижняя граница резкая известковая.
				133-300	Ил пелитовый илтисто-слоистый, от желтовато-серого, светлосе- рого до темносерого. Светлые слои ил известковистые, темносере- но-кремнисто-глинистые; до гориз. 21,5 см ил илтистый, ниже очень илтистый.

7573	8°46.3' с.ш. 134°34.0' в.д.	в северо-восточную от рифа Великого (хребет Палау) на изопроизвольной высоте	—	—	300-330	Турбидитовый? горизонт, сло- женный в верхней части пелли- товыми белыми илами, в ниж- ней половине постепенная сме- на на аллювию с фораминифе- ровыми мелкими формами в ос- новании.
7574	8°49.05' с.ш. 134°34.00' в.д.	—	—	—	330-386	Ил лелитовый серый с зелено- ватым оттенком, очень плот- ный, глинисто-глинистый, в плот. 380-386 или карбонат- ные (конгломаты с прослой- ками и линзовидными глинисто- глинистыми блоками).
7575	8°58.10' с.ш. 134°44.32' в.д.	Политон № 4 в северо- восточной части хребта Палау, на склоне	—	—	0-1	Песок желто-красный с бело- ватым оттенком, мелкозерни- стый, но составу биогенный, с другой мелкими гальками свет- лосерой и черной илассе.
2800	8°58.10' с.ш. 134°44.32' в.д.	—	—	—	0-14	Песок белый фораминиферовый разнозернистый, сверху рых- лый, ниже плотный. По всему литералу в песке илассе зо- леных сланцев (до 2-3%).
7583	8°57.57' с.ш. 134°34.90' в.д.	В районе политона № 4, хребта Палау.	—	—	верх.	Песок белый фораминиферовый, среднезернистый, плотный.

I	2	3	4	5	6	7
7584	$8^{\circ}57.50'$ с.ш.		В районе полигона Б 4, дночерпак. верх хребта Паллау			Песок мелкозернистый. Формы и размеры белые.
1820	$134^{\circ}39.90'$ в.д.					
7586	$8^{\circ}33.0'$ с.ш.		В районе полигона Б 4, на безымянной грядке			Полиго: незначительное количество песка белого мелкозернистого, формально ровного.
2400	$133^{\circ}47.0'$ в.д.					
7587	$7^{\circ}58.5'$ с.ш.		Ближнее море, абиссальная равнина	труба	0-5	Из полигона коричневый (шоколадный), мелкозер.
4300	$132^{\circ}15.0'$ в.д.				5-18	Из желтогов кремнисто-глинистый слюдяной (средовенные горизонтальных желтосерых и темнокоричневых прослоев) матовый.
7588	$6^{\circ}52.5'$ с.ш.		Омнинское море, абиссальная равнина		0-16	Из полигоид ("красное" тинны), в штер. 10-136 см из темнокоричневый + штер. 126-227 из желто-слоистый (неправильно) (орна слюдяной темнокоричневые и желтоватые серые), сверху или плотные, внизу колонки - тожкоратие.
5600	$129^{\circ}57.5'$ в.д.				16-208	Из полигоиды темнокоричневого цвета, матовый.
						Из полигоиды до горез. 50см расширяется, ниже более плотный. В штер. 16-50 серовато-оранжевого цвета, 50-114 - зеленосветосерого цвета, 114-135 - желтоватосерый, 136-140 - черного цвета, ниже с пятнистой окраской (пятна черного цвета).

I 2 3 4 5 6 7

7589	<u>6°13.0' с.ш.</u>	Флиминское море, на абсиссальной равнине, у борта Флиминского мелоба	трубка	0-74	Ил пелитовый терригенный, зеленоватосерый, в интер. 0-15 - жидкий, 15-47 - мутный, ниже плотный, не набухающий.
5340	<u>128°06.5' в.д.</u>			74-86	Ил пелитовый, по составу аналогичный интер. 0-74. В этом интер. (74-86) ил представлен чередованием слоев зеленоватосерого и светложелтого цвета, в интер. 86 - разжиженный прослой (1 см)
7590	<u>5°43.0' с.ш.</u>	На склоне Флиминского		86-234	Ил пелитовый терригенный с примесью биогенного материала, желтовато-коричневый, плотный. В интер. 86-170 см мощность до 1 см прослойки зеленоватосерого до черного. В мкте 170-234 см подробно прослойки расположены к керну под углом 35 градусов.
4440	<u>127°01.0' в.д.</u>	на склоне мелоба		0-20	Пелитовый ил желтый, однородный, с редкими фораминиферами, в интер. 0-7 см жидкий, ниже плотный, комковатый.

7590 ^a	5° 30.0' с.ш.	Южно-Китайское море,	трубка	20-47	Пелитовый или желтобу- ртого цвета, комковатый, в ин- тер. 34-37 с линзой вул- канического стекла круп- ного аллювия, плотный.
200	110° 12.0' в.д.			47-113	Пелитовый или серосиний, однородный, комковатый, слабо карбонатный.
7591	6° 32.0' с.ш.	Южно-Китайское море,	"	0-137	Аллювиально-пелитовый или грязно-зеленого цвета, в интер. 0-1 см с пленкой коричневого цвета; с фо- раминиферами; в интер. 0-4 - жирный, ниже мп- ки, слабо вскипает в со- ляной кислоте.
1460	112° 59.0' в.д.	островной склон	"	0-15	Пелитовый или желтосерый с зеленоватым оттенком, слабо карбонатный (вскипа- ет в кислоте), жирный.
7592	7° 26.0' с.ш.	Южно-Китайское море,	"	15-155	Пелитовый или светлоселе- ного цвета, мягкий, с уве- рушением зернистости в основании, вскипает в кис- лоте.
2920	115° 19.0' в.д.	глубоководная зона		155-165	Песок светлосерый мелко- зернистый с резкой верх- ней границей.

7593	2040	<u>9° 51.0' с.ш.</u> 117° 22.0' в.д.	Ежно-Китайское море	трубка	0-4	Алевритово-пелитовый или желтосерый, вскипает в соляной кислоте, жирный.
7594	4920	<u>13° 18.0' с.ш.</u> 119° 44.0' в.д.	Ежно-Китайское море	" "	-	Поднят в районе чинне тру- бы песок серый мелкозер- нистый с черным графитом. Трубка согнута в результа- те удара о дно.
7595	3100	<u>20° 28.0' с.ш.</u> 120° 40.0' в.д.	Ежно-Китайское море, на склоне котловина	" "	0-3	Или пелитовый буровато-се- рый (окисленный слой), жир- ный. Или пелитовый темносерый с зеленоватым оттенком, однородный, на горле 114 см со спущулами губок, с при- месью биогенного материала, слабо вскипает в кисло- те, в интёр. 3-23-выткки, ниже плотные.
165-265	265-337					Пелитовый или зеленовато- серого цвета, с формалин фрами, к основанию более темный, мягкий. Пелитовый или черный, не вскипает в кислоте, мяг- кий
4-126						Алевритово-пелитовый или голубовато-серый, вскипает ет в кислоте, на горле 12-15 см, 30 см засорен щебнем и мелкой галькой пемзы и белого известни- ка, в интёр. 4-35 см - мягкий, ниже плотный, ком- коватый.
3-255						

I	2	3	4	5	6	7
7596	<u>23° 09.7' с.ш.</u>	Восточное море, зона между желобом Пансей и Центральным разло-мом	трубка	0-105	Ил пелитовый темносерый до черного, однородный, в интер. 0-5 см -- жидкий, 5-15 -- полужидкий, ниже мягкий.	
7597	<u>23° 02.0' с.ш.</u>	Филиппинское море, на линии Центрального разло-лома	" "	верх	Поднят в наконечнике тру-бы или элементарно-пелито-вый зеленоватосерый, одно-родный, жидкий.	
6200	<u>123° 21.6' в.д.</u>					
7598	<u>23° 06.0' с.ш.</u>	Аналогично ст. 7597	" "	верх	В наконечнике трубы под-нят кусочек крупного эле-рита зеленовато-серого, полужидкого (плавучий)	
6120	<u>123° 28.3' в.д.</u>					
7599	<u>22° 56.0' с.ш.</u>	Филиппинское море, глубоководная зона.	трубка	0-134	Ил пелитовый зелено-серый однородный, в интер. 0-5 см жидкий, 5-15 см -- полужид-кий, ниже мягкий. В ниж-ней части (с гориз. 60) берет илз более темный до грязнозеленого.	
4100	<u>123° 36.0' в.д.</u>					

РЕЗУЛЬТАТЫ ХИМИЧЕСКИХ АНАЛИЗОВ

Горизонт в см	Литологическое описание осадков	M %	Fe ₂ O ₃ %	TiO ₂ %	CaCO ₃ %
1	2	3	4	5	6
<u>Ст. 7509, ДН-Ль, гл. 380 м</u>					
0-2	Песок среднезернистый слабо известковистый серого цвета				12,4
2-5	- " -				12,6
<u>Ст. 7510, ДН-Ль, гл. 380 м</u>					
0-4	Песок мелкозернистый слабо известковистый фораминиферный серого цвета				19,8
<u>Ст. 7511, ДН-Ль, гл. 560 м</u>					
0-8	Песок среднезернистый терригенный темно-серого цвета				8,6
<u>Ст. 7512 пр. тр. гл. 790 м</u>					
0-5	Крупный алевроит терригенный темно-серый с зеленоватым оттенком	0,05	5,56	0,70	9,6
5-15	Мелкоалевритовый терригенный или темно-серый	-	-	-	3,6
15-20	То же	-	-	-	8,3
20-30	То же	-	-	-	7,0
<u>Ст. 7513 пр. тр. гл. 908 м</u>					
0-2	Крупный алевроит слабо известковистый фораминиферный зеленовато-серый	0,07	4,09	0,80	13,5
2-5	Мелкоалевритовый терригенный или - светло серого цвета				8,1
20-25	То же				9,3
35-40	То же				1,9
55-59	Мелкоалевритовый слабо известковистый фораминиферный или светло серого цвета				14,2
60-65	То же				19,7
70-75	То же				27,7
85-90	Мелкоалевритовый известковистый фораминиферный или				35,5

I	2	3	4	5	6
<u>Ст. 7514 пр. тр. гл. 1120 м</u>					
2-7	Мелкоалевритовый слабо известковистый фораминиферовый или буровато-серый				16,6
7-15	Алевритово-пелитовый или терригенный серого цвета				9,7
25-30	Алевритово-пелитовый слабо известковистый фораминиферовый или серого цвета				16,6
44-49	Мелкоалевритовый терригенный или серого цвета				9,4
64-72	Пелитовый слабо известковистый фораминиферовый или серого цвета				10,2
72-78	Пелитовый терригенный или				6,0
87-91	То же				6,6
96-102	Пелитовый слабо известковистый фораминиферовый или серого цвета				11,5
107-112	То же				10,3
122-127	То же				23,9
127-132	То же				29,5
136-144	-"-				12,8
<u>Ст. 7515, дн-дб, гл. 750 м</u>					
0-8	Песок мелкозернистый слабо известковистый с примесью ширококластического материала				15,2
8-10	Гравий слабо известковистый базальтоидный				12,7
10-12	Песок мелкозернистый слабо известковистый с примесью ширококластического материала				18,9
<u>Ст. 7516, дн-дб гл. 750 м</u>					
0-2	Среднезернистый слабо известковистый фораминиферовый с примесью эвафоренного материала (базальт)	0,07	5,18	0,60	11,9
2-8	То же				18,0
<u>Ст. 7519 днага 600-700 м</u>					
верх	Песок терригенный				13,2
<u>Ст. 7526 пр. тр. гл. 1303 м</u>					
0-2	Пелитовый слабо известковистый или коричневого цвета	0,35	3,75	0,80	12,3

1	2	3	4	5	6
2-7	То же серого цвета				16,4
7-14	Пелитовый или терригенный серого цвета				5,8
14-20	Пелитовый слабо известковистый или серого цвета				11,9
25-30	Пелитовый терригенный или				7,6
40-45	То же				1,9
50-55	То же				7,1
65-70	"				3,9
75-80	"				3,7
85-90	"				5,0
105-110	Пелитовый слабо известковистый или				15,5
118-125	Пелитовый терригенный или				4,5
165-170	То же				3,9
205-210	То же				3,9
215-220	То же				3,2
230-235	Пелитовый слабо известковистый или				24,8
<u>Ст. 7533 гл. 1750 м</u>					
0-2	Мелкоалевритовый известковистый конколитовый или				50,0
2-4	То же				48,7
<u>Ст. 7537 пр. гд. гл. 2600 м</u>					
0-5	Алевритово-пелитовый терригенный или буровато-серый	0,53	4,66	0,50	6,4
5-10	Алевритово-пелитовый слабоизвестковистый или серого цвета	0,06	4,32	0,59	10,3
10-20	То же	-	-	-	12,9
20-25	То же	0,06	3,80	0,57	14,8
25-30	"	-	-	-	12,9
40-45	"	0,05	4,04	0,50	12,9
55-59	"	-	-	-	10,3
70-75	"	0,05	4,47	0,45	10,3
85-90	"	-	-	-	11,6
100-105	"	0,05	4,09	0,47	11,0
114-120	"	-	-	-	10,3
130-135	"	0,06	4,04	0,65	10,2

1	2	3	4	5	6
I45-I50	Алевритово-пелитовый терригенный или серого цвета	-	-	-	8,9
I60-I65	" "	0,58	2,38	0,65	8,9
I55-I62	" "	-	-	-	9,2
I72-I77	" "	-	-	-	9,2
I85-I90	" "	0,05	4,28	0,40	7,3
200-205	" "	-	-	-	9,2
215-220	" "	0,06	3,37	0,82	8,9
229-235	" "	-	-	-	7,6
245-250	" "	0,05	3,90	0,50	7,6
255-262	" "	-	-	-	8,6
262-268	" "	0,08	2,95	0,71	7,0

Ст. 7538 пр. тр. гл. 1380 м

0-9	Песок мелкий слабо известковистый серый	0,07	4,99	0,49	10,2
9-15	Крупный алеврит слабо известковистый серого цвета	0,07	4,37	0,61	13,7
15-20	" "	-	-	-	21,3
20-25	" "	0,04	5,13	0,52	20,3
26-35	Мелкозернистый слабо известковистый песок	-	-	-	18,0
35-45	" "	0,05	5,08	0,58	27,7
45-55	Крепкий алеврит слабо известковистый серого цвета	-	-	-	18,5
55-70	" "	-	-	-	25,6
70-78	" "	0,05	4,40	0,60	13,6
78-85	" "	-	-	-	13,5
85-95	Мелкоалевритовый слабо известковистый или серого цвета	-	-	-	17,9
95-100	" "	-	-	-	14,0
101-110	" "	0,07	3,85	0,71	11,7
110-113	" "	-	-	-	13,7
113-120	" "	-	-	-	13,0
120-126	" "	0,05	3,80	0,51	18,8
126-135	" "	-	-	-	19,1
135-143	" "	0,05	4,37	0,61	22,7

I	2	3	4	5	6
<u>Ст. 7539 пр. тр. гл. 5600 м</u>					
0-5	Политовый или терригенный буровато-серого цвета	0,34	5,56	0,66	0
5-10	То же	0,42	5,94	0,62	0
10-14	Политовый или терригенный серого цвета с зеленоватым оттенком	0,11	5,94	0,74	1,0
14-20	То же	-	-	-	6,6
30-35	" "	-	-	-	8,2
45-50	" "	0,09	4,94	0,70	9,5
56-60	" "	-	-	-	8,5
70-75	" "	-	-	-	9,5
85-90	" "	0,07	4,94	0,80	9,5
100-106	" "	-	-	-	9,5
114-120	" "	-	-	-	8,2
130-135	" "	0,07	4,28	0,80	9,5
145-150	" "	-	-	-	8,5
160-165	" "	-	-	-	8,2
174-180	" "	0,08	4,56	0,80	10,0
190-195	" "	-	-	-	9,0
205-210	" "	-	-	-	9,4
220-225	" "	0,08	4,20	0,80	8,7
237-243	" "	-	-	-	9,0
250-255	" "	-	-	-	7,1
265-270	" "	-	-	-	8,4
275-281	" "	0,08	4,18	0,27	7,7
281-285	Мелкоалевритовый терригенный или серого цвета с зеленоватым оттенком	-	-	-	7,7
296-300	" "	-	-	-	7,9
310-315	" "	0,08	4,04	0,73	7,1
325-330	" "	-	-	-	7,4
340-347	" "	0,10	2,90	0,73	8,1
347-356	" "	-	-	-	6,4
356-362	" "	0,08	3,52	0,50	7,1
362-367	" "	-	-	-	6,7
367-375	" "	0,08	3,75	0,73	7,1

1	2	3	4	5	6
<u>Ст. 7540 пр. тр. гл. 1280</u>					
0-5	Крупный алевроит известковистый желто-бурого цвета	0,15	1,90	0,70	37,1
5-10	- " -	0,25	2,76	0,41	34,9
10-14	- " -	-	3,37	0,46	35,6
14-19	Крупный алевроит известковистый серого цвета	0,09	3,37	0,65	35,6
30-35	- " -	-	-	-	30,4
45-50	- " -	-	-	-	38,2
60-65	- " -	0,06	3,82	0,48	36,6
75-80	- " -	0,05	3,66	0,58	38,2
85-90	Крупный алевроит слабо известковис- тый серого цвета	0,15	5,89	0,76	29,5
100-105	Крупный алевроит известковистый серого цвета	-	-	-	34,9
115-120	Крупный алевроит слабо известко- вистый	0,09	4,66	0,71	26,1
130-135	Крупный алевроит известковистый серого цвета	0,12	2,99	0,71	32,2
145-150	- " -	-	-	-	39,7
160-165	- " -	-	-	-	39,1
165-175	- " -	0,08	3,95	0,39	40,1
<u>Ст. 7541 пр. тр., гл. 4470</u>					
0-5	Пелитовый или террагенный буровато- серого цвета	0,15	5,58	0,76	0
5-10	То же	-	-	-	0
10-15	То же	0,17	5,11	0,76	0
15-20	- " -	-	-	-	0,45
20-27	- " -	-	-	-	0,13
27-40	- " -	0,09	4,35	1,53	0,45
40-50	- " -	-	-	-	2,25
50-58	- " -	-	-	-	3,4
58-70	- " -	0,11	5,37	0,86	2,7
80-85	- " -	-	-	-	2,1
95-100	- " -	-	-	-	2,9
110-115	- " -	0,11	5,49	0,76	3,0
115-120	- " -	-	-	-	2,4
120-130	- " -	0,21	5,61	0,81	0,5

1	2	3	4	5	6
<u>Ст. 7542 пр.тр., пл. 2480</u>					
0-6	Крупный алевроит слабо известковистый фораминиферовый темно-серого цвета	0,07	4,32	0,76	28,2
6-11	Крупный алевроит известковистый фораминиферовый светло-серого цвета с зеленоватым оттенком	0,06	4,32	0,53	30,4
17-21	То же, слабо известковистый	0,07	3,80	0,69	22,7
25-30	- " -	0,13	2,28	0,58	18,6
40-44	Песок слабо известковистый плохо сортированный темно-серого цвета	-	-	-	13,3
54-60	Крупный алевроит известковистый фораминиферовый светло-серого цвета	0,06	3,75	-	30,8
70-75	То же	0,05	2,99	-	35,9
85-90	- " -	0,04	3,42	-	35,9
100-109	Крупный алевроит слабо известковистый	0,06	3,52	-	27,2
120-125	Крупный алевроит известковистый фораминиферовый	0,04	3,21	-	31,6
135-140	- " -	0,04	3,52	-	30,3
150-158	- " -	0,04	3,61	-	30,1

Ст. 7543 пр.тр., пл. 4200 м

0-3	Пелитовый или терригенный зеленовато-серого цвета с буроватым оттенком	0,04	5,51	-	0,8
3-7	Пелитовый или терригенный серого цвета	-	-	-	0,5
7-12	- " -	-	-	-	0,1
12-16	- " -	-	-	-	0,5
16-20	- " -	-	-	-	0,6
25-30	- " -	-	-	-	1,0
38-43	- " -	-	-	-	1,4
49-50	- " -	-	-	-	0,7
53-60	- " -	-	-	-	0,5
70-77	- " -	-	-	-	0,8
85-91	- " -	-	-	-	2,4

1	2	3	4	5	6
---	---	---	---	---	---

Ст. 7545 пр. тр. пл. 3420 м

0-5	Алеврито-пелитовый терригенный ил серого цвета	0,08	4,13	-	9,4
20-25	- " -	0,07	3,94	0,47	9,4
35-38	Мелкоалевритовый ил слабо известковистый серого цвета	0,05	3,37	0,40	12,3
38-45	Крупный алеврит слабо известковистый со значительной примесью стекла	0,06	3,37	0,29	12,6

Ст. 7546 пр. тр. пл. 3980 м

0-6	Алеврито-пелитовый ил терригенный коричневого цвета	0,11	5,08	0,66	0,2
6-11	- " -	0,09	5,65	0,65	1,5
11-15	Алеврито-пелитовый ил терригенный серого цвета с синеватым оттенком	0,02	4,51	0,38	2,0
20-25	- " -	-	-	-	2,3
25-29	- " -	0,03	3,23	0,56	1,2
29-32	Крупный алеврит пирокластический	0,04	3,18	0,66	0,2
32-35	- " -	0,03	3,56	0,36	0,4
35-37	Алеврито-пелитовый ил терригенный серого цвета	0,06	2,35	0,28	2,8
37-42	- " -	0,05	4,37	0,57	5,4
55-60	- " -	-	-	-	9,2
70-75	- " -	-	-	-	6,3
85-90	- " -	0,03	3,56	0,49	4,9
98-105	- " -	-	-	-	4,9
130-135	- " -	0,10	4,59	0,62	3,1
147-154	- " -	-	-	-	4,3
160-165	- " -	0,08	4,42	0,35	5,0

Ст. 7547 пр. тр. пл. 4178 м

0-4	Алеврито-пелитовый ил терригенный бурого цвета	0,25	4,51	0,67	0,3
4-10	- " -	0,03	3,61	0,51	0
10-21	- " -	0,07	3,42	0,49	0,5
21-30	Алеврито-пелитовый ил терригенный серого цвета	0,04	3,94	0,69	2,7
30-38	- " -	-	-	-	3,0
38-40	Пелитовый ил терригенный серого цвета	-	-	-	3,0

1	2	3	4	5	6
50-61	Пелитовый или терригенный серого цвета	-	-	-	5,3
61-70	" "	0,11	5,42	0,39	6,2
70-80	" "	-	-	-	5,9
80-90	" "	-	-	-	4,6
90-100	" "	-	-	-	3,0
100-110	" "	0,13	4,54	0,57	3,5
110-120	" "	-	-	-	3,2
120-130	" "	-	-	-	2,7
130-140	" "	-	-	-	2,7
140-148	" "	0,18	5,75	0,45	5,0
149-160	" "	0,17	5,42	0,48	1,4
160-170	" "	-	-	-	3,7
170-178	" "	-	-	-	3,5
178-190	" "	-	-	-	1,6
190-200	" "	-	-	-	3,2
200-210	" "	-	-	-	3,4
210-220	" "	-	-	-	4,8
220-230	" "	-	-	-	3,9
230-240	" "	-	-	-	5,5
240-250	" "	-	-	-	4,3
250-260	" "	-	-	-	5,6
260-271	" "	0,21	4,89	0,40	6,6

Ст. 7512 кв. тр. пл. 4950 м

0-5	Пелитовый или терригенный коричневого цвета	0,14	5,58	0,50	0,1
5-10	" "	0,00	5,87	0,20	1,3
10-15	Пелитовый или терригенный серого цвета с желтоватым оттенком	0,10	5,65	0,60	0
15-20	" "	-	-	-	0
20-25	" "	0,08	5,18	0,67	0
25-32	" "	-	-	-	0,2
32-42	" "	-	-	-	0,1
42-45	Пелитовый или терригенный темного серого цвета	-	-	-	0
55-60	" "	0,08	7,01	0,84	0,5
70-75	" "	-	-	-	0,3

I	2	3	4	5	6
90-95	Пелитовый или терригенный серый с желтоватым оттенком	0,08	4,42	0,56	0,1
115-120	Пелитовый или терригенный серо-го цвета	0,08	5,89	0,54	0,1
120-125	Пелитовый или терригенный желтовато-серого цвета	-	-	-	0
135-140	" "	-	-	-	0
150-155	" "	0,11	5,89	0,53	0
165-170	" "	-	-	-	0
180-185	" "	-	-	-	0
190-195	" "	0,18	6,13	0,56	0
195-200	" "	-	-	-	0
200-203	Пелитовый или терригенный серого цвета	-	-	-	0
203-210	" "	0,13	5,80	0,50	0
220-225	" "	-	-	-	0,3
235-240	" "	-	-	-	0,2
247-253	" "	0,14	2,49	0,31	0,3
265-270	" "	-	-	-	0,1
285-290	" "	-	-	-	1,0
300-304	" "	-	-	-	1,0
315-320	" "	0,13	3,56	0,55	0,2
320-335	" "	-	-	-	1,1
345-351	" "	-	-	-	0,3
360-365	" "	-	-	-	0
380-385	" "	0,11	5,89	0,40	0,5

Ст. 7550 до.то. нл.4680 м

0-5	Пелитовый или коричневого цвета (красные глины?)	0,52	1,46	-	0,6
5-10	" "	-	-	-	0,4
10-15	" "	-	-	-	0,32
15-20	Пелитовый или светло-коричневого цвета (красные глины?)	0,26	7,60	0,79	0,4
30-35	" "	-	-	-	0,8
40-46	" "	-	-	-	0,6
55-60	" "	-	-	-	0,4
70-75	" "	-	-	-	0,4
80-85	" "	0,19	3,56	0,59	0,3

1	2	3	4	5	6
85-88	Мелкоалевритовый пирокластический ил	0,10	3,52	0,38	0,3
88-91	Пелитовый ил светлокоричневого цвета (красные глины?)	0,28	6,49	0,78	0
112-115	То же темно-коричневого цвета	0,11	5,65	1,36	0,8
125-130	Пелитовый ил светло-коричневого цвета (красные глины?)	-	-	-	0,2
140-145	- " -	-	-	-	-
153-160	- " -	-	-	-	0
170-175	- " -	-	-	-	-
185-190	- " -	0,27	6,37	0,78	0
202-208	- " -	-	-	-	-
220-225	- " -	-	-	-	0
235-240	- " -	-	-	-	0
241-245	То же темно-коричневого цвета	0,92	5,89	0,59	0
251-255	То же светло-коричневого цвета	-	-	-	0
261-265	- " -	0,54	6,01	0,18	0
265-269	То же темно-коричневого цвета	1,14	6,84	0,46	0
275-280	То же светло-коричневого цвета	-	-	-	0
290-295	- " -	-	-	-	-
307-314	- " -	-	-	-	0
325-330	- " -	0,20	6,70	0,31	0
340-345	- " -	-	-	-	0
355-360	- " -	-	-	-	0
370-375	- " -	-	-	-	0
385-390	- " -	-	-	-	-
400-405	- " -	-	-	-	0
417-425	- " -	-	-	-	0
425-430	- " -	0,16	4,48	0,59	0

Ст. 7552 ш.-ль., гл. 2840 м

верх	Крупный алевроит известковистый фораминиферный желтоватого цвета	0,12	1,62	0,21	56,6
------	--	------	------	------	------

Ст. 7558 ш.-тр., гл. 2930 м

0-5	Мелкоалевритовый фораминиферный ил желтовато-серого цвета	0,15	1,62	0,30	54,1
5-10	- " -	-	-	-	57,6
10-15	- " -	0,17	2,42	0,40	53,1

1	2	3	4	5	6
15-20	Мелкоалевритовый фораминиферовый или желтовато-серого цвета	-	-	-	49,
25-30	- " -	0,16	2,18	0,35	58,
35-40	Алевритово-пелитовый или известко- вый фораминиферово-кокколитовый желтовато-серый	-	-	-	54,
40-45	- " -	0,13	2,23	0,40	58,
45-50	- " -	-	-	-	57,
55-60	- " -	-	-	-	59,
65-70	- " -	-	-	-	59,
81-86	То же известковистый	0,14	1,95	0,42	49,
95-100	То же известковистый	-	-	-	57,
110-115	- " -	-	-	-	63,
123-127	- " -	0,11	1,85	0,38	62,
<u>Ст. 7559 пр. тр., гл. 3840 м</u>					
0-5	Пелитовый или коричневого цвета (красные глины?)	0,57	6,56	1,36	0,
40	- " -	0,93	6,22	0,83	0
70-75	- " -	0,60	6,65	1,36	0,
<u>Ст. 7560 пр. тр., гл. 5360 м</u>					
0-6	Пелитовый или коричневого цвета (красные глины?)	0,56	5,85	0,94	0
<u>Ст. 7561 пр. тр., гл. 5600 м</u>					
0-5	Пелитовый или темно-коричневого цвета (красные глины)	0,54	5,75	0,31	0
30-35	- " -	0,71	7,80	0,31	0
165-173	- " -	0,71	7,83	0,31	0
335-341	- " -	0,71	6,70	0,29	0
<u>Ст. 7565, пр. тр., гл. 4800 м</u>					
0-4	Пелитовый или коричневого цвета терригенный	0,82	6,32	0,83	0
20-25	Этмоцикловый или	0,14	4,88	0,20	0
78-85	Кремнисто-глинистый или коричнево- го цвета	0,62	8,25	0,31	0
230-238	Пелитовый или шоколадного цвета (красные глины).	0,2	8,44	1,00	0

1	2	3	4	5	6
---	---	---	---	---	---

Ст. 7567, пр. тр., вл. 4720 м

0	Пелитовый или коричневатый (красные глины)	-	-	-	0
---	--	---	---	---	---

Ст. 7569 пр. тр., вл. 3320 м

0-5	Крупный алевроит известковый фораминиферный белого цвета с желтоватым оттенком	0,01	0,78	0,18	68,6
5-10	- " -	-	-	-	67,6
10-14	- " -	-	-	-	73,5
14-18	- " -	-	-	-	67,6
18-25	Песок мелкий известковый фораминиферный белого цвета	0,06	0,36	0,17	69,2
25-35	- " -	-	-	-	70,2
35-44	- " -	-	-	-	65,6
44-49	- " -	-	-	-	71,8
49-61	Песок плохо-сортированный известковый фораминиферный белого цвета	0,08	0,43	0,17	70,5
61-70	- " -	-	-	-	68,6
70-83	- " -	0,11	0,74	0,19	67,3

Ст. 7570, пр. тр., вл. 3225 м

0-5	Алевроитово-пелитовый или известковистый фораминиферный желтого цвета	-	-	-	48,8
5-12	Алевроитово-пелитовый известковый фораминиферный или пятнистый (чередование пятен желтого и темно-коричневого цвета)	-	-	-	52,7
12-16	То же темно-коричневого цвета	-	-	-	82,8
16-20	Алевроитово-пелитовый известковистый фораминиферный или серого цвета с сиреневым оттенком	-	-	-	40,7
20-25	Алевроитово-пелитовый слабо известковистый фораминиферный или серого цвета	-	-	-	29,4
25-29	- " -	-	-	-	29,5
29-35	- " -	-	-	-	26,5
45-50	- " -	-	-	-	22,6
58-65	- " -	-	-	-	28,8

1	2	3	4	5	6
75-80	То же, известковистый	-	-	-	38,4
90-95	- " -	-	-	-	39,2
106-113	- " -	-	-	-	39,2
120-124	- " -	-	-	-	33,3
135-140	- " -	-	-	-	47,5
150-155	- " -	-	-	-	46,5
165-170	- " -	-	-	-	40,0
180-185	Алевритово-пелитовый слабо-известковистый фораминиферовый или белого цвета	-	-	-	22,3
185-189	Алевритово-пелитовый известковистый фораминиферовый или белого цвета	-	-	-	35,2
200-205	- " -	-	-	-	32,6
220-225	То же, слабо известковистый	-	-	-	28,4
235-240	То же, известковистый	-	-	-	43,8
250-255	- " -	-	-	-	37,7
270-280	- " -	-	-	-	39,0
<u>Ст. 7571 нр. тр., гл. 4150 м</u>					
0-7	Пелитовый слабо известковистый или светло-коричневого цвета	-	-	-	19,7
7-15	То же, темно-коричневый	-	-	-	15,1
15-21	Пелитовый или терригенный желтовато-серого цвета	-	-	-	9,0
21-27	- " -	-	-	-	5,5
27-33	- " -	-	-	-	5,8
33-40	Пелитовый или слабо-известковистый серого цвета	-	-	-	15,3
40-51	- " -	-	-	-	18,0
54-62	- " -	-	-	-	20,0
63-70	То же, известковистый	-	-	-	33,5
70-76	То же, слабо известковистый	-	-	-	26,7
76-90	Пелитовый или терригенный светло-серого цвета	-	-	-	6,2
90-97	- " -	-	-	-	2,3
97-103	Пелитовый или слабо известковистый или желтовато серого цвета	-	-	-	11,9
103-114	- " -	-	-	-	15,1
114-127	То же, терригенный	-	-	-	1,6

1	2	3	4	5	6
127-139	Пелитовый или слабо известковистый серого цвета	-	-	-	11,9
139-156	То же темно-серого цвета	-	-	-	11,9
156-171	Пелитовый или слабо известковистый серовато-бурый	-	-	-	12,6
171-183	Пелитовый или слабо известковистый серого цвета фораминиферный	-	-	-	12,6
183-195	- " -	-	-	-	20,6
195-210	- " -	-	-	-	16,1
210-220	То же, известковистый	-	-	-	31,3
220-229	То же слабо известковистый	-	-	-	28,9
229-234	Пелитовый или терригенный серого цвета	-	-	-	3,5
234-243	- " -	-	-	-	2,6
243-255	Пелитовый или слабо известковистый серого цвета	-	-	-	10,6
255-263	- " -	-	-	-	11,00
263-275	- " -	-	-	-	29,3

Ст. 7572 пр.т.д., гл. 4200 м

0-5	Пелитовый или слабо известковистый кремнистый (?) темно-бурый	-	-	-	10,6
5-9	Пелитовый или кремнистый (?) темно-бурый	-	-	-	9,7
9-16	Пелитовый или кремнистый (?) светло-бурый	-	-	-	9,4
16-22	Пелитовый или кремнистый (?) серый	-	-	-	2,7
22-29	- " -	-	-	-	4,3
29-41	Пелитовый или слабо известковистый кремнистый серый	-	-	-	25,6
41-49	То же, известковистый, кокколитовый	-	-	-	48,6
49-56	Пелитовый или кремнисто(?) известковистый светло серого цвета	-	-	-	31,4
56-63	- " -	-	-	-	38,2
63-67	То же, слабо известковистый	-	-	-	15,9
67-83	Пелитовый или кремнистый (?) зеленовато-серый	-	-	-	2,4
83-89	Пелитовый или известковистый кокколитовый белого цвета	-	-	-	35,3
89-97	- " -	-	-	-	49,6

1	2	3	4	5	6
97-112	Пелитовый или слабо известковистый кремнистый (?) серого цвета	-	-	-	12,7
112-125	Пелитовый или известковистый белого цвета кокколитовый	-	-	-	50,2
125-133	Мелкоалевритовый известковый или белого цвета фораминиферный	-	-	-	54,1
133-142	Пелитовый или терригенный серого цвета	-	-	-	0,5
142-150	- " -	-	-	-	1,1
150-160	- " -	-	-	-	9,5
160-170	Пелитовый или слабо известковистый серого цвета	-	-	-	13,7
180-189	- " -	-	-	-	15,3
205-210	Пелитовый или кремнистый (?)	-	-	-	1,0
220-225	- " -	-	-	-	7,2
235-240	Пелитовый или слабо известковистый кремнистый (?)	-	-	-	10,7
250-255	Пелитовый или известковистый	-	-	-	32,2
280-285	Пелитовый или кремнистый (?) серого цвета	-	-	-	4,2
295-300	Пелитовый или слабо известковистый кремнистый (?) серого цвета	-	-	-	17,4
300-305	Пелитовый известковый или кокколитовый	-	-	-	55,4
305-312	Алевритово-пелитовый или известковый кокколитовый	-	-	-	65,00
312-318	Мелкоалевритовый известковый или	-	-	-	66,6
318-330	Крупный алеврит известковый фораминиферный	-	-	-	68,00
330-335	Пелитовый или кремнистый (?) зеленовато-серый	-	-	-	6,8
345-350	- " -	-	-	-	0,6
360-366	- " -	-	-	-	5,5
375-380	- " -	-	-	-	7,4
380-386	Пелитовый известковый кокколитовый или	-	-	-	56,1
<u>Ст. 7574. Дн-ль. БД.</u>					
Дн-ль	Песок известковый фораминиферный желтовато-серый	0,04	0,28	0,19	70,9

1	2	3	4	5	6
<u>Ст. 7575, вн-ль, гл. 2800 м</u>					
0-3	Песок известковый фораминиферо- вый белого цвета	0,14	1,33	0,26	65,9
3-14	- " -	-	-	-	65,8
<u>Ст. 7583, вн-ль, гл. 2100 м</u>					
верх	Песок известковый фораминиферо- вый белого цвета	-	-	-	71,2
<u>Ст. 7584, вн-ль, гл. 1820 м</u>					
верх	Песок известковый фораминиферо- вый белого цвета	0,06	0,41	0,19	70,9
<u>Ст. 7587, по.тр., гл. 4300 м</u>					
0-5	Пелитовый или темно-коричневый	0,50	6,90	0,98	0
5-11	Пелитовый или кремнистый слоистый (переслаивание темно-коричневых полосок с желтовато-серыми)	0,46	9,40	0,96	0
11-18	- " -	-	-	-	0
18-24	Пелитовый или темно-коричневого цвета (красные глины)	-	-	-	0
24-27	- " -	-	-	-	0
27-35	- " -	-	-	-	0
45-50	- " -	0,62	7,70	0,98	0
60-65	- " -	-	-	-	0
75-80	- " -	-	-	-	0
90-95	- " -	0,55	7,41	0,98	0
105-110	- " -	-	-	-	0
120-126	- " -	-	-	-	0
135-140	- " -	0,36	7,98	1,07	0
140-146	- " -	-	-	-	0
146-153	- " -	-	-	-	0
160-165	- " -	-	-	-	0
170-175	- " -	0,26	7,65	1,04	0
186-190	- " -	-	-	-	0,8
200-205	- " -	-	-	-	0
205-210	- " -	-	-	-	0
220-227	- " -	0,38	7,41	1,06	5,9

1	2	3	4	5	6
<u>Ст. 7588, по.то., гл. 5600 м</u>					
0-5	Пелитовый или кремнистый (?) этмо- дискуссовый (?) темно-коричневого цвета	0,24	7,51	0,59	0
5-11	- " -	-	-	-	2,1
11-16	- " -	0,49	6,75	0,94	0
16-24	Пелитовый или кремнистый (?) этмо- дискуссовый (?) серого цвета	0,18	5,94	0,91	0
24-31	- " -	0,28	5,84	1,04	0
31-40	- " -	-	-	-	0
40-45	- " -	-	-	-	0
45-52	- " -	-	-	-	0
52-60	То же, с зеленоватым оттенком	-	5,89	0,99	0
60-66	- " -	-	-	-	0
66-76	- " -	-	-	-	0
80-85	- " -	-	-	-	0
96-101	- " -	0,11	6,18	0,94	
106-114	- " -	-	-	-	0
121-129	Пелитовый или терригенный серого цвета	0,14	7,27	0,97	0
129-136	- " -	-	-	-	0
136-140	То же, черного цвета	3,63	6,98	0,85	1,8
140-145	То же с желтоватым оттенком	-	-	-	0
149-150	- " -	-	-	-	0
150-158	- " -	-	-	-	0
158-166	- " -	-	-	-	0
166-176	- " -	0,15	8,17	1,00	0
176-183	- " -	-	-	-	0
183-190	То же с пятнами черного цвета	3,30	7,22	0,94	0
200-208	- " -	-	-	-	0
208-211	Пелитовый или терригенный серого цвета	0,19	7,74	0,89	
211-219	- " -	-	-	-	0
219-226	- " -	-	-	-	0
226-232	- " -	-	-	-	0
232-235	То же, с коричневым оттенком	0,17	7,15	0,86	0
235-242	То же черного цвета	0,19	6,51	0,83	-
242-245	Пелитовый терригенный серого цве- та с коричневатым оттенком	-	-	-	-

1	2	3	4	5	6
245-250	Пелитовый или терригенный серого цвета	-	-	-	-
250-257	" "	-	-	-	-
264-270	" "	0,10	8,12	0,92	-
280-288	Пелитовый или терригенный серого цвета с коричневым оттенком	-	-	-	-
288-295	" "	-	-	-	-
295-300	То же с желтоватым оттенком	0,24	7,89	0,91	-
300-304	То же черного цвета	2,50	7,56	0,93	-
304-307	То же серого цвета с зеленоватым оттенком	-	-	-	-
307-314	" "	0,16	7,65	0,95	-
314-320	" "	-	-	-	-
320-325	То же с желтоватым оттенком	0,15	8,13	0,95	-
325-331	То же черного цвета	2,45	7,94	0,95	-
331-341	Пелитовый терригенный или серого цвета с зеленоватым оттенком	-	-	-	-
341-346	" "	-	-	-	0
355-360	" "	0,16	8,13	0,95	0
371-376	" "	-	-	-	0
376-385	" "	-	-	-	0
396-405	" "	-	-	-	-
405-410	" "	0,12	8,13	1,06	-
410-418	" "	-	-	-	0
418-425	" "	-	-	-	0
425-429	То же черного цвета	1,78	7,70	0,92	-
<u>Ст. 7539 нр. бл. м. 5340 м</u>					
0-5	Или пелитовый кремнистый (?) зеленовато-серого цвета	0,24	7,56	0,98	0,3
15-20	" "	-	-	-	0
30-40	" "	0,23	7,94	0,93	-
68-74	" "	0,44	7,51	1,00	0,3
80-86	Или пелитовый терригенный	0,20	7,44	0,92	0,3
120-130	Или пелитовый терригенный желтовато-коричневого цвета	0,26	7,89	0,93	-
180-190	" "	0,14	6,80	0,83	3,2
225-234	" "	0,20	8,27	0,95	0

I	2	3	4	5	6
---	---	---	---	---	---

Ст. 7590 нр.тр., гл. 4440 м

0-7	Пелитовый или торригенный желтого цвета	0,04	8,24	0,97	6,4
7-14	" "	0,08	6,70	1,03	0,3
14-20	" "	-	-	-	0
20-24	" "	-	-	-	0
24-31	" "	0,12	7,22	1,14	0
31-39	" "	0,08	6,72	1,09	0,3
39-47	" "	-	-	-	0,6
47-52	Пелитовый или торригенный серого цвета	0,07	7,89	0,18	0,2
52-60	" "	-	-	-	1,9
70-75	" "	-	-	-	12,6
85-90	" "	0,08	7,18	0,16	11,6
100-108	" "	-	-	-	4,5
108-113	" "	0,08	7,51	0,94	4,2

Ст. 7591 нр.тр., гл. 1460 м

0-4	Алевроитово-пелитовый или слабо известковистый темно-серого цвета с зеленоватым оттенком	-	-	-	19,3
4-9	" "	-	-	-	19,3
9-15	" "	-	-	-	21,3
15-20	" "	-	-	-	20,6
30-35	" "	-	-	-	20,3
45-50	" "	-	-	-	20,8
60-65	" "	-	-	-	18,4
74-79	" "	-	-	-	18,0
85-90	" "	-	-	-	13,2
100-105	" "	-	-	-	11,9
115-120	" "	-	-	-	11,3
130-137	" "	-	-	-	10,8

Ст. 7592 нр.тр., гл. 2920 м

0-5	Пелитовый или слабо известковистый серый с желтоватым оттенком	-	-	-	27,5
59-65	Пелитовый или известковистый зелено-зеленого цвета однородный	-	-	-	37,8
90-100	" "	-	-	-	35,3
145-150	" "	-	-	-	48,0
150-155	" "	-	-	-	48,0

1	2	3	4	5	6
155-160	Песок мелкозернистый известковый светло-серого цвета	-	-	-	55,4
160-165	" " "	-	-	-	52,2
166-170	Политовый или слабо известковистый зеленовато-серого цвета	-	-	-	16,3
200-205	Политовый или слабо известковистый зеленовато-серого цвета	-	-	-	13,7
260-265	Политовый или терригенный зеленовато-серого цвета	-	-	-	3,7
275-300	То же, черного цвета	-	-	-	2,4
310-337	" " "	-	-	-	2,4

Ст. 7593 по тр., пл. 2040 м

0-4	Алевритово-политовый или известковый желто-серый				56,3
4-7	Алевритово-политовый или известковый с битой ракушкой, кусочками известняка, серого цвета с голубоватым оттенком				53,8
7-11	" " "				53,4
11-16	" " "				52,2
16-21	Алевритово-политовый или известковистый серого цвета с голубоватым оттенком				49,6
21-30	" " "				35,7
45-50	То же, известковый				50,2
50-55	" " "				60,7
55-62	То же, известковистый				40,6
62-67	То же, известковистый				52,8
75-80	" " "				62,5
91-95	Алевритово-политовый или известковистый серого цвета с голубоватым оттенком с мелкими обломками известняка				47,0
105-110	" " "				48,0
120-126	" " "				48,6

Ст. 7595 по тр., пл. 2100 м

0-3	Политовый или буровато-серый терригенный				0,7
3-6	Политовый или терригенный темно-серый с зеленоватым оттенком				0,2
6-12	" " "				0,7
12-17	" " "				1,0
17-23	" " "				1,8
23-30	" " "				1,2

1	2	3	4	5	6
34-35	Пелитовый или терригенный темно-серый с зеленоватым оттенком	-	-	-	0,5
35-40	" "	-	-	-	2,6
50-55	" "	-	-	-	1,8
65-70	" "	-	-	-	3,1
80-85	" "	-	-	-	0,4
95-100	" "	-	-	-	0,4
110-114	" "	-	-	-	3,1
125-130	" "	-	-	-	5,0
140-145	" "	-	-	-	3,1
150-160	" "	-	-	-	3,4
165-175	" "	-	-	-	5,7
180-190	" "	-	-	-	5,4
200-205	" "	-	-	-	0,5
215-220	" "	-	-	-	5,5
230-235	" "	-	-	-	6,5
250-255	" "	-	-	-	6,5

Ст. 7536 по.тр., пл. 5960 м

0-5 Пелитовый или терригенный темно-серого цвета 4,2

Ст. 7539 по.тр., пл. 6800 м

0-5 Пелитовый или терригенный серый с зеленоватым оттенком 0,8

Ст. 7508, прога, пл. 600-700 м

7508/А	Железо-марганцевая кора на базальтах	23,9	11,78	0,60
7508/25	Пемза	1,62	1,66	0,76
7508/25	Кора на пемзе	21,1	15,30	0,8

Ст. 7529, прога, пл. 650-750 м

7529 Железо-марганцевая конкреция (вал). 15,8 8,36 0,50

Ст. 7530, прога, пл. 1050-1100 м

7530 Железо-марганцевая кора на базальтах 14,7 21,86 1,00

Ст. 7554, прога, пл. 2500 м

7554/2 Железо-марганцевая кора на поверхности известняка 21,6 21,72 0,71 0,4

1	2	3	4	5	6
7554/3	Известняк пропитанный железомарганцевыми окислами	17,0	18,63	0,74	0,1
7554/4	Известняк органический	1,53	4,94	0,33	8,1
7554/5	Контактная зона между сбр. 7554/3 и 5	19,6	20,66	0,76	

Ст. 7555, тракт, пл. 1700 м

7555/1A	Известняк органический	0,04	0,59	0,20	48,5
7555/1B	Железо-марганцевая корка на известняке	1,35	2,94	0,20	
7555/2A	Органический известняк	0,04	0,69	0,20	49,5
7555/2B	Железо-марганцевая корка на поверхности известняка	0,71	1,99	0,20	47,4
7555/3A	Пузырчатое основание (шлаконоподобное) железомарганцевой корки сбр. 7555/2B	11,0	17,7	0,59	-
7555/3B	Железо-марганцевая корка на пузырчатом основании	18,6	22,95	0,57	-
7555/4A	Соранинировый известняк из нейтральной части железомарганцевой глины	0,30	1,76	0,20	47,7
7555/4B	Соранинировый известняк бурого цвета из той же глины	3,10	13,25	0,41	2,5
7555/4B	Железо-марганцевая корка на поверхности карбонатной глины	21,6	21,4	0,54	0,3

Ст. 7557, тракт, пл. 2400-2600 м

7557/1	Железо-марганцевая корка на глине известняка	17,4	22,43	0,71	-
7557/2	Известняк, пропитанный железомарганцевыми окислами	3,78	3,42	0,33	1,3
7557/4	Шлаконоподобное образование (пузырчатое) на боковой поверхности сбр. 7557/1	16,6	17,3	0,40	-
7557/3	Цемза черного цвета	0,51	3,7	0,32	-